

(19)



Евразийское
патентное
ведомство

(21)

201590597

(13)

A1

(12) ОПИСАНИЕ ИЗОБРЕТЕНИЯ К ЕВРАЗИЙСКОЙ ЗАЯВКЕ

(43) Дата публикации заявки
2015.11.30

(51) Int. Cl. A61K 39/29 (2006.01)
C12N 15/09 (2006.01)
C12N 5/10 (2006.01)
C12N 1/21 (2006.01)
C12N 15/63 (2006.01)

(22) Дата подачи заявки
2013.09.19

(54) КОРОВЫЙ БЕЛОК ВИРУСА ГЕПАТИТА В И ПОВЕРХНОСТНЫЙ АНТИГЕННЫЙ БЕЛОК И СОДЕРЖАЩАЯ ИХ ВАКЦИНА

(31) 13/622,965

(32) 2012.09.19

(33) US

(86) PCT/US2013/060618

(87) WO 2014/047286 2014.03.27

(71) Заявитель:

ДЗЕ ТРАСТИЗ ОФ ДЗЕ
ЮНИВЕРСИТИ ОФ
ПЕНСИЛЬВАНИЯ (US)

(72) Изобретатель:

Уэйнер Дэвид Б., Янь Цзянь, Обенг-
Аджея Ниямекие (US)

(74) Представитель:

Медведев В.Н. (RU)

(57) В настоящей заявке предлагаются последовательности нуклеиновых кислот, кодирующие коровьи белки вируса гепатита В (HBV), поверхностные антигенные белки, их фрагменты и комбинации, а также генетические конструкты/векторы и вакцины, которые экспрессируют указанные белковые последовательности. Эти вакцины способны индуцировать иммунный ответ периферически и в печени с помощью набора клеточных и гуморальных агентов. В настоящей заявке предлагаются также способы профилактической и/или терапевтической иммунизации индивидуумов против HBV. Комбинированная вакцина также может быть использована для разработки индивидуальных вакцин для отдельных уровней иммунных ответов на заражение HBV.

A1

201590597

201590597

A1

КОРОВЫЙ БЕЛОК ВИРУСА ГЕПАТИТА В И ПОВЕРХНОСТНЫЙ АНТИГЕННЫЙ БЕЛОК И СОДЕРЖАЩАЯ ИХ ВАКЦИНА

ОБЛАСТЬ ИЗОБРЕТЕНИЯ

[0001] Настоящее изобретение относится к последовательностям нуклеиновых кислот, кодирующими коровьи белки вируса гепатита В (HBV) поверхностные антигенные белки, их фрагменты и комбинации, к коровьим белкам вируса гепатита В (HBV), поверхностным антигенным белкам, их фрагментам и комбинациям, к улучшенным HBV-вакцинам, к улучшенным способам индукции иммунного ответа на HBV и к улучшенным способам профилактической и/или терапевтической иммунизации индивидуумов против HBV.

УРОВЕНЬ ТЕХНИКИ

[0002] Гепатит В является общей инфекцией, распространенной по всему земному шару, которая приводит к развитию цирроза, печеночной недостаточности и гепатоцеллюлярной карциноме. Значительное число случаев гепатита не сообщается из-за бессимптомного характера заболевания. Тем не менее, сообщается об около 350 миллионов хронических случаев гепатита В каждый год. Большая часть зараженного гепатитом населения находится в слаборазвитых и развивающихся странах.

[0003] Вирус подразделяется на четыре основных серотипа (adr, adw, ayr, ayw), исходя из антигенных эпитопов, присутствующих на его белковых оболочках. Имеется по меньшей мере восемь генотипов (A-H) вируса гепатита согласно изменениям геномных последовательностей. Альтернативные генотипы HBV имеют превалирующее географическое распределение.

[0004] В Таблице 1 показано географическое распределение генотипов HBV.

Таблица 1. Географическое распределение генотипов HBV

<i>HBV генотип</i>	<i>HBV геноподтип</i>	<i>HBsAg подтип</i>	<i>Частота</i>	<i>Основное географическое распределение</i>
A	A2	adw2	высокая	Европа, Северная Америка, Австралия
	A1	ayw1, adw2	высокая	Африка
B	B1 B2, B3	adw2	высокая	Дальний Восток
	B4	ayw1	высокая	Дальний Восток
	B2	adw3	низкая	Дальний Восток
C	C1, C2, C4	Adr	высокая	Дальний Восток
	C3	adrq-	высокая	Новая Гвинея, Тихоокеанский регион
	C1, C2	Ayr	высокая	Дальний Восток
	C1, C3	adw2	низкая	Дальний Восток
	C4	ayw3	низкая	Дальний Восток, Тихоокеанский регион
D	D1, D3, D4	ayw2	высокая	Западная Азия, Восточная Европа, Средиземноморье
	D2, D3	ayw3	высокая	По всему миру
	Not identified	adw3	низкая	Восточная Европа, Испания
	D2	ayw4	низкая	Восточная Европа, Испания, США
E	-	ayw4	высокая	Африка
F	F1, F2	adw4q-	высокая	Латинская Америка, Аляска, Тихоокеанский регион
	F1, F2	ayw4	низкая	Латинская Америка
G	-	adw2	низкая	Европа, Северная Америка
H	-	ayw4	низкая	Центральная Америка

J. Med. Virol., DOI 10.1002/jmv

[0005] Геном HBV представляет собой круговую молекулу ДНК, в основном двухцепочечную, но имеет одноцепочечную область, вытекающую из одной нити, более длинной, чем другая. Двухцепочечная область возникает из-за гибридизации короткой цепи, составляющей приблизительно 3020 нуклеотидов, с более длительной цепью, составляющей приблизительно 3320 нуклеотидов. Одноцепочечной область на не-гибридизированных нуклеотидах более длинной цепи связана с ДНК-полимеразой HBV. Геномная ДНК HBV и ДНК-полимераза HBV обе содержатся в нуклеокапside, образованном множеством молекул корового белка HBV (HBcAg). Коровый белок HBV окутан HBV-поверхностным белком или антигеном (HBsAgs) и липидными молекулами.

[0006] Геном HBV содержит четыре открытые рамки считывания (ORF), которые кодируют семь различных белков: 1) ORF, которая кодирует ДНК-полимеразу HBV, 2) ORF,

которая имеет два стартовых кодона, причем последовательность, присоединенная к второму стартовому кодону, кодирует коровый белок, а последовательность, которая содержит дополнительный апстрим стартовый кодон, кодирует последовательность, названную пре-C; 3) ORF, которая имеет три стартовых кодона, причем один кодирует поверхностный белок (S белок; gp27), один включает апстрим стартовый кодон, который кодирует последовательность, названную пре-S2 (gp36), а другой, который включает дополнительный апстрим стартовый кодон, который кодирует последовательность, названную pre-S1 (GP42); и 4) ORF, которая кодирует HBxAg, белок, функция которого менее понятна (Фигура 1). Эти белки включают 3 поверхностных белка или антигена (HBsAg): preS1, preS2 и основной S.

[0007] Характеристики HBsAgs проиллюстрированы на Фигуре 2. Эпитопы HBsAgs, участвующие в экспрессии подтипов специфичности, расположены в области, которая включает две внешние петли молекул поверхностного антигена HBV (т.е., аминокислоты 110-180 из S-белка) и являются тем, что, что делает штаммы HBV антигенно разнообразными. Эта же область содержит неизвестное количество эпитопов, которые определяют "какую-то" детерминанту HBsAg, которая является общей для всех известных штаммов HBV дикого типа.

[0008] Профилактические вакцины и методы лечения HBV-инфекции включают введение субвирусных частиц, выделенных из плазмы хронических носителей, или субвирусных частиц, продуцируемых в виде рекомбинантных белков в стабильно трансфицированных эукариотических клеточных линиях. Субвирусные частицы представляют собой вирусные белки и такие вакцины часто называют субъединичными вакцинами. Белки HBV вводят индивидууму и они становятся мишениями для иммунной системы индивидуума. У неинфицированных индивидуумов иммунный ответ на субединичную вакцину защищает неинфицированного индивидуума от HBV-инфекции. У инфицированных индивидуумов, иммунный ответ, индуцированный вакциной, может иметь терапевтический эффект.

[0009] CChisari F.V., Am J Pathol., 2000. 156:1117-1132 и Pumpeus P. et al. Intervirology 2001. 44:98-114 раскрывают геномную организацию HBV. Deny P. и F. Zoulim, Pathologie Biologie 2010, Aug, 58(4):245 53 обсудили диагностику и лечение вируса гепатита В. Michel M.L. и P. Tiollais, Pathologie Biologie 2010, Aug, 58(4):288 95 обсуждают вакцины гепатита В и их защитную эффективность и терапевтический потенциал. Публикация РСТ WO2004026899 раскрывает использование иммуногена, содержащего полипептидную последовательность с аминокислотной последовательностью HBV. Опубликованная заявка РСТ WO2008093976 раскрывает HBV-кодирующие последовательности, белки и вакцины,

включая вакцину, содержащую рекомбинантный полноразмерный поверхностный антиген HBV и коровый антиген HBV. Полноразмерный поверхностный антиген HBV состоит из трех типов поверхностного белка (L белка, M белка и S белка). Опубликованная заявка РСТ WO2009130588 раскрывает HBV-кодирующие последовательности, белки и вакцины, включая нуклеиновую кислоту, кодирующую коровый антиген вируса гепатита В, который оптимизирован по кодонам для экспрессии в организме человека. Публикация РСТ WO2010127115 раскрывает доставку последовательностей HBV с использованием рекомбинантных векторов.

[0010] Доступные вакцины HBV демонстрируют некоторую эффективность, но являются дорогостоящими в производстве. Кроме того, полученные из плазмы субъединичные вакцины также сомнительны относительно безопасности. Несколько вакцинных подходов были изучены, в том числе на основе рекомбинантных живых векторов, синтетических пептидов и ДНК-вакцин, которые содержат кодон-оптимизированные кодирующие последовательности белков HBV. Эти и другие подходы до сих пор были ограничены различной эффективностью. Кроме того, из-за геномных различий некоторые вакцины HBV демонстрировали положительную эффективность в некоторых географических районах и ограниченную эффективность в других регионах.

[0011] Имеющиеся в настоящее время вакцины на основе HBsAg, полученные из дрожжей, трансфецированных ДНК, кодирующей S-белок (например, ENGERIX-B, доступная от SmithKline Biologicals, находящейся в Бельгии, и RECOMBIVAX/HB-VAX II, доступная от Merck & Co., находящейся в США) не вызывают реакцию у приблизительно 5 %-10 % пациентов (C. Belloni, Immunogenicity of hepatitis B vaccine in term and preterm infants. *Acta Paediatrica*, 1998. 87: p. 336-338). Кроме того, уровень отсутствия ответа увеличивается до 30 % у пожилых лиц и иммунитет против HBV может снизиться через несколько лет после вакцинации. Также для достижения полной защиты используются многократные дозы. Безопасность представляет проблему с основанной на HBsAg вакциной ENGERIX-B поскольку ENGERIX-B увеличивает риск воспалительной демиелинизации центральной нервной системы (ЦНС) в три раза.

[0012] Остальные HBsAg-вакцины, полученные из клеток млекопитающих, используют пре-S1 и пре-S2 в дополнение к S-белку. Антигены пре-S1 и пре-S2 экспрессируют высокоиммуногенные Т и В-клеточные эпитопы и одна такая вакцина вызывает иммунную реакцию у приблизительно 80 % неотвечающих или слабо отвечающих индивидуумов (Rendi-Wagner, P. et al., Comparative immunogenicity of PreS/S hepatitis B vaccine in non- and low responders to conventional vaccine. *Vaccine*, 2006. 24: p. 2781-9.).

[0013] Было изучено прямое введение последовательностей нуклеиновых кислот для вакцинации против заболеваний животных и человека и много усилий было сосредоточено на эффективных и действенных средствах доставки нуклеиновой кислоты с целью получения необходимой экспрессии желательных антигенов, приводящих к иммунному ответу, и, в конечном счете, к успеху этого способа.

[0014] ДНК-вакцины делают возможным эндогенный антигенный синтез, который индуцирует CD8 + гистосовместимый комплекс, цитотоксические Т-лимфоциты, рестриктированные I классом комплекса гистосовместимости, которые редко получают с субъединичными вакцинами. Кроме того, антигенный синтез, который происходит в течение длительного периода, может помочь преодолеть низкую чувствительность и устраниить или уменьшить потребность в бустер-инъекциях. Кроме того, ДНК-вакцины, по всей видимости, очень стабильны и просты в изготовлении.

[0015] ДНК-вакцины являются безопасными, стабильными, легко получаемыми и хорошо переносятся пациентами в доклинических испытаниях, указывая на отсутствие признаков интеграции плазмида [Martin, T., et al., Plasmid DNA malaria vaccine: the potential for genomic integration after intramuscular injection. Hum Gene Ther, 1999. 10(5): p. 759-68; Nichols, W.W., et al., Potential DNA vaccine integration into host cell genome. Ann N Y Acad Sci, 1995. 772: p. 30-9]. Кроме того, ДНК-вакцины хорошо подходят для повторного введения в связи с тем, что эффективность вакцины не зависит от уже существующих титров антител к вектору [Chattergoon, M., J. Boyer, and D.B. Weiner, Genetic immunization: a new era in vaccines and immune therapeutics. FASEB J, 1997. 11(10): p. 753-63]. Однако, одни из основных препятствий для клинического принятия ДНК-вакцин было снижение иммуногенности при переходе на более крупных животных [Liu, M.A. and J.B. Ulmer, Human clinical trials of plasmid DNA vaccines. Adv Genet, 2005. 55: p. 25-40].

[0016] Последние технологические достижения в проектировании ДНК-вакцинного иммуногена улучшили экспрессию и иммуногенность ДНК-вакцин, такие как кодонная оптимизация, РНК-оптимизации и добавление иммуноглобулиновых лидерных последовательностей [Andre, S., et al., Increased immune response elicited by DNA vaccination with a synthetic gp120 sequence with optimized codon usage. J Virol, 1998. 72(2): p. 1497-503; Deml, L., et al., Multiple effects of codon usage optimization on expression and immunogenicity of DNA candidate vaccines encoding the human immunodeficiency virus type 1 Gag protein. J Virol, 2001. 75(22): p. 10991-1001; Laddy, D.J., et al., Immunogenicity of novel consensus-based DNA vaccines against avian influenza. Vaccine, 2007. 25(16): p. 2984-9; Frelin, L., et al., Codon optimization and mRNA amplification effectively enhances the immunogenicity of the hepatitis C virus nonstructural 3/4A gene. Gene Ther, 2004. 11(6): p. 522-33], а также, в последнее время

разработаны технологии систем доставки плазмид, такие как электропорация [Hirao, L.A., et al., Intradermal/subcutaneous immunization by electroporation improves plasmid vaccine delivery and potency in pigs and rhesus macaques. Vaccine, 2008. 26(3): p. 440-8; Luckay, A., et al., Effect of plasmid DNA vaccine design and *in vivo* electroporation on the resulting vaccine-specific immune responses in rhesus macaques. J Virol, 2007. 81(10): p. 5257-69; Ahlen, G., et al., *In vivo* electroporation enhances the immunogenicity of hepatitis C virus nonstructural 3/4A DNA by increased local DNA uptake, protein expression, inflammation, and infiltration of CD3+ T cells. J Immunol, 2007. 179(7): p. 4741-53]. *In vivo* технология электропорации была использована в клинических испытаниях на людях для доставки противораковых препаратов, таких как блеомицин, и во многих доклинических исследований на большом числе видов животных. Кроме того, исследования показали, что использование консенсусных иммуногенов может увеличить широту клеточного иммунного ответа по сравнению с только нативными антигенами [Yan, J., et al., Enhanced cellular immune responses elicited by an engineered HIV-1 subtype B consensus-based envelope DNA vaccine. Mol Ther, 2007. 15(2): p. 411-21; Rolland, M., et al., Reconstruction and function of ancestral center-of-tree human immunodeficiency virus type 1 proteins. J Virol, 2007. 81(16): p. 8507-14].

[0017] ААнтитела и цитотоксические Т-клетки (ЦТЛ) к различным антигенам HBV могут принимать участие в снижении вирусной нагрузки и очистки HBV-инфицированных клеток из печени. Основная задача для современных вакцин-кандидатов состоит в индукции как гуморального, так и клеточного иммунитета к множественным HBV-антigenам-мишеням и против основных генотипов HBV. По этой причине сохраняется потребность в конструктах нуклеиновых кислот, которые кодируют белок HBV, и композициях, пригодных для индукции иммунного ответа против HBV. Сохраняется потребность в эффективных вакцинах против HBV, которые экономичны и эффективны. Сохраняется потребность в эффективных вакцинах, которые увеличивают нейтрализующие титры антител и вовлекают компонент Т-клеток. Сохраняется потребность в эффективных вакцинах против HBV, в том числе тех, которые эффективны против штаммов HBV, имеющих широкий спектр генотипов, и предпочтительно, в универсальной вакцине, которая будет глобально эффективной.

СУЩНОСТЬ ИЗОБРЕТЕНИЯ

[0018] Настоящее изобретение относится к вакцине, содержащей: (а) молекулу нуклеиновой кислоты, кодирующую один или более белков, выбранных из группы, состоящей из: SEQ ID NO:2, SEQ ID NO:4 и SEQ ID NO:6; (б) молекулу нуклеиновой кислоты, кодирующую один или более белков, выбранных из группы, состоящей из: SEQ

ID NO:10, SEQ ID NO:14, белка, который на 98 % идентичен по всей длине аминокислотной последовательности SEQ ID NO:10, белка, который на 98 % идентичен по всей длине аминокислотной последовательности SEQ ID NO:14; и (с) молекулу нуклеиновой кислоты, кодирующую один или более белков, выбранных из группы, состоящей из: SEQ ID NO: 12, SEQ ID NO:16, белка, который на 98 % идентичен по всей длине аминокислотной последовательности SEQ ID NO:12, и белка, который на 98 % идентичен по всей длине аминокислотной последовательности SEQ ID NO:16. Молекулы нуклеиновых кислот могут содержать одну или более нуклеотидных последовательностей, выбранных из группы, состоящей из: SEQ ID NO:1, SEQ ID NO:3, SEQ ID NO:5, SEQ ID NO:9, SEQ ID NO:11, SEQ ID NO:13 и SEQ ID NO:15.

[0019] Настоящее изобретение также может быть направлено на вакцину, содержащую (а) молекулу нуклеиновой кислоты, кодирующую один или более белков, выбранных из группы, состоящей из: SEQ ID NO:2, SEQ ID NO:4 и SEQ ID NO:6; (б) молекулы нуклеиновой кислоты, кодирующей один или более белков, выбранных из группы, состоящей из: SEQ ID NO:10, SEQ ID NO:14, белка, который на 95 % идентичен по всей длине аминокислотной последовательности полноразмерной аминокислотной последовательности SEQ ID NO:10, белка, который на 95 % идентичен по всей длине аминокислотной последовательности SEQ ID NO:14; и (с) молекулы нуклеиновой кислоты, кодирующей один или более белков, выбранных из группы, состоящей из: SEQ ID NO: 12, SEQ ID NO:16, белка, который на 95 % идентичен по всей длине аминокислотной последовательности полноразмерной аминокислотной последовательности SEQ ID NO:12, и белка, который на 95 % идентичен по всей длине аминокислотной последовательности полноразмерной аминокислотной последовательности SEQ ID NO:16.

[0020] Вакцина может быть плазмидой, содержащей нуклеиновые кислоты, описанные выше. Молекулы нуклеиновых кислот могут быть включены в вирусные частицы. Вакцина может дополнительно содержать адьювантную молекулу. Адьювантом может быть IL-12, IL-15, IL-28, CTACK, TECK, тромбоцитарный фактор роста (PDGF), TNF α , TNF β , GM-CSF, эпидермальный фактор роста (EGF), IL-1, IL-2, IL-4, IL-5, IL-6, IL-10, IL-18, IL-21, IL-31, IL-33 или их комбинация; и в некоторых вариантах реализации изобретения IL-12, IL-15, IL-28 или RANTES.

[0021] Настоящее изобретение также относится к способу индукции иммунного ответа против антигена HBV, включающему введение вакцины согласно настоящему изобретению субъекту.

[0022] Настоящее изобретение также относится к способу защиты субъекта от HBV-инфекции, включающему введение вакцины согласно настоящему изобретению субъекту.

[0023] Настоящее изобретение дополнительно относится к способу защиты субъекта, у которого была диагностирована HBV-инфекция, включающему введение вакцины согласно настоящему изобретению субъекту.

[0024] Настоящее изобретение дополнительно включает вакцины, полезные для индукции иммунного ответа против HBV. Разработка HBV-иммунной терапевтической вакцины с широкой эффективностью против множества генотипов может быть обеспечена с помощью терапевтической ДНК-вакцины HBV, основанной на направленном воздействии на универсально консервативные короспецифические антигены HBV. Использование консенсусных HBV-иммуногенов индуцирует более широкие клеточный иммунный ответы и может быть полезно, чтобы свести к минимуму степень несходства последовательностей между различными штаммами вируса.

[0025] В настоящей заявке предлагаются белки, выбранные из группы, состоящей из: белков, содержащих SEQ ID NO:2; белков, которые на 95 % идентичны по всей длине аминокислотной последовательности SEQ ID NO:2; фрагментов SEQ ID NO:2; белков, которые на 95 % идентичны фрагментам SEQ ID NO:2; SEQ ID NO:4; белков, которые на 95 % идентичны по всей длине аминокислотной последовательности SEQ ID NO:4; фрагментов SEQ ID NO:4; белков, которые на 95 % идентичны фрагментам SEQ ID NO:4; SEQ ID NO:6; белков, которые на 95 % идентичны по всей длине аминокислотной последовательности SEQ ID NO:6; фрагментов SEQ ID NO:6; и белков, которые на 95 % идентичны фрагментам SEQ ID NO:6.

[0026]

В настоящей заявке предлагается белок, выбранный из группы, состоящей из (a) SEQ ID NO:2; (b) белка, который на 95 % идентичен по всей длине аминокислотной последовательности полноразмерной последовательности, указанной в SEQ ID NO:2; (c) иммуногенного фрагмента SEQ ID NO:2, содержащего 20 или более аминокислот SEQ ID NO:2; и (d) иммуногенного фрагмента белка, который на 95 % идентичен по всей длине аминокислотной последовательности SEQ ID NO:2, содержащего 20 или более аминокислот.

[0027] Молекулы нуклеиновых кислот, содержащие последовательности, которые кодируют одну или несколько молекул белка, указанных выше, также предоставляются. В некоторых вариантах реализации изобретения молекула нуклеиновой кислоты содержит последовательность, выбранную из группы, состоящей из: SEQ ID NO:1;

последовательности нуклеиновой кислоты, которая на 95 % идентична по всей длине аминокислотной последовательности SEQ ID NO:1; фрагмента SEQ ID NO:1; последовательности нуклеиновой кислоты, которая на 95 % идентична фрагменту SEQ ID NO:1; SEQ ID NO:3; последовательности нуклеиновой кислоты, которая на 95 % идентична по всей длине аминокислотной последовательности SEQ ID NO:3; фрагмента SEQ ID NO:3; последовательности нуклеиновой кислоты, которая на 95 % идентична фрагменту SEQ ID NO:3; SEQ ID NO:5; последовательности нуклеиновой кислоты, которая на 95 % идентична по всей длине аминокислотной последовательности SEQ ID NO:5; фрагмента SEQ ID NO:5; и последовательности нуклеиновой кислоты, которая на 95 % идентична фрагменту SEQ ID NO:5.

[0028] Некоторые аспекты изобретения предлагают способы индуцирования иммунной реакции HBV, включающие этап введения индивидууму молекул корового антигена HBV и/или поверхностного антигена HBV и/или композиций.

[0029] Дополнительные аспекты изобретения предлагают способы защиты индивидуума против HBV-инфекции. Способы включают этап введения указанному индивидууму профилактически эффективного количества молекулы нуклеиновой кислоты, содержащей такую последовательность нуклеиновой кислоты, или композиций, где последовательность нуклеиновой кислоты экспрессируется в клетках указанного индивидуума и защитная иммунная реакция индуцируется против белка, кодируемого указанной последовательностью нуклеиновой кислоты.

[0030] В некоторых аспектах изобретения предлагаются способы для лечения индивидуума, инфицированного HBV. Способ включает этап введения указанному индивидууму терапевтически эффективного количества таких молекул нуклеиновых кислот и/или композиций.

[0031] В другом аспекте настоящее изобретение предлагает молекулу нуклеиновой кислоты, содержащую кодирующую последовательность, которая кодирует один или более белков, выбранных из группы, состоящей из: (a) белка, содержащего SEQ ID NO:10, SEQ ID NO:12, SEQ ID NO:14 или SEQ ID NO:16; (b) белка, который на 98 % идентичен по всей длине аминокислотной последовательности SEQ ID NO:10, SEQ ID NO:12, SEQ ID NO:14 или SEQ ID NO:16; (c) иммуногенного фрагмента белка, содержащего SEQ ID NO:10, SEQ ID NO:12, SEQ ID NO:14 или SEQ ID NO:16, который состоит из по меньшей мере 20 аминокислот; и (d) иммуногенного фрагмента белка, который на 98 % идентичен по всей длине аминокислотной последовательности SEQ ID NO:10, SEQ ID NO:12, SEQ ID NO:14 или SEQ ID NO:16, который состоит из по меньшей мере 20 аминокислот.

[0032] Молекула нуклеиновой кислоты может содержать одну или более последовательностей, выбранных из группы, состоящей из: (а) последовательности нуклеиновой кислоты, содержащей SEQ ID NO:9, SEQ ID NO:11, SEQ ID NO:13 или SEQ ID NO:15; (б) последовательности нуклеиновой кислоты, которая на 98 % идентична по всей длине аминокислотной последовательности SEQ ID NO:9, SEQ ID NO:11, SEQ ID NO:13 или SEQ ID NO:15; (с) их фрагментов, которые содержат последовательность нуклеиновой кислоты, кодирующую иммуногенные фрагменты, содержащие по меньшей мере 20 аминокислот, кодируемый последовательностью SEQ ID NO:9, SEQ ID NO:11, SEQ ID NO:13 или SEQ ID NO:15; и (д) их фрагментов, которые содержат последовательность нуклеиновой кислоты, кодирующую иммуногенные фрагменты, содержащие по меньшей мере 20 аминокислот белка, который на 98 % идентичен по всей длине аминокислотной последовательности белка, кодируемого последовательностью SEQ ID NO:9, SEQ ID NO:11, SEQ ID NO:13 или SEQ ID NO:15. Молекула нуклеиновой кислоты может быть плазмидой. Молекула нуклеиновой кислоты может быть вектором экспрессии, и последовательности, кодирующие указанный один или более белков, функционально связаны с регуляторными элементами. Молекула нуклеиновой кислоты может быть инкорпорированной в вирусную частицу.

[0033] Некоторые аспекты изобретения предлагают способ индукции иммунного ответа против антигена HBV, включающий введение молекулы нуклеиновой кислоты согласно настоящему изобретению субъекту.

[0034] Некоторые аспекты изобретения предлагают способ защиты субъекта от HBV-инфекции, включающий введение молекулы нуклеиновой кислоты согласно изобретению субъекту.

[0035] Некоторые аспекты изобретения предлагают способ защиты субъекта, у которого была диагностирована HBV-инфекция, включающий введение молекулы нуклеиновой кислоты согласно настоящему изобретению субъекту.

[0036] В еще одном аспекте настоящее изобретение предлагает белок, выбранный из группы, состоящей из: (а) SEQ ID NO:10, SEQ ID NO:12, SEQ ID NO:14 или SEQ ID NO:16; (б) белка, который на 98 % идентичен по всей длине аминокислотной последовательности SEQ ID NO:10, SEQ ID NO:12, SEQ ID NO:14 или SEQ ID NO:16; (с) иммуногенного фрагмента последовательности SEQ ID NO:10, SEQ ID NO:12, SEQ ID NO:14 или SEQ ID NO:16, содержащего 20 или более аминокислот; и (д) иммуногенного фрагмента белка, который на 98 % идентичен по всей длине аминокислотной последовательности SEQ ID NO:10, SEQ ID NO:12, SEQ ID NO:14 или SEQ ID NO:16, содержащего 20 или более аминокислот.

[0037] Некоторые аспекты изобретения предлагают вакцину, полезную для генерации иммунного ответа против HBV у субъекта, содержащую: молекулу нуклеиновой кислоты согласно настоящему изобретению, и адьювантную молекулу. Адьювантом может быть IL-12, IL-15, IL-28, СТАСК, ТЕСК, тромбоцитарный фактор роста (PDGF), TNF α , TNF β , GM-CSF, эпидермальный фактор роста (EGF), IL-1, IL-2, IL-4, IL-5, IL-6, IL-10, IL-18, IL-21, IL-31, IL-33 или их комбинация; и в некоторых вариантах реализации изобретения – IL-12, IL-15, IL-28 или RANTES.

КРАТКОЕ ОПИСАНИЕ ГРАФИЧЕСКИХ МАТЕРИАЛОВ

[0038] Фигура 1 представляет собой карту, показывающую организацию генома HBV, который состоит из четырех перекрывающихся ORF.

[0039] Фигура 2 иллюстрирует организацию и особенности поверхностных антигенов HBV.

[0040] Фигура 3 иллюстрирует IgELS и эндопротеолитический сайт расщепления в консенсусном поверхностном антигене HBV.

[0041] Фигура 4 иллюстрирует длинный консенсусный поверхностный антиген HBV (LHBs) и небольшой консенсусный поверхностный антиген HBV (SHBs).

[0042] Фигура 5 представляет собой карту вектора pGX1801 HepB – Mcore (SEQ ID NO:17).

[0043] Фигура 6 представляет собой карту вектора pGX1802 HepB pLHBs-A (SEQ ID NO:18).

[0044] Фигура 7 представляет собой карту вектора pGX1803 HepB pLHBs-C (SEQ ID NO:19).

[0045] Фигура 8 представляет собой карту вектора pGX1804 HepB pSHBs-A (SEQ ID NO:20).

[0046] Фигура 9 представляет собой карту вектора pGX1805 HepB SHBs-C (SEQ ID NO:21).

[0047] Фигура 10 иллюстрирует филогенетический анализ консенсусной последовательности HBcAg по сравнению с индивидуальными генотипами A, B, C, D и E.

[0048] Фигуры 11A и 11B демонстрируют результаты экспериментов по поводу экспрессии pM Core. Фигура 11A показывает результаты *in vitro* трансляционного протокола. Фигура 11B показывает результаты вестерн-блоттинга.

[0049] Фигура 12 представляет собой график, иллюстрирующий плазмидную карту и последовательность pMCore.

[0050] Фигура 13 показывает реакцию транскрипции/трансляции с использованием плазмида pMCore, в которой полученный М-коровий белок иммуно-осаждался с анти-НА моноклональным антителом и был разогнан в геле SDS-PAGE.

[0051] Фигура 14 показывает обнаружение М-корового белка во временно трансфицированных клетках с использованием первичного моноклонального НА маркерного антитела с последующим обнаружением DyLight 594-меченым противокроличьим вторичным антителом. Hoechst-окраску также использовали для флуоресцентного мечения клеточного ядра. Экспрессия MCore по большей части локализировалась в цитоплазме, как показано окрашиванием вне ядра.

[0052] Фигура 15 иллюстрирует схему иммунизации. 4 мышей иммунизировали внутримышечно 30 мкг pMCore.

[0053] Фигура 16 показывает увеличенную амплитуду секреции IFN- γ в CD8+ и CD4+ Т-клетках из селезенок мышей Balb/C, вакцинированных pM-Core.

[0054] Фигура 17 показывает увеличенную амплитуду секреции IFN- γ в CD8+ и CD4+ Т-клетках из селезенок мышей Balb/C, вакцинированных pM-Core.

[0055] Фигура 18 показывает увеличенную амплитуду секреции TNF- α в CD8+ и CD4+ Т-клетках из селезенок мышей Balb/C, вакцинированных pM-Core.

[0056] Фигура 19 показывает увеличенную амплитуду секреции TNF- α в CD8+ и CD4+ Т-клетках из селезенок мышей Balb/C, вакцинированных pM-Core.

[0057] Фигура 20 показывает увеличенную амплитуду секреции CD 107a в CD8+ и CD4+ Т-клетках из селезенок мышей Balb/C, вакцинированных pM-Core.

[0058] Фигура 21 показывает увеличенную амплитуду секреции f CD 107a в CD8+ и CD4+ Т-клетках из селезенок мышей Balb/C, вакцинированных pM-Core.

[0059] Фигура 22 показывает средний процент HBcAg-специфических CD4 или CD8 IFN- γ^+ , TNF- α^+ секретирующих клеток от мышей Balb/c, иммунизированных контролем pVAX или консенсусным коровым антигеном pMCore.

[0060] Фигура 23 показывает средний процент HBcAg-специфических CD4 или CD8 дважды положительно продуцирующих клеток от мышей Balb/c, иммунизированных контролем pVAX или консенсусным коровым антигеном pMCore.

[0061] Фигура 24 показывает интерферон-гамма Т-клеточный ответ в печени мышей Balb/C, вакцинированных pM-Core.

[0062] Фигура 25 показывает интерферон-гамма Т-клеточный ответ в печени мышей Balb/C, вакцинированных pM-Core.

[0063] Фигура 26 показывает фактора- α некроза опухоли Т-клеточный ответ в печени мышей Balb/C, вакцинированных pM-Core.

[0064] Фигура 27 показывает фактора- α некроза опухоли Т-клеточный ответ в печени мышей Balb/C, вакцинированных pM-Core.

[0065] Фигура 28 показывает процент HBcAg-специфических CD4 и CD8 IFN- γ^+ , TNF- α^+ продуцирующих клеток в печени мышей Balb/c, иммунизированных контролем pVAX или консенсусным коровьим антигеном pMCose.

[0066] Фигура 29 показывает средний процент HBcAg-специфических CD4 или CD8 дважды положительных продуцирующих клеток в печени мышей Balb/c, иммунизированных контролем pVAX или консенсусным коровьим антигеном pMCose.

[0067] Фигура 30 показывает спленоциты, продуцирующие антиген-специфическое антитело. Значения представляют собой среднее \pm стандартную ошибку среднего. Значимость определяли согласно *t*-тесту Стьюдента.

[0068] Фигура 31 показывает данные анализа ELISPOT.

[0069] Фигура 32 показывает частоту HBcAg-специфических IFN- γ пятнообразующих единиц (SFU) на миллион спленоцитов после стимуляции клеток селезенки иммунизированных мышей.

[0070] Фигура 33 показывает данные экспериментов с использованием CSFE-меченых клеток для сравнения элиминации пептида обработанных клеток-мишеней *in vivo* с помощью CD8 Т-клеток у вакцинированных и невакцинированных животных.

[0071] Фигура 34 показывает *in vivo* специфический киллинг. Две группы мышей, иммунизированных pVax (контроль) или pMCose, получали CFSE-меченные клетки-мишени (CFSE^{hi} пульсировали с иррелевантным пептидом или CFSE^{hi} пульсировали с эпитоп-специфическим пептидом) через хвостовую вену. CFSE-меченные клетки, восстановленные и проанализированные с помощью FACS, использовали для определения процента киллинга.

[0072] Фигура 35 показывает сравнение процента пролиферации CD3+CD4+ клеток и CD3+CD8+, обработанных вектором pVax (контроль) или плазмидой pMCose, которая экспрессирует HBV M-кор.

[0073] Фигура 36 показывает процент пролиферации CD4 и CD8 Т-клеток.

[0074] Фигуры 37A и 37B показывают сравнение анти-HBV кора IgG и IgA в серийном разведении сыворотки от животных, обработанных вектором pVax (контроль) или плазмидой pMCose, которая экспрессирует HBV M-кор.

[0075] Фигура 38 показывает HBcAg-специфический гуморальный иммунный ответ, вызванный pMCose, в сыворотке и спленоцитах. Значения представляют собой среднее \pm стандартную ошибку среднего. Значимость определяли согласно *t*-тесту Стьюдента.

[0076] Фигура 39 показывает HBcAg-специфический гуморальный иммунный ответ, вызванный pMCore, в сыворотке и спленоцитах. Значения представляют собой среднее ± стандартную ошибку среднего. Значимость определяли согласно *t*-тесту Стьюдента.

[0077] Фигура 40 показывает процент TNF- α и IFN- γ из CD4+ и CD8+ клеток селезенки и печени.

[0078] Фигура 41 показывает данные экспериментов по определению того, воздействует ли клиренс, индуцированный иммунизированными мышами, на печень, путем измерения уровней ALT в сыворотке.

[0079] Фигура 42 показывает иммунное окрашивание отделов печени, взятых через три дня после гидродинамической инъекции PBS, pMCore (HBcAg) или pNS3/4A (HCV NS3-4A) от наивных мышей и мышей, которые были иммунизированы pMcore. Клиренс очень высокий для pMCore-иммунизированной печени по сравнению с NS3/4a-трансфектированной контрольной печенью. Экспрессию PMcore или NS3/4A обнаруживали с помощью антитела к НА (белые/светло-серые клетки).

[0080] Фигура 43 показывает 3 дня после трансфекции, в которые клетки анализировали по поводу экспрессии маркера дегрануляции, экспрессии CD107a и IFN- γ + после стимуляции пептидами HBcAg.

[0081] Фигура 44 показывает уровни ALT в сыворотке в день 3, 6 и 12 после трансфекции, уровни были измерены и не доказали повышения у релевантных вакцинированных животных.

[0082] Фигура 45 показывает общие клеточные иммунные ответы у обезьян, иммунизированных небольшой (т.е., pMCore, pSHb A и pSHb C), длинной (т.е., pMCore, pLHb A и pLHb C) и длинной+IL-12 (т.е., pMCore, pLHb A, pLHb C и prIL-12) вакцинами.

[0083] Фигура 46 показывает короспецифические клеточные иммунные ответы у обезьян, иммунизированных небольшой (т.е., pMCore, pSHb A и pSHb C), длинной (т.е., pMCore, pLHb A и pLHb C) и длинной+IL-12 (т.е., pMCore, pLHb A, pLHb C и prIL-12) вакцинами.

[0084] Фигура 47 показывает клеточные иммунные ответы, специфические к поверхностному антигену A, у обезьян, иммунизированных небольшой (т.е., pMCore, pSHb A и pSHb C), длинной (т.е., pMCore, pLHb A и pLHb C) и длинной+IL-12 (т.е., pMCore, pLHb A, pLHb C и prIL-12) вакцинами.

[0085] Фигура 48 показывает данные анализа ELISPOT клеточных иммунных ответов, специфических к поверхностному антигену C, у обезьян, иммунизированных небольшой (т.е., pMCore, pSHb A и pSHb C), длинной (т.е., pMCore, pLHb A и pLHb C) и длинной+IL-12 (т.е., pMCore, pLHb A, pLHb C и prIL-12) вакцинами.

[0086] Фигура 49 показывает общие клеточные иммунные ответы у обезьян, иммунизированных небольшой (т.е., pMCore, pSHb A и pSHb C), длинной (т.е., pMCore, pLHb A и pLHb C) и длинной+IL-12 (т.е., pMCore, pLHb A, pLHb C и prIL-12) вакцинами.

[0087] Фигура 50 показывает сравнение анти-HBV антител в серийном разведении сыворотки от обезьян, иммунизированных небольшой (т.е., pMCore, pSHb A и pSHb C), длинной (т.е., pMCore, pLHb A и pLHb C) и длинной+IL-12 (т.е., pMCore, pLHb A, pLHb C и prIL-12) вакцинами.

[0088] Фигура 51 показывает сравнение анти-HBVантител в серийном разведении сыворотки от животных, иммунизированных длинной+IL-12 (т.е., pMcore, pLHb A, pLHb C и prIL-12) вакциной.

[0089] Фигура 52 показывает ДНК-конструкт поверхностного антигена HBV и его экспрессию. (А) Филогенетический анализ консенсусных последовательностей HBs генотипов А и С по сравнению с природным HBs. Консенсусные последовательности обозначены звездочками. (В) Схематическая диаграмма генных вставок HBs в ДНК-плазмиды. pLHBs и pSHBs представляют большие и небольшие белковые антигены HBs. Белки preS1, preS2 и основной S присоединены к сайтам эндопротеолитического расщепления. (С) Выявление pLHBs и pSHBs с помощью внутриклеточного окрашивания трансфектированных клеток RD моноклональным антителом и поликлональной мышиной сывороткой.

[0090] ФФигура 53 показывает, что pLHBs и SHBs вызывают мощные антителопродуцирующий и Т-клеточные ответы у BALB/c. По пять мышей линии Balb/c на группу иммунизировали в трех различных экспериментах и проанализировали их по поводу индукции как гуморального, так и клеточного ответа. (А) HBs-специфические IgG реакции, измеренные через одну неделю после каждой иммунизации. Стрелка указывает время иммунизации. (В) Общие IFN- γ реакции, вызванные каждым конструктом к синтетическим preS1/S2 и основному S пептидам. (С) Характеристика HBs-специфических иммуногенные детерминант с помощью использования отдельных пептидов HBs в 16 и 12-матричных пулах LHBs и SHBs соответственно. Это показывает повышенную ширину клеточно-опосредованного иммунного ответа.

[0091] Фигура 54 показывает *in vivo* специфический киллинг. Различные группы мышей, иммунизированные либо pVax (контроль), или любым из четырех конструктов HBs, получили CFSE-меченные клетки-мишени (CFSE^{lo}, пульсирующие с иррелевантным пептидом, или CFSE^{hi}, пульсирующие с эпитоп-специфическим пептидом) через хвостовую вену. CFSE-меченные клетки извлекали и анализ с помощью FACS

(флуоресцентно-активированный клеточный сортинг) использовали для количественной оценки процента киллинга.

[0092] Фигура 55 показывает, что вакциинный коктейль HBc/HBs вызывает устойчивые иммунные реакции. (A) HBs-специфические реакции антител из сывороток от мышей, иммунизированных вакциинным коктейлем HBs/HBc в различные моменты времени иммунизации (стрелка). (B) IFN- γ ответы после ex vivo стимуляции спленоцитов от мышей, иммунизированных коктейлем HBs/HBc. Иммунизированные мыши отвечали как на коровьи, так и поверхностные антигенные пептиды.

[0093] Фигура 56 показывает, что антиген-специфические CD8 Т-клетки индуцируют противовирусные цитокины. Внутриклеточное окрашивание анти-вирусных цитокинов после ex-vivo стимуляции спленоцитов от мышей BALB/c из различных иммунизированных групп (Таблица 3). Лимфоциты окрашивали антителами к CD3, CD4, CD8, IFN- γ , TNF- α , IL-2 и CD107a. Эти данные представлены 4 мышами из каждой группы в 3 различных экспериментах.

[0094] Фигура 57 показывает иммуногенность у нечеловекообразных приматов. Пять макак-резусов иммунизировали внутримышечно pSHBs/pMCore, pLHBs/pMCore или pLHBs/pMCore + pIL-12 (Таблица 4), а затем с помощью электропорации. Обезьяны получили три прививки. (A) Высокие титры антител к HBs наблюдались только после 2 прививки. (B) Ответы IFN- γ измеряли один раз перед первой иммунизацией и через 2 недели после каждой иммунизации. (C) Многие положительные HBs матричные пептидные пулы наблюдались у большинства обезьян из разных групп, подтверждая широкие Т-клеточные ответы у иммунизированных макак. (D) Внутриклеточное окрашивание (IFN- γ , TNF- α , ИЛ-2) PBMCs после последней иммунизации показывает продуцирование HBs и HBc-специфических антивирусных цитокинов как в CD4, так и в CD8.

[0095] Фигуры 58A-58D показывают безопасность терапевтической HBV-вакцины у макак-резусов. Образцы анализировали до вакцинации (pre), после третьей вакцинации (3rd), перед четвертой вакцинацией (pre4th), после четвертой вакцинации (4th). Была ошибка анализа на щелочную фосфатазу после третьей вакцинации. Нормальный диапазон для всех измерений изображен пунктирными линиями. (A) Сывороточная щелочная фосфатаза. (B) Уровни сывороточной аланинаминотрансферазы (ALT). (C) Уровни сывороточной аспартатаминотрансферазы (AST). (D) Уровни общего билирубина в сыворотке. (E) Уровни сывороточного креатинина. (F) сывороточные уровни азота мочевины крови.

[0096] Фигуры 59A-59D показывают аннотацию последовательностей для четырех плазмид HBs. Последовательности лидера IgE, эндопротеолитического сайта расщепления

и С-концевой НА-метки подчеркнуты. Четыре HBs плазмиды: большой поверхностный белок генотипа А (pLHBs-А) (А) и небольшой поверхностный белок (pSHBs-А) (В) и большой поверхностный белок генотипа С (pLHBs-С) (С), и небольшой поверхностный белок (pSHBs-С) (Д).

ПОДРОБНОЕ ОПИСАНИЕ СУЩНОСТИ ИЗОБРЕТЕНИЯ

[0097] Настоящее изобретение относится к высокооптимизированным поливалентным синтетическим иммуногенам вируса гепатита В (HBV), которые вызывают продукцию антител и клеточно-опосредованный иммунитет против HBV-поверхностных (HBs) и HBV-коровых (HBc) антигенов. Эти плазмиды, которые кодируют наиболее распространенные генотипы вируса, индуцируют связывающие антитела к HBs-антigenам и возбуждают надежный клеточный иммунитет (СМІ) к обоим HBc и HBs антигенам. Плазмиды независимо вызвали широкие кросс-реактивные Т-клеточные ответы и ответы с высоким титром антител, а также вакциноиндуцированную цитотоксическую активность. Плазмидные коктейли, содержащие оба поверхностных антигена, индуцируют сильный и широкий клеточный иммунный ответ по нескольким антигенным эпитопам, в частности, широкую перекрестную реактивность между генотипами А и С вируса. Оптимизированные плазмидные коктейли, кодирующие антигены HBs и HBc, индуцировали сильный гуморальный и клеточный ответ, нацеленный на S-антigen, и повлекли различные мультиэпитопные реакции, связанные с очисткой инфицированных гепатоцитов.

[0098] В частности, настоящее изобретение относится к вакцинам для вируса гепатита В (HBV), которые могут быть использованы для защиты человека от HBV-инфекции и обеспечить терапевтические преимущества индивидууму с диагнозом HBV-инфекции. Такие вакцины также могут быть использованы для индукции иммунного ответа против антигена HBV. HBV-вакцины согласно настоящему изобретению содержат одну или несколько молекул нуклеиновых кислот. В частности, молекула нуклеиновой кислоты кодирует один или несколько консенсусных коровых белков HBV. Консенсусные коровые белки HBV получают из последовательностей коровых белков генотипов А, В, С, Д и Е HBV, и, следовательно, консенсусные коровые белки HBV являются уникальными. Молекулы нуклеиновых кислот могут также кодировать один или более иммуногенных фрагментов консенсусных коровых белков HBV.

[0099] Кроме того, молекулы нуклеиновых кислот могут кодировать один или более консенсусных поверхностных антигенов HBV. Консенсусные поверхностные антигены HBV получают из последовательностей поверхностных антигенов из изолятов генотипа А HBV, и, следовательно, консенсусные поверхностные антигены HBV являются

уникальными. Консенсусные поверхностные антигены HBV также могут быть получены из последовательностей поверхностных антигенов из изолятов генотипа С HBV, давая уникальные поверхностные антигены HBV. Молекулы нуклеиновой кислоты могут также кодировать один или более иммуногенных фрагментов консенсусных поверхностных антигенов HBV.

[00100] Вакцина согласно настоящему изобретению может включать любую комбинацию молекул нуклеиновых кислот, кодирующих консенсусный коровий белок HBV, и/или молекулы нуклеиновых кислот, кодирующих консенсусный поверхностный антиген HBV. Вакцина также может включать любую комбинацию молекул нуклеиновых кислот, кодирующих иммуногенные фрагменты консенсусного корового белка HBV, и/или молекул нуклеиновых кислот, кодирующих иммуногенные фрагменты консенсусного поверхностного антигена HBV.

[00101] Эти комбинации корового белка HBV и поверхностного антигена HBV удивительно и неожиданно индуцируют дифференциальный иммунный ответ на коровий белок HBV и поверхностный антиген HBV. Другими словами, сила иммунного ответа на коровий белок HBV и поверхностный антиген HBV отличается в зависимости от конкретной комбинации, вводимой субъекту. Соответственно, любой пользователь вакцины согласно настоящему изобретению может создать вакцину, которая содержит определенную комбинацию, чтобы вызвать желаемый иммунный ответ у субъекта, которому вводят такую разработанную вакцину. Таким образом, любой пользователь может адаптировать вакцину согласно настоящему изобретению, чтобы контролировать уровень иммунного ответа у субъекта.

[00102] Вакцина согласно настоящему изобретению широко применяется для различных типов HBV благодаря уникальным последовательностям консенсусного корового белка HBV и поверхностного антигена HBV.

[00103] Вакцина согласно настоящему изобретению может дополнитель но включать одну или несколько молекул нуклеиновых кислот, как описано выше, и один или несколько белков, кодируемых такой молекулой нуклеиновой кислоты.

1. Определения

[00104] Терминология, использованная в настоящем документе с целью описания конкретных вариантов осуществления, не предназначена для ограничения. Как используется в настоящем описании и прилагаемой формуле изобретения, формы единственного числа включают ссылки на множественное число, если из контекста явно не следует иное.

[00105] Для чтения числовых диапазонов в данном документе каждое промежуточное число между ними с той же степенью точности явно предусмотрено. Например, для диапазона 6-9 числа 7 и 8 рассматриваются в дополнение к 6 и 9, а для диапазона 6,0-7,0, числа 6,0, 6,1, 6,2, 6,3, 6,4, 6,5, 6,6, 6,7, 6,8, 6,9, и 7,0 явно предусмотрены.

[00106] «Адъювант», как используется в данном документе, означает любую молекулу, добавленную к ДНК-плазмидным вакцинам, описанным в настоящем документе, для повышения иммуногенности антигенов, кодируемыи ДНК-плазмидами и кодирующими последовательностями нуклеиновых кислот, описанными в настоящем документе ниже.

[00107] "Антитело", как используется в данном документе, означает антитело классов IgG, IgM, IgA, IgD или IgE, или фрагменты, или их фрагменты или производные, включая Fab, F (ab⁻¹) 2, Fd и одноцепочечные антитела, диатела, биспецифические антитела, бифункциональные антитела и их производные. Антитело может представлять собой антитело, выделенное из сыворотки образца млекопитающего, поликлональное антитело, аффинно-очищенное антитело или их смеси, которые обладает достаточной специфичностью связывания с нужным эпитопом или последовательностью, полученной из него.

[00108] "Кодирующая последовательность" или "кодирующая нуклеиновая кислота", как используется в данном документе, означает нуклеиновые кислоты (РНК или ДНК-молекула), которые содержат нуклеотидную последовательность, которая кодирует белок. Кодирующая последовательность может дополнительно включать сигналы инициации и терминации, функционально связанный с регуляторными элементами, включая промотор и сигнал полиаденилирования, способными управлять экспрессией в клетках человека или млекопитающих, которым вводят нуклеиновую кислоту.

[00109] "Комplement" или "комплементарный", как используется в данном документе, означает нуклеиновую кислоту, может означать спаривание оснований Уотсона-Крика (например, A-T/U и C-G) или Хугстена между нуклеотидами или нуклеотидными аналогами молекул нуклеиновых кислот.

[00110] "Консенсус" или "консенсусная последовательность", как используется в данном документе, означает полипептидную последовательность, основанную на анализе выравнивания нескольких подтипов конкретного HBV-антигена, такого как коровий или поверхностный антиген HBV. Могут быть получены последовательности нуклеиновых кислот, которые кодируют консенсусную полипептидную последовательности. Вакцины, содержащие белки, которые содержат консенсусные последовательности и/или молекулы нуклеиновых кислот, которые кодируют такие белки, могут быть использованы для

индуцирования иммунитета против широкого множества подтипов или серотипов конкретного антигена HBV.

[00111] "Электропорация", "электро-пермеабилизация" или "электро-кинетический энхансмент" ("EP"), как используется в данном документе взаимозаменямо, означает использование импульса трансмембранных электрического поля, чтобы вызвать микроскопические пути (поры) в биомембранах; их присутствие позволяет биомолекулам, таким как плазмины, олигонуклеотиды, миРНК, лекарства, ионы и вода, пройти с одной стороны клеточной мембраны на другую.

[00112] "Фрагмент", как используется в данном документе относительно последовательности нуклеиновой кислоты, означает последовательность нуклеиновой кислоты, или ее часть, которая кодирует полипептид, способный вызывать иммунный ответ у млекопитающего, которые перекрестно реагируют с полноразмерным антигеном штамма HBV дикого типа. Фрагменты могут быть фрагментами ДНК, выбранными из по меньшей мере одной из различных нуклеотидных последовательностей, которые кодируют белковые фрагменты, описанные ниже.

[00113] "Фрагмент" или "имmunогенный фрагмент" относительно полипептидных последовательностей означает полипептид, способный вызывать иммунный ответ у млекопитающего, который перекрестно реагирует с полноразмерным антигеном штамма HBV дикого типа. Фрагменты консенсусных белков могут содержать по меньшей мере 10 % по меньшей мере 20 % по меньшей мере 30 % по меньшей мере 40 % по меньшей мере 50 % по меньшей мере 60 % по меньшей мере 70 % по меньшей мере 80 % по меньшей мере 90 % или по меньшей мере 95 % консенсусного белка. В некоторых вариантах реализации изобретения фрагменты консенсусных белков могут содержать по меньшей мере 20 аминокислот или более по меньшей мере 30 аминокислот или более, по меньшей мере 40 аминокислот или более по меньшей мере 50 аминокислот или более по меньшей мере 60 аминокислот или более по меньшей мере 70 аминокислот или более по меньшей мере 80 аминокислот или более по меньшей мере 90 аминокислот или более по меньшей мере 100 аминокислот или более по меньшей мере 110 аминокислот или более по меньшей мере 120 аминокислот или более по меньшей мере 130 аминокислот или более по меньшей мере 140 аминокислот или более по меньшей мере 150 аминокислот или более по меньшей мере 160 аминокислот или более по меньшей мере 170 аминокислот или более по меньшей мере 180 аминокислот или более по меньшей мере 190 аминокислот или более по меньшей мере 200 аминокислот или более по меньшей мере 210 аминокислот или более по меньшей мере 220 аминокислот или более по меньшей мере 230 аминокислот или более, или по меньшей мере 240 аминокислот или более консенсусного белка.

[00114] Как используется в данном документе, термин "генетический конструкт" относится к молекулам ДНК или РНК, которые содержат нуклеотидную последовательность, которая кодирует белок. Кодирующая последовательность включает сигналы инициации и терминации, функционально связанные с регуляторными элементами, включая промотор и сигнал полиаденилирования, способные управлять экспрессией в клетках индивидуума, которому молекулу нукleinовой кислоты вводят. Как используется в данном документе, термин "экспрессирующая форма" относится к генным конструктам, содержащим необходимые регуляторные элементы, функционально связанные с кодирующей последовательностью, которая кодирует белок, таким образом, что когда они присутствуют в клетке индивидуума, кодирующая последовательность будет экспрессироваться.

[00115] Термин "гомология", как используется в данном документе, относится к степени комплементарности. Может быть частичная гомология или полная гомология (т.е., идентичность). Частично комплементарная последовательность, которая по меньшей мере частично ингибирует полностью комплементарную последовательность из гибридизации с нукleinовой кислотой-мишенью, называют с помощью функционального термина "по существу гомологичными". При использовании касательно последовательности двухцепочечной нукleinовой кислоты, такой как кДНК или геномный клон, термин "по существу гомологичные", как используется в данном документе, относится к зонду, который может гибридизироваться с цепью последовательности двухцепочечной нукleinовой кислоты в условиях низкой жесткости. При использовании касательно последовательности одноцепочечной нукleinовой кислоты термин "по существу гомологичные", как используется в данном документе, относится к зонду, который может гибридизироваться с (т.е., является комплементом) матричной последовательностью одноцепочечной нукleinовой кислоты в условиях низкой жесткости.

[00116] "Идентичные" или "идентичность", как используется в данном документе в контексте двух или более нукleinовых кислот или полипептидных последовательностей, означает, что последовательности имеют определенный процент остатков, которые являются такими же в пределах определенной области. Процент может быть рассчитан путем оптимального выравнивания двух последовательностей, сравнения двух последовательностей в указанной области, определения числа положений, в которых идентичные остатки присутствуют в обеих последовательностях с получением числа совпадающих положений, деления числа совпадающих положений на общее количество положений указанной области, и умножения результата на 100 для получения процента идентичности последовательностей. В тех случаях, когда эти две последовательности

имеют разную длину или выравнивание производит один или несколько расположенных в шахматном порядке концов и определенная область сравнения включает только одну последовательность, остатки одной последовательности включены в знаменатель, но не числитель расчета. При сравнении ДНК и РНК, тимин (Т) и урацил (У) можно считать эквивалентными. Идентичность может быть выполнена вручную или с помощью компьютерного алгоритма последовательностей, такого как BLAST или BLAST 2.0.

[00117] "Иммунный ответ", как используется в данном документе, означает активацию иммунной системы хозяина, например, млекопитающего, в ответ на введение антигена, такого как консенсусный антиген HBV. Иммунный ответ может быть в виде клеточного или гуморального ответа, или того и другого.

[00118] "Нуклеиновая кислота" или "олигонуклеотид" или "полинуклеотид", как используется в данном документе означает, по меньшей мере два нуклеотида, ковалентно связанных друг с другом. Описание одной цепи также определяет последовательность комплементарной цепи. Таким образом, нуклеиновая кислота включает также комплементарную цепь описанной одной цепи. Многие варианты нуклеиновой кислоты могут быть использованы с той же целью как и данная нуклеиновая кислота. Таким образом, нуклеиновая кислота включает также по сути идентичные нуклеиновые кислоты и их комплементы. Одна цепь обеспечивает зонд, который может гибридизоваться с последовательностью-мишенью в жестких условиях гибридизации. Таким образом, нуклеиновая кислота также включает зонд, который гибридизуется в жестких условиях гибридизации.

[00119] Нуклеиновые кислоты могут быть одноцепочечными или двухцепочечными, или могут содержать участки как двухцепочечной, так и одноцепочечной последовательности. Нуклеиновая кислота может представлять собой ДНК, как геномные, так и кДНК, РНК или гибрид, в котором нуклеиновая кислота может содержать комбинации дезоксирибо- и рибонуклеотидов, и комбинации оснований, включая урацил, аденин, тимин, цитозин, гуанин, инозин, ксантин гипоксантин, изоцитозина и изогуанин. Нуклеиновые кислоты могут быть получены методами химического синтеза или рекомбинантными способами.

[00120] Термин "функционально связанный", как используется в данном документе, означает, что экспрессия гена находится под контролем промотора, с которым он пространственно связан. Промотор можно расположить в положении 5' (апстрим) или 3' (даунстрим) гена под его контролем. Расстояние между промотором и геном может быть примерно таким же, как расстояние между указанным промотором и геном, который он контролирует, в гене, из которого промотор получен. Как известно в данной области

техники, изменение этого расстояния может обеспечиваться без потери функции промотора.

[00121] "Промотор", как используется в данном документе, означает синтетическую или природно-полученную молекулу, которая способна придавать, активировать или усиливать экспрессию нуклеиновой кислоты в клетке. Промотор может включать одну или более конкретных последовательностей, регулирующих транскрипцию, чтобы дополнительно усилить экспрессию и/или изменить пространственную экспрессию и/или временную экспрессию нуклеиновой кислоты. Промотор может также содержать дистальные энхансерные или репрессорные элементы, которые могут размещаться на расстоянии до нескольких тысяч пар оснований от стартового сайта транскрипции. Промотор может быть получен из источников, включая вирусные, бактериальные, грибковые, растения, насекомых и животных. Промотор может регулировать экспрессию генного компонента конститтивно, либо дифференцированно по отношению к клетке, ткани или органу, в котором происходит экспрессия или по отношению к стадии развития, при которой происходит экспрессия, либо в ответ на внешние раздражители, такие как физиологические стрессы, патогенные микроорганизмы, ионы металлов или индуцирующие агенты. Репрезентативные примеры промоторов включают промотор бактериофага T7, промотор бактериофага T3, промотор SP6, промотор lac-оператора, tac-промотор, поздний промотор SV40, ранний промотор SV40, промотор RSV-LTR, промотор CMV IE, ранний промотор SV40 или поздний промотор SV40 и промотор CMV IE.

[00122] "Сигнальный пептид" и "лидерная последовательность" используются здесь взаимозаменяющими и относятся к аминокислотной последовательности, которая может связываться с амино-концом белка HBV, указанного в данном документе. Сигнальные пептиды/лидерные последовательности, как правило, направляют локализацию белка. Сигнальные пептиды/лидерные последовательности, используемые в настоящем описании, предпочтительно облегчают секрецию белка из клетки, в которой он произведен. Сигнальные пептиды/лидерные последовательности часто отщепляются от остальной части белка, часто упоминаемого как зрелый белок, при секреции из клетки. Сигнальные пептиды/лидерные последовательности присоединяются к N-концу белка.

[00123] "Жесткие условия гибридизации", как используется в данном документе, означают условия, при которых первая последовательность нуклеиновой кислоты (например, зонд) гибридизирует со второй последовательностью нуклеиновой кислоты (например, мишенью), такой как в сложной смеси нуклеиновых кислот. Жесткие условия зависят от последовательности и будут отличаться в разных обстоятельствах. Жесткие условия могут быть выбраны, чтобы составлять приблизительно на 5-10 °C ниже, чем точка

плавления (T_m) для конкретной последовательности при определенных ионной силе и рН. T_m может быть температурой (при определенных ионной силе, рН и концентрации нуклеиновой кислоты), при которой 50 % зондов, комплементарных мишени, гибридизируют с последовательностью-мишенью в равновесии (так как последовательности-мишени присутствуют в избытке, при T_m , 50 % зондов заняты в равновесии). Жесткие условия могут быть такими, при которых концентрация соли составляет менее чем приблизительно 1,0 М иона натрия, например, приблизительно 0,01-1,0 М концентрация иона натрия (или других солей) при рН от 7,0 до 8,3, а температура составляет, по меньшей мере по меньшей мере приблизительно 30 °C для коротких зондов (например, приблизительно 10-50 нуклеотидов) и, по меньшей мере по меньшей мере приблизительно 60 °C для длинных зондов (например, более чем приблизительно 50 нуклеотидов). Жесткие условия могут быть также достигнуты при добавлении дестабилизирующих агентов, таких как формамид. Для селективной или специфической гибридизации, положительный сигнал может составлять, по меньшей мере по меньшей мере от 2 до 10 раз фоновой гибридизации. Примеры жестких условий гибридизации включают следующее: 50 % формамид, 5-кратный SSC и 1 % SDS, инкубация при 42 °C, или, 5x SSC, 1 % SDS, инкубация при 65 °C, с промывкой в $0,2 \times$ SSC и 0,1 % SDS при 65 °C.

[00124] "Практически комплементарные", как используется в данном документе, означает, что первая последовательность, по меньшей мере по меньшей мере на 60 %, 65 %, 70 %, 75 %, 80 %, 85 %, 90 %, 95 %, 97 %, 98 % или 99 % идентична комплементу второй последовательности по области из 8, 9, 10, 11, 12, 13, 14, 15, 16, 17, 18, 19, 20, 21, 22, 23, 24, 25, 30, 35, 40, 45, 50, 55, 60, 65, 70, 75, 80, 85, 90, 95, 100, 180, 270, 360, 450, 540 или более нуклеотидов или аминокислот, или что две последовательности гибридизируют в жестких условиях гибридизации.

[00125] "Практически идентичные", как используется в данном документе, означает, что первая последовательность, по меньшей мере по меньшей мере на 60 %, 65 %, 70 %, 75 %, 80 %, 85 %, 90 %, 95 %, 97 %, 98 % или 99 % идентична по области из 8, 9, 10, 11, 12, 13, 14, 15, 16, 17, 18, 19, 20, 21, 22, 23, 24, 25, 30, 35, 40, 45, 50, 55, 60, 65, 70, 75, 80, 85, 90, 95, 100, 180, 270, 360, 450, 540 или более нуклеотидов или аминокислот или относительно к нуклеиновым кислотам, если первая последовательность, по существу, дополняет состав второй последовательности.

[00126] "Подтип" или "серотип": как используется в данном документе, взаимозаменяемы, и относительно HBV означает генетические варианты HBV, так что один подтип распознается иммунной системой отдельно от другого подтипа.

[00127] "Вариант", используемый здесь в связи с нуклеиновой кислотой, означает (I) часть или фрагмент указанной нуклеотидной последовательности; (II) комплемент указанной нуклеотидной последовательности или ее части; (III) нуклеиновую кислоту, которая по существу идентична указанной нуклеиновой кислоте или ее комплементу; или (IV) нуклеиновую кислоту, которая гибридизирует в жестких условиях с указанной нуклеиновой кислотой, ее комплементом, или последовательности, по существу, идентичные ей.

[00128] "Вариант" относительно пептида или полипептида, который отличается по аминокислотной последовательности вставкой, делецией или консервативным замещением аминокислот, но сохраняет, по меньшей мере по меньшей мере одну биологическую активность. Вариант может также означать белок с аминокислотной последовательностью, которая по существу идентична указанному белку с аминокислотной последовательностью, которая сохраняет, по меньшей мере по меньшей мере одну биологическую активность. Консервативное замещение аминокислоты, то есть, замена аминокислоты другой аминокислотой со сходными свойствами (например, гидрофильностью, степенью и распределением заряженных участков), признается в уровне техники, как правило, таким, что включает незначительные изменения. Эти незначительные изменения могут быть определены, в частности, при рассмотрении индекса гидропатичности аминокислот, как известно в данной области. Kyte et al., J. Mol. Biol. 157:105-132 (1982). Индекс гидропатичности аминокислот Гидропатический индекс аминокислоты основан на рассмотрении его гидрофобности и заряда. Как известно в данной области техники, аминокислоты с подобными индексами гидропатичности могут быть замещенными и по-прежнему сохранять функцию белка. В одном аспекте аминокислоты, имеющие индексы гидропатичности ± 2 замещаются. Гидрофильность аминокислот может быть также использована для выявления замещений, которые могли бы дать белки, сохраняющие биологическую функцию. Рассмотрение гидрофильности аминокислот в контексте пептида позволяет рассчитать наибольшую локальную среднюю гидрофильность этого пептида, полезное измерение, которое, как сообщалось, хорошо коррелирует с антигенностью и иммуногенностью. Патент США № 4 554 101, включенный в данный документ в полном объеме путем ссылки. Замещение аминокислот, имеющих аналогичные величины гидрофильности, может привести к пептидам, сохраняющим биологическую активность, например, иммуногенность, как известно в данной области. Замещения могут быть выполнены с аминокислотами, имеющими значения гидрофильности в пределах ± 2 относительно друг друга. Как индекс гидрофобности, так и значение гидрофильности аминокислот зависят от конкретной боковой цепи этой

аминокислоты. В соответствии с этим наблюдением, аминокислотные замещения, которые совместимы с биологической функцией, как подразумевается, зависят от относительного сходства аминокислот и, в частности, боковых цепей этих аминокислот, как обнаружено с помощью гидрофобности, гидрофильности, заряда, размера и других свойств.

[00129] "Вектор", как используется в данном документе, означает последовательность нуклеиновой кислоты, содержащую точку начала репликации. Вектор может быть вирусным вектором, бактериофагом, бактериальной искусственной хромосомой или искусственной хромосомой дрожжей. Вектор может быть ДНК или РНК вектором. Вектор может быть самовоспроизводящимся экстрахромосомным вектором, и предпочтительно, представляет собой плазмидную ДНК.

2. Вакцины

[00130] Настоящее изобретение относится к вакцине против гепатита В. Вакцина против гепатита В (HBV) может содержать нуклеиновую кислоту, кодирующую коровий антиген HBV, поверхностный антиген HBV или их комбинацию; коровий антиген HBV, поверхностный антиген HBV или их комбинации, или комбинацию (1) нуклеиновой кислоты, кодирующей коровий антиген HBV и/или поверхностный антиген HBV, и (2) корового антигена HBV и/или поверхностного антигена HBV, или (3) их комбинации. Коровий антиген HBV может содержать консенсусный белок, полученный из аминокислотных последовательностей капсидных белков от различных генотипов HBV. Аналогичным образом, поверхностный антиген HBV может содержать консенсусный белок, полученный из аминокислотных последовательностей поверхностных антигенов от нескольких генотипов HBV. Такой коровий белок HBV и консенсусные поверхностные антигены HBV являются уникальными и имеют сходство с коровыми и поверхностными антигенами, соответственно, в целом по нескольким генотипам HBV. Таким образом, вакцина согласно настоящему изобретению применима к нескольким типам HBV и подходит для распространенных популяций. Кроме того, вакцина согласно настоящему изобретению может быть приспособлена к конкретным нуклеиновым кислотам, кодирующими консенсусный коровий белок HBV, консенсусный поверхностный белок HBV или их комбинацию. Другими словами, вакцина согласно настоящему изобретению может быть предназначена для контроля уровня или силы иммунного ответа у субъекта против одного или нескольких серотипов HBV.

[00131] Вакцина может быть ДНК-вакциной. ДНК-вакцины раскрыты в патентах США № 5 593 972, 5 739 118, 5 817 637, 5 830 876, 5 962 428, 5 981 505, 5 580 859, 5 703 055 и 5 676 594, которые включены в настоящее описание полностью в качестве ссылки. ДНК-вакцина

может дополнительно содержать элементы или реагенты, которые ингибируют ее интеграцию в хромосому.

[00132] Вакцина может быть РНК капсидного белка HBV и/или белком поверхностного антигена HBV. РНК-вакцина может быть введена в клетку.

a. Коровий антиген HBV

[00133] Вакцина согласно настоящему изобретению может содержать коровий белок HBV. Коровий белок HBV является мишенью для иммунно опосредованного вирусного клиренса, вызывая 1) ЦТЛответы цитотоксических Т-лимфоцитов (ЦТЛ), 2) Т-хелперные ответы и/или 3) ответы В-клеток или, предпочтительно, все вышеуказанные для перекрестной презентации.

[00134] Таблица 2 показывает сходство между генотипами корового антигена из генотипов HBV-A, HBV-B, HBV-C, HBV-D и HBV-E с консенсусным коровым белком HBV, названным в графе как "HBV-M-core". Для некоторых вариантов осуществления М-коровий конструкт HBV был разработан для увеличения гомологии для широкого круга коровых мишеней HBV. Сходства генотипов для корового антигена с разработанным М-коровым конструктом увеличили гомологии для широкого круга коровых мишеней HBV. Все генотипы должны быть представлены в универсальной иммунной терапевтической вакцине для HBV.

Таблица 2. Процент идентичности коровых белков HBV

отклонение		Процент идентичности						
		1	2	3	4	5	6	
1		96,2	96,2	97,8	95,6	98,4		1 - HBV-A-ConCore
2	3,9		100	95,6	93,4	96,7		2 - HBV-B-ConCore
3	3,9	0		95,6	93,4	96,7		3 - HBV-C-ConCore
4	2,2	4,5	4,5		97,8	97,8		4 - HBV-D-ConCore
5	4,5	6,9	6,9	2,2		95,6		5 - HBV-E-ConCore
6	1,7	3,4	3,4	2,2	4,5			6 - HBV-M-Core
	1	2	3	4	5	6		

[00135] Антиген может содержать эпитопы корового белка, которые делают их эффективными, в частности, в качестве иммуногенов, против которых анти-HBV иммунные ответы могут быть индуцированы. Антиген HBV может содержать полноразмерный продукт, его вариант, его фрагмент или их комбинацию.

[00136] Коровий антиген HBV может содержать консенсусный белок. Консенсусный коровий антиген HBV индуцирует антиген-специфическую Т-клетку и высокий титр антител как системно, так и в печени. Таким образом, защитный иммунный ответ обеспечивается в печени с помощью вакцин, содержащих консенсусный коровий антиген HBV. Соответственно, любой пользователь может создать вакцину согласно настоящему изобретению, которая включает консенсусный коровий антиген HBV, чтобы обеспечить иммунную терапию и/или защиту печени.

[00137] В частности, в индуцированной иммунной реакции, консенсусный коровий антиген HBV стимулирует спленоциты, в частности CD4+ клетки и CD8+ клетки, секретировать или производить аналогичные количества интерферона-гамма (INF- γ), но различные количества фактора некроза опухоли-альфа (TNF- α). Интересно, индуцированный иммунный ответ отличается в селезенке и печени. В селезенке, CD8+ клетки produцируют как INF- γ , так и TNF- α больше, чем CD4+ клетки, однако в печени происходит обратное. Другими словами, CD4+ клетки produцируют как INF- γ , так и TNF- α больше, чем CD8+ клетки в печени. Кроме того, в печени produцируется больше антиген-специфических IgA чем IgG, а защитный иммунный ответ удивительно и неожиданно включает антиген-специфический ответ ЦТЛ, который не вызывает повреждения печени. Соответственно, вакцина согласно настоящему изобретению, содержащая консенсусный коровий антиген HBV, может быть доставлена на периферию, чтобы наладить антиген-специфическое нацеливание в печень для очистки или устранения HBV-инфицированных клеток без повреждения или воспаления печени.

[00138] Последовательности нуклеиновых кислот, кодирующие консенсусные коровьи белки HBV, представляют собой SEQ ID NO:1, SEQ ID NO:3 и SEQ ID NO:5. SEQ ID NO:1 кодирует консенсусный коровий белок HBV. SEQ ID NO:3 кодирует консенсусный коровий белок HBV, присоединенный к лидеру IgE. SEQ ID NO:5 кодирует консенсусный коровий белок HBV, присоединенный к лидеру IgE и метке НА.

[00139] Некоторые варианты реализации изобретения относятся к последовательностям нуклеиновых кислот, кодирующих белки, идентичные или гомологичные консенсусному белку HBV, иммуногенному фрагменту из консенсусного белка HBV, и их иммуногенные фрагменты гомологичных белков. Такие молекулы нуклеиновых кислот, которые кодируют иммуногенные белки, которые имеют до 95 % идентичности по всей длине аминокислотной последовательности в консенсусной последовательности, вплоть до 96 % идентичности по всей длине аминокислотной последовательности в консенсусной последовательности, до 96 % идентичности по всей длине аминокислотной последовательности в консенсусной последовательности, до 97 % идентичности по всей

длине аминокислотной последовательности в консенсусной последовательности, до 98 % идентичности по всей длине аминокислотной последовательности из консенсусной последовательности и до 99 % могут быть предоставлены. Кроме того, последовательности нуклеиновых кислот, кодирующие иммуногенные фрагменты, указанные в данном документе, и иммуногенные фрагменты белков, идентичных белкам, указанным в данном описании, также предоставляются.

[00140] Некоторые варианты реализации изобретения относятся к молекулам нуклеиновых кислот, которые кодируют иммуногенные белки, которые имеют 95 % гомологию с кодирующими последовательностями нуклеиновых кислот согласно данному документу. Некоторые варианты реализации изобретения относятся к молекулам нуклеиновых кислот, которые кодируют иммуногенные белки, которые имеют 96 % гомологию с кодирующими последовательностями нуклеиновых кислот согласно данному документу. Некоторые варианты реализации изобретения относятся к молекулам нуклеиновых кислот, которые кодируют иммуногенные белки, которые имеют 97 % гомологию с кодирующими последовательностями нуклеиновых кислот согласно данному документу. Некоторые варианты реализации изобретения относятся к молекулам нуклеиновых кислот, которые кодируют иммуногенные белки, которые имеют 98 % гомологию с кодирующими последовательностями нуклеиновых кислот согласно данному документу. Некоторые варианты реализации изобретения относятся к молекулам нуклеиновых кислот, которые кодируют иммуногенные белки, которые имеют 99 % гомологию с кодирующими последовательностями нуклеиновых кислот согласно данному документу. В некоторых вариантах реализации изобретения молекулы нуклеиновых кислот с кодирующими последовательностями, описанными в настоящем документе, которые гомологичны кодирующей последовательности консенсусного белка, раскрытоего в настоящем документе, включают последовательности, кодирующие лидерную последовательность IgE, присоединенную к 5'-концу кодирующей последовательности, которая кодирует гомологичные белковые последовательности, описанные в настоящем документе.

[00141] Некоторые варианты реализации изобретения относятся к последовательностям нуклеиновых кислот, кодирующих белки с определенной процентной идентичностью по всей длине аминокислотной последовательности полноразмерного корового консенсусного белка HBV, иммуногенный фрагмент из корового консенсусного белка HBV и иммуногенные фрагменты коровых консенсусных белков HBV. Такие молекулы нуклеиновых кислот, которые кодируют иммуногенные белки, которые имеют до 80 % идентичности по всей длине аминокислотной последовательности полноразмерной

коровой консенсусной последовательности HBV, до 85 % идентичности по всей длине аминокислотной последовательности полноразмерной коровой консенсусной последовательности HBV, до 90 % идентичности по всей длине аминокислотной последовательности полноразмерной коровой консенсусной последовательности HBV, до 91 % идентичности по всей длине аминокислотной последовательности полноразмерной коровой консенсусной последовательности HBV, до 92 % идентичности по всей длине аминокислотной последовательности полноразмерной коровой консенсусной последовательности HBV, до 93 % идентичности по всей длине аминокислотной последовательности полноразмерной коровой консенсусной последовательности HBV, до 94 % идентичности по всей длине аминокислотной последовательности полноразмерной коровой консенсусной последовательности HBV, до 95 % идентичности по всей длине аминокислотной последовательности полноразмерной коровой консенсусной последовательности HBV, до 96 % идентичности по всей длине аминокислотной последовательности полноразмерной коровой консенсусной последовательности HBV, до 97 % идентичности по всей длине аминокислотной последовательности полноразмерной коровой консенсусной последовательности HBV, до 98 % идентичности по всей длине аминокислотной последовательности полноразмерной коровой консенсусной последовательности HBV, до 99 % идентичности по всей длине аминокислотной последовательности полноразмерной коровой консенсусной последовательности HBV могут быть обеспечены. Кроме того, предлагаются также последовательности нуклеиновых кислот, кодирующие иммуногенные фрагменты, указанные в настоящем документе, и иммуногенные фрагменты белков с аналогичным процентом идентичности, как указано выше, с коровыми белками HBV, описанными в данном документе.

[00142] Некоторые варианты реализации изобретения относятся к молекулам нуклеиновых кислот, которые кодируют иммуногенный белок, который имеет 80 % идентичность по всей длине аминокислотной последовательности полноразмерного корового белка HBV, кодируемого последовательностями нуклеиновых кислот согласно данному документу. Некоторые варианты реализации изобретения относятся к молекулам нуклеиновых кислот, которые кодируют иммуногенный белок, который имеет 83 % идентичность по всей длине аминокислотной последовательности полноразмерного корового белка HBV, кодируемого последовательностями нуклеиновых кислот согласно данному документу. Некоторые варианты реализации изобретения относятся к молекулам нуклеиновых кислот, которые кодируют иммуногенный белок, который имеет 85 % идентичность по всей длине аминокислотной последовательности полноразмерного корового белка HBV, кодируемого последовательностями нуклеиновых кислот согласно

корового белка HBV, кодируемого последовательностями нуклеиновых кислот согласно данному документу. Некоторые варианты реализации изобретения относятся к молекулам нуклеиновых кислот, которые кодируют иммуногенный белок, который имеет 99 % идентичность по всей длине аминокислотной последовательности полноразмерного корового белка HBV, кодируемого последовательностями нуклеиновых кислот согласно данному документу. В некоторых вариантах реализации изобретения молекулы нуклеиновых кислот с кодирующими последовательностями, описанными в настоящем документе, которые гомологичны кодирующей последовательности консенсусного корового белка HBV, раскрытое в настоящем документе, включают последовательности, кодирующие лидерную последовательность IgE, присоединенную к 5'-концу кодирующей последовательности, которая кодирует гомологичные белковые последовательности, описанные в настоящем документе.

[00143] В некоторых вариантах реализации изобретения последовательность нукleinовой кислоты свободна от кодирующей последовательности, которая кодирует лидерную последовательность. В некоторых вариантах реализации изобретения последовательность нукleinовой кислоты свободна от кодирующей последовательности, которая кодирует лидер IgE.

[00144] Некоторые варианты реализации изобретения относятся к фрагментам SEQ ID NO:1, SEQ ID NO:3 и SEQ ID NO:5. Фрагменты могут составлять по меньшей мере 10 % по меньшей мере 15 % по меньшей мере 20 % по меньшей мере 25 % по меньшей мере 30 % по меньшей мере 35 % по меньшей мере 40 % по меньшей мере 45 % по меньшей мере 50 % или по меньшей мере 55 % по меньшей мере 60 % по меньшей мере 65 % по меньшей мере 70 % по меньшей мере 75 % по меньшей мере 80 % по меньшей мере 85 % по меньшей мере 90 % по меньшей мере 95 % по меньшей мере 96 % по меньшей мере 97 % по меньшей мере 98 % или по меньшей мере 99 % от последовательностей SEQ ID NO:1, SEQ ID NO:3 и SEQ ID NO:5. Фрагменты могут быть по меньшей мере на 95 % по меньшей мере 96 % по меньшей мере 97 % по меньшей мере 98 % или по меньшей мере 99 % идентичными фрагментам последовательностей SEQ ID NO:1, SEQ ID NO:3 и SEQ ID NO:5. Фрагменты могут быть по меньшей мере на 80 % по меньшей мере 85 % по меньшей мере 90 % по меньшей мере 91 % по меньшей мере 92 % по меньшей мере 93 % по меньшей мере 94 % по меньшей мере 95 % по меньшей мере 96 % по меньшей мере 97 % по меньшей мере 98 % или по меньшей мере 99 % идентичными фрагментам последовательностей SEQ ID NO:1, SEQ ID NO:3 и SEQ ID NO:5. В некоторых вариантах реализации изобретения фрагменты включают последовательности, которые кодируют лидерную последовательность, такую как, например, иммуноглобулиновый лидер, такой как лидер IgE. В некоторых вариантах

реализации изобретения фрагменты свободны от кодирующих последовательностей, которые кодирует лидерную последовательность. В некоторых вариантах реализации изобретения фрагменты свободны от кодирующих последовательностей, которые кодирует лидерную последовательность, такую как, например, лидер IgE.

[00145] Кроме того, аминокислотная последовательность консенсусного корового белка HBV представляет собой SEQ ID NO:2. Аминокислотная последовательность консенсусного корового белка HBV, присоединенная к лидеру IgE, представляет собой SEQ ID NO:4. В частности, в SEQ ID NO:4, лидер IgE присоединен к амино-концу консенсусного корового белка HBV. Аминокислотная последовательность консенсусного корового белка HBV, присоединенного к лидеру IgE и метке HA, представляет собой SEQ ID NO:6. В SEQ ID NO:6, лидер IgE и метка HA присоединены к амино-концу и карбокси-концу, соответственно, консенсусного корового белка HBV.

[00146] Некоторые варианты реализации изобретения относятся к белкам, которые гомологичны SEQ ID NO:2, SEQ ID NO:4 и SEQ ID NO:6. Некоторые варианты реализации изобретения относятся к иммуногенным белкам, которые имеют 95 % гомологию с консенсусными белковыми последовательностями, как указано в SEQ ID NO:2, SEQ ID NO:4 или SEQ ID NO:6. Некоторые варианты реализации изобретения относятся к иммуногенным белкам, которые имеют 96 % гомологию с консенсусными белковыми последовательностями, как указано в SEQ ID NO:2, SEQ ID NO:4 или SEQ ID NO:6. Некоторые варианты реализации изобретения относятся к иммуногенным белкам, которые имеют 97 % гомологию с консенсусными белковыми последовательностями, как указано в SEQ ID NO:2, SEQ ID NO:4 или SEQ ID NO:6. Некоторые варианты реализации изобретения относятся к иммуногенным белкам, которые имеют 98 % гомологию с консенсусными белковыми последовательностями, как указано в SEQ ID NO:2, SEQ ID NO:4 или SEQ ID NO:6. Некоторые варианты реализации изобретения относятся к иммуногенным белкам, которые имеют 99 % гомологию с консенсусными белковыми последовательностями, как указано в SEQ ID NO:2, SEQ ID NO:4 или SEQ ID NO:6.

[00147] Некоторые варианты реализации изобретения относятся к белкам, которые идентичны SEQ ID NO:2, SEQ ID NO:4 или SEQ ID NO:6. Некоторые варианты реализации изобретения относятся к иммуногенным белкам, которые имеют аминокислотную последовательность, которая на 80 % идентична по всей длине аминокислотной последовательности непроцессированным консенсусным аминокислотным последовательностям, указанным в SEQ ID NO:2, SEQ ID NO:4 или SEQ ID NO:6. Некоторые варианты реализации изобретения относятся к иммуногенным белкам, которые имеют аминокислотную последовательность, которая на 85 % идентична по всей длине

имеют аминокислотную последовательность, которая на 98 % идентична по всей длине аминокислотной последовательности непроцессированным консенсусным аминокислотным последовательностям, указанным в SEQ ID NO:2, SEQ ID NO:4 или SEQ ID NO:6. Некоторые варианты реализации изобретения относятся к иммуногенным белкам, которые имеют аминокислотную последовательность, которая на 99 % идентична по всей длине аминокислотной последовательности непроцессированным консенсусным аминокислотным последовательностям, указанным в SEQ ID NO:2, SEQ ID NO:4 или SEQ ID NO:6.

[00148] В некоторых вариантах реализации изобретения белок свободен от лидерной последовательности. В некоторых вариантах реализации изобретения белок свободен от лидера IgE. Фрагменты консенсусных белков могут содержать по меньшей мере 10 % по меньшей мере 15 % по меньшей мере 20 % по меньшей мере 25 % по меньшей мере 30 % по меньшей мере 35 % по меньшей мере 40 % по меньшей мере 45 % по меньшей мере 50 % или по меньшей мере 55 % по меньшей мере 60 % по меньшей мере 65 % по меньшей мере 70 % по меньшей мере 75 % по меньшей мере 80 % по меньшей мере 85 % по меньшей мере 90 % по меньшей мере 95 % по меньшей мере 96 % по меньшей мере 97 % по меньшей мере 98 % или по меньшей мере 99 % консенсусного белка. Иммуногенные фрагменты последовательностей SEQ ID NO:2, SEQ ID NO:4 или SEQ ID NO:6 могут быть обеспечены. Иммуногенные фрагменты могут содержать по меньшей мере 10 % по меньшей мере 15 % по меньшей мере 20 % по меньшей мере 25 % по меньшей мере 30 % по меньшей мере 35 % по меньшей мере 40 % по меньшей мере 45 % по меньшей мере 50 % или по меньшей мере 55 % по меньшей мере 60 % по меньшей мере 65 % по меньшей мере 70 % по меньшей мере 75 % по меньшей мере 80 % по меньшей мере 85 % по меньшей мере 90 % по меньшей мере 95 % по меньшей мере 96 % по меньшей мере 97 % по меньшей мере 98 % или по меньшей мере 99 % последовательности SEQ ID NO:2, SEQ ID NO:4 или SEQ ID NO:6. В некоторых вариантах реализации изобретения фрагменты включают лидерную последовательность, такую как, например, иммуноглобулиновый лидер, такой как лидер IgE. В некоторых вариантах реализации изобретения фрагменты свободны от лидерной последовательности. В некоторых вариантах реализации изобретения фрагменты свободны от лидерной последовательности, такой как, например, лидер IgE.

[00149] Иммуногенные фрагменты белков с аминокислотными последовательностями, гомологичными иммуногенным фрагментам последовательностей SEQ ID NO:2, SEQ ID NO:4 или SEQ ID NO:6 могут быть обеспечены. Такие иммуногенные фрагменты могут содержать по меньшей мере 10 % по меньшей мере 15 % по меньшей мере 20 % по меньшей мере 25 % по меньшей мере 30 % по меньшей мере 35 % по меньшей мере 40 % по меньшей мере 45 % по меньшей мере 50 % или по меньшей мере 55 % по меньшей мере 60 % по

меньшей мере 65 % по меньшей мере 70 % по меньшей мере 75 % по меньшей мере 80 % по меньшей мере 85 % по меньшей мере 90 % по меньшей мере 95 % по меньшей мере 96 % по меньшей мере 97 % по меньшей мере 98 % или по меньшей мере 99 % белков, которые на 95 % гомологичны последовательностям SEQ ID NO:2, SEQ ID NO:4 или SEQ ID NO:6. Некоторые варианты реализации изобретения относятся к иммуногенным фрагментам, которые имеют 96 % гомологию с иммуногенными фрагментами консенсусных белковых последовательностей согласно настоящему документу. Некоторые варианты реализации изобретения относятся к иммуногенным фрагментам, которые имеют 97 % гомологию с иммуногенными фрагментами консенсусных белковых последовательностей согласно настоящему документу. Некоторые варианты реализации изобретения относятся к иммуногенным фрагментам, которые имеют 98 % гомологию с иммуногенными фрагментами консенсусных белковых последовательностей согласно настоящему документу. Некоторые варианты реализации изобретения относятся к иммуногенным фрагментам, которые имеют 99 % гомологию с иммуногенными фрагментами консенсусных белковых последовательностей согласно настоящему документу. В некоторых вариантах реализации изобретения фрагменты включают лидерную последовательность, такую как, например, иммуноглобулиновый лидер, такой как лидер IgE. В некоторых вариантах реализации изобретения фрагменты свободны от лидерной последовательности. В некоторых вариантах реализации изобретения фрагменты свободны от лидерной последовательности, такой как, например, лидер IgE.

[00150] Иммуногенные фрагменты белков с аминокислотными последовательностями, идентичными иммуногенным фрагментам последовательностей SEQ ID NO:2, SEQ ID NO:4 и SEQ ID NO:6 могут быть обеспечены. Такие иммуногенные фрагменты могут содержать по меньшей мере 10 % по меньшей мере 15 % по меньшей мере 20 % по меньшей мере 25 % по меньшей мере 30 % по меньшей мере 35 % по меньшей мере 40 % по меньшей мере 45 % по меньшей мере 50 % или по меньшей мере 55 % по меньшей мере 60 % по меньшей мере 65 % по меньшей мере 70 % по меньшей мере 75 % по меньшей мере 80 % по меньшей мере 85 % по меньшей мере 90 % по меньшей мере 95 % по меньшей мере 96 % по меньшей мере 97 % по меньшей мере 98 % или по меньшей мере 99 % белков, которые на 80 %, 85 %, 90 %, 91 %, 92 %, 93 %, 94 %, 95 %, 96 %, 97 %, 98 %, 99 % идентичны по всей длине аминокислотным последовательностям, указанным в SEQ ID NO:2, SEQ ID NO:4 или SEQ ID NO:6. В некоторых вариантах реализации изобретения фрагменты включают лидерную последовательность, такую как, например, иммуноглобулиновый лидер, такой как лидер IgE. В некоторых вариантах реализации изобретения фрагменты свободны от

лидерной последовательности. В некоторых вариантах реализации изобретения фрагменты свободны от лидерной последовательности, такой как, например, лидер IgE.

[00151] Как указано в данном описании относительно присоединения сигнального пептида или лидерной последовательности к N-концу белка, сигнальный пептид/лидерная последовательность заменяет N-концевой метионин белка, который кодируется старт-кодоном последовательности нуклеиновой кислоты, которая кодирует белок без кодирующих последовательностей сигнального пептида. Таким образом, например, SEQ ID NO:4 представляет собой SEQ ID NO:2 с сигнальным пептидом/лидерной последовательностью, присоединенным к N-концу последовательности SEQ ID NO:2, т.е. SEQ ID NO:4 является белком, содержащим сигнальный пептид, присоединенный к N-концу последовательности SEQ ID NO:2. Первый остаток в SEQ ID NO:2, "Xaa", как правило, является метионином в отсутствие сигнального пептида. Однако, белки, которые содержат сигнальные пептиды, присоединенные к SEQ ID NO:2, такие как SEQ ID NO:4, заменяют остаток 1 метионина в Xaa остатком, который присоединяет сигнальный пептид к белку. Соответственно, N-концевой остаток последовательности SEQ ID NO:2 может быть любым, но если он кодируется последовательностью инициации, то это метионин. Связь сигнального пептида/лидерной последовательности с N-концом на SEQ ID NO: 2, как правило, исключает N-концевой метионин. Как используется в данном документе, предполагается, что SEQ ID NO: 4 содержит SEQ ID NO: 2 с сигнальным пептидом/лидерной последовательностью, связанной с N-концом на SEQ ID NO: 2, несмотря на устранение N-концевого Xaa-остатка последовательности SEQ ID NO: 2. Аналогичным образом, кодирующие последовательности для SEQ ID NO: 4 содержат последовательности, кодирующие SEQ ID NO: 2 с последовательностями, кодирующими сигнальный пептид/лидерную последовательность, присоединяющиеся к 5'-концу последовательностей, кодирующих SEQ ID NO: 2. Инициирующий кодон может быть "nnn" в кодирующих последовательностях для SEQ ID NO: 2, но он элиминируется, когда кодирующие последовательности сигнального пептида/лидерной последовательности, связанного с 5'-концом кодирующих последовательностей, которые кодируют SEQ ID NO: 2. Как используется в данном документе, предполагается, что кодирующие последовательности для SEQ ID NO: 4 содержат кодирующие последовательности для SEQ ID NO: 2 с кодирующими последовательности для сигнального пептида/лидерной последовательности, присоединенной к 5'-концу кодирующей последовательности SEQ ID NO: 2, где встречается nnn. Таким образом, например, предполагается, что SEQ ID NO: 3 содержит SEQ ID NO: 1 с кодирующими последовательностями для сигнального пептида/лидерной последовательности, присоединенной к 5'-концу последовательности

SEQ ID NO: 1 вместо nnn. В некоторых вариантах реализации изобретения nnn является кодоном инициации на 5'-конце последовательности SEQ ID NO: 1.

b. Поверхностный антиген HBV

[00152] Вакцина может содержать поверхностный антиген HBV. Настоящая заявка предлагает поверхностные антигены HBV, способные вызывать иммунную реакцию у млекопитающих против одного или более серотипов HBV. Поверхностные антигены могут содержать эпитопы поверхностных белков, которые делают их эффективными, в частности, в качестве иммуногенов, против которых анти-HBV может быть вызвана иммунная реакция. Поверхностный антиген HBV может содержать полноразмерный трансляционный продукт, его вариант, его фрагмент или их комбинацию.

[00153] Поверхностный антиген HBV может содержать консенсусный белок. Консенсусные поверхностные антигены HBV получают из последовательностей поверхностных антигенов первичных изолятов генотипа А или С HBV. В частности, консенсусные поверхностные антигены HBV включают S-белок или комбинацию S-белка, пре-S2 и пре-S1 (Фигуры 3 и 4). Эндопротеолитические сайты расщепления вводятся в консенсусные поверхностные антигены HBV для обеспечения правильного белкового фолдинга и лучшего ЦТЛ-процессирования. Использование кодонов в консенсусных поверхностных антигенах HBV было модифицировано, чтобы отразить кодонное смещение человеческих генов. Кроме того, удалось избежать областей с очень высоким (например, больше, чем 80 процентов) или очень низким (например, меньше, чем 30 процентов) содержанием GC, где находились цис-действующие мотивы, такие как внутренние ТАТА-боксы, повторные последовательности и структурированные последовательности. Последовательность Козак ввели в консенсусные поверхностные антигены HBV для повышения инициации трансляции и лидерную последовательность IgE добавили для повышения экспрессии белка.

[00154] Последовательность нукleinовой кислоты, кодирующая консенсусные поверхностные антигены HBV, представляет собой SEQ ID NO:9, SEQ ID NO:11, SEQ ID NO:13, и SEQ ID NO:15. SEQ ID NO:9 кодирует белок длинного консенсусного поверхностного антигена HBV, полученный из генотипа А, и включает S-белок, пре-S2 и пре-S1 (LHBs-A). SEQ ID NO:11 кодирует белок длинного консенсусного поверхностного антигена HBV, полученного из генотипа С, и включает S-белок, пре-S2 и пре-S1 (LHBs-C). SEQ ID NO:13 кодирует белок короткого консенсусного поверхностного антигена HBV, полученный из генотипа А, и включает S-белок (SHBs-A). SEQ ID NO:15 кодирует белок

короткого консенсусного поверхностного антигена HBV, полученный из генотипа С, и включает S-белок (SHBs-C).

[00155] Некоторые варианты реализации изобретения относятся к последовательностям нуклеиновых кислот, кодирующими белки, идентичные по всей длине аминокислотной последовательности консенсусных поверхностных антигенов HBV, иммуногенным фрагментам консенсусных поверхностных антигенов HBV и иммуногенным фрагментам идентичных белков. Таким образом, молекулы нуклеиновых кислот, которые кодируют белки, которые имеют до 95 % идентичности по всей длине аминокислотной последовательности с последовательностью консенсусного поверхностного антигена HBV, до 96 % идентичности по всей длине аминокислотной последовательности с последовательностью консенсусного поверхностного антигена HBV, до 96 % идентичности по всей длине аминокислотной последовательности с последовательностью консенсусного поверхностного антигена HBV, до 97 % идентичности по всей длине аминокислотной последовательности с последовательностью консенсусного поверхностного антигена HBV, до 98 % идентичности по всей длине аминокислотной последовательности с последовательностью консенсусного поверхностного антигена HBV и до 99 % идентичности по всей длине аминокислотной последовательности с последовательностью консенсусного поверхностного антигена HBV могут быть обеспечены. Кроме того, предлагаются также последовательности нуклеиновых кислот, кодирующие иммуногенные фрагменты, описанные в настоящей заявке, и иммуногенные фрагменты белков, идентичных по всей длине аминокислотной последовательности белкам поверхностного антигена HBV, описанным в настоящей заявке.

[00156] Некоторые варианты реализации изобретения относятся к молекулам нуклеиновых кислот, которые кодируют иммуногенные белки, которые имеют 95 % идентичность по всей длине аминокислотной последовательности с кодирующими последовательностями нуклеиновых кислот поверхностных антигенов HBV согласно настоящему документу. Некоторые варианты реализации изобретения относятся к молекулам нуклеиновых кислот, которые кодируют иммуногенные белки, которые имеют 96 % идентичность по всей длине аминокислотной последовательности с кодирующими последовательностями нуклеиновых кислот поверхностных антигенов HBV согласно настоящему документу. Некоторые варианты реализации изобретения относятся к молекулам нуклеиновых кислот, которые кодируют иммуногенные белки, которые имеют 97 % идентичность по всей длине аминокислотной последовательности с кодирующими последовательностями нуклеиновых кислот поверхностных антигенов HBV согласно настоящему документу. Некоторые варианты реализации изобретения относятся к

молекулам нуклеиновых кислот, которые кодируют иммуногенные белки, которые имеют 98 % идентичность по всей длине аминокислотной последовательности с кодирующими последовательностями нуклеиновых кислот поверхностных антигенов HBV согласно настоящему документу. Некоторые варианты реализации изобретения относятся к молекулам нуклеиновых кислот, которые кодируют иммуногенные белки, которые имеют 99 % идентичность по всей длине аминокислотной последовательности с кодирующими последовательностями нуклеиновых кислот поверхностных антигенов HBV согласно настоящему документу. В некоторых вариантах реализации изобретения молекулы нуклеиновых кислот с кодирующими последовательностями, раскрытыми в настоящем документе, которые идентичны по всей длине аминокислотной последовательности кодирующей последовательности белка консенсусного поверхностного антигена HBV, раскрытоого в настоящем документе, включает последовательности, кодирующие лидерную последовательность IgE, присоединенную к 5'-концу кодирующей последовательности, которая кодирует идентичные белковые последовательности, раскрытые в настоящем документе

[00157] Некоторые варианты реализации изобретения относятся к последовательностям нуклеиновых кислот, кодирующими белки с определенным процентом идентичности по всей длине аминокислотной последовательности полноразмерного консенсусного белка поверхностного антигена HBV, иммуногенного фрагмента консенсусного белка поверхностного антигена HBV и иммуногенных фрагментов консенсусных белков поверхностного антигена HBV. Такие молекулы нуклеиновых кислот, которые кодируют белки, которые имеют до 80 % идентичности по всей длине аминокислотной последовательности консенсусной последовательности полноразмерного поверхностного антигена HBV, до 85 % идентичности по всей длине аминокислотной последовательности консенсусной последовательности полноразмерного поверхностного антигена HBV, до 90 % идентичности по всей длине аминокислотной последовательности консенсусной последовательности полноразмерного поверхностного антигена HBV, до 91 % идентичности по всей длине аминокислотной последовательности консенсусной последовательности полноразмерного поверхностного антигена HBV, до 92 % идентичности по всей длине аминокислотной последовательности консенсусной последовательности полноразмерного поверхностного антигена HBV, до 93 % идентичности по всей длине аминокислотной последовательности консенсусной последовательности полноразмерного поверхностного антигена HBV, до 94 % идентичности по всей длине аминокислотной последовательности консенсусной последовательности полноразмерного поверхностного антигена HBV, до 95 %

идентичности по всей длине аминокислотной последовательности консенсусной последовательности полноразмерного поверхностного антигена HBV, до 96 % идентичности по всей длине аминокислотной последовательности консенсусной последовательности полноразмерного поверхностного антигена HBV, до 97 % идентичности по всей длине аминокислотной последовательности консенсусной последовательности полноразмерного поверхностного антигена HBV, до 98 % идентичности по всей длине аминокислотной последовательности консенсусной последовательности полноразмерного поверхностного антигена HBV, до 99 % идентичности по всей длине аминокислотной последовательности консенсусной последовательности полноразмерного поверхностного антигена HBV могут быть предоставлены. Кроме того, предлагаются также последовательности нуклеиновых кислот, кодирующие иммуногенные фрагменты, описаные в настоящей заявке, и иммуногенные фрагменты белков с похожим процентом идентичности, как указано выше, с белками поверхностных антигенов HBV, описанными в настоящей заявке.

[00158] Некоторые варианты реализации изобретения относятся к молекулам нуклеиновых кислот, которые кодируют иммуногенные белки, которые имеют 80 % идентичность по всей длине аминокислотной последовательности кодирующих последовательностей полноразмерных поверхностных антигенов HBV согласно настоящему документу. Некоторые варианты реализации изобретения относятся к молекулам нуклеиновых кислот, которые кодируют иммуногенные белки, которые имеют 83 % идентичность по всей длине аминокислотной последовательности кодирующих последовательностей полноразмерных поверхностных антигенов HBV согласно настоящему документу. Некоторые варианты реализации изобретения относятся к молекулам нуклеиновых кислот, которые кодируют иммуногенные белки, которые имеют 85 % идентичность по всей длине аминокислотной последовательности кодирующих последовательностей полноразмерных поверхностных антигенов HBV согласно настоящему документу. Некоторые варианты реализации изобретения относятся к молекулам нуклеиновых кислот, которые кодируют иммуногенные белки, которые имеют 90 % идентичность по всей длине аминокислотной последовательности кодирующих последовательностей полноразмерных поверхностных антигенов HBV согласно настоящему документу. Некоторые варианты реализации изобретения относятся к молекулам нуклеиновых кислот, которые кодируют иммуногенные белки, которые имеют 91 % идентичность по всей длине аминокислотной последовательности кодирующих последовательностей полноразмерных поверхностных антигенов HBV согласно настоящему документу. Некоторые варианты реализации изобретения относятся к

поверхностного антигена HBV, раскрытоого в данном документе, включают последовательности, кодирующие лидерную последовательность IgE, присоединенную к 5'-концу кодирующей последовательности, которая кодирует идентичные белковые последовательности, раскрытые в данном документе.

[00159] В некоторых вариантах реализации изобретения последовательность нуклеиновой кислоты свободна от кодирующей последовательности, которая кодирует лидерную последовательность. В некоторых вариантах реализации изобретения последовательность нуклеиновой кислоты свободна от кодирующей последовательности, которая кодирует лидер IgE.

[00160] Некоторые варианты реализации изобретения относятся к фрагментам последовательностей SEQ ID NO:9, SEQ ID NO: 11, SEQ ID NO:13 и SEQ ID NO:15. Фрагменты могут составлять по меньшей мере 10 % по меньшей мере 15 % по меньшей мере 20 % по меньшей мере 25 % по меньшей мере 30 % по меньшей мере 35 % по меньшей мере 40 % по меньшей мере 45 % по меньшей мере 50 % или по меньшей мере 55 % по меньшей мере 60 % по меньшей мере 65 % по меньшей мере 70 % по меньшей мере 75 % по меньшей мере 80 % по меньшей мере 85 % по меньшей мере 90 % по меньшей мере 95 % по меньшей мере 96 % по меньшей мере 97 % по меньшей мере 98 % или по меньшей мере 99 % последовательности SEQ ID NO:9, SEQ ID NO:11, SEQ ID NO:13 или SEQ ID NO:15. Фрагменты могут быть по меньшей мере на 95 % по меньшей мере 96 % по меньшей мере 97 % по меньшей мере 98 % или по меньшей мере 99 % идентичными фрагментам последовательностей SEQ ID NO:9, SEQ ID NO:11, SEQ ID NO:13 или SEQ ID NO:15. Фрагменты могут быть по меньшей мере на 80 % по меньшей мере 85 % по меньшей мере 90 % по меньшей мере 91 % по меньшей мере 92 % по меньшей мере 93 % по меньшей мере 94 % по меньшей мере 95 % по меньшей мере 96 % по меньшей мере 97 % по меньшей мере 98 % или по меньшей мере 99 % идентичными фрагментам последовательностей SEQ ID NO:9, SEQ ID NO:11, SEQ ID NO: 13 или SEQ ID NO:15. В некоторых вариантах реализации изобретения фрагменты включают последовательности, которые кодируют лидерную последовательность, такую как, например, иммуноглобулиновый лидер, такой как лидер IgE. В некоторых вариантах реализации изобретения фрагменты свободны от кодирующих последовательностей, которые кодируют лидерную последовательность. В некоторых вариантах реализации изобретения фрагменты свободны от кодирующих последовательностей, которые кодируют лидерную последовательность, такую как лидер IgE.

[00161] Кроме того, аминокислотные последовательности консенсусных поверхностных антигенов HBV, LHBs-A, LHBs-C, SHBs-A и SHBs-C представляют собой SEQ ID NO:10, SEQ ID NO:12, SEQ ID NO:14 и SEQ ID NO:16, соответственно.

[00162] Белки могут быть идентичными последовательностям SEQ ID NO:10, SEQ ID NO:12, SEQ ID NO:14 или SEQ ID NO:16. Некоторые варианты реализации изобретения относятся к иммуногенным белкам, которые имеют 95 % идентичность по всей длине аминокислотной последовательности консенсусных белковых последовательностей согласно настоящему документу. Некоторые варианты реализации изобретения относятся к иммуногенным белкам, которые имеют 96 % идентичность по всей длине аминокислотной последовательности консенсусных белковых последовательностей согласно настоящему документу. Некоторые варианты реализации изобретения относятся к иммуногенным белкам, которые имеют 97 % идентичность по всей длине аминокислотной последовательности консенсусных белковых последовательностей согласно настоящему документу. Некоторые варианты реализации изобретения относятся к иммуногенным белкам, которые имеют 98 % идентичность по всей длине аминокислотной последовательности консенсусных белковых последовательностей согласно настоящему документу. Некоторые варианты реализации изобретения относятся к иммуногенным белкам, которые имеют 99 % идентичность по всей длине аминокислотной последовательности консенсусных белковых последовательностей согласно настоящему документу.

[00163] Некоторые варианты реализации изобретения относятся к белкам, которые идентичны последовательностям SEQ ID NO:10, SEQ ID NO:12, SEQ ID NO:14 или SEQ ID NO:16. Некоторые варианты реализации изобретения относятся к иммуногенным белкам, которые имеют аминокислотную последовательность, которая на 80 % идентична по всей длине аминокислотной последовательности непроцесированным консенсусным аминокислотным последовательностям, указанным в SEQ ID NO:10, SEQ ID NO:12, SEQ ID NO:14 или SEQ ID NO:16. Некоторые варианты реализации изобретения относятся к иммуногенным белкам, которые имеют аминокислотную последовательность, которая на 85 % идентична по всей длине аминокислотной последовательности непроцесированным консенсусным аминокислотным последовательностям, указанным в SEQ ID NO:10, SEQ ID NO:12, SEQ ID NO:14 или SEQ ID NO:16. Некоторые варианты реализации изобретения относятся к иммуногенным белкам, которые имеют аминокислотную последовательность, которая на 90 % идентична по всей длине аминокислотной последовательности непроцесированным консенсусным аминокислотным последовательностям, указанным в SEQ ID NO:10, SEQ ID NO:12, SEQ ID NO:14 или SEQ ID NO:16. Некоторые варианты

аминокислотную последовательность, которая на 99 % идентична по всей длине аминокислотной последовательности непроцессированным консенсусным аминокислотным последовательностям, указанным в SEQ ID NO:10, SEQ ID NO:12, SEQ ID NO: 14 или SEQ ID NO:16.

[00164] Фрагменты консенсусных белков могут содержать по меньшей мере 10 % по меньшей мере 15 % по меньшей мере 20 % по меньшей мере 25 % по меньшей мере 30 % по меньшей мере 35 % по меньшей мере 40 % по меньшей мере 45 % по меньшей мере 50 % или по меньшей мере 55 % по меньшей мере 60 % по меньшей мере 65 % по меньшей мере 70 % по меньшей мере 75 % по меньшей мере 80 % по меньшей мере 85 % по меньшей мере 90 % по меньшей мере 95 % по меньшей мере 96 % по меньшей мере 97 % по меньшей мере 98 % или по меньшей мере 99 % консенсусного белка. Иммуногенные фрагменты последовательностей SEQ ID NO:10, SEQ ID NO:12, SEQ ID NO:14 и SEQ ID NO:16 могут быть обеспечены. Иммуногенные фрагменты могут содержать по меньшей мере 10 % по меньшей мере 15 % по меньшей мере 20 % по меньшей мере 25 % по меньшей мере 30 % по меньшей мере 35 % по меньшей мере 40 % по меньшей мере 45 % по меньшей мере 50 % или по меньшей мере 55 % по меньшей мере 60 % по меньшей мере 65 % по меньшей мере 70 % по меньшей мере 75 % по меньшей мере 80 % по меньшей мере 85 % по меньшей мере 90 % по меньшей мере 95 % по меньшей мере 96 % по меньшей мере 97 % по меньшей мере 98 % или по меньшей мере 99 % последовательности SEQ ID NO:10, SEQ ID NO:12, SEQ ID NO:14 или SEQ ID NO:16.

[00165] Иммуногенные фрагменты белков с аминокислотными последовательностями, идентичными иммуногенным фрагментам последовательностей SEQ ID NO:10, SEQ ID NO:12, SEQ ID NO:14 или SEQ ID NO:16, могут быть обеспечены. Такие иммуногенные фрагменты могут содержать по меньшей мере 10 % по меньшей мере 15 % по меньшей мере 20 % по меньшей мере 25 % по меньшей мере 30 % по меньшей мере 35 % по меньшей мере 40 % по меньшей мере 45 % по меньшей мере 50 % или по меньшей мере 55 % по меньшей мере 60 % по меньшей мере 65 % по меньшей мере 70 % по меньшей мере 75 % по меньшей мере 80 % по меньшей мере 85 % по меньшей мере 90 % по меньшей мере 95 % по меньшей мере 96 % по меньшей мере 97 % по меньшей мере 98 % или по меньшей мере 99 % белков, которые на 95 % идентичны по всей длине аминокислотной последовательности SEQ ID NO:10, SEQ ID NO:12, SEQ ID NO:14 или SEQ ID NO:16.

[00166] Иммуногенные фрагменты белков с аминокислотными последовательностями, идентичными иммуногенным фрагментам последовательностей SEQ ID NO:10, SEQ ID NO:12, SEQ ID NO:14 или SEQ ID NO:16, могут быть обеспечены. Такие иммуногенные фрагменты могут содержать по меньшей мере 10 % по меньшей мере 15 % по меньшей мере

20 % по меньшей мере 25 % по меньшей мере 30 % по меньшей мере 35 % по меньшей мере 40 % по меньшей мере 45 % по меньшей мере 50 % или по меньшей мере 55 % по меньшей мере 60 % по меньшей мере 65 % по меньшей мере 70 % по меньшей мере 75 % по меньшей мере 80 % по меньшей мере 85 % по меньшей мере 90 % по меньшей мере 95 % по меньшей мере 96 % по меньшей мере 97 % по меньшей мере 98 % или по меньшей мере 99 % белков, которые на 95 % идентичны по всей длине аминокислотной последовательности SEQ ID NO:10, SEQ ID NO:12, SEQ ID NO:14 или SEQ ID NO:16. Некоторые варианты реализации изобретения относятся к иммуногенным фрагментам, которые имеют 96 % идентичность с иммуногенными фрагментами консенсусных белковых последовательностей согласно настоящему документу. Некоторые варианты реализации изобретения относятся к иммуногенным фрагментам, которые имеют 97 % идентичность с иммуногенными фрагментами консенсусных белковых последовательностей согласно настоящему документу. Некоторые варианты реализации изобретения относятся к иммуногенным фрагментам, которые имеют 98 % идентичность с иммуногенными фрагментами консенсусных белковых последовательностей согласно настоящему документу. Некоторые варианты реализации изобретения относятся к иммуногенным фрагментам, которые имеют 99 % идентичность с иммуногенными фрагментами консенсусных белковых последовательностей согласно настоящему документу.

c. Комбинация коровых и поверхностных антигенов HBV

[00167] Вакцина может содержать комбинацию коровых и поверхностных антигенов HBV, как описано выше. Эта комбинация антигенов HBV способна вызывать иммунный ответ у млекопитающего на один или более серотипов HBV. Вакцина может быть разработана с учетом или иметь определенную комбинацию антигенов HBV, которые, в свою очередь, обеспечивают возможность контролировать уровень или силу иммунного ответа у млекопитающего.

[00168] Комбинации могут содержать одну или более нуклеиновых кислот, кодирующих (1) HBV-M-Core, LHBs-A, SHBs-A, LHBs-C, и SHBs-C; (2) HBV-M-Core, LHBs-A, SHBs-A и LHBs-C; (3) HBV-M-Core, LHBs-A, и SHBs-A; (4) HBV-M-Core и LHBs-A; (5) HBV-M-Core, SHBs-A, LHBs-C, и SHBs-C; (6) HBV-M-Core, LHBs-C, и SHBs-C; (7) HBV-M-Core и SHBs-C; (8) HBV-M-Core, LHBs-A, LHBs-C, и SHBs-C; (9) HBV-M-core, LHBs-A, и SHBs-C; (10) HBV-M-Core и SHBs-C; (11) HBV-M-Core, LHBs-A, SHBs-A, и SHBs-C; (12) HBV-M-Core, LHBs-A, и SHBs-C; (13) HBV-M-Core, SHBs-A, и SHBs-C; (14) LHBs-A, SHBs-A, LHBs-C, и SHBs-C; (15) LHBs-A, SHBs-A, и LHBs-C; (16) LHBs-A и SHBs-A; (17) SHBs-A, LHBs-C, и SHBs-C; (18) LHBs-C и SHBs-C; (19) LHBs-A, LHBs-C, и

SHBs-C; (20) LHBs-A и SHBs-C; (21) LHBs-A, SHBs-A, и SHBs-C; (22) LHBs-A и SHBs-C; (23) SHBs-A и SHBs-C; (24) HBV-M-Core и SHBs-A; (25) HBV-M-Core, LHBs-A и LHBs-C; или (26) LHBs-A и LHBs-C.

[00169] Примерный вариант осуществления изобретения относится к вакцине, включая одну или более нуклеиновых кислот, кодирующих HBV-M-Core, LHBs-A и LHBs-C. Другой иллюстративный вариант осуществления относится к вакцине, включая одну или более нуклеиновых кислот, кодирующих HBV-M-Core, SHBs-A и SHBs-C. Еще один вариант осуществления относится к вакцине, включая одну или более нуклеиновых кислот, кодирующих HBV-M-Core, LHBs-A и LHBs-C и адьювант, такой как IL-12.

[00170] Комбинационная вакцина также содержит один или более консенсусных коровых белков HBV и/или белок поверхностного антигена HBV в виде одной или нескольких белковых субъединиц, одну или более убитых вирусных частиц, содержащих один или более консенсусных коровых белков HBV и/или белок консенсусного поверхностного антигена HBV, или одну или более ослабленных вирусных частиц, содержащих один или более консенсусных коровых белков HBV и/или белок поверхностного антигена HBV. Ослабленная вакцина может быть ослабленной живой вакциной, убитой вакциной и вакцинами, которые используют рекомбинантные векторы для доставки чужеродных генов, которые кодируют один или несколько консенсусных коровых белков HBV и/или белок поверхностного антигена HBV, а также субъединицы и гликопротеиновые вакцины. Примеры ослабленных живых вакцин, тех, которые используют рекомбинантные векторы для доставки чужеродных антигенов, субъединичных вакцин и вакцин гликопротеинов, описаны в патентах США №: 4 510 245; 4 797 368; 4 722 848; 4 790 987; 4 920 209; 5 017 487; 5 077 044; 5 110 587; 5 112 749; 5 174 993; 5 223 424; 5 225 336; 5 240 703; 5 242 829; 5 294 441; 5 294 548; 5 310 668; 5 387 744; 5 389 368; 5 424 065; 5 451 499; 5 453 364; 5 462 734; 5 470 734; 5 474 935; 5 482 713; 5 591 439; 5 643 579; 5 650 309; 5 698 202; 5 955 088; 6 034 298; 6 042 836; 6 156 319 b 6 589 529, каждый из которых включен в настоящее описание в качестве ссылки.

d. Вакцинныe продукты и плазиды

[00171] Вакцина может содержать конструкты нуклеиновой кислоты или плазиды, которые кодируют коровые белки HBV, поверхностные антигены HBV, и комбинации коровые белоки HBV/поверхностные антигены. Предлагаемыми в настоящей заявке являются генетические конструкты, которые могут содержать последовательность нуклеиновой кислоты, которая кодирует коровый антиген HBV, описанный в настоящем документе, включая консенсусные белковые последовательности, последовательности,

гомологичные консенсусным белковым последовательностям, фрагменты консенсусных белковых последовательностей и последовательности, гомологичные фрагментам консенсусных белковых последовательностей. Кроме того, предлагаемыми в настоящей заявке являются генетические конструкты, которые могут содержать последовательность нуклеиновой кислоты, которая кодирует поверхностный антиген HBV, описанный в настоящем документе, последовательности, гомологичные консенсусным белковым последовательностям, фрагменты консенсусных белковых последовательностей и последовательности, гомологичные фрагментам консенсусных белковых последовательностей. Генетический конструкт может присутствовать в клетке в виде функционирующей экстрахромосомальной молекулы. Генетический конструкт может быть линейной минихромосомой, включая центромеры, теломеры или плазмиды или космиды.

[00172] Генетический конструкт может также быть частью генома рекомбинантного вирусного вектора, включая рекомбинантный аденоовирус, рекомбинантный аденоовирус ассоциированный вирус и рекомбинантный вирус осповакцины. Генетический конструкт может быть частью генетического материала в ослабленных живых микроорганизмах или рекомбинантных микробных векторах, которые живут в клетках.

[00173] Генетические конструкты могут содержать регуляторные элементы для экспрессии генов, кодирующих последовательности нуклеиновой кислоты. Регулирующие элементы могут быть промотором, энхансерным инициирующим кодоном, стоп-кодоном или сигналом полиаденилирования.

[00174] Последовательности нуклеиновых кислот могут составить генетический конструкт, который может быть вектором. Вектор может быть способен экспрессировать антиген в клетке млекопитающего в количестве, эффективном для индукции иммунного ответа у млекопитающего. Вектор может быть рекомбинантным. Вектор может содержать гетерологичную нуклеиновую кислоту, кодирующую антиген. Вектор может быть плазмидой. Вектор может быть полезным для трансфекции клеток нуклеиновой кислоты, кодирующими антиген, который культивируют с трансформированной клеткой-хозяином и выдерживают в условиях, в которых экспрессия антигена имеет место.

[00175] Кодирующие последовательности можно оптимизировать для стабильности и высоких уровней экспрессии. В некоторых случаях, кодоны выбирают так, чтобы уменьшить образование вторичной структуры РНК, такой как та, что формируется за счет внутримолекулярной связи.

[00176] Вектор может содержать гетерологичную нуклеиновую кислоту, кодирующую антиген, и может дополнительно содержать инициирующий кодон, который может располагаться по ходу транскрипции антигенкодирующей последовательности, и

стоп-кодон, который может располагаться против хода транскрипции антигенкодирующей последовательности. Кодон инициации и стоп-кодон может располагаться в рамке с антигенкодирующей последовательностью. Вектор может также содержать промотор, который функционально связан с антигенкодирующей последовательностью. Промотор, функционально связанный с последовательностью, кодирующей антиген, может быть промотором из вируса обезьян 40 (SV40), вируса опухоли молочной железы мыши (MMTV), промотором вируса иммунодефицита человека (HIV) промотором, таким как промотор длинного концевого повтора (LTR) вируса бычьего иммунодефицита (BIV), промотором вируса Молони, промотором вируса птичьего лейкоза (ALV), промотором цитомегаловируса (CMV), промотором, таким как непосредственно ранний промотор CMV, промотором вируса Эпштейна-Барра (EBV) или промотором вируса саркомы Райса (RSV). Промотор может быть также промотором человеческого гена, такого как человеческий актин, миозин человека, гемоглобин человека, человеческий мышечный креатин или металлотионеин. Промотор может быть также тканеспецифическим промотором, таким мышечно илиожно специфическим промотором, природным или искусственным. цы или кожи конкретного промотора, природные или синтетические. Примеры таких промоторов описаны в публикации патентной заявки США № US20040175727, содержание которой включено в настоящее описание во всей своей полноте.

[00177] Вектор может также содержать сигнал полиаденилирования, который может располагаться против хода транскрипции последовательности, кодирующей коровый белок HBV. Сигнал полиаденилирования может быть сигналом полиаденилирования SV40, сигналом полиаденилирования LTR, сигналом полиаденилирования бычьего гормона роста (bGH), сигналом полиаденилирования человеческого гормона роста (hGH) или сигналом полиаденилирования β-глобина. Сигнал полиаденилирования SV40 может быть сигналом полиаденилирования из вектора pCEP4 (Invitrogen, San Diego, CA).

[00178] Вектор может также содержать энхансер, расположенный против хода транскрипции последовательности, кодирующей консенсусный коровый белок HBV, или последовательности, кодирующей белок консенсусного поверхностного антигена HBV. Энхансер может быть необходим для экспрессии ДНК. Энхансер может быть человеческим актином, человеческим миозином, человеческим гемоглобином, человеческим мышечным креатином или вирусным энхансером, таким как энхансер из CMV, HA, RSV или EBV. Энхансеры функции полинуклеотида описаны в патентах США № 5 593 972, 5 962 428, а также WO 94/016737, содержание каждого из них в полном объеме включено в качестве ссылки.

[00179] Вектор может также содержать точку начала репликации от млекопитающих, чтобы поддерживать вектор экстрахромосомально и продуцировать несколько копий вектора в клетке. Вектор может быть pVAX1, pCEP4 или pREP4 от Invitrogen (San Diego, CA), который может содержать точку начала репликации вируса Эпштейн-Барра и кодирующую область ядерного антигена EBNA-1, которые могут продуцировать высокого копирования эписомную репликацию без интеграции. Вектор может быть pVAX1 или вариантом pVax1 с изменениями, таким как вариантная плазмида, описанная в данном документе. Вариантной плазмидой pVax1 является вариант из 2998 пар оснований скелетной векторной плазмиды pVAX1 (Invitrogen, Carlsbad CA). Промотор CMV расположен у оснований 137-724. Промотор/сайт примирования T7 расположен у оснований 664-683. Несколько сайтов клонирования расположены у оснований 696-811. Сигнал полиаденилирования бычьего гормона роста расположен у оснований 829-1053. Ген устойчивости к канамицину находится у оснований 1226-2020. Точка начала репликации pUC расположена у оснований 2320-2993.

[00180] Исходя из последовательности pVAX1, доступной от Invitrogen, следующие мутации могут быть обнаружены в последовательности pVAX1, которая используется в качестве скелета для плазмид 1-6, указанных в настоящем документе:

[00181] C>G 241 в промоторе CMV

[00182] C>T 1942 скелет, по ходу транскрипции сигнала полиаденилирования бычьего гормона роста (bGHpolyA)

[00183] A>-2876 скелет, по ходу транскрипции гена устойчивости к канамицину

[00184] C>T 3277 в точке начала репликации pUC (Ori), мутация с высоким числом копий (смотри Nucleic Acid Research 1985)

[00185] G>C 3753 в самом конце pUC Ori против хода транскрипции сайта RNaseH

[00186] Пары оснований 2, 3 и 4 изменяются от ACT до CTG в скелете, против хода транскрипции промотора CMV.

[00187] Скелетом вектора может быть pAV0242. Вектор может быть типом 5 вектора аденоовириуса, дефектного по репликации (Ad5).

[00188] Вектор может также содержать регуляторную последовательность, которая может хорошо подходить для экспрессии генов в клетках млекопитающих или человека, в которые вводят вектор. Консенсусная кодирующая последовательность HBV может содержать кодон, который может позволить более эффективную транскрипцию кодирующей последовательности в клетке-хозяине.

[00189] Вектором может быть pSE420 (Invitrogen, San Diego, Calif.), которая может быть использована для продуцирования белка в *Escherichia coli* (*E. coli*). Вектором также может быть pYES2 (Invitrogen, San Diego, Calif.), которая может быть использована для продуцирования белка в штаммах дрожжей *Saccharomyces cerevisiae*. Вектором также может быть полная бакуловирусная экспрессионная система MAXBAC™ (Invitrogen, San Diego, Calif.), которая может быть использована для продуцирования белка в клетках насекомых. Вектором также может быть pcDNA I или pcDNA3 (Invitrogen, San Diego, Calif.), которые могут быть использованы для продуцирования белка в млекопитающих клетках, таких как овариальные клетки китайского хомячка (CHO). Вектором могут быть векторы экспрессии или системы для продуцирования белка с помощью рутинных технологий и легко доступных исходных материалов, включая Sambrook et al., Molecular Cloning and Laboratory Manual, Second Ed. , Cold Spring Harbor (1989), которые включены в полном объеме в виде ссылки.

[00190] В некоторых вариантах реализации изобретения вектор может содержать последовательность нуклеиновой кислоты SEQ ID NO:17, SEQ ID NO:18, SEQ ID NO:19, SEQ ID NO:20 или SEQ ID NO:21. SEQ ID NO:17 кодирует консенсусный коровий белок HBV, а SEQ ID NOS:18-21 кодируют консенсусный поверхностный антиген HBV. Карты векторов SEQ ID NOS:17-21 показаны на Фигурах 5-9, соответственно.

e. Фармацевтические композиции вакцины

[00191] Вакцина может быть в виде фармацевтической композиции. Фармацевтическая композиция может содержать вакцину.

[00192] Фармацевтические композиции могут содержать приблизительно от 5 нанограмм до приблизительно 10 мг вакцинной ДНК. В некоторых вариантах реализации изобретения фармацевтические композиции согласно настоящему изобретению содержат приблизительно от 25 нанограмм до приблизительно 5 мг вакцинной ДНК. В некоторых вариантах реализации изобретения фармацевтические композиции содержат приблизительно от 0,1 до приблизительно 500 микрограмм ДНК. В некоторых вариантах реализации изобретения фармацевтические композиции содержат приблизительно от 1 до приблизительно 350 микрограмм ДНК. В некоторых вариантах реализации изобретения фармацевтические композиции содержат приблизительно от 5 до приблизительно 250 микрограмм ДНК. В некоторых вариантах реализации изобретения фармацевтические композиции содержат приблизительно от 10 до приблизительно 200 микрограмм ДНК. В некоторых вариантах

реализации изобретения фармацевтические композиции содержат приблизительно от 15 до приблизительно 150 микрограмм ДНК. В некоторых вариантах реализации изобретения фармацевтические композиции содержат приблизительно от 20 до приблизительно 100 микрограмм ДНК. В некоторых вариантах реализации изобретения фармацевтические композиции содержат приблизительно от 25 до приблизительно 75 микрограмм ДНК. В некоторых вариантах реализации изобретения фармацевтические композиции содержат приблизительно от 30 до приблизительно 50 микрограмм ДНК. В некоторых вариантах реализации изобретения фармацевтические композиции содержат приблизительно от 35 до приблизительно 40 микрограмм ДНК. В некоторых вариантах реализации изобретения фармацевтические композиции содержат приблизительно от 100 до приблизительно 200 микрограмм ДНК. В некоторых вариантах реализации изобретения фармацевтическая композиция содержит приблизительно от 10 микрограмм до приблизительно 100 микрограмм ДНК. В некоторых вариантах реализации изобретения фармацевтическая композиция содержит приблизительно от 20 микрограмм до приблизительно 80 микрограмм ДНК. В некоторых вариантах реализации изобретения фармацевтическая композиция содержит приблизительно от 25 микрограмм до приблизительно 60 микрограмм ДНК. В некоторых вариантах реализации изобретения фармацевтическая композиция содержит приблизительно от 30 нанограмм до приблизительно 50 микрограмм ДНК. В некоторых вариантах реализации изобретения фармацевтическая композиция содержит приблизительно от 35 нанограмм до приблизительно 45 микрограмм ДНК. В некоторых предпочтительных вариантах реализации изобретения фармацевтическая композиция содержит от приблизительно 0,1 до приблизительно 500 микрограмм ДНК. В некоторых предпочтительных вариантах реализации изобретения фармацевтическая композиция содержит от приблизительно 1 до приблизительно 350 микрограмм ДНК. В некоторых предпочтительных вариантах реализации изобретения фармацевтическая композиция содержит от приблизительно 25 до приблизительно 250 микрограмм ДНК. В некоторых предпочтительных вариантах реализации изобретения фармацевтическая композиция содержит от приблизительно 100 до приблизительно 200 микрограмм ДНК.

[00193] В некоторых вариантах реализации изобретения фармацевтические композиции согласно настоящему изобретению содержат по меньшей мере 10, 15, 20, 25, 30, 35, 40, 45, 50, 55, 60, 65, 70, 75, 80, 85, 90, 95 или 100 нанограмм ДНК вакцины. В некоторых вариантах реализации изобретения фармацевтические композиции могут содержать по меньшей мере 1, 5, 10, 15, 20, 25, 30, 35, 40, 45, 50, 55, 60, 65, 70, 75, 80, 85, 90, 95, 100, 105, 110, 115, 120, 125, 130, 135, 140, 145, 150, 155, 160, 165, 170, 175, 180, 185, 190, 195, 200, 205, 210, 215, 220, 225, 230, 235, 240, 245, 250, 255, 260, 265, 270, 275, 280, 285, 290, 295, 300, 305,

310, 315, 320, 325, 330, 335, 340, 345, 350, 355, 360, 365, 370, 375, 380, 385, 390, 395, 400, 405, 410, 415, 420, 425, 430, 435, 440, 445, 450, 455, 460, 465, 470, 475, 480, 485, 490, 495, 500, 605, 610, 615, 620, 625, 630, 635, 640, 645, 650, 655, 660, 665, 670, 675, 680, 685, 690, 695, 700, 705, 710, 715, 720, 725, 730, 735, 740, 745, 750, 755, 760, 765, 770, 775, 780, 785, 790, 795, 800, 805, 810, 815, 820, 825, 830, 835, 840, 845, 850, 855, 860, 865, 870, 875, 880, 885, 890, 895, 900, 905, 910, 915, 920, 925, 930, 935, 940, 945, 950, 955, 960, 965, 970, 975, 980, 985, 990, 995 или 1000 микрограмм ДНК вакцины. В некоторых вариантах реализации изобретения фармацевтическая композиция может содержать по меньшей мере 1,5, 2, 2,5, 3, 3,5, 4, 4,5, 5, 5,5, 6, 6,5, 7, 7,5, 8, 8,5, 9, 9,5 или 10 мг или более ДНК вакцины.

[00194] В других вариантах реализации изобретения фармацевтическая композиция может содержать вплоть до и включая 15, 20, 25, 30, 35, 40, 45, 50, 55, 60, 65, 70, 75, 80, 85, 90, 95 или 100 нанограмм ДНК вакцины. В некоторых вариантах реализации изобретения фармацевтическая композиция может содержать вплоть до и включая 1, 5, 10, 15, 20, 25, 30, 35, 40, 45, 50, 55, 60, 65, 70, 75, 80, 85, 90, 95, 100, 105, 110, 115, 120, 125, 130, 135, 140, 145, 150, 155, 160, 165, 170, 175, 180, 185, 190, 195, 200, 205, 210, 215, 220, 225, 230, 235, 240, 245, 250, 255, 260, 265, 270, 275, 280, 285, 290, 295, 300, 305, 310, 315, 320, 325, 330, 335, 340, 345, 350, 355, 360, 365, 370, 375, 380, 385, 390, 395, 400, 405, 410, 415, 420, 425, 430, 435, 440, 445, 450, 455, 460, 465, 470, 475, 480, 485, 490, 495, 500, 605, 610, 615, 620, 625, 630, 635, 640, 645, 650, 655, 660, 665, 670, 675, 680, 685, 690, 695, 700, 705, 710, 715, 720, 725, 730, 735, 740, 745, 750, 755, 760, 765, 770, 775, 780, 785, 790, 795, 800, 805, 810, 815, 820, 825, 830, 835, 840, 845, 850, 855, 860, 865, 870, 875, 880, 885, 890, 895, 900, 905, 910, 915, 920, 925, 930, 935, 940, 945, 950, 955, 960, 965, 970, 975, 980, 985, 990, 995 или 1000 микрограмм ДНК вакцины. В некоторых вариантах реализации изобретения фармацевтическая композиция может содержать вплоть до и включая 1,5, 2, 2,5, 3, 3,5, 4, 4,5, 5, 5,5, 6, 6,5, 7, 7,5, 8, 8,5, 9, 9,5 или 10 мг ДНК вакцины.

[00195] Фармацевтическая композиция может дополнительно содержать другие агенты для целей разработки в соответствии с режимом введения, который будет использоваться. В тех случаях, когда фармацевтические композиции представляют собой инъекционные фармацевтические композиции, они являются стерильными, пирогенными и свободными от частиц. Предпочтительно используют изотонический препарат. Как правило, добавки для изотоничности могут включать хлорид натрия, декстрозу, маннит, сорбит и лактозу. В некоторых случаях, предпочтительными являются изотонические растворы, такие как фосфатно-буферный раствор. Стабилизаторы включают желатин и альбумин. В некоторых вариантах реализации изобретения в композицию добавляют агент для сужение сосудов.

[00196] Вакцина может дополнительно содержать фармацевтически приемлемый наполнитель. Фармацевтически приемлемый наполнитель может быть функциональными молекулами в качестве наполнителей, адьювантов, носителей или разбавителей. Фармацевтически приемлемый эксципиент может быть агентом для облегчения трансфекции, который может включать поверхностно-активные вещества, такие как иммуностимулирующие комплексы (ISCOMS), неполный адьювант Фрейнда, аналог LPS, включая моноfosфориллипид А, мурамилпептиды, аналоги хинона, везикулы, такие как сквален, и сквален, гиалуроновая кислота, липиды, липосомы, ионы кальция, вирусные белки, полианионы, поликатионы или наночастицы, или другие известные агенты для облегчения трансфекции.

[00197] Облегчающим трансфекцию агентом является полианион, поликатион, в том числе поли-L-глутамат (LGS), или липид. Облегчающим трансфекцию агентом является поли-L-глутамат, и более предпочтительно, поли-L-глутамат присутствует в вакцине в концентрации менее 6 мг/мл. Облегчающий трансфекцию агент может также включать поверхностно-активные вещества, такие как иммуностимулирующие комплексы (ISCOMS), неполный адьювант Фрейнда, аналог LPS, включая моноfosфориллипид А, мурамилпептиды, аналоги хинона и везикулы, такие как сквален, и сквален и гиалуроновая кислота также могут вводиться в сочетании с генетическим конструктом. В некоторых вариантах реализации изобретения ДНК-векторные вакцины могут также включать облегчающие трансфекцию агенты, такие как липиды, липосомы, в том числе лецитин, липосомы или другие липосомы, известные в данной области техники, как ДНК-липосомные смеси (см. например W09324640), ионы кальция, вирусные белки, полианионы, поликатионы или наночастицы или другие известные агенты для облегчения трансфекции. Предпочтительно, облегчающим трансфекцию агентом является полианион, поликатион, включая поли-L-глутамат (LGS), или липид. Концентрирование агента трансфекции в вакцине составляет менее 4 мг/мл, менее 2 мг/мл, менее 1 мг/мл, менее 0,750 мг/мл, менее 0,500 мг/мл, менее 0,250 мг/мл, менее 0,100 мг/мл, менее 0,050 мг/мл или менее 0,010 мг/мл.

[00198] Фармацевтически приемлемый наполнитель может быть адьювантом. Адьювантом могут быть другие гены, которые экспрессируются в альтернативной плазмиде или доставляются как белки в комбинации с указанной выше плазмидой в вакцине. Адьювант может быть выбранным из группы, содержащей: α -интерферон (IFN- α), β -интерферон (IFN- β), γ -интерферон фактор роста тромбоцитов (PDGF), TNF α , TNF β , GM-CSF, эпидермальный фактор роста (EGF), кожный Т-клеточный проводящий хемокин (CTACK), эпителиальный тимус-экспрессированный хемокин (TECK),

мукозо-асоциированный эпителиальный хемокин (MEC), IL-12, IL-15, MHC, CD80,CD86, включая IL-15, имеющий удаленную сигнальную последовательность и необязательно включающий сигнальный пептид от IgE. Адьювантом может быть IL-12, IL-15, IL-28, STACK, TECK, фактор роста тромбоцитов (PDGF), TNF α , TNF β , GM-CSF, эпидермальный фактор роста (EGF), IL-1, IL-2, IL-4, IL-5, IL-6, IL-10, IL-18, IL-21, IL-31, IL-33 или их комбинации. Примерным вариантом осуществления адьюванта является IL-12.

[00199] Другие гены, которые могут быть полезными адьювантами, включают те, которые кодируют: MCP-1, MIP-1 α , MIP-1 β , IL-8, RANTES, L-селектин, P-селектин, E-селектин, CD34, GlyCAM-1, MadCAM-1, LFA-1, VLA-1, Mac-1, p150.95, PECAm, ICAM-1, ICAM-2, ICAM-3, CD2, LFA-3, M-CSF, G-CSF, IL-4, мутантные формы IL-18 , CD40, CD40L, васскулярный фактор роста, фибробластный фактор роста, IL-7, фактор роста нервов, васскулярный эндотелиальный фактор роста, Fas, рецептор TNF, Flt, Apo-1, p55, WSL-1, DR3, TRAMP, Apo-3, AIR, LARD, NGRF, DR4, DR5, KILLER, TRAIL-R2, TRICK2, DR6, Caspase ICE, Fos, c-jun, Sp-1, Ap-1, Ap-2, p38, p65Rel, MyD88, IRAK, TRAF6, IkB, Inactive NIK, SAP K, SAP-1, JNK, гены ответа интерферона, NFkB, Bax, TRAIL, TRAILrec, TRAILrecDRC5, TRAIL-R3, TRAIL-R4, RANK, RANK LIGAND, Ox40, Ox40 LIGAND, NKG2D, MICA, MICB, NKG2A, NKG2B, NKG2C, NKG2E, NKG2F, TAP1, TAP2 и их функциональные фрагменты.

f. Способы доставки вакцины

[00200] В настоящей заявке предлагается способ доставки фармацевтической композиции для обеспечения генетического конструкта и белков корового белка HBV и/или поверхностного антигена HBV, которые содержат эпитопы, которые делают их особенно эффективными иммуногенами, против которых иммунный ответ на вирусные HBV-инфекции может быть вызван. С целью индукции терапевтического и/или профилактического иммунного ответа может быть предложен способ доставки вакцины, или вакцинация. Процесс вакцинации может генерировать у млекопитающего иммунный ответ против множества генотипов HBV. Вакцина может быть доставлена индивидууму, чтобы модулировать активность иммунной системы млекопитающего и усилить иммунный ответ. Доставка вакцины может быть трансфекцией антигеном НА в качестве молекулы нуклеиновой кислоты, которая экспрессируется в клетке и доставляется на поверхность клетки, на которой иммунная система распознает и индуцирует клеточный, гуморальный или клеточный и гуморальный ответ. Доставка вакцины может быть использована, чтобы индуцировать или вызвать иммунный ответ у млекопитающего против множества вирусов HBV путем введения млекопитающему вакцины, как описано в данном документе.

[00201] При доставке вакцины млекопитающему, и вслед за этим вектора в клетки млекопитающего, трансфицированные клетки будут экспрессировать и секретировать консенсусный коровий белок HBV и консенсусный поверхностный антиген HBV. Эти секретируемые белки или искусственные антигены, будут признаны в качестве чужеродных иммунной системой, которая будет поднимать иммунный ответ, который может включать: антитела, полученные против антигенов, и Т-клеточный ответ именно против антигена. В некоторых примерах, млекопитающее привито вакцинами, обсуждаемыми в данном документе, будет иметь приморванную иммунную систему и при заражении вирусным штаммом HBV приморванная иммунная система позволяет быстро очистить последующие вирусы HBV, будь то через гуморальную, или клеточную, или обе системы. Вакцина может быть доставлен индивидууму, чтобы модулировать активность иммунной системы индивидуума, тем самым повышая иммунный ответ.

[00202] Способы доставки ДНК вакцины описаны в патенте США №. 4 945 050 и 5 036 006, оба из которых включены в настоящее описание во всей своей полноте в качестве ссылки.

[00203] С целью индукции иммунного ответа у млекопитающего вакцина может быть введена в организм млекопитающего.. Млекопитающее может быть человеком, нечеловекообразным приматом, коровой, свиньей, овцой, козой, антилопой, бизоном, буйволом, полорогим, оленем, ежем, слоном, ламой, альпака, мышами, крысами или курицей, и, предпочтительно, человеком, коровой, свиньей или курицей.

g. Доставка вакцины с адьювантами

[00204] Фармацевтические композиции, предпочтительно вакцины, описанные в данном документе, могут быть введены в комбинации с белками или генами, кодирующими адьюванты, которые могут включать: α -интерферон (IFN- α), β -интерферон (IFN- β), γ -интерферон, IL-12, IL-15, IL-28, CTACK, TECK, фактор роста тромбоцитов (PDGF), TNF α , TNF β , GM-CSF, эпидермальный фактор роста (EGF), IL-1, IL-2, IL-4, IL-5, IL-6, IL-10, IL-12, IL-18, MCP-1, MIP-1 α , MIP-1 β , IL-8, RANTES, L-селектин, P-селектин, E-селектин, CD34, GlyCAM-1, MadCAM-1, LFA-1, VLA-1, Mac-1, p150.95, PECAM, ICAM-1, ICAM-2, ICAM-3, CD2, LFA-3, M-CSF, G-CSF, IL-4, мутантные формы IL-18, CD40, CD40L, васскулярный фактор роста, фибробластный фактор роста, IL-7, фактор роста нервов, васскулярный эндотелиальный фактор роста, Fas, рецептор TNF, Flt, Apo-1, p55, WSL-1, DR3, TRAMP, Apo-3, AIR, LARD, NGRF, DR4, DR5, KILLER, TRAIL-R2, TRICK2, DR6, Caspase ICE, Fos, c-jun, Sp-1, Ap-1, Ap-2, p38, p65Rel, MyD88, IRAK, TRAF6, IkB, неактивный NIK, SAP K, SAP-1, JNK, гены ответа интерферона, NFkB, Bax, TRAIL,

TRAILrec, TRAILrecDRC5, TRAIL-R3, TRAIL-R4, RANK, RANK LIGAND, Ox40, Ox40 LIGAND, NKG2D, MICA, MICB, NKG2A, NKG2B, NKG2C, NKG2E, NKG2F, TAP1 или TAP2 или их функциональные фрагменты. В примерных вариантах реализации изобретения адьювантом является IL-12.

h. Способ генерации иммунного ответа на вакцину

[00205] Вакцина может быть использована для генерации иммунного ответа у млекопитающего, в том числе терапевтического или профилактического иммунного ответа. Иммунный ответ может генерировать антитела и/или киллерные Т-клетки, которые направлены на коровый антиген HBV, поверхностный антиген HBV или их комбинации. Такие антитела и Т-клетки могут быть выделенными.

[00206] Некоторые варианты реализации изобретения обеспечивают способы генерации иммунных реакций против коровых белков HBV, поверхностных антигенных белков HBV и их комбинаций, которые включают введение индивидууму вакцины. Некоторые варианты реализации изобретения обеспечивают способы профилактической вакцинации индивидуума против HBV-инфекции, которые включают введение вакцины. Некоторые варианты реализации изобретения обеспечивают способы терапевтической вакцинации индивидуума, который был заражен HBV, которые включают введение вакцины. Диагностика HBV-инфекции до введения вакцины может быть осуществлена в установленном порядке.

i. Способ лечения вакциной

[00207] Вакцина может быть использована для получения иммунного ответа у млекопитающего, который защищает печень. Иммунный ответ может создавать антиген-специфический ЦТЛ ответ, который не вызывает повреждения или воспаления печени. В некоторых вариантах реализации изобретения вакцина может быть доставлена к периферии для вызова антиген-специфического иммунного ответа, нацеленного на печень, чтобы очистить или устраниТЬ HBV-инфицированные клетки, не повреждая и не вызывая воспаление печени. В некоторых вариантах реализации изобретения лечение может включать доставку вакцины, содержащей консенсусный коровый антиген HBV, к периферии для создания антиген-специфического иммунного ответа, нацеленного на печень, чтобы очистить или устраниТЬ HBV-инфицированные клетки, не нанося вреда или не вызывая воспаления печени.

3. Пути введения

[00208] Вакцину или фармацевтическую композицию можно вводить различными способами, в том числе перорально, парентерально, подъязычно, чрескожно, ректально, через слизистую, местно, путем ингаляции, посредством трансбукиального введения, внутриплеврально, внутривенно, внутриартериально, внутрибрюшинно, подкожно, внутримышечно, интраназально, интратекально и внутрисуставным способом или их комбинациями. Для применения в ветеринарии, композиция может быть введена в виде соответствующим образом приемлемой композиции в соответствии с обычной ветеринарной практикой. Ветеринар может легко определить схему дозирования и способ введения, который является наиболее подходящим для конкретного животного. Вакцина может быть введена с помощью традиционных шприцов, безыгольных инъекционных устройств, "пистолетов для бомбардировки микрочастицами" или другими физическими методами, такими как электропорации ("EP"), "гидродинамический метод" или ультразвук.

[00209] Вектор вакцины может быть доставлен млекопитающему с помощью нескольких хорошо известных технологий, включая инъекции ДНК (также упоминается как ДНК-вакцинация) с и без *in vivo* электропорации, липосомально опосредованные, наночастицы, рекомбинантные векторы, такие как рекомбинантный аденоовирус, рекомбинантный аденоовирус ассоциированный вирус и рекомбинантный вирус коровьей оспы. Антиген HBV может быть доставлен посредством инъекции ДНК и вместе с *in vivo* электропорацией.

a. Электропорация

[00210] Вакцина или фармацевтическая композиция могут быть введены путем электропорации. Введение вакцины посредством электропорации плазмидами вакцины может быть осуществлено с помощью электропорационных устройств, которые могут быть сформированы для доставки к целевой ткани млекопитающего импульса энергии, эффективного для создания обратимых пор, образующихся в клеточных мембранах, а предпочтительным импульсом энергии является постоянный ток, подобный заданному току, введенному пользователем. Устройство для электропорации может содержать компонент электропорации и электродный узел или узел ручки. Компонент электропорации может включать и содержать один или более различных элементов электропорационного устройства, включая: контроллер, генератор импульсов тока заданной формы, тестер импеданса, регистратор сигнала, входной элемент, элемент создание отчетов о состоянии, порт связи, компоненты памяти, источник питания и выключатель питания. Электропорация может быть осуществлена с использованием *in vivo* электропорационного

устройства, например системы CELLECTRA® EP (Inovio Pharmaceuticals, Inc., Blue Bell, PA) или электропоратора Elgen (Inovio Pharmaceuticals, Inc.) для содействия трансфекции клеток плазмидой.

[00211] Примеры электропорационных устройств и способов электропорации, которые могут содействовать в получении ДНК-вакцин согласно настоящему изобретению, включают те, которые описаны в патенте США № 7 245 963, представленном Draghia-Akli, et al., патентной публикации США 2005/0052630, представленной Smith, et al., содержание которых включено в настоящее описание в качестве ссылки во всей их полноте. Другие устройства для электропорация и методы электропорации, которые могут быть использованы для облегчения доставки вакцин ДНК, включают предлагаемые в одновременно находящейся на рассмотрении заявке того же заявителя на патент США, серийный номер 11/874072, поданной 17 октября 2007, которая заявляет приоритет в соответствии с 35 USC 119 (e) предварительных заявок США № 60/852149, поданной 17 октября 2006, и 60/978982, поданной 10 октября 2007, все из которых включены в данное описание во всей своей полноте.

[00212] Патент США № 7 245 963 от Draghia-Akli и др. описывает модульные электродные системы и их применение для облегчения ввода биомолекулы в клетки выбранной ткани в теле или растении. Модульные электродные системы могут содержать множество игольчатых электродов; гиподермическую иглу; электрический соединитель, который обеспечивает связь от программируемым контроллером импульса постоянного тока к множеству игольчатых электродов; и источник питания. Оператор может захватить множество игольчатых электродов, которые установлены на опорной конструкции, и прочно вставить их в выбранную ткань в теле или растении. Биомолекулы затем доставляются с помощью подкожной иглы в выбранную ткань. Контроллер программируемого импульса постоянного тока активируется и электрический импульс постоянного тока подается на множество игольчатых электродов. Применяемый электрический импульс постоянного тока облегчает введение биомолекулы в клетку между множеством электродов. Полное содержание патента США N 7 245 963 включено в данный документ в качестве ссылки.

[00213] Патентная публикация США 2005/0052630, представленная Smith, et al., описывает электропорационное устройство, которое может быть использовано, чтобы эффективно облегчить введение биомолекулы в клетки выбранной ткани в теле или растении. Электропорационное устройство содержит электро-кинетическое устройство ("EKD устройство"), работа которого определяется программным обеспечением или прошивкой. Устройство EKD выпускает серию модулей программируемых импульсов

постоянного тока между электродами в массиве на основе пользовательского элемента управления и ввода параметров импульса, и позволяет хранить и получать данные данных формы сигнала. Электропорационное устройство также содержит сменный электродный диск, имеющий множество игольчатых электродов, центральный канал впрыска для инъекционной иглы и съемный направляющий диск. Полное содержание патентной публикации США 2005/0052630 включено в данное описание в качестве ссылки.

[00214] Электродные массивы и способы, описанные в патенте США № 7 245 963 и патентной публикации США 2005/0052630, могут быть адаптированы для глубокого проникновения не только в ткани, таких как мышцы, но и в другие ткани или органы. Из-за конфигурации матрицы электродов, инъекционная игла (для доставки выбранной биомолекулы) также вставляется до упора в орган-мишень и инъекцию вводят перпендикулярно к целевой проблеме, в область, которая предварительно очерчена электродами. Электроды, описанные в патенте США № 7 245 963 и патентной публикации США 2005/005263, предпочтительно имеют длину 20 мм и 21 калибр.

[00215] Кроме того, некоторые варианты реализации изобретения включающие электропорационные устройства и способы их использования, реализации изобретения предполагают электропорационные устройства, описанные в следующих патентах: патент США № 5 273 525, выданный 28 декабря 1993, патент США № 6 110 161, выданный 29 августа 2000, № 6 261 281, выданный 17 июля 2001, и патент США № 6 958 060, выданный 25 октября 2005, и патент США 6 939 862, выданный 6 сентября 2005. Кроме того, патенты, относящиеся к предмету, представленному в патенте США 6 697 669, выданном 24 февраля 2004, который касается доставки ДНК с использованием любого из множества устройств, и в патенте США 7 328 064, выданном 5 февраля 2008, который касается метода инъекции ДНК, рассматриваются в настоящем документе. Указанные выше патенты включены в качестве ссылки во всей их полноте в данный документ.

4. Способ приготовления вакцины

[00216] В настоящей заявке предлагаются способы получения ДНК-плазмид, которые содержат вакцины, описанные в данном документе. Плазмиды ДНК, после финальной стадии субклонирования в плазмиду экспрессии млекопитающего могут быть использованы для инокуляции клеток культуры в крупномасштабном ферментационном чане с использованием известных методов в данной области техники.

[00217] ДНК-плазмиды для использования с ЕР-устройствами согласно настоящему изобретению могут быть приготовлены либо изготовлены с использованием комбинации известных устройств и методов, но, предпочтительно, они изготавливаются с

использованием оптимизированной технологии производства плазмид, описанной в опубликованной заявке США № 20090004716, которая была подана 23 мая 2007 года. В некоторых примерах ДНК-плазмиды, использованные в этих исследованиях, могут быть получены в концентрациях, превышающих или равных 10 мг/мл. Технологии изготовления также включают или модернат различные устройства и протоколы, которые, как правило, известны специалистам в данной области техники, в дополнение к тем, которые описаны в патенте США с серийным номером 60/939792, в том числе те, которые описаны в лицензированном патенте, патент США № 7 238 522, который был выдан 3 июля 2007 года. Указанные выше заявка и патент США с серийным номером 60/939792 и патент США № 7 238 522, соответственно, включены в данное описание во всей своей полноте.

ПРИМЕРЫ

[00218] Настоящее изобретение далее иллюстрируется следующими примерами. Следует понимать, что эти примеры, показывающие предпочтительные варианты реализации настоящего изобретения, даны только в качестве иллюстрации. Исходя из приведенного выше обсуждения и примеров, специалист в данной области техники может установить существенные характеристики настоящего изобретения и, не отступая от сущности и объема изобретения, может сделать различные изменения и модификации изобретения, чтобы приспособить его к различным применением и условиям. Таким образом, различные модификации изобретения в дополнение к тем, которые показаны и описаны здесь, будут очевидны специалистам в данной области из вышеприведенного описания. Такие модификации также подпадают под объем прилагаемой формулы изобретения.

ПРИМЕР 1

Коровый белок HBV

[00219] Консенсусный коровый белок HBV, также именуемый как HBV модифицированный, М-кор или М-коровый конструкт, был сконструирован из эпитопных последовательностей от генотипов А, В, С, Д и Е HBV. Последовательности капсидных белков HBV от этих генотипов были отобраны для включения в конструкцию консенсусного кора, который может индуцировать иммунитет против широкого спектра генотипов, тем самым обеспечивая универсальную вакцину для HBV. В некоторых вариантах реализации изобретения модификации М-корового конструкта включали добавление лидерной последовательности IgE. В некоторых вариантах реализации изобретения М-коровый белок кодируется с использованием кодоновой оптимизации и РНК-оптимизации для повышенной экспрессии.

1. Конструирование и экспрессия консенсусного корового антигена

[00220] Коровы консенсусные нуклеотидные последовательности генотипа A, B, C, D, и E HBV были сконструированы путем получения консенсусных последовательностей коровых генов каждого генотипа, а затем путем получения консенсусной последовательности консенсусов всех пяти генотипов, таким образом избежав смещения к сильно секвенированным генотипам. Кроме того, последовательности были собраны из разных стран, чтобы избежать отбора образцов сильно секвенированных генотипов. Последовательности выравнивали, используя программное обеспечение CLUSTAL X для составления окончательной консенсусной последовательности HBcAg. Как показано на Фигуре 10, наблюдалась относительная близость мультигенотипной консенсусной HBcAg-последовательности для всех выбранных последовательностей из разных генотипов.

[00221] После получения консенсусной последовательности было осуществлено несколько модификаций для увеличения уровней экспрессии антигена из плазмид. В частности, были добавлены высокоэффективная лидерная последовательность IgE и С-концевая НА-метка, а конструкт был оптимизирован относительно РНК и кодона. Это привело к последовательности нукleinовой кислоты, кодирующей М-коровую последовательность с IgE-лидером и НА-меткой (SEQ ID NO:5), которая переваривается EcoRI и NotI, и клонируется в вектор экспрессии pVAX (Invitrogen) под контролем цитомегаловирусного предраннего промотора. Полученный конструкт затем был назван pMCore (SEQ ID NO:17).

[00222] *In vitro* испытания экспрессии были выполнены с использованием конструкта pMCore и pVAX, который использовали в качестве контроля. Результаты, демонстрирующие положительную экспрессию, указаны на изображениях гелей, показанных на Фигурах 11A и 11B.

[00223] Кроме того, белок HBcAg экспрессировался ДНК-плазмидой, трансфектированной pMCore, содержащим коровый ген гепатита B (Фигура 12). Экспрессию pMCore обнаруживали, используя TNT® Quick Coupled Expression of Transcription/Translation System, содержащую 35 S-метионин (Promega, Madison, WI). Синтезированный генный продукт осаждали, используя моноклональное антитело к НА, направленное на закодированный эпитоп НА, клон НА-7 (Sigma-Aldrich). Иммунно осажденный белок подвергли электрофорезу на 12 % геле SDS-PAGE, а затем зафиксировали и высушили. Синтезированный белок со вставкой радиоактивной 35 S обнаруживали с помощью авторадиографии. Этот *in vitro* трансляционный анализ на лизате показал обнаруживаемый HBcAg при ожидаемой молекулярной массе 28 кДа (Фигура 13).

[00224] Экспрессия была дополнительно подтверждена с использованием анти-НА меченого моноклонального антитела с помощью иммунофлюоресцентного анализа. Рабдомиосаркомные (RD) клеточные линии трансфицировали pMCore, используя TURBOFECT (Thermo Scientific) в соответствии с инструкциями производителя. Сначала клетки фиксировали 2 % формальдегидом, а затем анализировали по поводу экспрессии белка. Зафиксированные клетки инкубировали с кроличьей моноклональной НА-меткой (Invitrogen), разведенной «первичным стандартным раствором» (0,1 % BSA, 0,2 % сапонина, 0,02 % азода натрия) в течение одного часа при комнатной температуре. затем клетки инкубировали с DyLight 594-меченым противокроличьим вторичным антителом (Thermo Scientific) в течение 20 минут при комнатной температуре. конфокальное изображение использовали для визуализации HBcAg в цитоплазме и вокруг ядра трансфицированных RD-клеток, как показано на Фигуре 14. Профиль экспрессии подтвердил, что ДНК-плазмида, несущая консенсусный коровий ген, может высоко экспрессироваться в различных клетках *in vitro*. В частности, изображения были получены с использованием инвертированного конфокального микроскопа Zeiss Axiovert 100. Анализ и количественная оценка интенсивности флюоресценции проводились с использованием программного обеспечения Image J (NIH, Rockville, MD).

2. Иммунизация мышей

[00225] Трансгенные мыши C57BL/6 были разделены на две группы по четыре мыши в каждой и трижды иммунизированы 20 мкг ДНК с помощью электропорации с двухнедельными интервалами (группа 1 – контрольный вектор pVAX; группа 2 pM-Core). Мышей иммунизировали в день 0, день 14, день 28 и умерщвляли в день 35. Селезенку, печень и сыворотку из умерщвленных животных брали для исследования.

[00226] Кроме того, чтобы оценить получение Т и В-клеточных иммунных ответов, мышей Balb/c иммунизировали и измеряли по поводу обоих ответов в различных периферических тканях. Мыши получили три внутримышечные иммунизации 30 мкг pMCore или pVax с последующей электропорацией, как указано на иммунизационной схеме (Фигура 15). В частности, шести-восьми недельные самки мышей Balb/c были приобретены у Jackson Laboratories. Животных содержали в соответствии с нормами National Institutes of Health и the University of Pennsylvania Institutional Care and Use Committee (IACUC). Для исследования ДНК-иммунизации восемь животных разделили на две группы. Каждое животное в группе иммунизации получило в общей сложности по три иммунизации 30 мкг pMCore с интервалом в две недели в большеберцовую (ТА) мышцу. Каждая иммунизация сопровождалась *in vivo* электропорацией с устройством CELLECTRA

для адаптивной постояннотоковой электропорации (Inovio Pharmaceuticals, Blue Bell, PA). По два 0,2 амперных постояннотоковых прямоугольных импульса были доставлены через треугольную 3-электродную решетку, состоящую из 26-калиберных твердых электродов из нержавеющей стали, полностью погруженных в мышцу. Каждый импульс был длительностью в 52 миллисекунды с 1-секундной задержкой между импульсами.

[00227] *In vivo* изучение мышей Balb/C показало повышение амплитуды секреции фактора некроза опухоли (TNF- α), интерферона гамма Т-клеток (IFN- γ) и CD107a в CD8 и CD4 Т-клетках, изъятых из селезенки. Фигуры 16 и 17 демонстрируют, что вакцинация мышей Balb/C pM-Core повышала амплитуду секреции IFN- γ в CD8+ и CD4+ Т-клетках селезенки. Фигуры 18 и 19 демонстрируют, что вакцинация мышей Balb/C pM-Core повышала амплитуду секреции TNF- α в CD8+ и CD4+ Т-клетках селезенки. Фигуры 20 и 21 демонстрируют, что вакцинация мышей Balb/C pM-Core повышала амплитуду секреции CD 107a в CD8+ и CD4+ Т-клетках селезенки.

[00228] В дополнительных экспериментах, секрецию IFN- γ и TNF- α проверяли в Т-клетках. Для получения спленоцитов для этих дополнительных экспериментов, мышей умерщвляли через неделю после последней иммунизации, а селезенки изымали и помещали в среду R10 (среда RPMI, обогащенная 10 % FBS и 1x антибиотиком-антибиотиком). Селезенки измельчали индивидуально, процеживали через 40 мкМ клеточный фильтр и обрабатывали 1 мл лизисного буфера ACK в течение 5 минут для лизиса эритроцитов. Спленоциты ресуспендировали в полной среде R10 и использовали для дополнительных иммунологических анализов.

[00229] Субпопуляцию спленоцитов ресуспендировали в среде R10 в концентрации 10⁷ на мл и по 100 мкл высевали на 96-луночный круглодонный планшет. 100 мкл среды, содержащей объединенные пептиды pMCore или 10 нг/мл PMA (Sigma, St. Louis, MO, USA), и 500 нг/мл иономицина (Calbiochem, Novabiochem, La Jolla, CA, USA) смешали в качестве положительного контроля или 0,1 % диметилсульфоксид (Sigma, St. Louis, MO, USA) в качестве отрицательного контроля. Все лунки содержали по 5 мкл/мл двух ингибиторов транспорта белков, брефелдин A (GolgiPlug) и моненсин (Golgistop) (All from BD Bioscience). Клетки инкубировали при 37 °C в 5 % CO₂ в течение 5 часов и окрашивали LIVE/DEAD Fixable Dead Cell Stain (Invitrogen) в течение 10 минут при 37 °C. Внеклеточное окрашивание проводили, используя антитела, специфичные к мышьям CD3, CD4 и CD8. Спленоциты затем пермеабилизировали и промывали, используя BD CYTOFIX/CYTOPERM и PERM/WASH (BD Bioscience), соответственно.

[00230] Внутриклеточное окрашивание цитокинов.

[00231] Внутриклеточные цитокины затем окрашивали антителами к мышенному интерферону-гамма и фактору-альфа некроза опухоли. Субпопуляцию лимфоцитов ресусPENDИРОвали в среде R10 в концентрации 10^7 на мл и по 100 мкл высевали на 96-луночный круглодонный планшет. 100 мкл среды, содержащей объединенные пептиды pMCore, или 10 нг/мл PMA (Sigma, St. Louis, MO, USA) и 500 нг/мл иономицина (Calbiochem, Novabiochem, La Jolla, CA, USA) смешали в качестве положительного контроля или 0,1 % диметилсульфоксид (Sigma, St. Louis, MO, USA) в качестве отрицательного контроля. Все лунки содержали по 5 мкл/мл двух ингибиторов транспорта белков, брефелдин А (GolgiPlug) и моненсина (Golgistop) (All from BD Bioscience). Клетки инкубировали при 37 °C в 5 % CO₂ в течение 5 часов и окрашивали LIVE/DEAD® Fixable Dead Cell Stain (Invitrogen) в течение 10 минут при 37 °C. Внеклеточное окрашивание проводили, используя антитела, специфичные к мышним CD3, CD4 и CD8. Спленоциты затем пермеабилизировали и промывали, используя BD Cytofix/Cytoperm™ и Perm/Wash™ (BD Bioscience), соответственно. Клетки затем окрашивали внутриклеточно антителами к интерферону-гамма, фактору-альфа некроза опухоли, интрелейкину-2 и лизосомно-ассоциированному мембранныму белку 1.

[00232] Конъюгированные противомышиные антитела использовали во время внеклеточного и внутриклеточного окрашивания, включая: CD3-филоэритрин/Cy7 (PE/Cy7), CD4-перидинин хлорофилловый белок (PerCP), CD8-аллофикацианин (APC), IFN-γ-Alexa Fluor 700, TNF-α-флюоросцеина изотиоцианат (FITC) и IL-2-филоэритриноцианин (PE) (все от BD Biosciences, San Jose, CA).

[00233] Средний индуцированный HBcAg-специфический IFN-γ Т-клеточный ответ был сильным при 2000 (± 210) SFU на миллион спленоцитов. Интересно, что внутриклеточное окрашивание стимулированных спленоцитов показало, что клетки CD4⁺ и CD8⁺ продуцируют почти подобное количество антигенспецифического IFN-γ, 0,74 и 0,94, соответственно, но разные уровни TNF-α с примерно 0,3 % и 1,5 % клеток CD4⁺ и CD8⁺, соответственно (Фигура 22). Аналогичная тенденция наблюдалась с клетками, которые были дважды положительными для обеих цитокинов. Наблюдалось меньше дважды положительных клеток CD4⁺, приблизительно 0,2 %, в селезенке, чем дважды положительных клеток CD8⁺, которые составляют 0,7 % (Фигура 23).

[00234] Миграция HBV специфических Т-клеток в печень также была продемонстрирована у животных, которым вводили ДНК-вакцину pMCore. Нацеливание Т-клеток, специфических к коровому антигену HBV, с высокой частотой и эффекторной функцией к печени является целью для развития HBV-иммунной терапии. После иммунизации животных умерщвляли и их печень удаляли и определяли миграцию

HBV-специфических эфекторных Т-клеток в печень. Результаты показали, что вакцина pMCore приводит эфекторные Т-клетки в печень *in vivo*. Фигуры 24 и-25 демонстрируют интерферон- γ Т-клеточный ответ в печени, а Фигуры 26 и 27 демонстрируют иммунный ответ фактора- α некроза опухоли в печени и повышенную реакцию, которая возникает в результате вакцинации pMCore.

[00235] М-коровий консенсусный иммуноген, кодируемый ДНК-конструктом pMCore, приводит к строго уравновешенным CD4+/CD8+ Т-клеточным иммунным ответам. Индуцированные Т-клетки движутся к печени с высокой частотой и демонстрируют корректный эфекторный фенотип иммунного клиренса после HBV-инфекции, поддерживая дальнейшее развитие этой иммунной терапевтической вакцины.

[00236] Также исследовали способность внутрипеченочных антиген-специфических Т-клеток продуцировать цитокины после ДНК-иммунизации. В каждую печень путем непосредственной инъекции вводили 1 мл PBS в печеночную вену каждой мыши. В частности, изымали печень, измельчали и ресусPENDИРОвали в 5 мл 44 % изотонического Percoll. Смеси заливали 3 мл 66 % изотонического Percoll и центрифугировали в течение 20 минут при 2000 оборотов в минуту для градиентного разделения. Лимфоциты собирали и промывали 10 мл R10 и обрабатывали лизисным буфером ACK по мере необходимости. Как CD4, так и CD8 Т-клетки, выделенные из печени, продуцировали IFN- γ и TNF- α , когда стимулировались *in vitro* пептидом HBcAg (Фигуры 28 и 29). В то время как CD4 Т-клетки демонстрировали высокий процент двойных продуцентов, CD8 демонстрировали незначительное количество или отсутствие IFN- γ +TNF- α + продуцирующих клеток. Зато, большинство CD8 Т-клеток продуцировало или только IFN- γ или TNF- α . В печени наблюдалось накопление HBcAg-специфических CD4 Т-клеток в противоположность селезенке. Процент HBcAg-специфических CD4 Т-клеток вдважды положительных Т-клеток в покоящейся печени был сопоставимым с клетками, наблюдаемыми в селезенке. Более того, периферические CD8 Т-клетки были убедительно лучшими двойными продуцентами, чем резидентные CD8 Т-клетки печени. Также наблюдались антитело-продуцирующие способности резидентных В-клеток печени иммунизированных мышей. Интересно, что печень в качестве слизистого органа продуцировала больше антиген-специфических IgA, чем IgG (Фигура 30), наблюдение, которое ранее не исследовалось.

[00237] На Фигуре 31 показаны клеточные иммунные реакции, вызванные pM-Core с использованием твердофазного иммуноферментного анализа (ELISPOT). Спленоциты стимулировали двумя пулами 15-мерных пептидов, охватывающих полную длину pMCore и перекрывающихся 8 аминокислотами. 200000 спленоцитами в среде R10 засевали 96-луночный планшет, покрытый IFN- γ -захватывающим антителом (система R&D),

стимулировали в течение ночи в присутствии специфического пептидного пула при 37°C в 5 % CO₂. Клетки смыли, а планшеты инкубировали в течение ночи с биотинилированным противомышиным IFN-γ-обнаруживающим антителом (система R&D). Стрептавидин-щелочную фосфатазу и 5-бром-4-хлор-3'-индолилфосфат р-толуидиновую соль и нитросиний тетразолия хлорид использовали для обнаружения пятен. Пятна подсчитывали, используя автоматизированный ELISPOT-ридер (ЦТЛ Limited). Как показано на Фигуре 31, иммунизация pMCore вызывает сильные клеточные иммунные реакции. Среднее HBcAg-специфических IFN-γ Т-клеточных реакций составляло приблизительно 2000 (± 210) SFU на миллион спленоцитов.

[00238] Анализ ELISPOT использовали для дальнейшего исследования IFN-γ. В частности, спленоциты стимулировали двумя пулами 15-мерных пептидов, охватывающих полную длину HBcAg и перекрывающихся 8 аминокислотами. Всего было 33 индивидуальных пептидов, которые были объединены случайным образом с первыми 17 пептидами в пул 1 и последними 16 в пул 2. IgEL и НА-метка исключались, чтобы сделать пептид как можно более ближе к природному антигену. 200000 спленоцитами в среде R10 засевали 96-луночный планшет, покрытую IFN-γ-захватывающим антителом (система R&D), стимулировали в течение ночи в присутствии специфического пептидного пула при 37°C в 5 % CO₂. Клетки смыли, а планшеты инкубировали в течение ночи с биотинилированным противомышиным IFN-γ-обнаруживающим антителом (система R&D). Стрептавидин-щелочную фосфатазу и 5-бром-4-хлор-3'-индолилфосфат р-толуидиновую соль и нитросиний тетразолия хлорид использовали для обнаружения пятен. Пятна подсчитывали, используя автоматизированный ELISPOT-ридер (ЦТЛ Limited). Наблюдалось, что через одну неделю после финальной иммунизации pMCore-иммунизированные мыши демонстрировали признаки сильных HBcAg Т-клеточных реакций, как было определено с помощью IFN-γ ELISPOT-анализа после *ex vivo* стимуляции. На Фигуре 32 показано, что доминантные эпитопы смешены в сторону пептидного пула 2.

[00239] Исследования *in vivo* цитотоксичности проводили, используя мечение карбоксифлюоросцеиндиацетатсукцинimidным эфиром (CFSE) в сочетании с проточной цитометрией. Спленоциты взяли от мишей, не использовавшихся ранее в опытах, и распределили в две популяции. Одна популяция, CFSE-сильно меченные, пульсировала с релевантным пептидом (например, капсидными пептидами HBV). Другая популяция, CFSE-слабо меченные, пульсировала с иррелевантным пептидом (например, NS3-пептидами HCV). Объединяли меченные, обработанные пептидом клетки и использовали в экспериментах адоптивных пересадок, в которых проводили проточный

анализ. Объединенные популяции обработанных, меченых клеток-мишней вводили двум группам мышей, контрольной группе и иммунизированной группе. Спленоциты выделяли от каждой группы мышей и образцы прогоняли на проточном цитометре. Измеряли количество CFSE. Как правило, в таких экспериментах образуется два пика, первый отвечает иррелевантному пептиду; второй отвечает иммунизирующему пептиду на пике, указывающем больший CFSE.

[00240] Фигура 33 демонстрирует, что CD8 Т-клетка, индуцированная вакцинацией, может специфически элиминировать клетки-мишени *in vivo*. Результаты демонстрируют, что образцы селезенки и печени от мышей, ранее не использовавшихся в опытах, содержали почти равные количества клеток, которые были на пиках иррелевантного и релевантного пептидов, между тем, как результаты показали, что среди иммунизированных групп пики клеток, полученных из селезенки и печени, пульсирующие с релевантным пептидом, были значительно меньше, чем с иррелевантным пептидом. Эти данные демонстрируют, что клетки-мишени, обработанные HBV-пептидом, специфически элиминировались у мышей, иммунизированных HBV-вакциной, но не у неиммунизированных мышей. Любая элиминация клеток-мишней, обработанных иррелевантным пептидом, если вообще происходила, была такой же у мышей, иммунизированных HBV-вакциной, и неиммунизированных мышей и значительно ниже, чем элиминация клеток-мишней, обработанных HBV-пептидом.

[00241] Способность HBV-специфических CD8 Т-клеток, индуцированных после ДНК-иммунизации, специфически элиминировать клетки-мишени *in vivo* исследовалась дополнительно. Человеческие ЦТЛ, которые имеют целью коровый антиген, являются важными в сильном клиренсе HBV в сравнении с хронической инфекцией. Через одну неделю после финальной иммунизации 4 мышам из каждой группы, иммунизированной pVax или pMCore, адопционно пересаживали спленоциты-мишени, которые пульсируют с HBcAg (релевантный) или HCV-NS3/4A (иррелевантный) пептидами. Кратко, спленоциты от мышей, ранее не использовавшихся в опытах (наивные), окрашивали либо 1 мкМ или 1 нМ CFDA SE (*invitrogen*). Затем меченные спленоциты покрывали индикаторными пептидами (1мкМ) и по 10^7 клеток из каждой популяции внутривенно инъецировали наивным или иммунизированным мышам. Спустя 24 или 90 часов, клетки из селезенки и печени выделяли и анализировали с помощью проточной цитометрии. Процент лизиса клеток подсчитывали следующим образом: 100 - ([% релевантного пептида, пульсирующего в инфицированных клетках / % иррелевантного пептида, пульсирующего в неинфицированных клетках] / [% релевантного пептида, пульсирующего в

неинфицированных клетках)] x 100). С помощью селекции на CFSE-меченых спленоцитах, чтобы проследить лизис клеток, наблюдалось, что рМСore-вакцинированные мыши способны индуцировать сильный специфический лизис атиген-пульсирующих клеток-мишеней, как показано на Фигуре 34. Средний процент лизиса клеток, наблюдаемый в селезенке, составил приблизительно 83 %, между тем, как средний процент лизиса клеток в печени составил 76 %, демонстрируя, что индуцированные вакцинацией ЦТЛ, которые мигрируют и удерживаются в печени, способны лизировать HBV-пептид-пульсирующие клетки-мишени. Это было первое исследование для демонстрации индуцирования HBcAg-специфических ЦТЛ реакций в печени с помощью любого метода и, в частности, с помощью системной иммунизации. Эти данные свидетельствуют о том, что периферическая иммунизация может индуцировать эффекторные клетки, которые могут мигрировать в печень и лизировать клетки-мишени.

[00242] Фигура 35 показывает данные, собранные из анализа Т-клеточной пролиферации с использованием CFSE-мечения. Сравнивали процент пролиферации клеток CD3+CD4+ и клеток CD3+CD8+, обработанных вектором pVax (контроль) или плазмидой pMCore, которая экспрессирует HBV M-кор. Кратко, выделенные спленоциты окрашивали карбоксифлюоросцеиндиацетатом, сукцинимидиловым эфиром (CFDA-SE) Cell Tracer Kit (Invitrogen) согласно инструкциям производителя. Окрашенные клетки трижды промывали солевым раствором и стимулировали pMCore-специфическими перекрывающимися пептидами. Клетки инкубировали при 37 °C в течение 96 часов. Спустя 48 часов, 50 % культуральной среды удаляли и помещали в свежую R10. На 4 день, клетки собирали и окрашивали CD3, CD4 и CD8-специфическими моноклональными антителами (BD Pharmingen). Клетки фиксировали PBS с 1 % параформальдегидом (PFA) и приобретенным FACScalibur Becton Dickinson). Данные анализировали, используя программу FlowJo. CFSE низкая и CFSE средняя популяция была признана в качестве пролиферировавших клеток. Как показано на Фигуре 35, CD3+CD8+ Т-клетки, выделенные из селезенки, пролиферировали больше по сравнению с CD3+CD4+ Т-клетками.

[00243] Дальнейшие эксперименты с анализом Т-клеточной пролиферации также использовали CFSE-мечение. В частности, выделенные спленоциты окрашивали карбоксифлюоросцеиндиацетатом, сукцинимидиловым эфиром (CFDA-SE) Cell Tracer Kit (Invitrogen) согласно инструкциям производителя. Окрашенные клетки трижды промывали солевым раствором и засевали в 96-луночный U-донный планшет в общем объеме 200 мкл среды, содержащей HBcAg объединенных пептидов в концентрации 1 мкг/мл. клетки инкубировали при 37 °C в течение 96 часов. Спустя 48 часов, 50 % культуральной среды отбирали и переносили в свежую R10. Разница в продуцировании цитокинов между CD4 и

CD8 Т-клетками, как описано выше, была сравнима с их максимальной пролиферативной способностью. После 4 дней стимуляции антиген-специфическими пептидами CD8 + Т-клетки, пролиферирующие более чем в 2 раза выше, чем CD4⁺ клетки (Фигура 36), показывают четкое CD8 Т-клеточное смещение в ответ.

[00244] На Фигурах 37А и 37В представлены данные ELISA, демонстрирующие сравнение антитела к кору HBV в серийном разведении сыворотки от животных, обработанных вектором pVax vector (контроль) или плазмидой pMCore, которая экспрессирует HBV M-кор. Кратко, высокосвязывающие планшеты ELISA (Costar, Corning, NY) покрывали 1 мкг/мл белка HBcAg в PBS при 4 °C в течение 24 часов, а затем промывали PBS-Tween и блокировали PBS, содержащим 1 % BSA, в течение 2 часов при комнатной температуре. Серийно разведенные образцы сыворотки добавили в лунки и инкубировали в течение 1 часа при комнатной температуре. После промывания связанное сывороточное антитело было обнаружено с помощью HRP-меченого козьего противомышиного IgG (Фигура 37А) или IgA (Фигура 37В). Пероксидазоконъюгированные Ab были обнаружены с использованием тетраметилбензидина (Sigma-Aldrich) в качестве субстрата, а OD при 450 нм была измерена с помощью Multiscan ELISA планшет-ридера. Наблюдали антиген-специфический гуморальный ответ в сыворотках иммунизированных мышей.

[00245] Для дальнейшего изучения иммунного ответа, индуцированного у pMCore-иммунизированных мышей, антиген-специфические IgG и IgA реакции анализировали с помощью В-клеточного ELISpot, а также в ELISA с использованием спленоцитов и сывороток, соответственно, собранных после вакцинации. Спленоциты выделяли и очищали, как описано выше. Для ELISA, высокосвязывающие планшеты ELISA (Costar, Corning, NY) покрывали 1 мкг/мл белка HBcAg в PBS при 4 °C в течение 24 ч, а затем промывали 0,1 % PBS-Tween, а затем блокировали PBS, содержащим 1 % BSA, в течение 2 часов при комнатной температуре. Серийно разведенные образцы сыворотки добавили в лунки и инкубировали в течение 1 часа при комнатной температуре. После промывания связанное сывороточное антитело было обнаружено с помощью HRP-меченого козьего противомышиного IgG или IgA. Пероксидазоконъюгированные Ab были обнаружены с использованием тетраметилбензидина (Sigma-Aldrich) в качестве субстрата, а OD при 450 нм была измерена с помощью Multiscan ELISA планшет-ридера.. Высокий IgG и IgA титр наблюдался в сыворотке иммунизированных мышей по сравнению с контрольными животными (Фигура 38). В-клеточный ELISpot иммунизированных мышей (Фигура 39) демонстрирует HBcAg-специфические IgG и IgA приблизительно в 200 SFU и 100 SFU на миллион клеток, соответственно. Это иллюстрирует активацию В-клеточного компартмента иммунизацией pMCore. Искусственная плазмида HBcAg эффективно

индуцировала антиген-специфические клеточные и гуморальные реакции после 3 иммунизаций.

[00246] Фигура 40 демонстрирует процент TNF- α и IFN- γ из CD4+ и CD8+ клеток селезенки и печени.

[00247] В отсутствие небольших модельных животных для HBV, был использован HBcAg для временной трансфекции печени мышей путем гидродинамической инъекции. Печени иммунизированных мышей трансфицировали pMCore или HCV NS3/4A. Иммуногистохимическое окрашивание через три дня после трансфекции показало клиренс HBcAg-трансфицированных гепатоцитов по сравнению с NS3/4A-трансфицированными гепатоцитами. Уровни ALT в сыворотке измеряли чтобы гарантировать, что клиренс, индуцированный иммунизированными мышами, не вызывал повреждение печени. Результаты на Фигуре 41 показали, что клиренс, индуцированный иммунизированными мышами, не вызывал повреждение печени.

[00248] Прямая гидродинамическая инъекция была также использована для временной трансфекции печени мышей. Здесь иммунизированные или наивные печени мышей трансфицировались либо pMCore или иррелевантной плазмидой, кодирующей антигены гепатита C (HCV NS3/4A) Кратко, иммунизированных мышей инъецировали внутривенно 100 мкг плазмиды в 2 мл (около 10 % объема веса мыши) раствора Рингера в течение 7 секунд для временной трансфекции печени. Экспрессию или клиренс плазмиды определяли путем окрашивания печени моноклональными антителами к НА. Иммуногистохимическое окрашивание через три дня после трансфекции (Фигура 42) показало клиренс HBcAg-трансфицированных гепатоцитов по сравнению с NS3/4A-трансфицированными печенью животных. CD8 Т-клетки, выделенные из pMCore гидродинамически инъецированных мышей, на Фигуре 43 показали более высокую частоту IFN- γ ⁺ CD107a⁺, маркера дегрануляции, по сравнению с иммунизированными печенью животных, трансфицированных иррелевантной плазмиды.

[00249] Так как клиренс pMCore-трансфицированных гепатоцитов, кажется, включает дегрануляцию, считалось, что лизис клеток может привести к повреждению печени. Чтобы исследовать, способны ли иммунизированные мыши очищаться от трансфицированных гепатоцитов, не вызывая значительного повреждение печени, был использован анализ измерения активности фермента аланинаминотрансферазы (ALT), чтобы указать на наличие повреждений печени при повышенных уровнях фермента в сыворотке (Фигура 44). В частности, активность сывороточной аланинаминотрансферазы (ALT) измеряли с использованием анализа, базирующегося на оптической плотности (Stanbio Laboratory), на BioTek Synergy 2 микропланшет-ридер. Результаты представлены в виде единиц на литр

(Ед./л) и представляют собой количество фермента, который окисляет один мкмоль/л NADH в минуту. Эти исследования показали, что удельный клиренс HBcAg-трансфенированных гепатоцитов не повышает уровни ALT у трансфицированных иммунизированных животных за пределы нормального диапазона 5-30 Ед./л (Фигура 44).

ПРИМЕР 2

Поверхностные белки HBV

1. Конструирование HBsAg ДНК-вакцины

[00250] Использование консенсусных иммуногенов в контексте вариабельных патогенов с сильно изменяющимися антигенными последовательностями может быть эффективным в индукции более прямого иммунного ответа на борьбу с природным вирусным разнообразием по сравнению с иммунизацией одним природным иммуногеном. Восемнадцать две последовательности больших поверхностных антигенов генотипа A гепатита и семьдесят последовательностей больших поверхностных антигенов генотипа C гепатита были собраны из GenBank, а консенсусные последовательности генотип-специфических поверхностных антигенов и небольших поверхностных антигенов были получены после выполнения нескольких выравниваний. Программное обеспечение Clustal X (версия 1.8), используемое для создания нескольких выравниваний, использовали для создания консенсусной последовательности.

[00251] Были получены ДНК-конструкты, кодирующие только основной S или preS1/S2 плюс основной S поверхностный белок оболочки HBV с использованием консенсусных последовательностей, кодирующих генотипы A или C, которые являются одними из наиболее распространенных генотипов в мире (Фигура 52А, Фигуры 59А-59Д). Разницу в иммунных ответах, вызванных конструктами, кодирующими полноразмерные HB или только основной S, исследовали по поводу того, как амино-концевой домен в preS1 может помочь вирусному прикреплению и входению, тогда, как карбоксильный концевой preS2 может быть вовлечен в инфекционность. Конструкты только основного S были названы небольшими HB (SHB), тогда как плазмиды, которые содержали preS1/S2 были названы большими HB (LHB).

[00252] Консенсусные поверхностные белки HBV были разработаны с эпитопными последовательностями из первичных изолятов генотипа A HBV, так что полученный консенсусный белок имел идентичность последовательности, составляющую от 94,2 процента до 99,8 процента, с поверхностными белками первичных изолятов генотипа A HBV. В частности, были разработаны две версии такого консенсусного белка (Фигура 4 и Фигура 52В). Один включал белок S, также упоминается как SHBs-A, в котором

последовательность SEQ ID NO: 13 представляет собой последовательность нуклеиновой кислоты и SEQ ID NO: 14 представляет собой аминокислотную последовательность. Второй включал белок S, пре-S2 и пре-S1, также упоминается как LHBs-A, в котором последовательность SEQ ID NO: 9 представляет собой последовательность нуклеиновой кислоты и SEQ ID NO: 10 представляет собой аминокислотную последовательность.

[00253] Консенсусные поверхностные белки HBV также были разработаны из эпитопных последовательностей первичных изолятов генотипа C HBV, так что полученный консенсусный белок имел идентичность последовательности, составляющую от 96,5 процента до 99,8 процента, с поверхностными белками первичных изолятов генотипа C HBV. В частности, было разработано две версии такого консенсусного белка (Фигура 4). . Один включал белок S, также упоминается как SHBs-C, в котором SEQ ID NO:15 представляет собой последовательность нуклеиновой кислоты и SEQ ID NO:16 представляет собой аминокислотную последовательность. Второй включал белок S, пре-S2 и пре-S1, также упоминается как LHBs-C, в котором SEQ ID NO:11 представляет собой последовательность нуклеиновой кислоты и SEQ ID NO:12 представляет собой аминокислотную последовательность.

[00254] После получения консенсусных последовательностей больших и небольших поверхностных антигенов консенсусных генотипов A или C проводили кодон-оптимизацию и РНК-оптимизацию. Для указанных выше консенсусных поверхностных антигенов HBV, эндопротеолитические сайты расщепления были введены в консенсусные поверхностные антигены HBV для обеспечения надлежащего фолдинга белка и лучшего процессирования антигена (Фигура 3). Использование кодонов в консенсусных поверхностных антигенах HBV было модифицировано, чтобы отразить кодонное смещение человеческих генов. Кроме того, удалось избежать областей с очень высоким (например, больше, чем 80 процентов) или очень низким (например, меньше, чем 30 процентов) содержанием GC, где находились цис-действующие мотивы, такие как внутренние ТАТА-боксы, повторные последовательности и структурированные последовательности. Последовательность Козак ввели в консенсусные поверхностные антигены HBV для повышения инициации трансляции. Высокоэффективную лидерную последовательность IgE добавили против хода транскрипции стартового кодона для повышения и увеличения белковой экспрессии, как описано ранее (Yan *et al.*, *Vaccine* (2008) 26:5210-5215) (смотри Фигуры 3 и 52В). Были синтезированы оптимизированные гены и подтверждены последовательности.

[00255] Консенсусные HBV-поверхностные антигены SHBs-A, LHBs-A, SHBs-C и LHBs-C были клонированы в вектор экспрессии для получения конструктов pSHb A (также

упоминается как pSHb-A), pLHb A (также упоминается как pLHb-A), pSHb C (также упоминается как pSHb-C) и pLHb C (также упоминается как pLHb-C), соответственно (Фигура 4). Синтезированные гены больших и небольших поверхностных антигенов генотипа А субклонировали в вектор экспрессии pGX0001 в сайты *BamHI* и *XhoI*, тогда как синтезированные гены больших и небольших поверхностных антигенов генотипа С субклонировали в pGX0001 в сайты *EcoRI* и *NotI*. Получение плазмида HBcAg (pMCore) описано в Примере 1.

2. *In vitro* экспрессия комбинированных ДНК-вакцин HBsAg

[00256] Клеточные линии рабдосаркомы (RD) и карциномы печени человека (Нер G2) трансфицировали pLHBs-A, pLHBs-C, pSHBs-A и pSHBs-C, используя TurboFect™ (Thermo Scientific) согласно инструкциям производителя. Для внутриклеточного анализа клетки промывали и фиксировали, используя Cytofix/Cytoperm kit (BD PharMingen, San Diego, CA) согласно инструкциям производителя. После фиксации клетки окрашивали сывороткой от иммунизированных мышей или мышним моноклональным антителом к поверхности вируса гепатита В (Abcam, Cambridge, MA). Затем клетки окрашивали вторичным противомышиным антителом, конъюгированным с изотиоцианатом флуоресцеина (BD Biosciences, San Jose, CA). клетки промывали и фиксировали 2 % параформальдегидом. Окрашенные и зафиксированные клетки были получены на приборе LSR с использованием программного обеспечения CellQuest (BD Biosciences) и проанализированы с использованием программного обеспечения FlowJo (Tree Star, Ashland, OR).

[00257] После конструирования и оптимизации четырех конструктов, экспрессия белка из каждой плазмиды была подтверждена внутриклеточным окрашиванием. RD или Нер G2 клетки временно трансфицировали отдельными конструктами или пустым вектором pGX0001 в качестве контроля. Клетки окрашивали внутриклеточно через 48 часов с помощью анти-HBsAg поликлональной мышной сыворотки или коммерчески приобретенного мышного моноклонального антитела. Экспрессия была подтверждена с помощью проточной цитометрии (Фигура 52С). Повышенные уровни экспрессии белка HBs наблюдались в клетках, трансфицированных каждым конструктом, по сравнению с клетками, трансфицированными пустыми векторами (pGX0001).

ПРИМЕР 3

Иммуногенность отдельных искусственных HBsAg ДНК-плазмид в моделях небольших животных

[00258] После исследований экспрессии, способность отдельных плазмид индуцировать антигенспецифические гуморальные и клеточные реакции оценивали *in vivo*. Шести-восьми недельные самки мышей Balb/c были приобретены у Jackson Laboratories. Животных содержали в соответствии с нормами National Institutes of Health and the University of Pennsylvania Institutional Care and Use Committee (IACUC). Мышей Balb/c иммунизировали трижды внутримышечно (IM) иммунизировали три раза с 2-недельным интервалом в недели 0, 2 и 4 15 мкг плазмид, экспрессирующих небольшой или большой S-антigen, или контрольной pGX0001. Каждый вакцинация была сразу после электропорации в месте инфекции, как описано выше (Hirao *et al.*, *Vaccine* (2008) 26:440-448).

[00259] Для иммунизации все ДНК разбавляли водой без нуклеазы (Qiagen, Valencia, CA 91355). Каждое животное в группе иммунизации получило в общей сложности три внутримышечные иммунизации по 15 мкг соответствующей плазмиды. Для комплексного изучения, каждое животное получило в общей сложности по 45 мкг ДНК в обе передние большеберцовые (ТА) мышцы. Каждая иммунизация сопровождалась *in vivo* электропорацией с устройством CELLECTRA® для адаптивной постояннотоковой электропорации (Inovio Pharmaceuticals, Blue Bell, PA). По два 0,2 амперных постояннотоковых прямоугольных импульса были доставлены через треугольную 3-электродную решетку, состоящую из 26-калиберных твердых электродов из нержавеющей стали, полностью погруженных в мышцу. Каждый импульс был длительностью в 52 миллисекунды с 1-секундной задержкой между импульсами. Индуцированные вакциной гуморальные ответы были рассмотрены впервые, поскольку давнишние ДНК-вакцины не были в состоянии вызывать значительные реакции антител.

1. Анализ антител с помощью ELISA

[00260] ELISA проводили для анализа антиген-специфических IgG реакций в сыворотке, собранной от мышей спустя 7 дней после каждой иммунизации с использованием полноразмерного белка HBsAg в качестве антигена-мишени. Высоко связывающие планшеты ELISA plates (Costar, Corning, NY) покрывали 1 мкг/мл рекомбинантного белка в PBS при 4 °C в течение 24 часов, а затем промывали 0,1 % PBS-Tween и блокировали PBS, содержащим 1 % BSA в течение 2 часов при комнатной температуре. стерильно разведенные образцы сыворотки добавили в лунки и инкубировали в течение 1 часа при

комнатной температуре. после промывания связанный IgG обнаруживали с помощью HRP-меченного козьего противомышиного IgG. Пероксидазно конъюгированные антитела обнаруживали с использованием тетраметилбензидина (Sigma-Aldrich) в качестве субстрата, а значения OD при 450 нм измеряли с помощью Multiscan ELISA планшет-ридера.

[00261] Обе pLHBs и pSHBs из любого генотипа были высоко иммуногенными. Дополнительная иммунизация повысила эти реакции с реакциями антител, демонстрируя наибольшее увеличение спустя две недели после третьей иммунизации (Фигура 53А). В противоположность этому, мыши, иммунизированные только контрольной pGX0001, демонстрировали фоновый уровень реакций IgG. Хотя некоторые различия в амплитуде реакции IgG были обнаружены в каждой группе, постепенное повышение после каждой иммунизации было постоянным в пределах групп.

2. IFN- γ ELISPOT

[00262] Способность конструктов pLHBs-A, pLHBs-C, pSHBs-A и pSHBs-C индуцировать клеточные иммунные реакции исследовалась с помощью IFN- γ ELISPOT. Matching HepB consensus core, 15-мерные пептиды поверхностного антигена А и поверхностного антигена С синтезировали с помощью Genescrypt (Piscataway, NJ) и ресусPENDировали в DMSO и объединяли в пул при приблизительно конечной концентрации 1 мкг/мл каждого пептида. Клеточные реакции измеряли с использованием IFN- γ ELISpot (MabTech, Sweden) согласно инструкциям производителя. Образцы были проведены в трех повторностях с R10 (RPMI 1640, содержащей L-глутамин с 10 % инактивированной нагреванием фетальной бычьей сывороткой и 1 % пенициллина/стрептомицина) и контролем PMA/IM (PMA 0,1 мкг/мл и иономицином 0,5 мкг/мл, Sigma Aldrich, St. Louis, MO).

[00263] HBsAg-специфические IFN- γ секрецирующие клетки проанализировали в ответ на два пула искусственных пептидов, полученных из консенсусного большого поверхностного белка HBV. Первый пептидный пул содержал пептиды, охватывающие preS1 и preS2 белки, тогда как второй пептидный пул состоял из пептидов, охватывающих основной S-белок. Все четыре консенсусные конструкты были способны индуцировать сильные реакции Т-клеток, а перекрестная иммунная реактивность наблюдалась в пределах двух генотипов (Фигура 53В). Хотя, вместе preS белки почти одинаковы по размеру с основным S-белком, было эпитопное смещения в клеточноопосредованных иммунитетных (CMI) реакциях по отношению к основному S-белку. Эти результаты указывают, что искусственные ДНК-иммуногены, кодирующие полноразмерный поверхностный антиген или только основную S-часть поверхностного антигена HBV, демонстрируют

иммуногенность, которая является достаточно разнотипной, чтобы нацелиться на основные генотипы HBV. Полноразмерные конструкты не продемонстрировали существенных отличий в индукции IgG к природному белку HBV по сравнению с более короткими конструктами.

3. Картирование поверхностных антигенных (15-мерных) пептидов HBV

[00264] После подтверждения амплитуды CMI была исследована ширина клеточных реакций на генотип-специфические мишени. Соответственно, наборы Интерферон-гамма ELISPOT анализов проводили против различных пулов матриксных пептидов. Два комплекта пептидов, охватывающих белок LBHs-A или LHBs-C, каждый из которых содержал 15 аминокислотных остатков, перекрывающихся 8 аминокислотами, были синтезированы с помощью GenScript (Piscataway, NJ). Для того, чтобы отобразить иммуно-доминантные эпитопы, два комплекта пептидов были объединены в 16 или 12 пулов для больших или малых групп HBsAg соответственно. IFN- γ ELISpot анализ осуществляли, как описано выше. Эти различные комплекты объединенных пептидов были использованы в матрикском анализе для картирования эпитопов каждого конструкта. Реакции в более 50 SFU на миллион клеток считались положительными.

[00265] Эти данные показывают, что различные эпитопные реакции были вызваны этими искусственными плазмидами поверхностного антигена у мышей линии BALB/c. Наблюдались в 12 из 16 положительных LHBs-A матриксных пулов у pLHBs-A-иммунизированных мышей и 8 из 16 положительных LHBs-C матриксных пулов у pLHBs-C-иммунизированных мышей. Небольшие плазмиды HBS показали более высокие количества реакций с pSHBs-A-иммунизированными мышами, отвечая на 9 из 12 SHBs-A матриксных пептидов, в то время как pSHBs-C-иммунизированные мыши демонстрировали ответы на все матричные пулы SHBs-C (Фигура 53C). Эти данные указывают на высокую степень широких перекрестно-реактивных клеточных реакций, вызванных этими 4 HBs-конструктами. В результате, эти генотип-специфические консенсусные вакцины могут быть способны индуцировать перекрестно-реактивные клеточные реакции против различных первичных поверхностных антигенных изолятов, которые до 8 % отличаются от этих генотипов.

ПРИМЕР 4

Анализ цитотоксичности и антиген-специфических ЦТЛ, обнаруженных в печени и селезенках вакцинированных мышей

[00266] Противовирусные эффекторные CD8 Т-клетки индуцируют цитотоксичность, которая представляет собой клеточную активность для элиминирования HBV-инфицированных гепатоцитов. Способность конструктов генерировать HBs-специфические ЦТЛ в периферии, которые могут также являться родными для печени иммунизированных мышей, оценивали с помощью *in vivo* анализа цитотоксичности. Спленоциты наивных мышей окрашивали либо 1 мкМ (высокая) или 1 нМ (низкая) CFDA SE (Invitrogen, Grand Island, NY, USA). Меченные спленоциты затем покрывали указанными пептидами (релевантными или иррелевантными пептидами) (1 мкМ) и по 10^7 клеток каждой популяции внутривенно вводили наивным или иммунизированным мышам. Спустя 90 часов, выделяли клетки из крови, селезенки или печени и анализировали с помощью проточной цитометрии. Процент лизиса клеток рассчитывали следующим образом: 100 - [(% релевантного пептида, пульсирующего в инфицированных клетках / % иррелевантного пептида, пульсирующего в инфицированных клетках)/(% релевантного пептида, пульсирующего в неинфицированных клетках / % иррелевантного пептида, пульсирующего в неинфицированных клетках)] x 100).

[00267] Миграция HBV-специфических ЦТЛ в печень имеет важное значение для внутрипеченочного элиминирования инфицированных клеток. Антиген-специфическая элиминация адоптивно пересаженных спленоцитов-мишеней, которые пульсировали с искусственными пептидами HBsAg, не наблюдалась. Средний процент лизиса клеток-мишеней в селезенке у мышей, иммунизированных конструктами SHBs, составлял 39 % и 48 % для генотипа А и С, соответственно. Средняя элиминация клеток-мишеней для конструктов LHBs составила 35 % для генотипа А и 51 % для генотипа С. Клиренс был сильным, но не столь мощным, как реакция, наблюдаемая у мышей, которые были иммунизированы только коровой Ag-плазмидой, как описано в Примере 1, у которых 83 % и 76 % целевой коиренс был отмечен в селезенке и печени, соответственно. Демонстрация того, что ЦТЛ, генерированные против HBs, могут устраниять антиген-мишень в печени, способствует тому, что она поддерживает комбинацию HBs и HBc для дальнейшего расширения клеточной силы и ограничения утечки. Процент элиминации клеток-мишеней в печени составил 45 % и 66 % для SHBs-A и SHBs-C, и 60 % и 74 % в группах LHBs-A и LHBs-C (Фигура 54). Имея вакциноспецифический ЦТЛ трафик в печень, орган, как

известно, подавляет Т-клеточный ответ и индуцирует толерантность, подчеркивает эффективность конструктов в стимулировании функционального СМИ.

ПРИМЕР 5

Иммуногенность HBsAg-HBcAg ДНК-коктейля

[00268] Поскольку иммунизация каждой искусственной HBsAg-плазмидой вызвала широкие перекрестно-реактивные иммунные ответы, ответы были расширены за пределы поверхностного антигена для дальнейшего повышения иммуногенности в отношении различных антигенов в пределах вируса. Плазмиды HBs объединили с плазмидой, кодирующей HBcAg (pMCore), для создания HBs-HBc ДНК-вакцинных коктейлей для иммунизации, чтобы определить, повысит ли коктейль клеточную реакцию путем повышения количества иммунных эпигенов, которые Т-клетка будет распознавать для элиминирования, так как коровий антиген HBV участвует в вирусном клиренсе через индукцию HBcAg-специфических ЦТЛ реакций.

[00269] Пять групп мышей, иммунизированных вакцинными коктейлями только антигенов HBs или объединенных антигенов HBs и HBc. Каждая мышь получила две инъекции с последующей электропорацией в обеих ТА. Мышей иммунизировали либо коктейлями, содержащими только поверхностные антигены (обеих генотипов), или коктейлями, содержащими как поверхностные антигены, так и консенсусную плазмиду корового антигена (pMCore), описанную в Примере 1 (смотри Таблицу 3). Мыши, иммунизированные только HBsAg, генерировали высокий титр IgG в своих сыворотках. Интересно, похожие титры наблюдались в группе SHBs-pMCore, но были менее сильными в группе коктейлей LHBs-pMCore (Фигура 55А). Увеличение антигена-мишени, возможно, вызвало некоторое торможение антител.

**Таблица 3. Иммунизационные группы мышей для исследования
ДНК-коктейлей HBs-HBc.**

Группы мышей	ДНК-коктейль
Группа 1	pGX0001only
Группа 2	pLHBs-A/pLHBs-C
Группа 3	pSHBs-A/pSHBs-C
Группа 4	pLHBs-A/pLHBs-C/pMCore
Группа 5	pSHBs-A/pSHBs-C/pMCore

[00270] Для дальнейшего изучения иммунного ответа, вызываемого HBs-HBc-иммунизированными мышами, оценивали продуцирование IFN- γ из каждой

иммунизированной группы. Средние SFU на миллион спленоцитов для групп, не имеющих pMCore, составило 689 и 666 для генотипа A и 1160 и 1312 против пептидов генотипа C, соответственно. Кроме того, добавление pMCore в среднем увеличило общее SFU на миллион спленоцитов на 400 точек против генотипа C и в два раза реакцию, когда спленоциты стимулировали пептидами генотипа A (Фигура 55В).

[00271] CD8 Т-клетки, как известно, являются основными эффекторными клетками, ответственными за клиренс HBV. Важно определить, какой тип Т-клеток является причиной наблюдаемого производства IFN- γ и изучить, могут ли эти Т-клетки вызывать несколько противовирусных функций в ответ на антигенное повторное столкновение, высвобождая другие противовирусные цитокины, такие как TNF- α и IL-2 и маркеры дегрануляции, такие как CD107a. Способность CD8 Т-клеток от иммунизированных мышей индуцировать эти цитокины и маркеры оценивали после *ex vivo* стимуляции пригодными пептидами. Разноцветный проточный анализ показал, что значительный процент CD8 Т-клеток из каждой группы были полифункциональными (т.е. продуцируется несколько цитокинов), активированные CD8 Т-клетки во всех группах (Фигуры 56А - F). Также наблюдалась антиген-специфическая индукция маркера лимфоцитной дегрануляции, CD107a, в этих CD8 Т-клетках. CD8 Т-клетки из группы коктейлей HBS-HBc показали высокую полифункциональную активность при стимуляции пептидом поверхностного антигена, что подтверждает синергетический эффект в CD8 Т-клеточных противовирусных цитокинах, таких как IFN- γ TNF- α и IL-2, и маркера дегрануляции, CD107a. Также наблюдалась индукция ЦТЛ через клиренс пересаженных антигенпульсирующих клеток. В то время как имелось уменьшение ответов антител к HBs для коктейлей, включая конструкты LHBs, коктейли вакцин SHBs-pMCore поддерживали гуморальные ответы, обнаруженные у животных, иммунизированных только SHBs.

ПРИМЕР 6

Иммунизация резус-макак коктейлем индуцирует сильные клеточные HBc- и HBs-специфические и гуморальные HBs-специфические иммунные реакции

[00272] Эффективность ДНК-вакцины предыдущих ДНК-конструктов была последовательно слабой у крупных животных и людей. Сильные ответы антител и Т-клеточные ответы, стимулированные комбинацией pLHBs или pSHBs и pMCore у мышей приводят к оценке иммуногенности этих конструктов в модели нечеловекообразных приматов (NHP), который более точно имитируют иммунный ответ человека. Это препятствие для иммуногенности вакцины в качестве большего размера и аутбредной МНС-популяции NHP, как правило, приводит к снижению или отсутствию

иммуногенности по сравнению с мышевыми моделями. Для этих исследований L-12, Th-1-ведущий цитокин, был добавлен для анализа. Было показано, что IL-12 приводит CMI, способствуя примирению и экспансии CD8 T-клеток, при добавлении к иммунизации в качестве адьюванта для усиления иммунного ответа против различных антигенов из различных патогенов. Этот адьювант увеличивает Т-клеточные ответы ДНК-вакцины у мышей и макак, и человека.

1. Вакцинация

[00273] Пятнадцать индийских макак-резусов были размещены в Bioqual (Rockville, MD) в соответствии со стандартами Американской ассоциации по аккредитации в области лабораторных животных. Обезьяны резус-макак были помещены в группы, где каждая группа содержит 5 обезьян. Смотри Таблицу 4.

Таблица 3. Группы иммунизации нечеловекообразных приматов

группы обезьян	ДНК-коктейль
группа А	pSHBs-A/pSHBs-C/pMCore
группа В	pLHBs-A/pLHBs-C/pMCore
группа С	pLHBs-A/pLHBs-C/pMCore + IL-12

[00274] Одной группе вводили путем внутримышечной (IM) доставки (также известной как *in vivo* электропорация) вакцину, содержащую 1,0 мг каждого из конструктов pMCore, pSHb A и pSHb C; эта группа называется "небольшой" группой. Второй группе вводили посредством IM доставки вакцину, содержащую 1,0 мг каждого из конструктов pMCore, pLHb A и pLHb C; эта группа называется "длинной" группой. Третьей группе вводили через IM доставку вакцину, содержащую по 1,0 мг каждого из конструктов pMCore, pLHb A и pLHb C и 0,4 мг prhIL-12 (плазмида, экспрессирующая оптимизированный резус IL-12); эта группа упоминается как "длинная+IL-12" или "pLHBs+12" группа. Конструкт prhIL-12 кодирует белок IL-12 резус-макаки. ДНК была доставлена к единичному сайту в четырехглавой мышце с последующей *in vivo* EP с помощью устройства постоянного тока CELLECTRA® (Inovio Pharmaceuticals, Blue Bell, PA) 3 импульсами при 0,5 А постоянного тока, длительность импульса 52 мс и 1 с отдыха между импульсами. Животные были вакцинированы в недели 0, 4, 12 и 30.

2. Отбор проб

[00275] Образцы брали от обезьян до иммунизации в неделю 0, а также после каждой иммунизации (т.е., после недель 0, 4 и 12). У животных брали кровь через 2 недели после каждой иммунизации. Кровь (20 мл в каждый момент времени) собирали в пробирки с

ЭДТА, а PBMC выделяли с использованием стандартной процедуры фиколл-гипак с пробирками Accuspin (Sigma-Aldrich). Дополнительные 5 мл крови собирали в пробирки для отделения плазмы, а сыворотку делили на аликвоты для анализа.

[00276] Реакции с высоким титром антител против HBsAg наблюдались после двух иммунизаций pSHBs/pMCore, но не с pLHBs/pMCore. Этот ответ был сопоставим с данными мышного антитела на Фигуре 55А. Ответ против pLHBs/pMCore поднялся после третьей иммунизации. Адьювант IL-12 повысил титр антител иммунизации коктейлем pLHBs/pMCore уже после всего лишь двух иммунизаций (Фигура 57А).

[00277] Клеточные иммунные реакции от PBMC показывают практически отсутствие HBs или HBC-специфических ответов после первой иммунизации. Однако, ответы наблюдались после второй иммунизации и увеличивались после каждой последующей иммунизации. Сильные ответы свыше 2000 SFU на миллион PBMC наблюдались во всех группах после третьей иммунизации и были в значительной степени направлены против корового антигена. Добавление адьюванта IL-12 усиливало амплитуду Т-клеточного ответа 1000 SFU на миллион PBMC по сравнению с только коктейлем pLHBs/pMCore (Фигура 57В). Для дальнейшего определения широты клеточного ответа были созданы матричные пулы консенсусных коровых пептидов для определения количества возможных эпитопов. Реакции Т-клеток охватили несколько пептидных пулов со средним ответом на 12 пептидных эпитопов (Фигура 57С). Эти ответы совпадают с полученными ранее, как показано на небольших животных моделях. Эти результаты позволяют предположить, что коктейли способны индуцировать клеточный ответ с сильной амплитудой и шириной, и что амплитуда этих ответов может быть расширена путем добавления IL-12.

[00278] На Фигурах 45-48 показаны клеточные иммунные реакции, вызванные вакцинами, введенными в небольших, длинных и длинная+IL-12 группах. Анализ иммуноферментных пятен (ELISPOT) был использован для определения клеточного иммунного ответа, как описано выше в Примере 1. Как показано на Фигурах 45-48 Т-клеточный ответ повышался с каждой вакцинацией. Однако, коровый антиген HBV был более иммуногенным, чем HBV-поверхностный антиген А и HBV-поверхностный антиген С. Эти данные также показывают, что более длинный консенсусный поверхностный антиген HBV (т.е. включает белок S, preS2 и preS1) является иммуногенным в качестве небольшого поверхностного антигена HBV (т.е. включает белок S).

[00279] Подобно Фигурам 45-48, на Фигуре 49 показаны клеточные иммунные ответы, вызванные вакцинами, введенными в небольших, длинных и длинная+IL-12 группах, как измерено с помощью анализа ELISPOT, кроме того были исследованы различные пулы

пептидов, охватывающие коровый антиген, поверхностный антиген А и поверхностный антиген С. Опять же, ответ Т-клеток повышался с каждой вакцинацией, добавление IL-12 усиливало клеточный иммунный ответ, а длинные и короткие консенсусные поверхностные антигены HBV были аналогично иммуногенными.

[00280] На Фигуре 50 показаны данные ELISA, сравнивающие ответы антител против HBV для небольших, длинных и длинная+IL-12 групп. ELISA были выполнены, как описано выше в Примере 1. Наблюдались антиген-специфические гуморальные реакции в сыворотке, полученной от иммунизированных обезьян. В частности, вакцины, включающие длинный консенсусный поверхностный антиген (т.е. S-белок, preS2 и preS1) имеют лучшую реакцию антитела, которая может быть из-за дополнительных эпитопов, присутствующих в вакцине.

[00281] На Фигуре 51 показаны данные ELISA, сравнивающие ответы антител против HBV для группы длинная+IL-12 до иммунизации (prevac) и после иммунизации в неделю 0, неделю 4 и неделю 12 (то есть, после 1-й, после 2-й и после 3-ей иммунизации, соответственно). ELISA проводили, как описано выше в Примере 1. Данные на Фигуре 51 показывают, что две иммунизации или дозы необходимы для измеримого продуцирования антител. Кроме того, значительное повышение ответа антитела к HBV наблюдали после третьей иммунизации или дозы.

ПРИМЕР 7

[00282] Как и в экспериментах с мышами в Примере 5, спленоциты, т.е. CD8 и CD4 Т-клетки, были выделены от иммунизированных макак резус в Примере 6 для исследования уровней INF- γ и секреции TNF- α в ответ на введение комбинации консенсусных коровых и консенсусных поверхностных антигенов. CD8 и CD4 Т-клетки были изучены с помощью полифункционального и фенотипического анализа потока, чтобы изучить секрецию фактора некроза опухоли, гамма-интерферона и CD107a из этих CD8 и CD4 Т-клеток, чтобы определить, имеют ли CD8 и CD4 Т-клетки иммунизированных обезьян из Примера 6 сходные характеристики с мышиными CD8 и CD4 Т-клетками, изученными в Примере 1.

[00283] Для дальнейшего определения функции клеточного иммунного ответа, внутриклеточное окрашивание противовирусных цитокинов проводили после стимуляции коровых и поверхностных антигенов из генотипов А и С. Внутриклеточное окрашивание антителами к противовирусным цитокинам показало, что антиген-специфическое продуцирование противовирусных цитокинов (IFN- γ , TNF- α и IL-2) индуцировалось в обеих CD4 и CD8 Т-клетках от иммунизированных обезьян. Фигура 57D показывает, что после трех иммунизаций наблюдались HBV-специфические CD4 и CD8 Т-клеточные

реакции. Подобно результатам, показанным в IFN- γ ELISpot, ответы против корового антигена доминировали. Добавление IL-12 усиливало общую амплитуду отклика, однако, как ожидалось, этот эффект был более выраженным для CD8 Т-клеток. Индукция как CD4, так и CD8 ответов, составляющая в среднем 1 %, предполагает индукцию широкого иммунного ответа, состоящего из Th1 и Th2 иммунитета и является сильно обнадеживающей для продвижения этой стратегии в испытаниях на людях.

[00284] Антитела и Т-клеточные ответы на антигены HBs и HBc были аналогичны результатам, полученным с мышами в Примере 5. Эти ответы были еще более впечатляющими, когда IL-12, Th1 поляризационный цитокиновый адьювант был добавлен в коктейль pLHBs-pMCore. Похоже, что pLHBs-pMCore + IL-12 рецептура была весьма эффективной в качестве предпочтительной комбинации. Следует отметить, что ни один вакциновый препарат не привел к повышению параметров, связанных с повреждением печени.

ПРИМЕР 8

Анализ функции печени у нечеловекообразных приматов после вакцинации с использованием панелей для химического анализа крови из печени

[00285] Поскольку клинические исследования пациентов, активно инфицированных HBV, предположили возможность того, что Т-клеточный ответ может быть связанным с патологией печени в течение болезни, то проводили предварительный анализ общей безопасности этих поливалентных вакцин в отношении функции печени. Для того чтобы исследовать функцию печени, сывороточные уровни щелочной фосфатазы, аланинаминотрансферазы, аспартатаминотрансферазы и общего билирубина были проанализированы у вакцинированных животных до иммунизации, после третьей вакцинации и непосредственно перед четвертой вакцинацией и после четвертой вакцинации. Панели для химического анализа крови были приобретены IDEXX Laboratories и содержали щелочную фосфатазу, аланинаминотрансферазу, аспартатаминотрансферазу и общий билирубин. Результаты этого анализа показаны на Фигуре 58. Отсутствие повышения щелочной фосфатазы, аланинаминотрансферазы, аспартатаминотрансферазы и общего билирубина в тестах на функцию печени до, во время и после завершения периода иммунизации предположил, что индукция HBV-специфического иммунного ответа не вызывала значительный ущерба печени вакцинированных животных.

[00286] Взятые вместе, эти данные подтверждают, что введение этого искусственного ДНК-вакцинового коктейля, кодирующего сконструированные антигены HBV, в комбинации со специфической электропорацией приводит к сильным и разнообразным

клеточным и гуморальным реакциям у мышей и NHP, избегая при этом ощутимой токсичности.

[00287] Понятно, что приведенное выше подробное описание и сопровождающие примеры являются только иллюстративными и не должны рассматриваться как ограничивающие объем изобретения, который определен исключительно прилагаемой формулой изобретения и ее эквивалентами.

[00288] Различные изменения и модификации раскрытых вариантов осуществления будут очевидны специалистам в данной области техники. Такие изменения и модификации, в том числе, без ограничения, касающиеся химической структуры, заместителей, производных, промежуточных соединений, композиций, составов или способов использования изобретения, могут быть сделаны без отступления от сущности и объема изобретения.

ПЕРЕЧЕНЬ ПОСЛЕДОВАТЕЛЬНОСТЕЙ

<110> THE TRUSTEES OF THE UNIVERSITY OF PENNSYLVANIA
Weiner, David B.
Yan, Jian
Obeng-Adjei, Nyamakye

<120> МОЛЕКУЛЫ НУКЛЕИНОВЫХ КИСЛОТ, КОДИРУЮЩИЕ КОРОВЫЙ БЕЛОК ВИРУСА ГЕПАТИТА В И ПОВЕРХНОСТНЫЙ АНТИГЕННЫЙ БЕЛОК, И СОДЕРЖАЩАЯ ИХ ВАКЦИНА

<130> UPVG0037 WO2

<140> PCT/US13/60618
<141> 2013-09-19

<150> US 13/622,965
<151> 2012-09-19

<160> 21

<170> Версия PatentIn 3.5

<210> 1
<211> 552
<212> ДНК
<213> искусственная последовательность

<220>
<223> последовательность нуклеиновой кислоты M-core

<220>
<221> прочие характеристики
<222> (1)..(3)
<223> n является а, с, г или т

<400> 1
nnngacatcg acccctacaa agaattcggc gccaccgtgg aactgctgag cttcctgccc 60
agcgacttct tcccctccgt gcgggacctg ctggataccg ccagcgccct gtacagagag 120
gccctggaaa gccccgagca ctgcagccct caccacacag ccctgcggca ggccatcctg 180
tgctggggcg agctgatgac cctggccacc tgggtcgaa gcaacctgga agatcccgcc 240
agccgggacc tggtggtgtc ctacgtgaac accaacatgg gcctgaagat ccggcagctg 300
ctgtggttcc acatctcctg cctgacacctc ggccgggaaa ccgtgctgga atacctggtg 360
tccttcggcg tgtggatcag aaccccccgc gcctacagac cccccaacgc ccctatcctg 420
agcacccctgc ccgagacaac cgtggtccgc agacggggca gaagccccag aagaagaacc 480
cccagcccta gacggcgag atctcagagc cccagggcggaa gaagatccca gagccgcgag 540
agccagtgtc ga 552

<210> 2
<211> 183
<212> белок
<213> искусственная последовательность

<220>

<223> аминокислотная последовательность M-Core

<220>

<221> прочие характеристики

<222> (1)..(1)

<223> Xaa может быть природной аминокислотой

<400> 2

Xaa Asp Ile Asp Pro Tyr Lys Glu Phe Gly Ala Thr Val Glu Leu Leu
1 5 10 15

Ser Phe Leu Pro Ser Asp Phe Phe Pro Ser Val Arg Asp Leu Leu Asp
20 25 30

Thr Ala Ser Ala Leu Tyr Arg Glu Ala Leu Glu Ser Pro Glu His Cys
35 40 45

Ser Pro His His Thr Ala Leu Arg Gln Ala Ile Leu Cys Trp Gly Glu
50 55 60

Leu Met Thr Leu Ala Thr Trp Val Gly Ser Asn Leu Glu Asp Pro Ala
65 70 75 80

Ser Arg Asp Leu Val Val Ser Tyr Val Asn Thr Asn Met Gly Leu Lys
85 90 95

Ile Arg Gln Leu Leu Trp Phe His Ile Ser Cys Leu Thr Phe Gly Arg
100 105 110

Glu Thr Val Leu Glu Tyr Leu Val Ser Phe Gly Val Trp Ile Arg Thr
115 120 125

Pro Pro Ala Tyr Arg Pro Pro Asn Ala Pro Ile Leu Ser Thr Leu Pro
130 135 140

Glu Thr Thr Val Val Arg Arg Arg Gly Arg Ser Pro Arg Arg Arg Thr
145 150 155 160

Pro Ser Pro Arg Arg Arg Arg Ser Gln Ser Pro Arg Arg Arg Arg Ser
165 170 175

Gln Ser Arg Glu Ser Gln Cys
180

<210> 3

<211> 603

<212> ДНК

<213> искусственная последовательность

<220>

<223> последовательность нуклеиновой кислоты IgE лидера - M-Core

<400> 3

atggactgga cctggattct gttcctggtg gccgctgccca caagggtgca cagcgacatc
gaccctaca aagaattcgg cgccaccgtg gaactgctga gcttcctgcc cagcgacttc
ttccccctccg tgcccggacct gctggatacc gccagcgccc tgtacagaga ggccctggaa
agccccgagc actgcagccc tcaccacaca gccctgcggc aggccatcct gtgctggggc
gagctgatga ccctggccac ctgggtcgga agcaacctgg aagatcccgc cagccgggac
ctggtggtgt cctacgtgaa caccaacatg ggcctgaaga tccggcagct gctgtgggtc
cacatctcct gcctgacctt cggccggaa accgtgctgg aatacctggt gtccttcggc
gtgtggatca gaacccccc tgcctacaga cccccaacg cccctatcct gagcaccctg
cccgagacaa ccgtggccg cagacggggc agaagcccc gaagaagaac ccccaagccct
agacggccgga gatctcagag ccccaggcgg agaagatccc agagccgcga gagccagtgc
tga 603

<210> 4

<211> 200

<212> белок

<213> искусственная последовательность

<220>

<223> аминокислотная последовательность IgE лидера - M-Core

<400> 4

Met Asp Trp Thr Trp Ile Leu Phe Leu Val Ala Ala Ala Thr Arg Val
1 5 10 15

His Ser Asp Ile Asp Pro Tyr Lys Glu Phe Gly Ala Thr Val Glu Leu
20 25 30

Leu Ser Phe Leu Pro Ser Asp Phe Phe Pro Ser Val Arg Asp Leu Leu
35 40 45

Asp Thr Ala Ser Ala Leu Tyr Arg Glu Ala Leu Glu Ser Pro Glu His
50 55 60

Cys Ser Pro His His Thr Ala Leu Arg Gln Ala Ile Leu Cys Trp Gly
65 70 75 80

Glu Leu Met Thr Leu Ala Thr Trp Val Gly Ser Asn Leu Glu Asp Pro
85 90 95

Ala Ser Arg Asp Leu Val Val Ser Tyr Val Asn Thr Asn Met Gly Leu
100 105 110

Lys Ile Arg Gln Leu Leu Trp Phe His Ile Ser Cys Leu Thr Phe Gly
115 120 125

Arg Glu Thr Val Leu Glu Tyr Leu Val Ser Phe Gly Val Trp Ile Arg
130 135 140

Thr Pro Pro Ala Tyr Arg Pro Pro Asn Ala Pro Ile Leu Ser Thr Leu
145 150 155 160

Pro Glu Thr Thr Val Val Arg Arg Gly Arg Ser Pro Arg Arg Arg
165 170 175

Thr Pro Ser Pro Arg Arg Arg Ser Gln Ser Pro Arg Arg Arg Arg
180 185 190

Ser Gln Ser Arg Glu Ser Gln Cys
195 200

<210> 5

<211> 630

<212> ДНК

<213> искусственная последовательность

<220>

<223> последовательность нуклеиновой кислоты IgE лидера - M-Core + HA Tag

<400> 5

atggactgga cctggattct gttcctggtg gccgctgcc caagggtgca cagcgacatc 60

gacccttaca aagaattcgg cgccaccgtg gaactgctga gcttcctgcc cagcgacttc 120

ttccccctccg tgcgggacct gctggatacc gccagcgccc tgtacagaga ggccctggaa 180

agccccgagc actgcagccc tcaccacaca gccctgcggc aggccatcct gtgctggggc 240

gagctgatga ccctggccac ctgggtcgga agcaacctgg aagatcccgc cagccggac 300

ctgggttgtt cctacgtgaa caccaacatg ggcctgaaga tccggcagct gctgtgggttc 360

cacatctcct gcctgacctt cggccggaa accgtgctgg aatacctggt gtccttcggc 420

gtgtggatca gaacccccc tgcctacaga cccccaacg cccctatcct gagcaccctg 480

cccgagacaa ccgtggtccg cagacggggc agaagcccc gaagaagaac cccagccct 540

agacggcgga gatctcagag ccccaggcgg agaagatccc agagccgcga gagccagtgc 600

taccctacg acgtgcccga ctacgcctga 630

<210> 6

<211> 209

<212> белок

<213> искусственная последовательность

<220>

<223> аминокислотная последовательность IgE лидера - M-Core + HA Tag

<400> 6

Met Asp Trp Thr Trp Ile Leu Phe Leu Val Ala Ala Ala Thr Arg Val
1 5 10 15

His Ser Asp Ile Asp Pro Tyr Lys Glu Phe Gly Ala Thr Val Glu Leu
20 25 30

Leu Ser Phe Leu Pro Ser Asp Phe Phe Pro Ser Val Arg Asp Leu Leu
35 40 45

Asp Thr Ala Ser Ala Leu Tyr Arg Glu Ala Leu Glu Ser Pro Glu His
50 55 60

Cys Ser Pro His His Thr Ala Leu Arg Gln Ala Ile Leu Cys Trp Gly
65 70 75 80

Glu Leu Met Thr Leu Ala Thr Trp Val Gly Ser Asn Leu Glu Asp Pro
85 90 95

Ala Ser Arg Asp Leu Val Val Ser Tyr Val Asn Thr Asn Met Gly Leu
100 105 110

Lys Ile Arg Gln Leu Leu Trp Phe His Ile Ser Cys Leu Thr Phe Gly
115 120 125

Arg Glu Thr Val Leu Glu Tyr Leu Val Ser Phe Gly Val Trp Ile Arg
130 135 140

Thr Pro Pro Ala Tyr Arg Pro Pro Asn Ala Pro Ile Leu Ser Thr Leu
145 150 155 160

Pro Glu Thr Thr Val Val Arg Arg Gly Arg Ser Pro Arg Arg Arg
165 170 175

Thr Pro Ser Pro Arg Arg Arg Ser Gln Ser Pro Arg Arg Arg Arg
180 185 190

Ser Gln Ser Arg Glu Ser Gln Cys Tyr Pro Tyr Asp Val Pro Asp Tyr
195 200 205

Ala

<210> 7

<211> 18

<212> белок

<213> искусственная последовательность

<220>

<223> IgE лидерная аминокислотная последовательность

<400> 7

Met Asp Trp Thr Trp Ile Leu Phe Leu Val Ala Ala Ala Thr Arg Val
1 5 10 15

His Ser

<210> 8

<211> 9

<212> белок

<213> искусственная последовательность

<220>

<223> аминокислотная последовательность НА-метки

<400> 8

Tyr Pro Tyr Asp Val Pro Asp Tyr Ala
1 5

<210> 9

<211> 1317

<212> ДНК

<213> искусственная последовательность

<220>

<223> искусственная (LHBs-A)

<400> 9

ggatccgcca ccatggattg gacttggatt ctgttcctgg tcgccgctgc tacacgggtg 60

cattcagggg gctggtcttc aaaacctaga aaaggcatgg gcaccaacct gagcgtgccc 120

aatcctctgg ggttcttcc agaccaccag ctggaccccg cttdcgccgc aaactccaac 180

aatcctgact gggacttcaa cccaatcaaa gaccactggc cagcagctaa ccaagtggga 240

gtcggagctt tcggaccagg actgactccc cctcatggcg ggattctggg ctggctccc 300

caggctcagg gcatcctgac cacagtgagc actattccac cccctgcaag caccaacagg 360

cagtccggac gccagccaac cccaatctca ccacccctgc gagacagcca ccctcaggcc 420

agaggcagga aacggagatc tatgcagtgg aatagtacag ccttccatca ggctctgcag 480

gaccgggggg tgccccggact gtactttcca gccggaggca gctcctctgg cactgtcaac 540

cctgcaccaa atatcgctc ccacatcagt tcaatttctg ctcgaactgg agacccgtg 600

accaaccggg gcagaaaagag gcgcagtatg gagaatatta cctcagggtt cctgggacct 660

ctgctggtcc tgcaggcagg cttctttctg ctgaccgcga tcctgacaat tcctcagtca 720

ctggatagct ggtggaccag cctgaacttc ctgggcggca gccccgtgtg cctgggacag 780

aactctcaga gtcctacacc caatcattct ccaacaagtt gtcctccaat ctgcccaggc 840

tacagatgga	tgtgcctgcg	acgttcatac	atttcctgt	ttatcctgct	gctgtgcctg	900
attttctgc	tggtgctgct	ggactatcag	ggcatgctgc	cagtctgcc	cctgattcct	960
gggtccacta	ccacatctac	aggaccctgt	aagacttgca	ctaccctgc	ccagggaaac	1020
agtatgttc	catcatgctg	ttgcacaaaa	cccactgatg	gaaattgtac	atgcatcccc	1080
attcctagct	cctgggcatt	cgccaagtat	ctgtggaat	ggcaagcgt	gaggtttca	1140
tggctgagcc	tgctggtgcc	cttcgtccag	tggtttgtgg	gactgagccc	taccgtctgg	1200
ctgtccgcca	tctggatgat	gtggtactgg	gggcccagcc	tgtattcaat	cgtgtctcca	1260
ttcatcccc	tgctgccaat	cttctttgt	ctgtgggtct	acatttgata	actcgag	1317

<210> 10

<211> 431

<212> белок

<213> искусственная последовательность

<220>

<223> искусственная (LHBs-A)

<400> 10

Met	Asp	Trp	Thr	Trp	Ile	Leu	Phe	Leu	Val	Ala	Ala	Ala	Thr	Arg	Val
1									10					15	

His	Ser	Gly	Gly	Trp	Ser	Ser	Lys	Pro	Arg	Lys	Gly	Met	Gly	Thr	Asn
												20		25	30

Leu	Ser	Val	Pro	Asn	Pro	Leu	Gly	Phe	Phe	Pro	Asp	His	Gln	Leu	Asp
												35		40	45

Pro	Ala	Phe	Gly	Ala	Asn	Ser	Asn	Asn	Pro	Asp	Trp	Asp	Phe	Asn	Pro
										50		55		60	

Ile	Lys	Asp	His	Trp	Pro	Ala	Ala	Asn	Gln	Val	Gly	Val	Gly	Ala	Phe
										65		70		75	80

Gly	Pro	Gly	Leu	Thr	Pro	Pro	His	Gly	Gly	Ile	Leu	Gly	Trp	Ser	Pro
										85		90		95	

Gln	Ala	Gln	Gly	Ile	Leu	Thr	Thr	Val	Ser	Thr	Ile	Pro	Pro	Pro	Ala
											100		105		110

Ser	Thr	Asn	Arg	Gln	Ser	Gly	Arg	Gln	Pro	Thr	Pro	Ile	Ser	Pro	Pro
											115		120		125

Leu	Arg	Asp	Ser	His	Pro	Gln	Ala	Arg	Gly	Arg	Lys	Arg	Arg	Ser	Met
											130		135		140

Gln Trp Asn Ser Thr Ala Phe His Gln Ala Leu Gln Asp Pro Arg Val

145 150 155 160

Arg Gly Leu Tyr Phe Pro Ala Gly Gly Ser Ser Ser Gly Thr Val Asn
165 170 175

Pro Ala Pro Asn Ile Ala Ser His Ile Ser Ser Ile Ser Ala Arg Thr
180 185 190

Gly Asp Pro Val Thr Asn Arg Gly Arg Lys Arg Arg Ser Met Glu Asn
195 200 205

Ile Thr Ser Gly Phe Leu Gly Pro Leu Leu Val Leu Gln Ala Gly Phe
210 215 220

Phe Leu Leu Thr Arg Ile Leu Thr Ile Pro Gln Ser Leu Asp Ser Trp
225 230 235 240

Trp Thr Ser Leu Asn Phe Leu Gly Gly Ser Pro Val Cys Leu Gly Gln
245 250 255

Asn Ser Gln Ser Pro Thr Ser Asn His Ser Pro Thr Ser Cys Pro Pro
260 265 270

Ile Cys Pro Gly Tyr Arg Trp Met Cys Leu Arg Arg Phe Ile Ile Phe
275 280 285

Leu Phe Ile Leu Leu Cys Leu Ile Phe Leu Leu Val Leu Asp
290 295 300

Tyr Gln Gly Met Leu Pro Val Cys Pro Leu Ile Pro Gly Ser Thr Thr
305 310 315 320

Thr Ser Thr Gly Pro Cys Lys Thr Cys Thr Thr Pro Ala Gln Gly Asn
325 330 335

Ser Met Phe Pro Ser Cys Cys Cys Thr Lys Pro Thr Asp Gly Asn Cys
340 345 350

Thr Cys Ile Pro Ile Pro Ser Ser Trp Ala Phe Ala Lys Tyr Leu Trp
355 360 365

Glu Trp Ala Ser Val Arg Phe Ser Trp Leu Ser Leu Leu Val Pro Phe
370 375 380

Val Gln Trp Phe Val Gly Leu Ser Pro Thr Val Trp Leu Ser Ala Ile
385 390 395 400

Trp Met Met Trp Tyr Trp Gly Pro Ser Leu Tyr Ser Ile Val Ser Pro

405

410

415

Phe Ile Pro Leu Leu Pro Ile Phe Phe Cys Leu Trp Val Tyr Ile
420 425 430

<210> 11
<211> 1319
<212> ДНК
<213> искусственная последовательность

<220>
<223> искусственная (LHBs-C)

<400> 11
gaattcgcca ccatggattg gacatggatt ctgtttctgg tcgcgcgc aaccgcgtg 60
cactcagggg gatggtcata aaaacctaga cagggaatgg gcactaacct gagtgtgcc 120
aattcctctgg ggttcttcc cgaccaccag ctggatcctg cttcggcgc taactcta 180
aatccagact gggacttcaa ccccaataag gaccactggc ctgaggcaaa tcaagtgg 240
gcaggaggct tcggaccagg ctttacaccc cctcatggcg gactgctggg atggtccc 300
caggctcagg ggatcctgac cacagtccca gcagctccac cccctgcaag tactaacagg 360
cagtcaggac gccagccaac cccatttct ccacccctga gggacagtca ccctcaggcc 420
agaggcagga agcggagaag catgcagtgg aacagcacta cttccatca ggcactgctg 480
gatccacgctg tgcgaggact gtactttcca gccggaggca gtcctctgg aaccgtgaac 540
cctgtcccaa caactgcctc cccaatcagt tcaattttct ctcggacagg agaccccgt 600
cctaattccccgg gcagaaaaag gcgcataatg gaaagcacca catccgggtt tctgggacca 660
ctgctggc tgcaggcagg cttcttctg ctgaccagaa tcctgacaat tccccagttct 720
ctggatagtt ggtggaccag cctgaacttc ctggcgccgc cccctacttg tccaggacag 780
aactctcaga gtccaaacatc aaatcatagc cccacttcct gtcctccaaat ctgcccctggc 840
taccgctgga tgtgcctgct acggttcatc attttcctgt ttatcctgt gctgtgcctg 900
atttttctgc tggtgctgct ggactatcag ggaatgctgc ccgtctgccc tctgctgcca 960
gggacttcta ctaccagtac cggacattgt aagacatgca ctattccagc tcaggggacc 1020
tccatgttcc cctcttgctg ttgcaccaaa cctagcgatg gaaattgtac atgcataccca 1080
attcccaagct cctgggctt cgcacgattt ctgtggaggt gggccagcgt gcgctttca 1140
tggctgagcc tgctggtgcc cttcgatccag tggtttgcg gcctgtcacc taccgtgtgg 1200
ctgagcgtca tctggatgtat gtggtaactgg gggcccgagcc tgtataatat cctgtcacca 1260
ttcctqccac tqctqccaaat cttctttgt ctqtqqqgtct acattqata aqcqgcccqc 1319

<210> 12
<211> 431
<212> белок

<213> искусственная последовательность

<220>

<223> искусственная (LHBs-C)

<400> 12

Met Asp Trp Thr Trp Ile Leu Phe Leu Val Ala Ala Ala Thr Arg Val
1 5 10 15

His Ser Gly Gly Trp Ser Ser Lys Pro Arg Gln Gly Met Gly Thr Asn
20 25 30

Leu Ser Val Pro Asn Pro Leu Gly Phe Phe Pro Asp His Gln Leu Asp
35 40 45

Pro Ala Phe Gly Ala Asn Ser Asn Asn Pro Asp Trp Asp Phe Asn Pro
50 55 60

Asn Lys Asp His Trp Pro Glu Ala Asn Gln Val Gly Ala Gly Ala Phe
65 70 75 80

Gly Pro Gly Phe Thr Pro Pro His Gly Gly Leu Leu Gly Trp Ser Pro
85 90 95

Gln Ala Gln Gly Ile Leu Thr Thr Val Pro Ala Ala Pro Pro Pro Ala
100 105 110

Ser Thr Asn Arg Gln Ser Gly Arg Gln Pro Thr Pro Ile Ser Pro Pro
115 120 125

Leu Arg Asp Ser His Pro Gln Ala Arg Gly Arg Lys Arg Arg Ser Met
130 135 140

Gln Trp Asn Ser Thr Thr Phe His Gln Ala Leu Leu Asp Pro Arg Val
145 150 155 160

Arg Gly Leu Tyr Phe Pro Ala Gly Gly Ser Ser Ser Gly Thr Val Asn
165 170 175

Pro Val Pro Thr Thr Ala Ser Pro Ile Ser Ser Ile Phe Ser Arg Thr
180 185 190

Gly Asp Pro Ala Pro Asn Arg Gly Arg Lys Arg Arg Ser Met Glu Ser
195 200 205

Thr Thr Ser Gly Phe Leu Gly Pro Leu Leu Val Leu Gln Ala Gly Phe
210 215 220

Phe Leu Leu Thr Arg Ile Leu Thr Ile Pro Gln Ser Leu Asp Ser Trp

225	230	235	240
Trp Thr Ser Leu Asn Phe Leu Gly Gly Ala Pro Thr Cys Pro Gly Gln			
245	250	255	
Asn Ser Gln Ser Pro Thr Ser Asn His Ser Pro Thr Ser Cys Pro Pro			
260	265	270	
Ile Cys Pro Gly Tyr Arg Trp Met Cys Leu Arg Arg Phe Ile Ile Phe			
275	280	285	
Leu Phe Ile Leu Leu Leu Cys Leu Ile Phe Leu Leu Val Leu Leu Asp			
290	295	300	320
Tyr Gln Gly Met Leu Pro Val Cys Pro Leu Leu Pro Gly Thr Ser Thr			
305	310	315	
Thr Ser Thr Gly Pro Cys Lys Thr Cys Thr Ile Pro Ala Gln Gly Thr			
325	330	335	
Ser Met Phe Pro Ser Cys Cys Cys Thr Lys Pro Ser Asp Gly Asn Cys			
340	345	350	
Thr Cys Ile Pro Ile Pro Ser Ser Trp Ala Phe Ala Arg Phe Leu Trp			
355	360	365	
Glu Trp Ala Ser Val Arg Phe Ser Trp Leu Ser Leu Leu Val Pro Phe			
370	375	380	
Val Gln Trp Phe Val Gly Leu Ser Pro Thr Val Trp Leu Ser Val Ile			
385	390	395	400
Trp Met Met Trp Tyr Trp Gly Pro Ser Leu Tyr Asn Ile Leu Ser Pro			
405	410	415	
Phe Leu Pro Leu Leu Pro Ile Phe Phe Cys Leu Trp Val Tyr Ile			
420	425	430	
<210> 13			
<211> 753			
<212> ДНК			
<213> искусственная последовательность			
<220>			
<223> искусственная (SHBs-A)			
<400> 13			
ggatccgcca ccatggactg gacctggatt ctgttcctgg tggctgccgc tacacgggtg			
cattctgaaa atatcacatc tggattcctg ggacacctgc tggtgctgca ggctgggttc			
60			
120			

tttctgctga	caagaatcct	gactattccc	cagtcactgg	acagctggtg	gacatctctg	180
aacttcctgg	gcggggagtcc	tgtctgtctg	ggacagaact	ctcagagtcc	tacttccaat	240
cactctccaa	ccagttgtcc	ccctatctgc	ccaggctacc	gctggatgtg	cctgcggaga	300
ttcatcattt	tcctgttat	cctgctgctg	tgccctgattt	ttctgctgg	gctgctggac	360
tatcagggca	tgctgcctgt	ctgcccactg	attcccgca	gcaccacaac	ttctaccggc	420
ccctgtaaga	catgcaccac	acctgcccag	gggaacagta	tgttccatc	atgctgtgc	480
actaaaccca	ccgatggaaa	ttgtacatgc	atcccaattc	ccagctcctg	ggccttcgct	540
aagtacctgt	gggagtgccc	aagcgtgcga	ttttcatggc	tgagcctgct	ggtgccttgc	600
gtccagtggt	ttgtggcct	gagcccaact	gtctggctgt	ccgccatctg	gatgatgtgg	660
tactggggc	ccagcctgta	ttccatcgtg	tcaccattca	ttcccctgct	gccaatctt	720
ttctgcctgt	gggtctacat	ctgataactc	gag			753

<210> 14
<211> 243
<212> белок
<213> искусственная последовательность

<220>
<223> искусственная (SHBs-A)

<400> 14

Met	Asp	Trp	Thr	Trp	Ile	Leu	Phe	Leu	Val	Ala	Ala	Ala	Thr	Arg	Val
1									10					15	

His	Ser	Glu	Asn	Ile	Thr	Ser	Gly	Phe	Leu	Gly	Pro	Leu	Leu	Val	Leu
									25					30	

Gln	Ala	Gly	Phe	Phe	Leu	Leu	Thr	Arg	Ile	Leu	Thr	Ile	Pro	Gln	Ser
									40					45	

Leu	Asp	Ser	Trp	Trp	Thr	Ser	Leu	Asn	Phe	Leu	Gly	Gly	Ser	Pro	Val
									55					60	

Cys	Leu	Gly	Gln	Asn	Ser	Gln	Ser	Pro	Thr	Ser	Asn	His	Ser	Pro	Thr
									75					80	

Ser	Cys	Pro	Pro	Ile	Cys	Pro	Gly	Tyr	Arg	Trp	Met	Cys	Leu	Arg	Arg
									90					95	

Phe	Ile	Ile	Phe	Leu	Phe	Ile	Leu	Leu	Cys	Leu	Ile	Phe	Leu	Leu	
									105					110	

Val	Leu	Leu	Asp	Tyr	Gln	Gly	Met	Leu	Pro	Val	Cys	Pro	Leu	Ile	Pro
									120					125	

Gly Ser Thr Thr Thr Ser Thr Gly Pro Cys Lys Thr Cys Thr Thr Pro
130 135 140

Ala Gln Gly Asn Ser Met Phe Pro Ser Cys Cys Cys Thr Lys Pro Thr
145 150 155 160

Asp Gly Asn Cys Thr Cys Ile Pro Ile Pro Ser Ser Trp Ala Phe Ala
165 170 175

Lys Tyr Leu Trp Glu Trp Ala Ser Val Arg Phe Ser Trp Leu Ser Leu
180 185 190

Leu Val Pro Phe Val Gln Trp Phe Val Gly Leu Ser Pro Thr Val Trp
195 200 205

Leu Ser Ala Ile Trp Met Met Trp Tyr Trp Gly Pro Ser Leu Tyr Ser
210 215 220

Ile Val Ser Pro Phe Ile Pro Leu Leu Pro Ile Phe Phe Cys Leu Trp
225 230 235 240

Val Tyr Ile

<210> 15

<211> 755

<212> ДНК

<213> искусственная последовательность

<220>

<223> искусственная (SHBs-C)

<400> 15

gaattcgcca ccatggattg gacatggatt ctgttcctgg tcgcgcgcgc aacacgagtg 60

cattctgaaa gtacaaccc tcggttcctg ggccccctgc tggtgctgca ggcagggttc 120

tttctgctga cacgaatccc gactattcca cagtcactgg acagctggtg gaccagcctg 180

aacttcctgg gcggggcccc tacatgtcca ggacagaact ctcagagtcc cacttccaat 240

cactctccata ccagttgtcc ccatatctgc cccggctaca gatggatgtg cctgcccaga 300

ttccatcattt tcctgtttat cctgctgctg tgcctgattt ttctgctggc gctgctggac 360

tatcaggaa tgctgcccgt ctgccctctg ctgccaggaa cctcaaccac aagcacagggc 420

ccttgtaaga cttgcaccat tcccgctcag gggactagta tggcccttc atgctgtgc 480

acaacaaccat ctgatggaaa ttgtacttgc atcccaattc ccagctcctg ggccttcgct 540

aggtttctgt gggagtggc cagtggtgcgc ttttcctggc tgtctctgct ggtgcccttc 600

gtccagtggt ttgtcggcct gagccctaca gtgtggctgt ccgtcatctg gatgatgtgg 660

tactggggc ctagcctgta taatatcctg tcaccattc tgccactgct gccaatcttc 720
ttttgcctgt gggtctacat ctgataagcg gccgc 755

<210> 16
<211> 243
<212> белок
<213> искусственная последовательность

<220>
<223> искусственная (SHBs-C)

<400> 16

Met Asp Trp Thr Trp Ile Leu Phe Leu Val Ala Ala Ala Thr Arg Val
1 5 10 15

His Ser Glu Ser Thr Thr Ser Gly Phe Leu Gly Pro Leu Leu Val Leu
20 25 30

Gln Ala Gly Phe Phe Leu Leu Thr Arg Ile Leu Thr Ile Pro Gln Ser
35 40 45

Leu Asp Ser Trp Trp Thr Ser Leu Asn Phe Leu Gly Gly Ala Pro Thr
50 55 60

Cys Pro Gly Gln Asn Ser Gln Ser Pro Thr Ser Asn His Ser Pro Thr
65 70 75 80

Ser Cys Pro Pro Ile Cys Pro Gly Tyr Arg Trp Met Cys Leu Arg Arg
85 90 95

Phe Ile Ile Phe Leu Phe Ile Leu Leu Cys Leu Ile Phe Leu Leu
100 105 110

Val Leu Leu Asp Tyr Gln Gly Met Leu Pro Val Cys Pro Leu Leu Pro
115 120 125

Gly Thr Ser Thr Thr Ser Thr Gly Pro Cys Lys Thr Cys Thr Ile Pro
130 135 140

Ala Gln Gly Thr Ser Met Phe Pro Ser Cys Cys Cys Thr Lys Pro Ser
145 150 155 160

Asp Gly Asn Cys Thr Cys Ile Pro Ile Pro Ser Ser Trp Ala Phe Ala
165 170 175

Arg Phe Leu Trp Glu Trp Ala Ser Val Arg Phe Ser Trp Leu Ser Leu
180 185 190

Leu Val Pro Phe Val Gln Trp Phe Val Gly Leu Ser Pro Thr Val Trp

195

200

205

Leu Ser Val Ile Trp Met Met Trp Tyr Trp Gly Pro Ser Leu Tyr Asn
210 215 220

Ile Leu Ser Pro Phe Leu Pro Leu Leu Pro Ile Phe Phe Cys Leu Trp
225 230 235 240

Val Tyr Ile

<210> 17

<211> 3585

<212> ДНК

<213> искусственная последовательность

<220>

<223> искусственная (pGX1801 HepB - MCore)

<400> 17

gactcttcgc gatgtacggg ccagatatac gcgttgacat tgattattga ctagttatta 60
atagtaatca attacgggtt cattagttca tagcccatat atggagttcc gcgttacata 120
acttacggta aatggccgc ctggctgacc gcccaacgac ccccgccccat tgacgtcaat 180
aatgacgtat gttcccatag taacgccaat agggacttgc cattgacgtc aatgggtgga 240
ctatttacgg taaactgccc acttggcagt acatcaagt tatcatatgc caagtacgcc 300
ccctattgac gtcaatgacg gtaaatggcc cgccctggcat tatgcccagt acatgacctt 360
atgggacttt cctacttggc agtacatcta cgtattagtc atcgctattt ccatggtgat 420
gcgggtttgg cagtacatca atggcgtgg atagcggtt gactcacggg gatttccaag 480
tctccacccc attgacgtca atgggagttt gttttggcac caaaatcaac gggactttcc 540
aaaatgtcgt aacaactccg ccccatggac gcaaattggc ggtaggcgtg tacggtgaaa 600
ggtctatata agcagagctc tctggctaacc tagagaaccc actgcttact ggcttatcga 660
aattaatacg actcactata gggagaccca agctggctag cgtttaaact taagcttggt 720
accgagctcg gatccgcccc catggactgg acctggattc tggcctgggt ggccgctgcc 780
acaagggtgc acagcgacat cgaccctac aaagaattcg ggcggccaccgt ggaactgctg 840
agcttcctgc ccagcgactt cttccctcc gtgcgggacc tgctggatac cgccagcgcc 900
ctgtacagag agggccctgg aagccccgag cactgcagcc ctcaccacac agccctgcgg 960
caggccatcc tgtgctgggg cgagctgatg accctggcca cctgggtcgg aagcaacctg 1020
gaagatcccg ccagccggaa cctgggtggtg tcctacgtga acaccaacat gggcctgaag 1080
atccggcagc tgctgtggtt ccacatctcc tgcctgaccc tcggccggaa aaccgtgctg 1140
gaataacctgg tgtccttcgg cgtgtggatc agaaccacccctgcctacag accccccaac 1200

gcccctatcc tgagcacccct gcccggagaca accgtggtcc gcagacgggg cagaagcccc 1260
agaagaagaa ccccccagccc tagacggcg agatctcaga gccccaggcg gagaagatcc 1320
cagagccgcg agagccagtg ctaccctac gacgtccccg actacgcctg actcgagtct 1380
agagggcccg tttaaacccg ctgatcagcc tcgactgtgc cttctagttg ccagccatct 1440
gttgtttgcc cctccccgt gccttccttg accctggaag gtgccactcc cactgtcctt 1500
tcctaataaa atgagggaaat tgcattcgcat tgtctgagta ggtgtcattc tattctgggg 1560
ggtgggggtgg ggcaggacag caagggggag gattgggaag acaatagcag gcatgctggg 1620
gatgcgggtgg gctctatggc ttctactggg cggttttatg gacagcaagc gaaccggaaat 1680
tgccagctgg ggcccccctct ggttaagggtt ggaaggccctg caaagtaaac tggatggctt 1740
tctcgccgccc aaggatctga tggcgcaggg gatcaagctc tgatcaagag acaggatgag 1800
gatcgtttcg catgattgaa caagatggat tgcacgcagg ttctccggcc gcttgggtgg 1860
agaggctatt cggttatgac tgggcacaac agacaatcg ctgctctgat gccggcgtgt 1920
tccggctgtc agcgcagggg cgcccggttc tttttgtcaa gaccgacctg tccggtgccc 1980
tgaatgaact gcaagacgag gcagcgcggc tatcgtggct ggccacgacg ggcgttcctt 2040
gcfgcagctgt gctcgacgtt gtcactgaag cgggaaggga ctggctgcta ttgggcaag 2100
tgccggggca ggtatctctg tcatctcacc ttgctctgc cgagaaaagta tccatcatgg 2160
ctgatgcaat gcggcggctg catacgcttg atccggctac ctgcccattc gaccaccaag 2220
cgaaacatcg catcgagcga gcacgtactc ggtatggaaagc cggtcttggtc gatcaggatg 2280
atctggacga agagcatcag gggctcgcbc cagccgaact gttcgccagg ctcaaggcga 2340
gcatgcccga cggcgaggat ctgcgtgtc cccatggcga tgcctgcttg ccgaatatca 2400
tggtgaaaaa tggccgcttt tctggattca tcgactgtgg ccggctgggt gtggcggacc 2460
gctatcagga catagcgttg gctacccttg atattgtga agagcttggc ggcgaatggg 2520
ctgaccgctt cctcgtgtt tacggtatcg ccgctccga ttgcagcgc atgccttct 2580
atgccttct tgacgagttc ttctgaatta ttaacgctta caatttcctg atgcgttatt 2640
ttctccttac gcatctgtgc ggtatccac accgcataca ggtggcactt ttggggaaaa 2700
tgtgcgcgga acccctatcc gtttattttt ctaaatacat tcaaatatgt atccgctcat 2760
gagacaataa ccctgataaa tgcttcaata atagcacgtg ctaaaacttc attttaatt 2820
taaaaaggatc taggtgaaga tccttttga taatctcatg accaaaatcc cttaacgtga 2880
gttttcgttc cactgagcgt cagaccctgt agaaaagatc aaaggatctt cttgagatcc 2940
ttttttctg cgctaatct gctgcttgca aacaaaaaaaaa ccaccgctac cagcgggtgg 3000
ttgtttgccg gatcaagagc tccaactct ttttccgaag gtaactggct tcagcagagc 3060
gcagatacca aatactgtcc ttcttagtgc gccgtagttt gcccaccact tcaagaactc 3120

tgttagcaccg	cctacataacc	tcgctctgct	aatcctgtta	ccagtggctg	ctgccagtg	3180
cgataagtcg	tgtcttacccg	ggttggactc	aagacgatag	ttaccggata	aggcgcagcg	3240
gtcgggctga	acggggggtt	cgtgcacaca	gcccagctg	gagcgaacga	cctacaccga	3300
actgagatac	ctacagcgta	agctatgaga	aagcgccacg	cttcccgaag	ggagaaaaggc	3360
ggacaggtat	ccggtaagcg	gcagggtcgg	aacaggagag	cgcacgaggg	agcttccagg	3420
gggaaacgcc	tggtatctt	atagtcctgt	cgggttcgc	cacctctgac	ttgagcgtcg	3480
attttgtga	tgctcgtcag	ggggcggag	cctatgaaa	aacgccagca	acgcggcctt	3540
tttacggttc	ctgggcttt	gctggcctt	tgctcacatg	ttctt		3585

<210> 18
<211> 4254
<212> ДНК
<213> искусственная последовательность

<220>
<223> искусственная (pGX1802 HepB pLHBs-A)

<400> 18						
gactcttcgc	gatgtacggg	ccagatatac	gcgttgacat	tgattattga	ctagttatta	60
atagtaatca	attacggggt	cattagttca	tagccatat	atggagttcc	gcgttacata	120
acttacggta	aatggccgc	ctggctgacc	gcccaacgac	ccccgccccat	tgacgtcaat	180
aatgacgtat	gttcccatag	taacgccaat	agggacttcc	cattgacgtc	aatgggtgga	240
ctatttacgg	taaactgccc	acttggcagt	acatcaagtg	tatcatatgc	caagtacgcc	300
ccctattgac	gtcaatgacg	gtaaatggcc	cgcctggcat	tatgcccagt	acatgacctt	360
atgggacttt	cctacttggc	agtacatcta	cgtattagtc	atcgcttatta	ccatggtgat	420
gcggttttgg	cagtacatca	atgggcgtgg	atagcggttt	gactcacggg	gatttccaag	480
tctccacccc	attgacgtca	atgggagttt	gttttggcac	caaaatcaac	gggactttcc	540
aaaatgtcgt	aacaactccg	ccccattgac	gcaaatgggc	ggtaggcgtg	tacggtgaaa	600
ggtctatata	agcagagctc	tctggctaac	tagagaaccc	actgcttact	ggcttatcga	660
aattaatacg	actcactata	gggagaccca	agctggctag	cgtttaaact	taagcttggt	720
accgagctcg	gatccgcccc	catggattgg	acttggattc	tgttcctgg	cgcgcgtgt	780
acacgggtgc	attcaggggg	ctggcttca	aaacctagaa	aaggcatggg	caccaacctg	840
agcgtgccc	atcctctggg	gttctttcca	gaccaccagc	tggacccccgc	tttcggcgca	900
aactccaaca	atcctgactg	ggacttcaac	ccaatcaaag	accactggcc	agcagctaac	960
caagtggag	tcggagctt	cggaccagga	ctgactcccc	ctcatggcgg	gattctgggc	1020
tggtctcccc	aggctcaggg	catcctgacc	acagtgagca	ctattccacc	ccctgcaagc	1080
accaacaggc	agtccggacg	ccagccaacc	ccaatctcac	cacccctgcg	agacagccac	1140

cctcaggcca gaggcaggaa acggagatct atgcagtgg aatagtacagc cttccatcatg 1200
gctctgcagg accccccgggt gcggggactg tactttccag ccggaggcag ctcctctggc 1260
actgtcaacc ctgcacccaaa tatcgctcc cacatcagtt caatttctgc tcgaactgg 1320
gaccgggtga ccaaccgggg cagaaagagg cgcaatgtgg agaatattac ctcagggttc 1380
ctgggacctc tgctggtcct gcaggcaggc ttctttctgc tgacccgcatt cctgacaatt 1440
cctcagtcac tggatagctg gtggaccagc ctgaacttcc tgggcggcag ccccggtgc 1500
ctggacaga actctcagag tcctacactcc aatcattctc caacaagttg tcctccaatc 1560
tgcccaggct acagatggat gtgcctgcga cggttcatca ttttcctgtt tatcctgctg 1620
ctgtgcctga tttttctgtg ggtgctgctg gactatcagg gcatgctgcc agtctgcccc 1680
ctgattcctg ggtccactac cacatctaca ggaccctgt aagacttgcac tacccctgccc 1740
cagggaaaca gtatgttcc atcatgctgt tgcacaaaac ccactgtgg aaattgtaca 1800
tgcacccca ttcctagctc ctgggcattc gccaaagtatc tgtggaaatg ggcaagcgtg 1860
aggttttcat ggctgaggct gctgggtgccc ttcgtccagt gttttgtggg actgagccct 1920
accgtctggc tgtccgcatt ctggatgatg tggtaactggg ggcccagcct gtattcaatc 1980
tgtctccat tcatccccct gctgccaatc ttctttgtc tgtgggtcta catttgataa 2040
ctcgagtcta gagggcccg ttaaaccgc tgatcagcct cgactgtgcc ttcttagttgc 2100
cagccatctg ttgtttgccc ctccccctgt cttccctga ccctggaaagg tgccactccc 2160
actgtccttt cctaataaaa tgagggaaatt gcatcgatt gtctgagtag gtgtcattct 2220
attctggggg gtgggggtggg gcaggacagc aagggggagg attgggaaga caatagcagg 2280
catgctgggg atgcgggtggg ctctatggct tctactggc ggttttatgg acagcaagcg 2340
aacccgaatt gccagctggg gcccctctg gtaagggtgg gaagccctgc aaagtaaact 2400
ggatggctt ctcgcccaca agatctgtat ggccggggg atcaagctct gatcaagaga 2460
caggatgagg atcggttcgc atgattgaac aagatggatt gcacgcagg tctccggccg 2520
cttgggtgga gaggctattc ggctatgact gggcacaaca gacaatggc tgctctgtat 2580
ccggcgtgtt ccggctgtca ggcggggc gcccgggtct tttgtcaag accgacctgt 2640
ccgggtccct gaatgaactg caagacgagg cagcgccggct atcgtggctg gccacgacgg 2700
gcgttccttg cgcagctgtc ctcgacgttg tcactgaagc gggaaaggac tggctgctat 2760
tggggcgaatg gcccggcag gatctctgt catctcacct tgctctgtcc gagaaagtat 2820
ccatcatggc tcatgcataatc cggcggtgc atacgcttgc tccggctacc tgccattcg 2880
accaccaagc gaaacatcgc atcgagcggagc cacgtactcg gatggaaagcc ggtcttgc 2940
atcaggatga tctggacgaa gagcatcagg ggctcgcc agccgaactg ttcgcccaggc 3000
tcaaggcggag catgccccgac ggccggggatc tcgtcgatccatggcgat gcctgcttgc 3060

cgaatatcat ggtggaaaat ggccgcttt ctggattcat cgactgtggc cggctgggtg	3120
tggccggaccg ctatcaggac atagcggtgg ctacccgtga tattgctgaa gagcttggcg	3180
gcgaatgggc tgaccgcttc ctctgtgtt acggtatcgc cgctcccgat tcgcagcgca	3240
tcgccttcta tcgccttctt gacgagttct tctgaattat taacgcttac aatttcctga	3300
tgcgggtattt tctccttacg catctgtgcg gtatttcaca ccgcatacag gtggcacttt	3360
tcggggaaat gtgcgcgaa cccctatttg tttattttc taaatacatt caaatatgta	3420
tccgctcatg agacaataaac cctgataaaat gcttcaataa tagcacgtgc taaaacttca	3480
tttttaattt aaaaggatct aggtgaagat ccttttgat aatctcatga caaaaatccc	3540
ttaacgtgag ttttcgttcc actgagcgtc agaccccgta gaaaagatca aaggatcttc	3600
ttgagatcct tttttctgc gcgtaatctg ctgcttgcaa aaaaaaaaaac caccgctacc	3660
agcgtgggtt tgtttgcgg atcaagagct accaactctt tttccgaagg taactggctt	3720
cagcagagcg cagataccaa atactgtcct tctagtgttag ccgtagtttag gccaccactt	3780
caagaactct gtagcacccgc ctacataacct cgctctgcta atcctgttac cagtggctgc	3840
tgccagtggc gataagtcgt gtcttaccgg gttggactca agacgatagt taccggataa	3900
ggcgccagccg tcgggctgaa cgggggggttc gtgcacacag cccagcttgg agcgaacgac	3960
ctacaccgaa ctgagataacc tacagcgtga gctatgagaa agcgccacgc ttcccgagg	4020
gagaaaggcg gacaggtatc cgtaagccgg cagggtcgga acaggagagc gcacgaggga	4080
gcttccaggg ggaaacgcct ggtatcttta tagtcctgtc gggtttcgcc acctctgact	4140
tgagcgtcga ttttgtat gctcgtcagg ggggcggagc ctatggaaaa acgccagcaa	4200
cgcggccttt ttacggttcc tggcttttgcctt gctcacatgt tctt	4254

<210> 19
<211> 4284
<212> ДНК
<213> искусственная последовательность

<220>
<223> искусственная (pGX1803 HepB pLHBs-C)

<400> 19 gactcttcgc gatgtacggg ccagatatac gcgttgacat tgattattga ctgttattta	60
atagtaatca attacgggtt cattagttca tagcccatat atggagttcc gcgttacata	120
acttacggta aatggccgc ctggctgacc gcccaacgac ccccgccccat tgacgtcaat	180
aatgacgtat gttcccatag taacgccaat agggacttcc cattgacgtc aatgggtgga	240
ctatttacgg taaactgccc acttggcagt acatcaagt tatcatatgc caagtacgcc	300
ccctattgac gtcaatgacg gtaaatggcc cgccctggcat tatgcccagt acatgacctt	360
atgggacttt cctacttggc agtacatcta cgtattagtc atcgcttatta ccatgggtat	420

gcggtttgg cagtacatca atggcgtgg atagcggtt gactcacggg gattccaag 480
tctccacccc attgacgtca atggagttt gtttggcac caaatcaac gggacttcc 540
aaaatgtcgt aacaactccg cccattgac gcaaatggc ggtaggcgtg tacggtgga 600
ggtctatata agcagagctc tctggcta ac tagagaaccc actgcttact ggcttatcg 660
aattaatacg actcactata gggagacca agctggctag cgtttaaact taagcttggt 720
accgagctcg gatccactag tccagtgtgg tggaattcgc caccatggat tggacatgg 780
ttctgttct ggtcgccgcc gcaacccgcg tgcactcagg gggatggtca tcaaaaccta 840
gacagggaat gggcactaac ctgagtgtgc ccaatcctct ggggttctt cccgaccacc 900
agctggatcc tgccttcggc gctaactcta acaatccaga ctgggacttc aaccccaata 960
aggaccactg gcctgaggca aatcaagtgg gagcaggagc ctgcggacca ggcttacac 1020
ccccctcatgg cgactgctg ggtggtccc ctcaggctca gggatcctg accacagtcc 1080
cagcagctcc accccctgca agtactaaca ggcagtcagg acgccagcca accccattt 1140
ctccacccct gagggacagt caccctcagg ccagaggcag gaagcggaga agcatgcagt 1200
ggaacagcac taccttccat caggcactgc tggatccacg cgtgcgagga ctgtactttc 1260
cagccggagg cagctccctt ggaaccgtga accctgtccc aacaactgccc tccccatca 1320
gttcaatttt ctctcgacca ggagaccccg ctccta atcg gggcagaaaa aggcgctcaa 1380
tggaaagcac cacatccggg ttctggac cactgcttgt gctgcaggca ggcttcttc 1440
tgctgaccag aatcctgaca attccccagt ctctggatag ttgggtggacc agcctgaact 1500
tcctggcgg cgccccctact tgtccaggac agaactctca gagtccaaca tcaaattata 1560
gccccacttc ctgtcctcca atctgcccctg gctaccgctg gatgtgcctg cgacggttca 1620
tcattttcct gtttattcctg ctgctgtgcc tgattttct gctggtgctg ctggactatc 1680
agggaatgct gcccgtctgc cctctgctgc cagggacttc tactaccagt accggacatt 1740
gtaagacatg cactattcca gctcaggaga cctccatgtt cccctttgc tggcacca 1800
aaccttagcga tggaaattgt acatgcaccc caattccag ctcctggct ttcgcacgat 1860
ttctgtggga gtggccagc gtgcgtttt catggctgag cctgctggtg cccttcgtcc 1920
agtggttgt cggcctgtca cctaccgtgt ggctgagcgt catctggatg atgtggta 1980
gggggcccag cctgtataat atcctgtcac cattcctgcc actgctgcca atcttcttt 2040
gtctgtgggt ctacattga taagcggccg ctcgagtcata gaggggccgt ttaaaccgc 2100
tgatcagcct cgactgtgcc ttctagttgc cagccatctg ttgttgcctt ctccccgtg 2160
ccttccttga ccctggagg tgccactccc actgtcctt cctaataaaa tgagggaaatt 2220
gcatcgccatt gtctgagtag gtgtcattct attctggggg gtgggggtggg gcaggacagc 2280
aagggggagg attgggaaga caatagcagg catgctgggg atgcgggtggg ctctatggct 2340

tctactgggc ggaaaaatgg acagcaagcg aaccgaaatt gccagctggg gcgcctctg 2400
gtaagggtgg gaagccctgc aaagtaaact ggatggcttt ctcgccgcca agatctgat 2460
ggcgcagggg atcaagctct gatcaagaga caggatgagg atcgttcgc atgattgaac 2520
aagatggatt gcacgcaggt tctccggccg cttgggtgga gaggctattc ggctatgact 2580
gggcacaaca gacaatcgac tgctctgatg ccggctgttt ccggctgtca gcgcaggggc 2640
gcgggttct ttttgtcaag accgacctgt ccgggtccct gaatgaactg caagacgagg 2700
cagcgcggct atcggtggctg gccacgacgg gcgttccttg cgtagctgtg ctgcacgttg 2760
tcactgaagc gggaaaggac tggctgctat tggcgaagt gccggggcag gatctcctgt 2820
catctcacct tgctcctgcc gagaaagtat ccatcatggc ttagtgcataatg cggcggctgc 2880
atacgcttga tccggctacc tgcccattcg accaccaagc gaaacatcgc atcgagcgag 2940
cacgtactcg gatggaagcc ggtttgtcg atcaggatga tctggacgaa gagcatcagg 3000
ggctcgccgccc agccgaactg ttccggccaggc tcaaggcgag catgcccgcac ggccgaggatc 3060
tcgtcgtgac ccatggcgat gcctgcttgc cgaatatcat ggtggaaaat ggccgtttt 3120
ctggattcat cgactgtggc cggctgggtg tggcggaccg ctatcaggac atagcgttgg 3180
ctacccgtga tattgctgaa gagcttggcg gcaatgggc tgaccgcttc ctgcgtctt 3240
acggtatcgc cgctcccgat tcgcagcgca tcgccttcta tcgccttctt gacgagttct 3300
tctgaattat taacgcttac aatttcctga tgcggatttt tctccttacg catctgtgc 3360
gtatttcaca ccgcatacag gtggcacttt tcggggaaat gtgcgcggaa cccctatttg 3420
tttatttttc taaatacatt caaatatgtt tccgctcatg agacaataac cctgataaat 3480
gcttcaataa tagcacgtgc taaaacttca ttttaattt aaaaggatct aggtgaagat 3540
ccttttgat aatctcatga ccaaataccc ttaacgtgag ttttcgttcc actgagcgtc 3600
agaccccgta gaaaagatca aaggatcttc ttgagatctt tttttctgc gcgtaatctg 3660
ctgcttgc当地 aaaaaaaaaac caccgctacc agcgggtggc ttgttgc当地 atcaagagct 3720
accaactctt tttccgaagg taactggctt cagcagagcg cagataccaa atactgtctt 3780
tcttagtgc当地 ccgttagttag gccaccactt caagaactct gtgcaccgc ctacataacct 3840
cgctctgcta atcctgttac cagtggtgc tgccagtggc gataagtgc当地 gtcttaccgg 3900
gttgactca agacgatagt taccggataa ggccgcagcgg tcgggtgaa cgggggggttc 3960
gtgcacacag cccagctgg agcgaacgc ac tacaccgaa ctgagatacc tacagcgtga 4020
gctatgagaa agcgccacgc ttcccgagg gagaaaggcg gacaggtatc cgtaagcgg 4080
cagggtcgga acaggagagc gcacgaggga gcttccagg ggaaacgcct ggtatctta 4140
tagtcctgtc gggttcgcc acctctgact tgagcgtcga tttttgtgat gtcgtcagg 4200
ggggcggagc ctagggaaaa acggcagcaa cgcggcctt ttacgggttcc tggcgtttt 4260

ctggcctttt gctcacatgt tctt	4284
<210> 20	
<211> 3690	
<212> ДНК	
<213> искусственная последовательность	
<220>	
<223> искусственная (pGX1804 HepB pSHBs-A)	
<400> 20	
gactcttcgc gatgtacggg ccagatatac gcgttgacat tgattattga cttagttatta	60
atagtaatca attacggggt cattagttca tagcccatat atggagttcc gcgttacata	120
acttacggta aatggcccgcc ctggctgacc gcccaacgac ccccgccccat tgacgtcaat	180
aatgacgtat gttcccatag taacgccaat agggacttgc cattgacgtc aatgggtgga	240
ctatttacgg taaactgccc acttggcagt acatcaagtg tatcatatgc caagtacgcc	300
ccctattgac gtcaatgacg gtaaatggcc cgccctggcat tatgcccagt acatgacctt	360
atgggacttt cctacttggc agtacatcta cgtattagtc atcgcttatta ccatggtgat	420
gcgggtttgg cagtacatca atggcgtgg atagcggttt gactcacggg gatttccaag	480
tctccaccccc attgacgtca atgggagttt gtttggcac caaaatcaac gggactttcc	540
aaaatgtcgt aacaactccg cccattgac gcaaatagggc ggtaggcgtg tacggtgaaa	600
ggtctatata agcagagctc tctggctaact tagagaaccc actgcttact ggcttatcga	660
aattaatacg actcactata gggagaccca agctggctag cgtttaaact taagcttggt	720
accgagctcg gatccgcccc catggactgg acctggattc tggcttggcgtt ggctggcgct	780
acacgggtgc attctgaaaa tatcacaatct ggattcctgg gacctctgct ggtgctgcag	840
gctgggttct ttctgctgac aagaatcctg actattcccc agtcactggc cagctggtg	900
acatctctga acttcctggg cggagactcgt gtctgtctgg gacagaactc tcagagtcct	960
acttccaatc actctccaac cagttgtccc cctatctgcc caggctaccg ctggatgtgc	1020
ctgcccggat tcatacatttt cctgtttatc ctgctgtgt gcctgatttt tctgctgggt	1080
ctgctggact atcagggcat gctgcctgtc tgcccactga ttcccggcag caccacaact	1140
tctaccggcc cctgttaagac atgcaccaca cctgcccagg ggaacagtat gtttccatca	1200
tgctgttgca ctaaacccac cgatggaaat tgtacatgca tcccaattcc cagctcctgg	1260
gccttcgcta agtacctgtg ggagtggca agcgtgcgtat tttcatggct gagcctgctg	1320
gtgcctttcg tccagtgggtt tgtggcctg agcccaactg tctggctgtc cgccatctgg	1380
atgatgtggc actgggggcc cagcctgtat tccatcgtgt caccattcat tcccctgctg	1440
ccaatctttt tctgcctgtg ggtctacatc tgataactcg agtctagagg gcccgtttaa	1500
acccgctgat cagcctcgac tgcgccttct agttgcacgc catctgttgc ttgcctcc	1560

cccggtgcctt ccttgaccct ggaagggtgcc actcccactg tcctttccta ataaaatgag 1620
gaaattgcat cgattgtct gagtaggtgt cattctattc tgggggtgg ggtggggcag 1680
gacagcaagg gggaggattg ggaagacaat agcaggcatg ctggggatgc ggtgggcct 1740
atggcttcta ctggcggtt ttatggacag caagcgaacc ggaattgcca gctggggcgc 1800
cctctggtaa ggttgggaag ccctgcaaag taaactggat ggcttcctcg ccgccaagga 1860
tctgatggcg cagggatca agctctgatc aagagacagg atgaggatcg tttcgcatga 1920
ttgaacaaga tggattgcac gcaggttctc cggccgcttg ggtggagagg ctattcgct 1980
atgactggc acaacagaca atcggctgct ctgatgccgc cgtttccgg ctgtcagcgc 2040
aggggcgccc ggttctttt gtcaagaccg acctgtccgg tgccctgaat gaactgcaag 2100
acgaggcagc gcggctatcg tggctggcca cgacgggcgt tccttgcga gctgtgcctg 2160
acgttgcac tgaagcggga agggactggc tgctattggg cgaagtgcgg gggcaggatc 2220
tcctgtcata tcaccttgct cctgcccaga aagtatccat catggctgat gcaatgcggc 2280
ggctgcatac gcttgcatacg gctacctgccc cattcgacca ccaagcgaaa catcgcatcg 2340
agcgagcacg tactcgatg gaagccggc ttgtcgatca ggatgatctg gacgaagagc 2400
atcaggggct cgcgcagcc gaactgttcg ccaggctcaa ggcgagcatg cccgacggcg 2460
aggatctcgatc cgtgaccat ggcgatgcct gcttgcgaa tatcatggtg gaaaatggcc 2520
gctttctgg attcatcgac tgtggccggc tgggtgtggc ggaccgctat caggacatag 2580
cgttggctac ccgtgatatt gctgaagagc ttggcggcga atgggctgac cgcttcctcg 2640
tgctttacgg tatacgccgt cccgatttcgc agcgcatcgc cttctatcgc cttcttgacg 2700
agttcttctg aattattaac gcttacaatt tcctgatcgc gtatttctc cttacgcatac 2760
tgtgcggatatt ttacacccgc atacaggtgg cactttcgg ggaaatgtgc gcggAACCC 2820
tatTTgttta ttTTTctaaa tacattcaaa tatgtatccg ctcatgagac aataaccctg 2880
ataaaatgctt caataatagc acgtgctaaa acttcatttt taatttaaaa ggatcttaggt 2940
gaagatcctt ttgataatc tcatgacca aatcccttaa cgtgagttt cggtccactg 3000
agcgtcagac cccgtagaaa agatcaaagg atcttcttgc gatcctttt ttctgcgcgt 3060
aatctgctgc ttgcaaacaa aaaaaccacc gctaccagcg gtgggttggc tgccggatca 3120
agagctacca actcttttc cgaaggtaac tggcttcagc agagcgcaga taccaaatac 3180
tgtccttcta gttagccgt agttaggcca ccacttcaag aactctgtag caccgcctac 3240
atacctcgct ctgctaattcc tgtagccgt ggctgctgcc agtggcgata agtcgtgtct 3300
taccgggttg gactcaagac gatagttacc ggataaggcg cagcggtcgg gctgaacggg 3360
gggttcgtgc acacagccca gcttggagcg aacgacctac accgaactga gataacctaca 3420
qcqtaqacta tqaqaaqcg ccacqcttcc cqaaqqqaqa aqgqccqaca qqtatccqqt 3480

aagcggcagg gtcggaacag gagagcgcac gagggagctt ccagggggaa acgcctggta	3540
tctttatagt cctgtcggtt ttcgccacct ctgacttgag cgtcgatttt tgtgatgctc	3600
gtcagggggg cgagcctat ggaaaaacgc cagcaacgcg gccttttac gttcctggg	3660
cttttgctgg cctttgctc acatgttctt	3690

<210> 21
<211> 3720
<212> ДНК
<213> искусственная последовательность

<220>
<223> искусственная (pGX1805 HepB SHBs-C)

<400> 21	
gactcttcgc gatgtacggg ccagatatac gcgttgacat tgattattga cttagttatta	60
atagtaatca attacgggtt cattagttca tagcccatat atggagttcc gcgttacata	120
acttacggta aatggccgcg ctggctgacc gcccaacgac ccccgcccat tgacgtcaat	180
aatgacgtat gttcccatag taacgccaat agggacttcc cattgacggtc aatgggtgga	240
ctatttacgg taaaactgccc acttggcagt acatcaagtg tatcatatgc caagtacgcc	300
ccctattgac gtcaatgacg gtaaatggcc cgccctggcat tatgcccagt acatgacctt	360
atgggacttt cctacttggc agtacatcta cgtattagtc atcgcttatta ccatgggtat	420
gcgggtttgg cagtacatca atggcgtgg atagcggtt gactcacggg gatttccaag	480
tctccacccc attgacgtca atgggagttt gtttggcac caaaatcaac gggactttcc	540
aaaatgtcgt aacaactccg cccattgac gcaaattggc ggtaggcgtg tacgggtggaa	600
ggtctatata agcagagctc tctggctaacc tagagaaccc actgcttact ggcttatcga	660
aattaatacg actcactata gggagaccca agctggctag cgttttaact taagcttgg	720
accgagctcg gatccactag tccagtgtgg tggattcgc caccatggat tggacatgga	780
ttctgttcct ggtcgcccc gcaacacgag tgcattctga aagtacaacc tctggcttcc	840
tggccccct gctgggtctg caggcagggt tctttctgct gacacgaatc ctgactattc	900
cacagtcact ggacagctgg tggaccagcc tgaacttccct gggcgcccccc cctacatgtc	960
caggacagaa ctctcagagt cccattcca atcactctcc taccagttgtt ccccttatct	1020
gccccggcta cagatggatg tgccctgcga gattcatcat ttccctgttt atcctgctgc	1080
tgtgcctgat ttttctgctg gtgctgctgg actatcaggg aatgctgccc gtctggccctc	1140
tgctgccagg aacctcaacc acaagcacag gcccttgtaa gacttgcacc attcccgctc	1200
aggggactag tatgttccct tcatgctgtt gcacaaaacc atctgatgga aattgtactt	1260
gcatcccaat tcccagctcc tggcccttcg ctaggtttct gtgggagtg ggccagtg	1320
gcttttcctg gctgtctctg ctggtgccct tcgtccagtg gtttgcggc ctgagcccta	1380

cagtgtggct gtccgtcatc tggatgatgt ggtactgggg gcctagcctg tataatatcc	1440
tgtcaccatt tctgccactg ctgccaatct tctttgcct gtgggtctac atctgataag	1500
cggccgctcg agtctagagg gcccgtaa acccgctgat cagcctcgac tgtgccttct	1560
agttgccagc catctgttgt ttgcccctcc cccgtgcctt ccttgaccct ggaaggtgcc	1620
actcccactg tccttccta ataaaatgag gaaattgcat cgcatgtct gagtaggtgt	1680
cattctattc tgggggggtgg ggtggggcag gacagcaagg gggaggattg ggaagacaat	1740
agcaggcatg ctggggatgc ggtggctct atggcttcta ctggcggtt ttatggacag	1800
caagcgaacc ggaattgcca gctggggcgc cctctggtaa gggtgggaag ccctgcaaag	1860
taaactggat ggcttctcg ccgccaagga tctgatggcg caggggatca agctctgatc	1920
aagagacagg atgaggatcg tttcgcatga ttgaacaaga tggattgcac gcaggttctc	1980
cggccgcttg ggtggagagg ctattcgct atgactggc acaacagaca atcggctgct	2040
ctgatgccgc cgtgttccgg ctgtcagcgc aggggcgccc gggtctttt gtcaagaccg	2100
acctgtccgg tgccctgaat gaactgcaag acgaggcagc gcccgtatcg tggctggcca	2160
cgacggcgt tccttgcga gctgtgctcg acgttgcac tgaagcggga agggactggc	2220
tgctattggg cgaagtgccg gggcaggatc tcctgtcatc tcacctgct cctgcccaga	2280
aagtatccat catggctgat gcaatgcggc ggctgcatac gcttgatccg gctacctgcc	2340
cattcgacca ccaagcgaaa catcgcatcg agcgagcacg tactcggatg gaagccggc	2400
ttgtcgatca ggatgatctg gacgaagagc atcaggggct cgcgccagcc gaactgttcg	2460
ccaggctcaa ggcgagcatg cccgacggcg aggatctcg cgtgacccat ggcgatgcct	2520
gcttgccgaa tatcatggtg gaaaatggcc gctttctgg attcatcgac tgtggccggc	2580
tgggtgtggc ggaccgctat caggacatag cggtggctac ccgtgatatt gctgaagagc	2640
ttggcggcga atgggctgac cgcttcctcg tgcttacgg tatcgccgct cccgattcgc	2700
agcgcatcgc cttctatcgc cttcttgacg agttcttctg aattattaac gcttacaatt	2760
tcctgatcgc gtatttctc cttacgcatac tgtgcgttat ttcacaccgc atacaggtgg	2820
cactttcgg ggaaatgtgc gcggaacccc tatttgtta ttttctaaa tacattcaaa	2880
tatgtatccg ctcatgagac aataaccctg ataaaatgctt caataatagc acgtgctaaa	2940
acttcatttt taatttaaaa ggatctaggt gaagatcctt tttgataatc tcatgaccaa	3000
aatcccttaa cgtgagttt cggtccactg agcgtcagac cccgtagaaa agatcaaagg	3060
atcttcttga gatcctttt ttctgcgcgt aatctgctgc ttgcaaacaa aaaaaccacc	3120
gctaccagcg gtggttgtt tgccggatca agagctacca actcttttc cgaaggtaac	3180
tggcttcagc agagcgcaga taccaaatac tgccttcta gtgtagccgt agttaggcca	3240
ccacttcaag aactctgttag caccgcctac atacctcgct ctgctaattcc tgttaccagt	3300

ggctgctgcc agtggcgata agtcgtgtct taccgggttg gactcaagac gatagttacc 3360
ggataaggcg cagcggtcgg gctgaacggg gggttcgtgc acacagccca gcttggagcg 3420
aacgacctac accgaactga gatacctaca gcgtgagcta tgagaaagcg ccacgcttcc 3480
cgaagggaga aaggcggaca ggtatccggt aagcggcagg gtcggaacag gagagcgcac 3540
gagggagctt ccagggggaa acgcctggta tctttatagt cctgtcgggt ttcgccacct 3600
ctgacttgag cgtcgatttt tgtgatgctc gtcagggggg cgagcctat ggaaaaacgc 3660
cagcaacgcg gccttttac ggtcctggg ctttgctgg cctttgctc acatgttctt 3720

ФОРМУЛА ИЗОБРЕТЕНИЯ

1. Вакцина, содержащая:

- (a) молекулу нуклеиновой кислоты, кодирующую один или более белков, выбранных из группы, состоящей из: SEQ ID NO:10, SEQ ID NO:14, белок, который на 95 % идентичен по всей длине аминокислотной последовательности полноразмерной аминокислотной последовательности SEQ ID NO:10, и белок, который на 95 % идентичен по всей длине аминокислотной последовательности полноразмерной аминокислотной последовательности SEQ ID NO:14; или
- (b) молекулу нуклеиновой кислоты, кодирующую один или более белков, выбранных из группы, состоящей из: SEQ ID NO: 12, SEQ ID NO:16, белок, который на 95 % идентичен по всей длине аминокислотной последовательности полноразмерной аминокислотной последовательности SEQ ID NO:12, и белок, который на 95 % идентичен по всей длине аминокислотной последовательности полноразмерной аминокислотной последовательности SEQ ID NO:16.

2. Вакцина по п. 1, дополнительно содержащая:

- (с) молекулу нуклеиновой кислоты, кодирующую один или более белков, выбранных из группы, состоящей из: SEQ ID NO:2, SEQ ID NO:4 и SEQ ID NO:6.

3. Вакцина по п. 1, дополнительно содержащая:

- (a) молекулу нуклеиновой кислоты, кодирующую один или более белков, выбранных из группы, состоящей из: SEQ ID NO:10, SEQ ID NO:14, белок, который на 95 % идентичен по всей длине аминокислотной последовательности полноразмерной аминокислотной последовательности SEQ ID NO:10, и белок, который на 95 % идентичен по всей длине аминокислотной последовательности полноразмерной аминокислотной последовательности SEQ ID NO:14;
- (b) молекулу нуклеиновой кислоты, кодирующую один или более белков, выбранных из группы, состоящей из: SEQ ID NO: 12, SEQ ID NO:16, белок, который на 95 % идентичен по всей длине аминокислотной

последовательности полноразмерной аминокислотной последовательности SEQ ID NO:12, и белок, который на 95 % идентичен по всей длине аминокислотной последовательности полноразмерной аминокислотной последовательности SEQ ID NO:16; и

- (c) молекулу нуклеиновой кислоты, кодирующую один или более белков, выбранных из группы, состоящей из: SEQ ID NO:2, SEQ ID NO:4, и SEQ ID NO:6.

4. Вакцина по п. 3, отличающаяся тем, что молекулы нуклеиновой кислоты содержат одну или более нуклеотидных последовательностей, выбранных из группы, состоящей из: SEQ ID NO:1, SEQ ID NO:3, SEQ ID NO:5, SEQ ID NO:9, SEQ ID NO:11, SEQ ID NO:13 и SEQ ID NO:15.
5. Вакцина по п. 1, отличающаяся тем, что молекулами нуклеиновой кислоты являются плазмиды.
6. Вакцина по п. 1, что молекулы нуклеиновой кислоты включены в вирусные частицы.
7. Вакцина по п. 1, дополнительно содержащая адъювантную молекулу.
8. Вакцина по п. 7, отличающаяся тем, что адъювантом является IL-12, IL-15, IL-28 или RANTES.
9. Способ индукции иммунного ответа против антигена HBV, включающий введение субъекту вакцины по п.1.
10. Способ защиты субъекта от HBV-инфекции, включающий введение субъекту вакцины по п.1.

11. Способ защиты субъекта, у которого была диагностирована HBV-инфекция, включающий введение субъекту вакцины по п.1.

12. Молекула нуклеиновой кислоты, содержащая кодирующую последовательность, которая кодирует один или более белков, выбранных из группы, состоящей из: белка, содержащего SEQ ID NO:2; белка, который на 95 % идентичен по всей длине аминокислотной последовательности полноразмерной аминокислотной последовательности SEQ ID NO:2; иммуногенного фрагмента белка, содержащего SEQ ID NO:2, который состоит из по меньшей мере 20 аминокислот; и иммуногенного фрагмента белка, который на 95 % идентичен по всей длине аминокислотной последовательности SEQ ID NO:2, который состоит из по меньшей мере 20 аминокислот.

13. Молекула нуклеиновой кислоты по п. 12, дополнительно содержащая сигнальный пептид, присоединенный к N-концу белков.

14. Молекула нуклеиновой кислоты по п. 12, кодирующая один или более белков, выбранных из группы, состоящей из: SEQ ID NO:2; SEQ ID NO:4 и SEQ ID NO:6.

15. Молекула нуклеиновой кислоты по п. 12, содержащая одну или более последовательностей, выбранных из группы, состоящей из последовательности нуклеиновой кислоты, кодирующей SEQ ID NO:1; последовательности нуклеиновой кислоты, которая на 98 % идентична по всей длине аминокислотной последовательности SEQ ID NO:1; ее фрагментов, которые содержат последовательность нуклеиновой кислоты, кодирующую иммуногенные фрагменты, содержащие по меньшей мере 20 аминокислот, кодируемы последовательностью SEQ ID NO:1; и ее фрагментов, которые содержат последовательность нуклеиновой кислоты, кодирующую иммуногенные фрагменты, содержащие по меньшей мере 20 аминокислот белка, который на 98 % идентичен по всей длине аминокислотной последовательности белка, кодируемого последовательностью SEQ ID NO:1.

16. Молекула нуклеиновой кислоты по п. 12, дополнительно содержащая сигнальный пептид, присоединенный к 5'-концу последовательности нуклеиновой кислоты.
17. Молекула нуклеиновой кислоты по п. 12, содержащая одну или более нуклеотидных последовательностей, выбранных из группы, состоящей из: SEQ ID NO:1; SEQ ID NO:3 и SEQ ID NO:5.
18. Молекула нуклеиновой кислоты по п. 12, отличающаяся тем, что молекула нуклеиновой кислоты является плазмидой.
19. Молекула нуклеиновой кислоты по п. 12, отличающаяся тем, что молекула нуклеиновой кислоты является вектором экспрессии, и последовательности, кодирующие один или более белков, функционально связаны с регуляторными элементами.
20. Молекула нуклеиновой кислоты по п. 12, отличающаяся тем, что молекула нуклеиновой кислоты включена в вирусную частицу.
21. Молекула нуклеиновой кислоты по п. 12, отличающаяся тем, что указанная молекула нуклеиновой кислоты содержит кодирующую последовательность, которая кодирует один или более белков, выбранных из группы, состоящей из: иммуногенного фрагмента белка, содержащего SEQ ID NO:2, которая состоит из по меньшей мере 60 аминокислот; и иммуногенного фрагмента белка, который на 98 % идентичен по всей длине аминокислотной последовательности SEQ ID NO:2, которая состоит из по меньшей мере 60 аминокислот.
22. Молекула нуклеиновой кислоты по п. 12, отличающаяся тем, что указанная молекула нуклеиновой кислоты содержит кодирующую последовательность, которая кодирует один или более белков, выбранных из группы, состоящей из: иммуногенного фрагмента белка, содержащего SEQ ID NO:2, которая состоит из по меньшей мере 120 аминокислот; и иммуногенного фрагмента белка, который на 98 % идентичен по всей длине

аминокислотной последовательности SEQ ID NO:2, которая состоит из по меньшей мере 120 аминокислот.

23. Молекула нуклеиновой кислоты по п. 12, отличающаяся тем, что указанная молекула нуклеиновой кислоты содержит кодирующую последовательность, которая кодирует один или более белков, выбранных из группы, состоящей из: иммуногенного фрагмента белка, содержащего SEQ ID NO:2, которая состоит из по меньшей мере 180 аминокислот; и иммуногенного фрагмента белка, который на 98 % идентичен по всей длине аминокислотной последовательности SEQ ID NO:2, которая состоит из по меньшей мере 180 аминокислот.

24. Способ индукции иммунного ответа против антигена HBV, включающий введение индивидууму молекулы нуклеиновой кислоты по п.12.

25. Способ защиты человека от HBV-инфекции, включающий введение индивидууму молекулы нуклеиновой кислоты по п.12.

26. Способ защиты индивидуума, у которого была диагностирована HBV-инфекция, включающий введение индивидууму молекулы нуклеиновой кислоты по п.12.

27. Белок, выбранный из группы, состоящей из:

- (a) SEQ ID NO:2;
- (b) белка, который на 95 % идентичен по всей длине аминокислотной последовательности полноразмерной последовательности, указанной в SEQ ID NO:2;
- (c) иммуногенного фрагмента SEQ ID NO:2, содержащего 20 или более аминокислот из SEQ ID NO:2;
- (d) иммуногенного фрагмента белка, который на 95 % идентичен по всей длине аминокислотной последовательности SEQ ID NO:2, содержащего 20 или более аминокислот.

28. Белок по п. 27, отличающийся тем, что указанный белок выбирают из группы, состоящей из: иммуногенного фрагмента белка, содержащего SEQ ID NO:2, который состоит из по меньшей мере 60 аминокислот; и иммуногенного фрагмента белка, который на 98 % идентичен по всей длине аминокислотной последовательности SEQ ID NO:2, который состоит из по меньшей мере 60 аминокислот.

29. Белок по п. 27, отличающийся тем, что указанный белок выбирают из группы, состоящей из: иммуногенного фрагмента белка, содержащего SEQ ID NO:2, который состоит из по меньшей мере 120 аминокислот; и иммуногенного фрагмента белка, который на 98 % идентичен по всей длине аминокислотной последовательности SEQ ID NO:2, который состоит из по меньшей мере 120 аминокислот.

30. Белок по п. 27, отличающийся тем, что указанный белок выбирают из группы, состоящей из: иммуногенного фрагмента белка, содержащего SEQ ID NO:2, который состоит из, по меньшей мере 180 аминокислот; и иммуногенного фрагмента белка, который на 98 % идентичен по всей длине аминокислотной последовательности SEQ ID NO:2, который состоит из по меньшей мере 180 аминокислот.

31. Способ индукции иммунного ответа против антигена HBV, включающий введение индивидууму молекулы нукleinовой кислоты по п. 27.

32. Способ защиты индивидуума от HBV-инфекции, включающий введение индивидууму молекулы нукleinовой кислоты по п. 27.

33. Способ защиты индивидуума, у которого была диагностирована HBV-инфекция, включающий введение индивидууму молекулы нукleinовой кислоты по п. 27.

34. Молекула нукleinовой кислоты, содержащая кодирующую последовательность, которая кодирует один или более белков, выбранных из группы, состоящей из:

(а) белка, содержащего SEQ ID NO:10, SEQ ID NO:12, SEQ ID NO:14 или SEQ ID NO:16;

- (b) белка, который на 98 % идентичен по всей длине аминокислотной последовательности SEQ ID NO:10, SEQ ID NO:12, SEQ ID NO:14 или SEQ ID NO:16;
- (c) иммуногенного фрагмента белка, содержащего SEQ ID NO:10, SEQ ID NO:12, SEQ ID NO:14 или SEQ ID NO:16, который состоит из по меньшей мере 20 аминокислот; и
- (d) иммуногенного фрагмента белка, который на 98 % идентичен по всей длине аминокислотной последовательности SEQ ID NO:10, SEQ ID NO:12, SEQ ID NO:14 или SEQ ID NO:16, который состоит из по меньшей мере 20 аминокислот.

35. Молекула нуклеиновой кислоты по п. 34, содержащая одну или более последовательностей, выбранных из группы, состоящей из:

- (a) нуклеиновой последовательности, содержащей SEQ ID NO:9, SEQ ID NO:11, SEQ ID NO:13 или SEQ ID NO:15;
- (b) последовательности нуклеиновой кислоты, которая на 98 % идентична по всей длине аминокислотной последовательности SEQ ID NO:9, SEQ ID NO:11, SEQ ID NO:13 или SEQ ID NO:15;
- (c) ее фрагментов, которые содержат последовательность нуклеиновой кислоты, кодирующую иммуногенные фрагменты, содержащие по меньшей мере 20 аминокислот, кодируемых последовательностью SEQ ID NO:9, SEQ ID NO:11, SEQ ID NO:13 или SEQ ID NO:15; и
- (d) ее фрагментов, которые содержат последовательность нуклеиновой кислоты, кодирующую иммуногенные фрагменты, содержащие по меньшей мере 20 аминокислот белка, который на 98 % идентичен по всей длине аминокислотной последовательности белку, кодируемому последовательностью SEQ ID NO:9, SEQ ID NO:11, SEQ ID NO:13 или SEQ ID NO:15.

36. Молекула нуклеиновой кислоты по п. 34, отличающаяся тем, что молекула нуклеиновой кислоты является плазмидой.

37. Молекула нуклеиновой кислоты по п. 34, отличающаяся тем, что молекула нуклеиновой кислоты является вектором экспрессии, и последовательности, кодирующие указанный один или более белков, функционально связаны с регуляторными элементами.

38. Молекула нуклеиновой кислоты по п. 34, отличающаяся тем, что молекула нуклеиновой кислоты включена в вирусную частицу.

39. Способ индукции иммунного ответа против антигена HBV, включающий введение субъекту молекулы нуклеиновой кислоты по п. 34.

40. Способ защиты субъекта от HBV-инфекции, включающий введение субъекту молекулы нуклеиновой кислоты по п. 34.

41. Способ защиты субъекта, у которого была диагностирована HBV-инфекция, включающий введение субъекту молекулы нуклеиновой кислоты по п. 34.

42. Белок, выбранный из группы, состоящей из:

- (a) SEQ ID NO:10, SEQ ID NO:12, SEQ ID NO:14 или SEQ ID NO:16;
- (b) белка, который на 98 % идентичен по всей длине аминокислотной последовательности SEQ ID NO:10, SEQ ID NO:12, SEQ ID NO:14 или SEQ ID NO:16;
- (c) иммуногенного фрагмента SEQ ID NO:10, SEQ ID NO:12, SEQ ID NO:14 или SEQ ID NO:16, содержащего 20 или более аминокислот; и
- (d) иммуногенного фрагмента белка, который на 98 % идентичен по всей длине аминокислотной последовательности SEQ ID NO:10, SEQ ID NO:12, SEQ ID NO:14 или SEQ ID NO:16, содержащего 20 или более аминокислот.

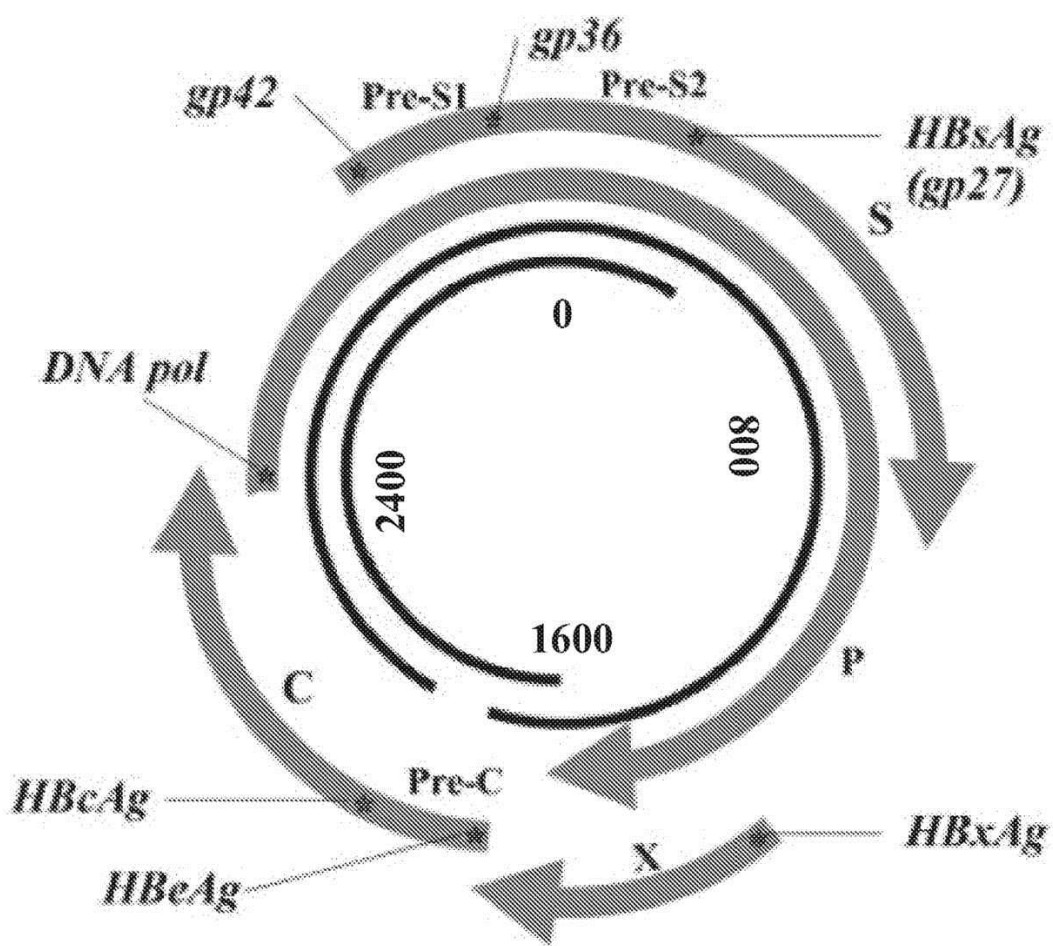
43. Вакцина, полезная для генерирования иммунного ответа против HBV у субъекта, содержащая:

молекулу нуклеиновой кислоты по п. 34 и

адъювантную молекулу.

44. Вакцина по п. 43, отличающаяся тем, что указанным адъювантом является IL-12, IL-15, IL-28 или RANTES.

По доверенности



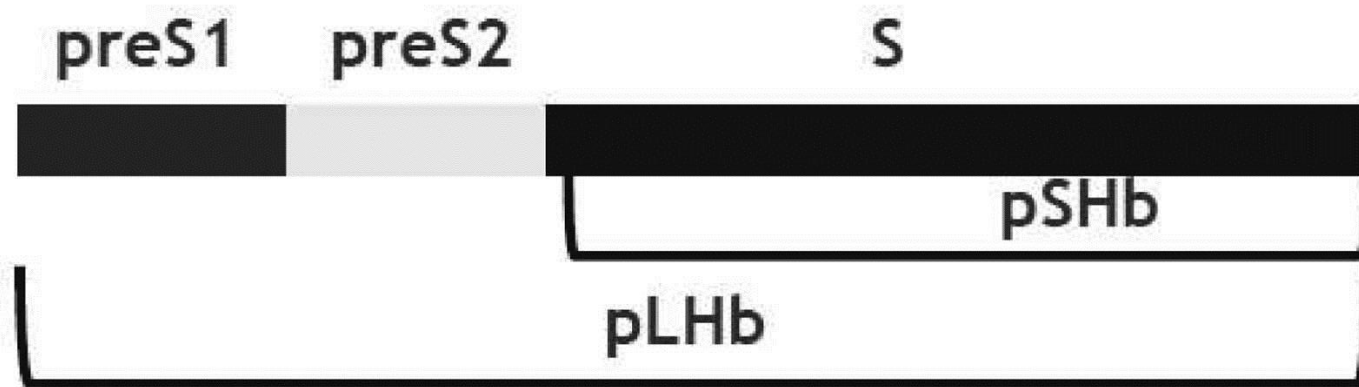
Фигура 1



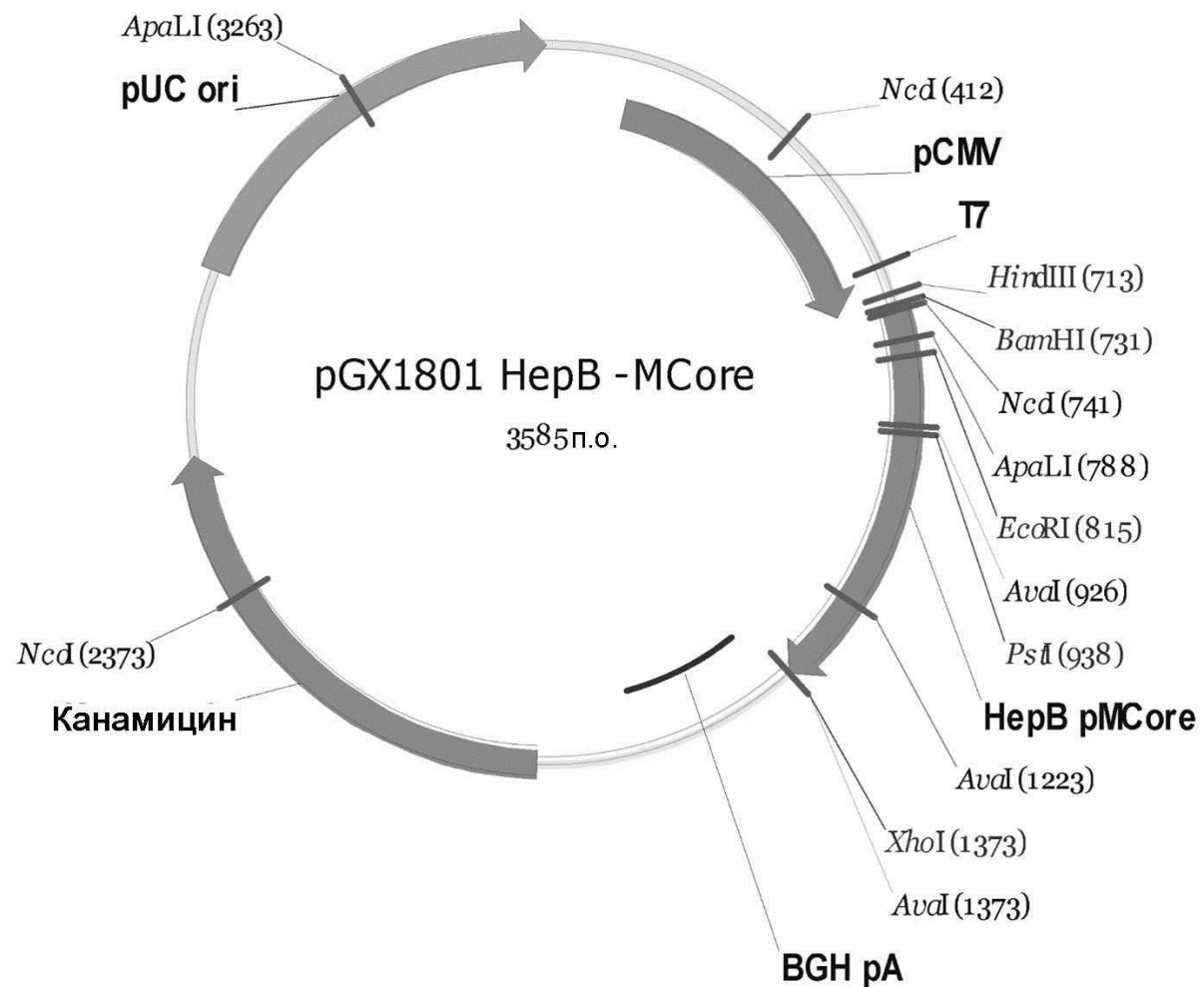
Фигура 2



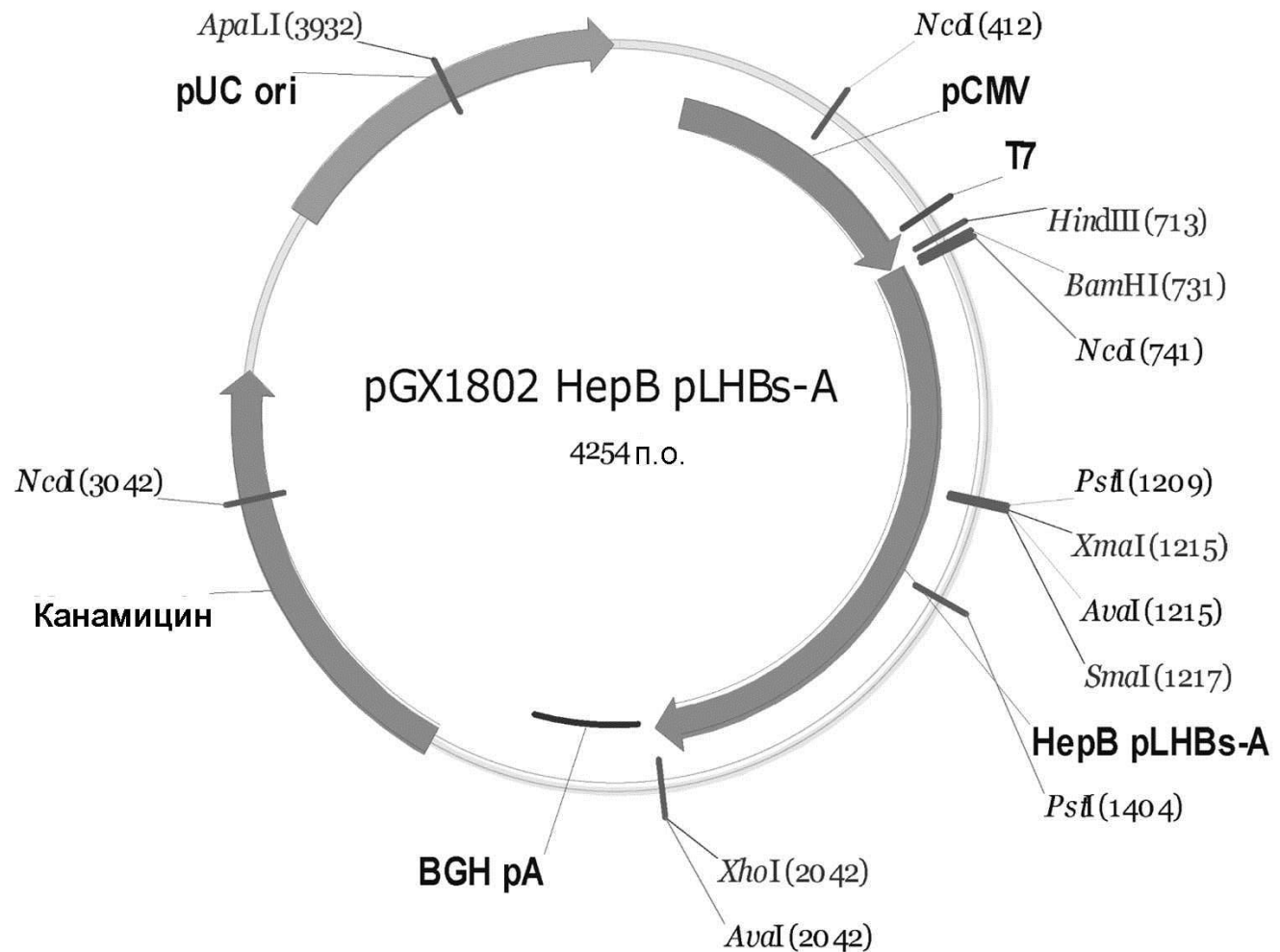
Фигура 3



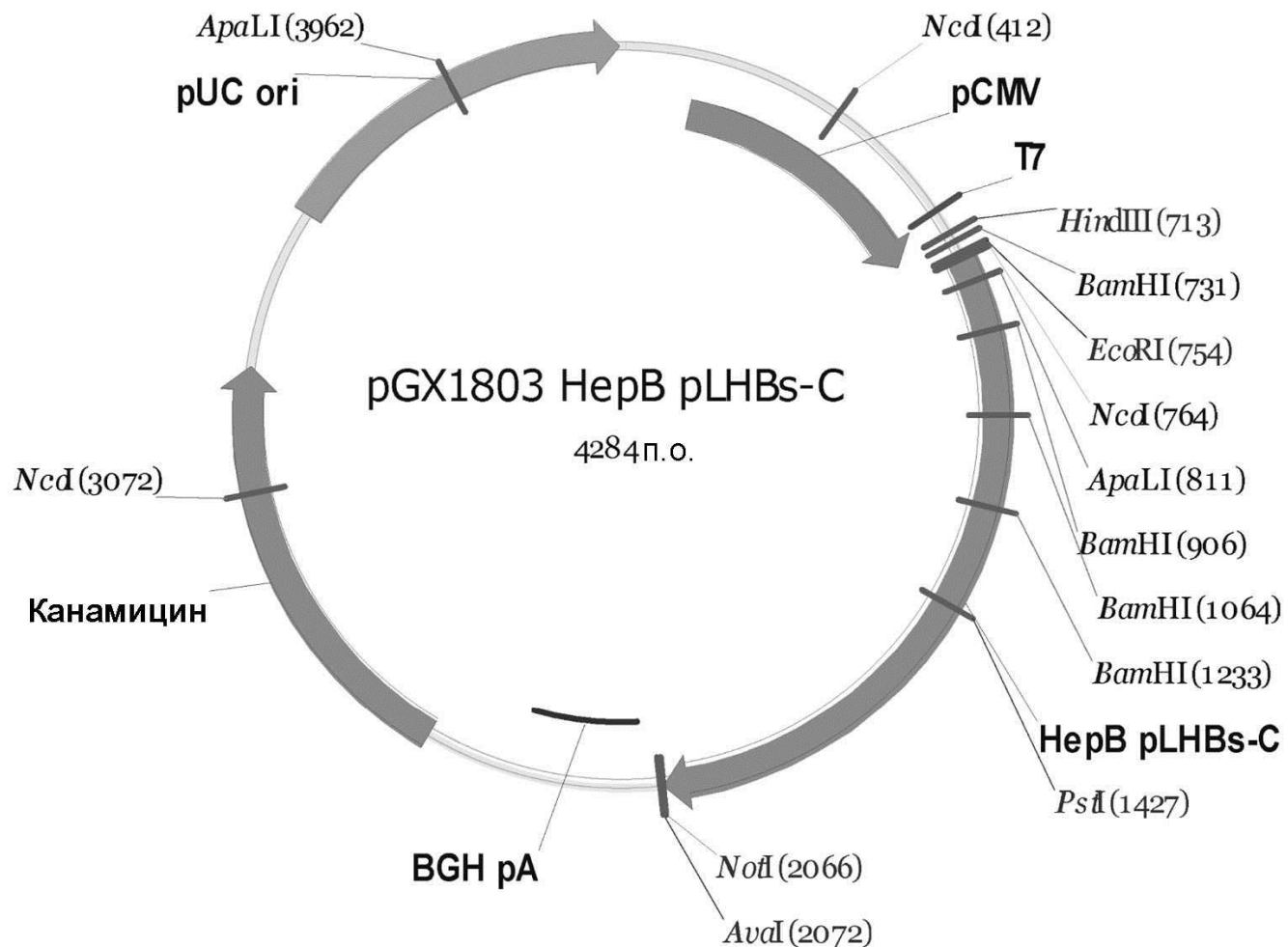
Фигура 4



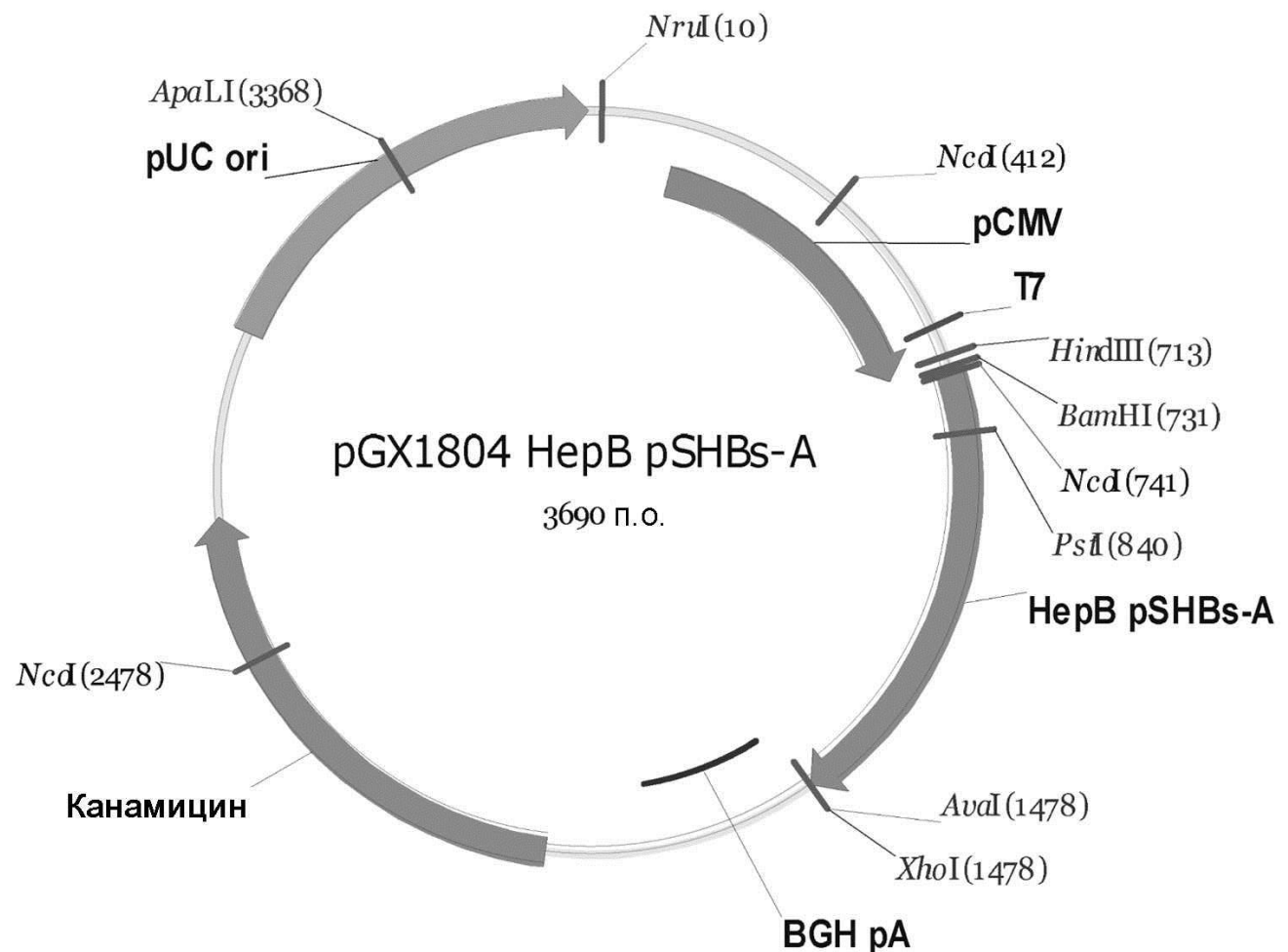
Фигура 5



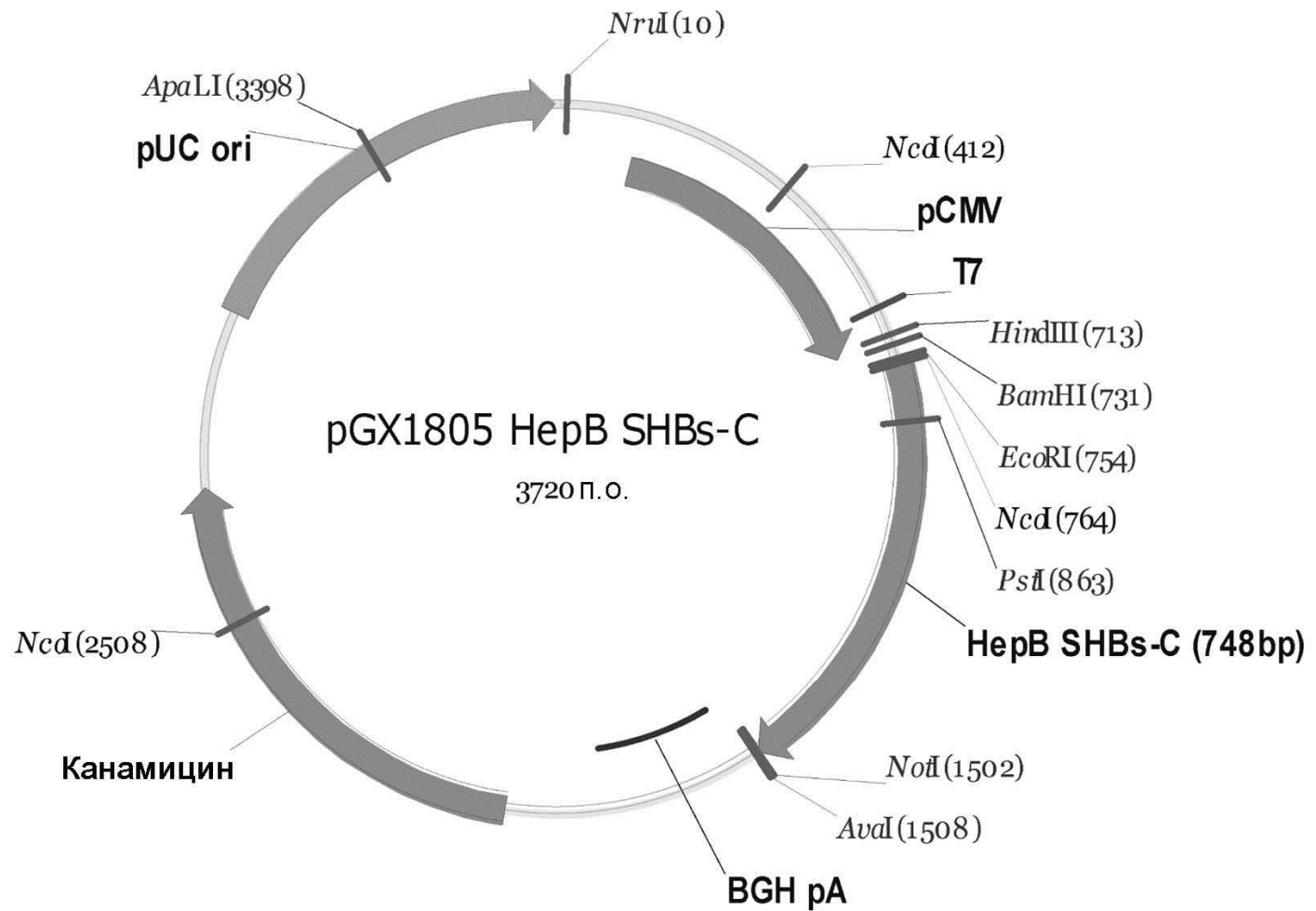
Фигура 6



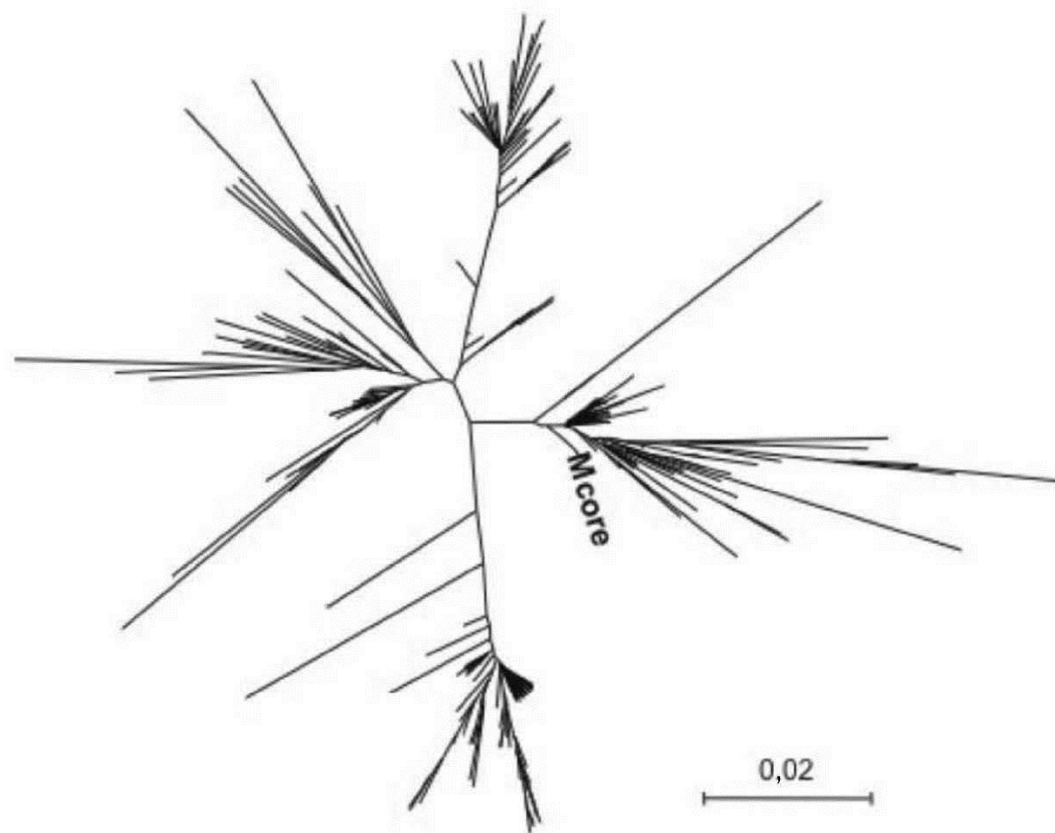
Фигура 7



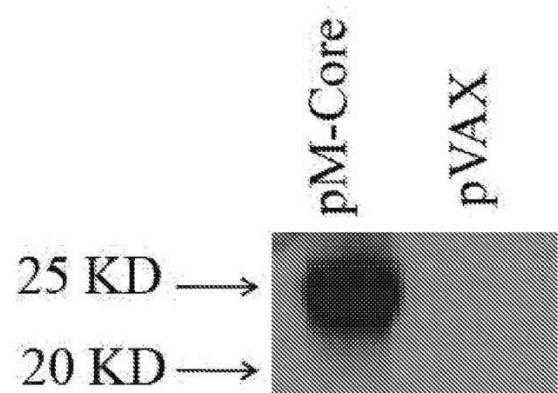
Фигура 8



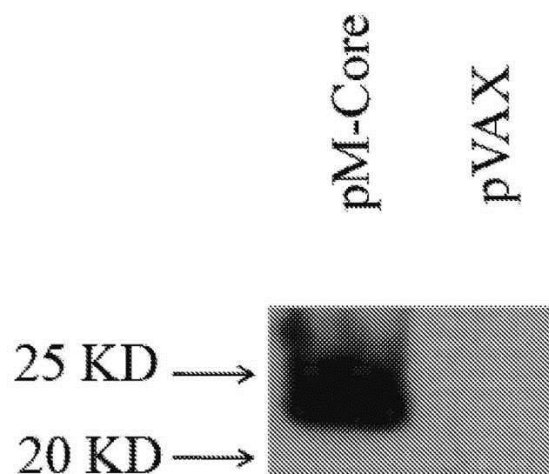
Фигура 9



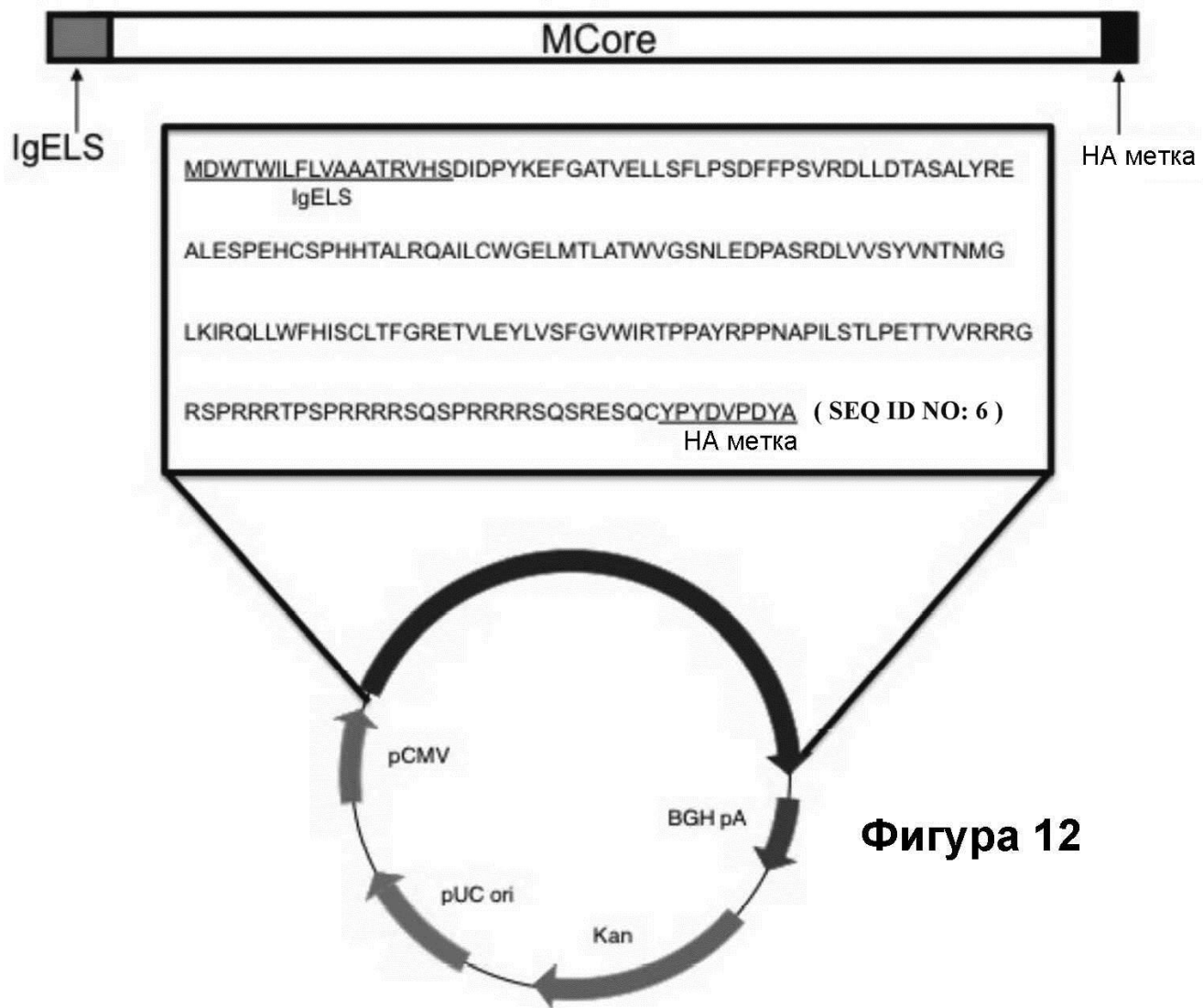
Фигура 10



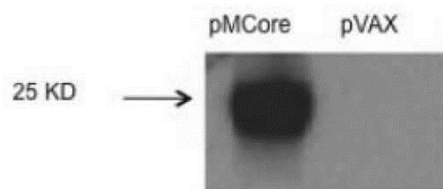
Фигура 11А



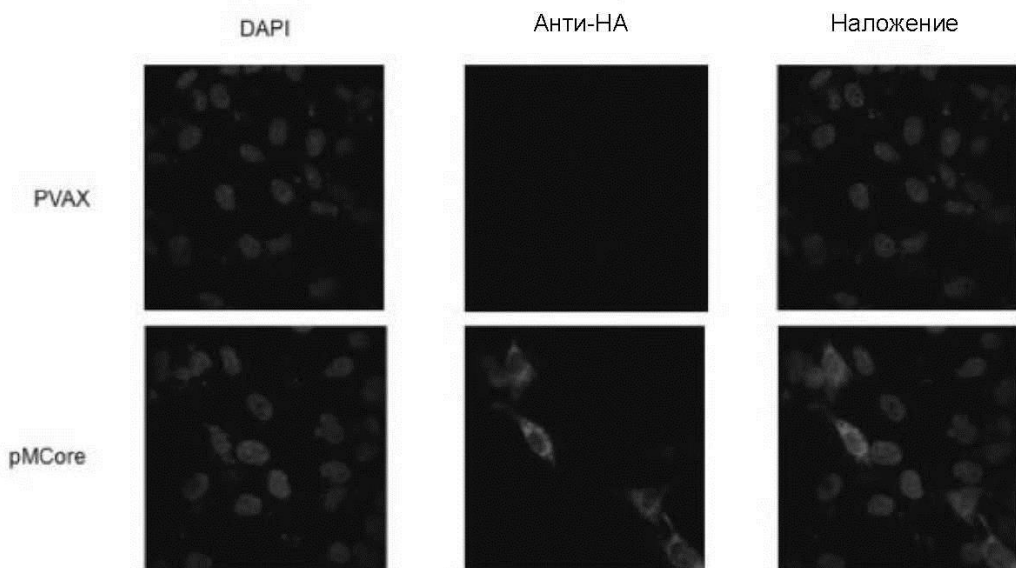
Фигура 11В



Фигура 12



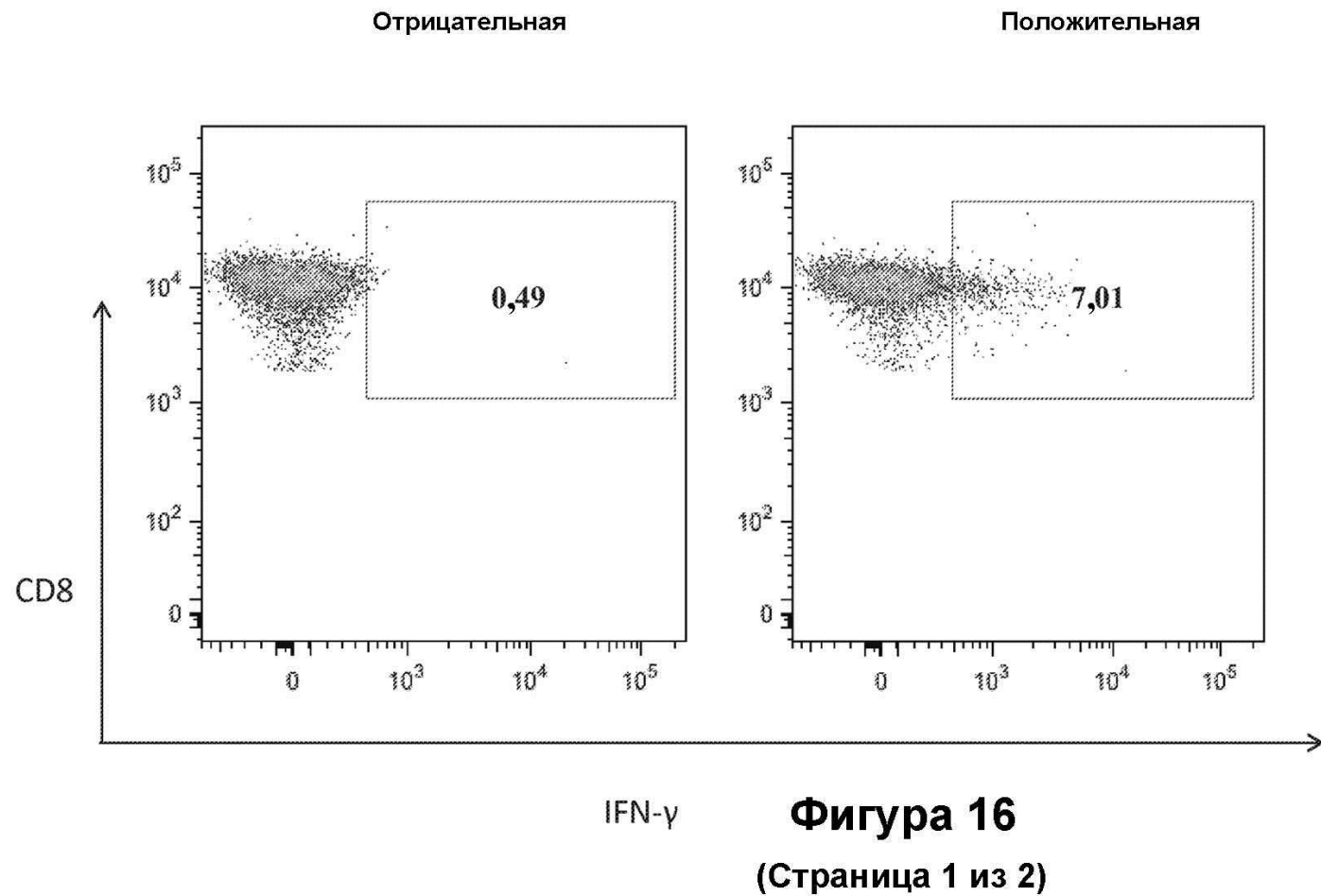
Фигура 13

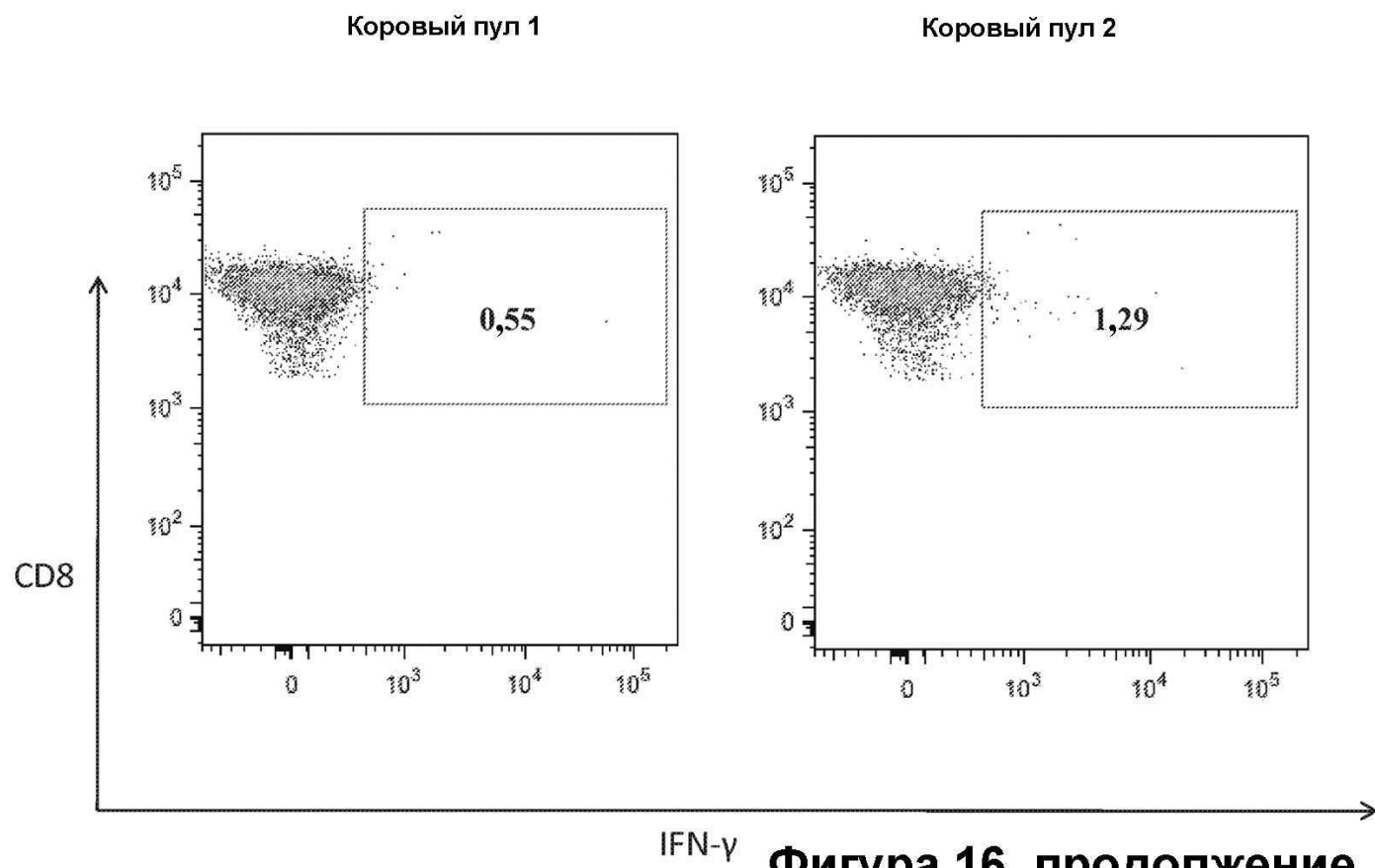


Фигура 14

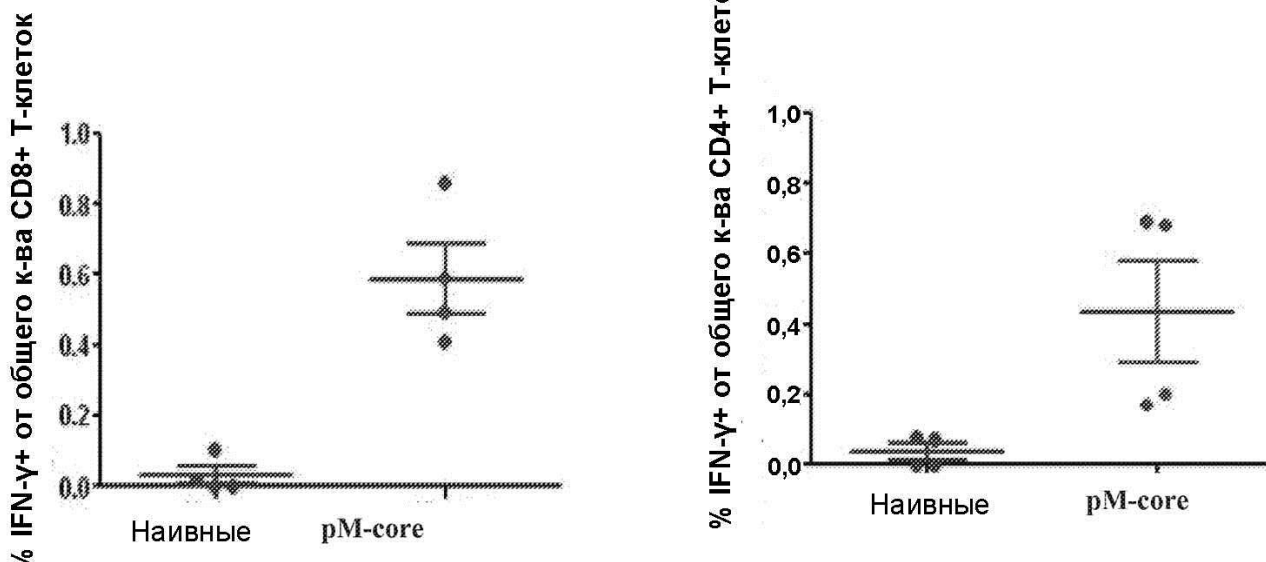


Фигура 15

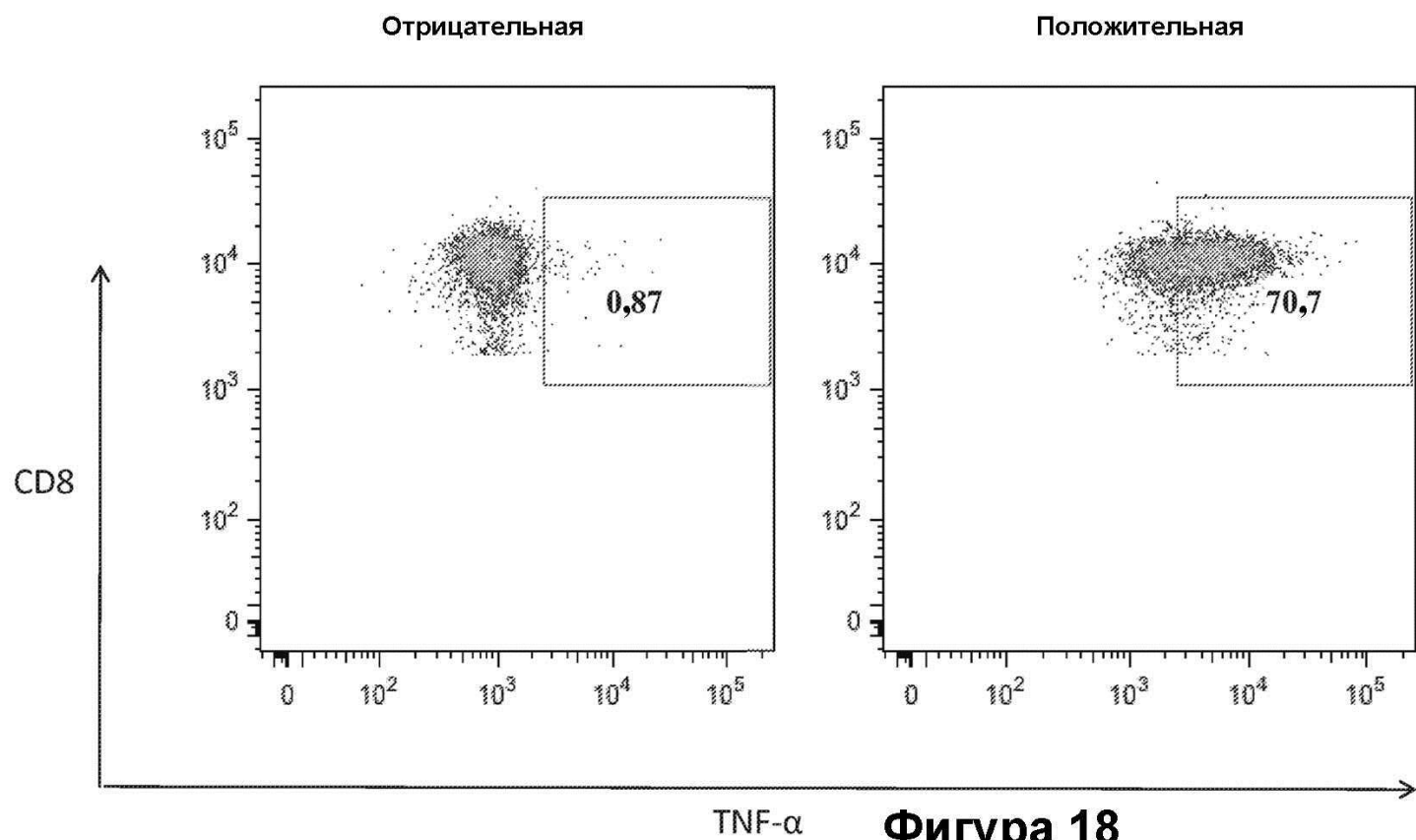


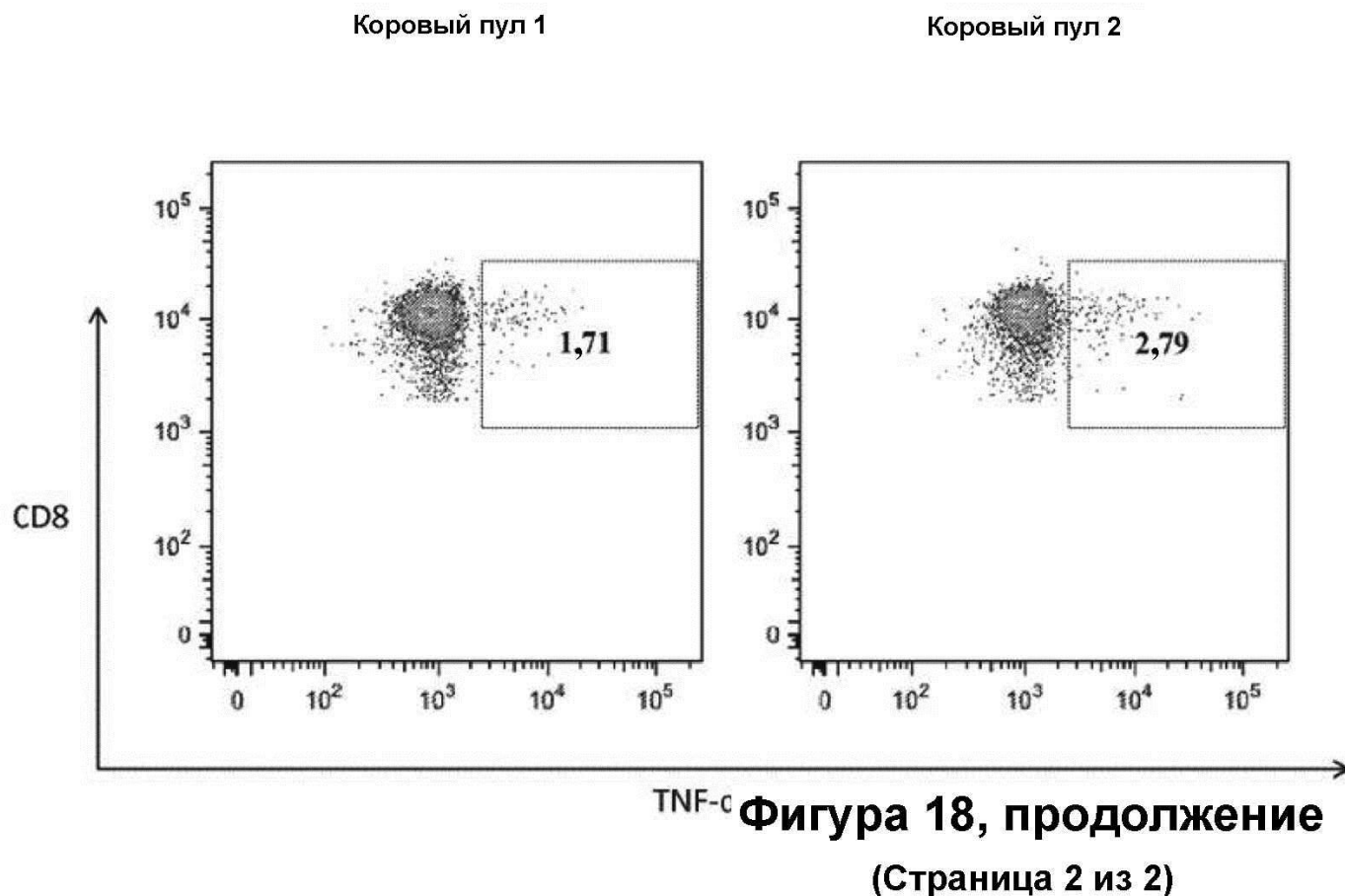


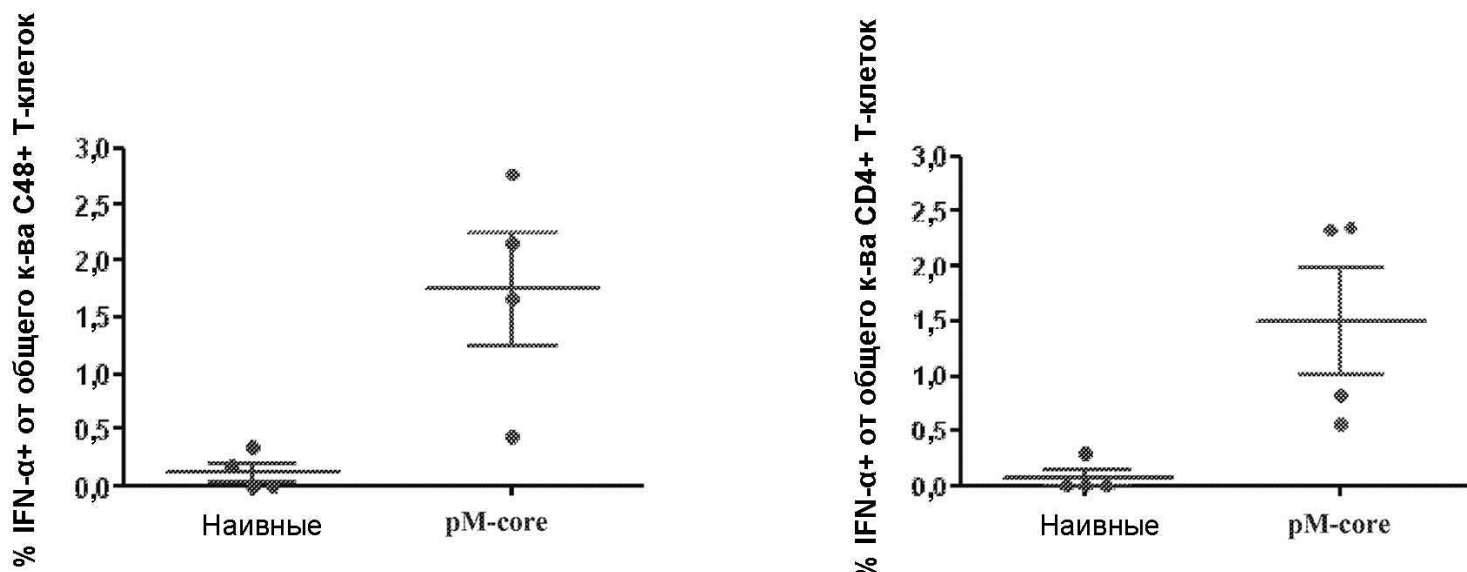
IFN- γ **Фигура 16, продолжение**
(Страница 2 из 2)



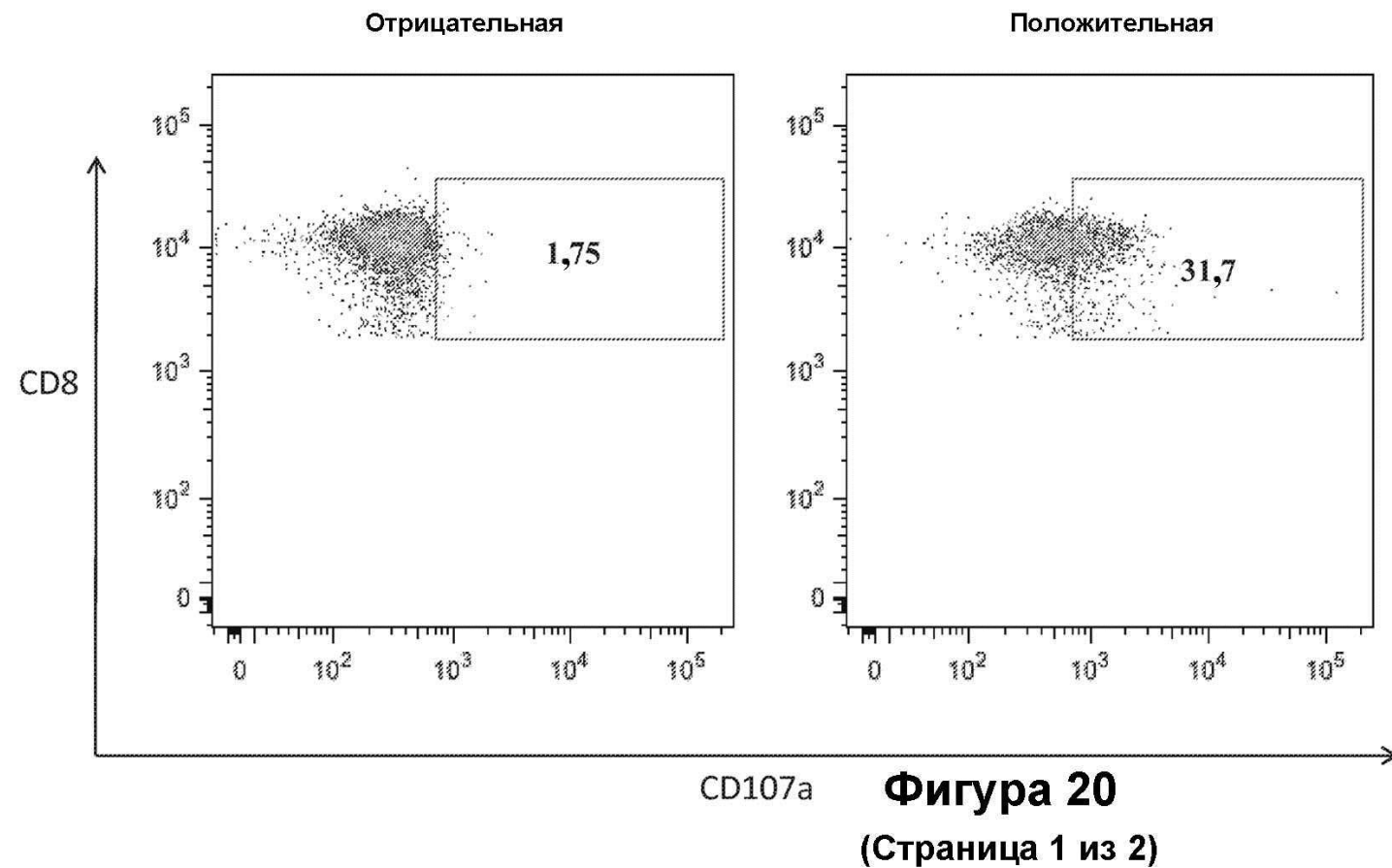
Фигура 17





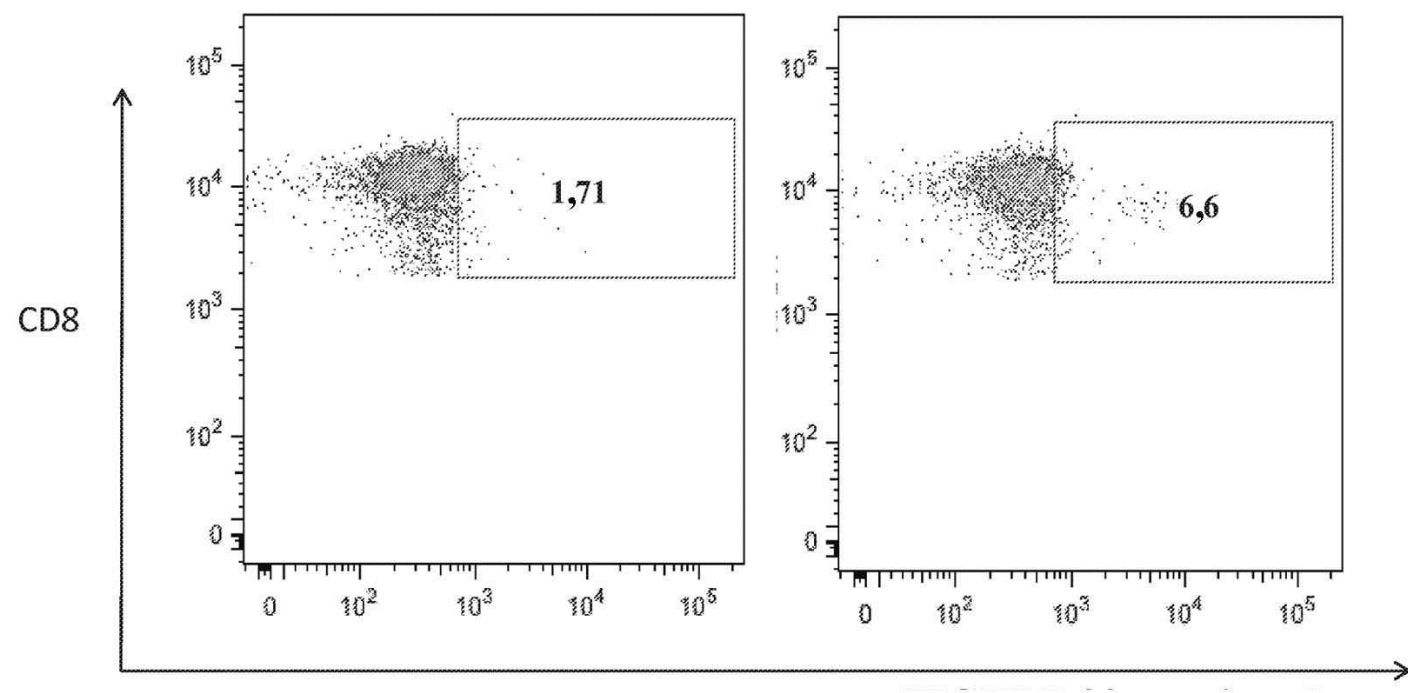


Фигура 19

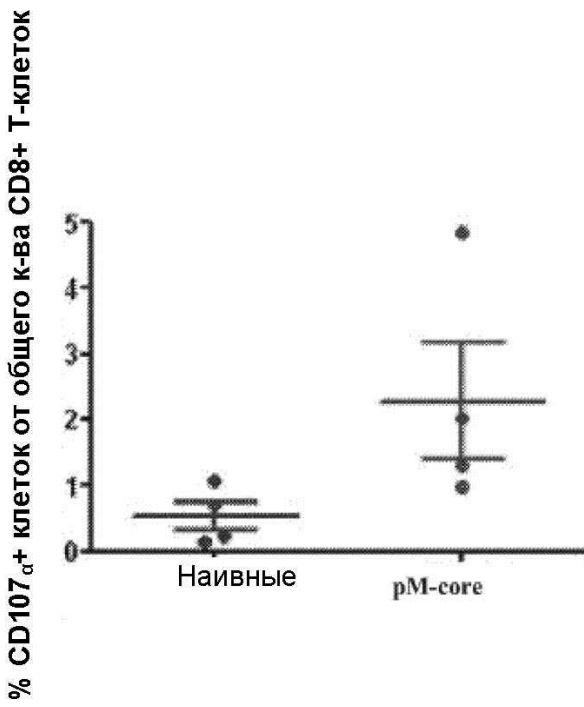


Коровий пул 1

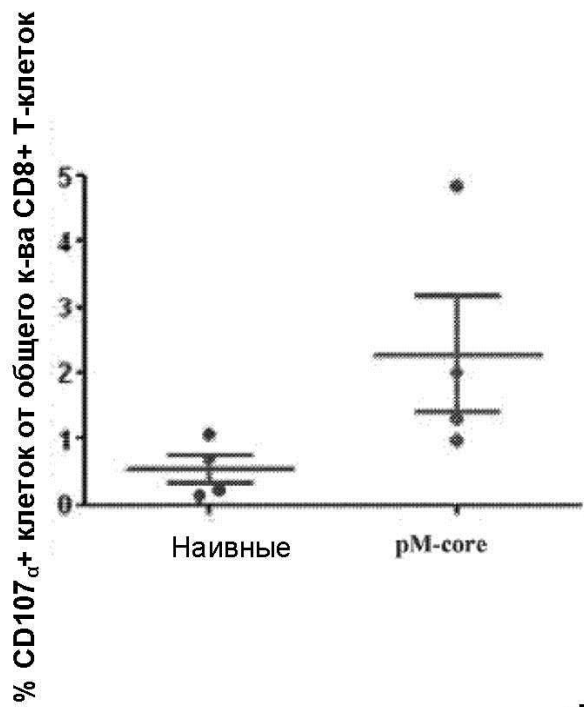
Коровий пул 2

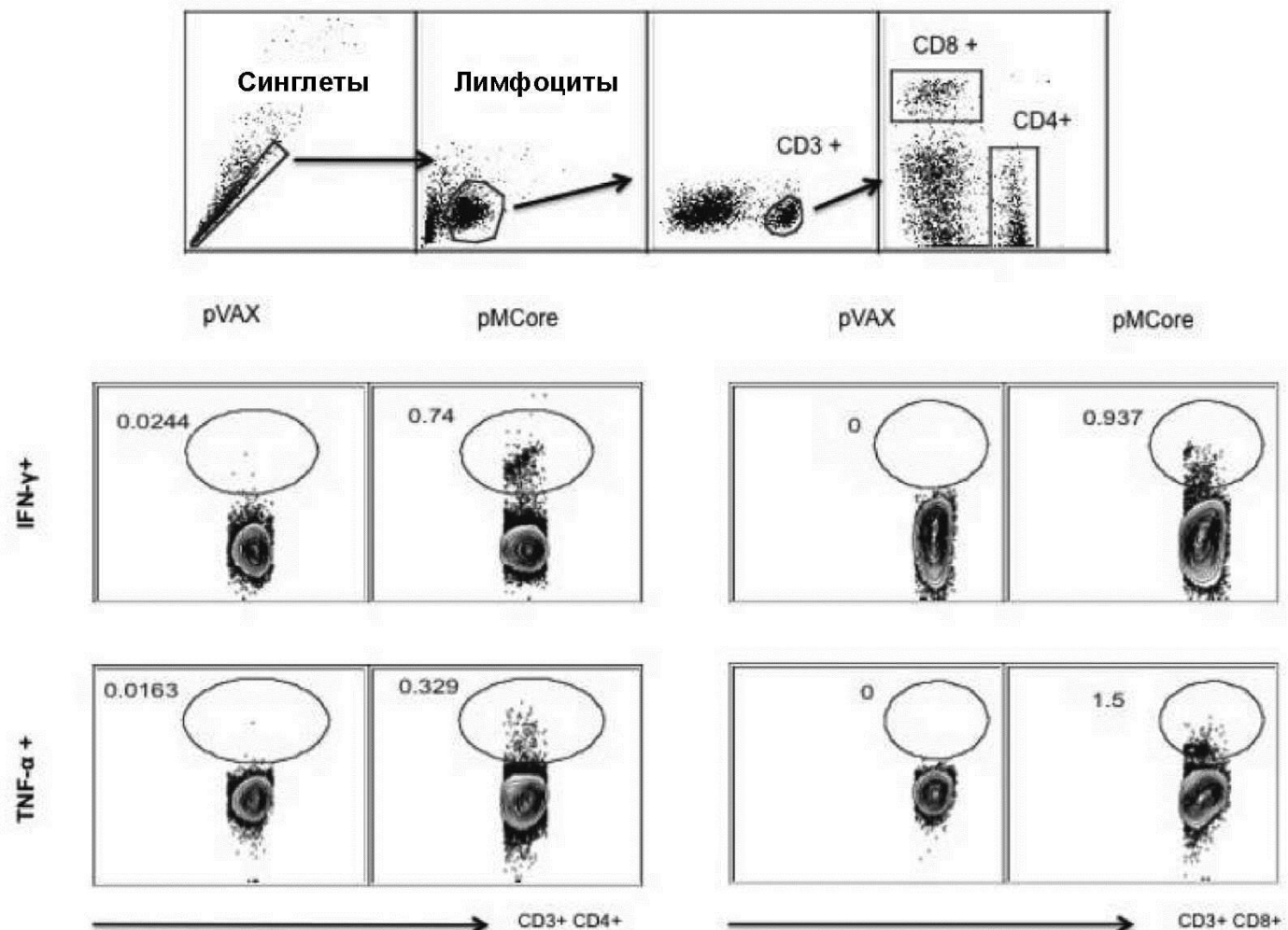


Фигура 20, продолжение
(Страница 2 из 2)

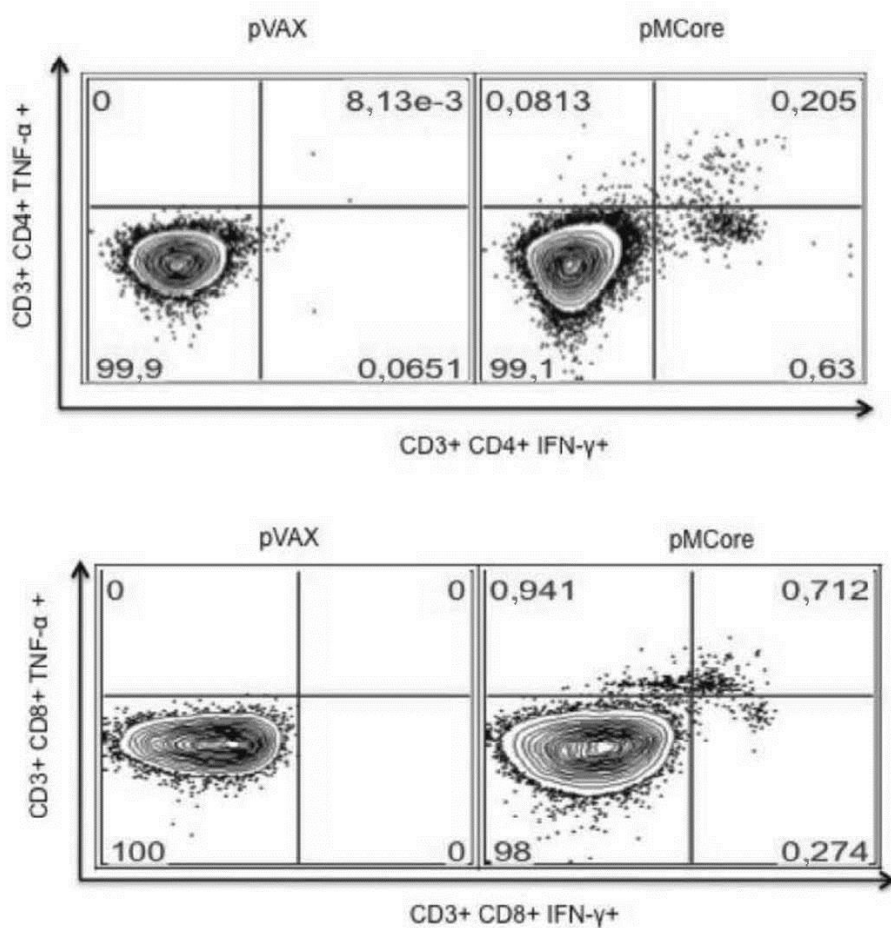


Фигура 21



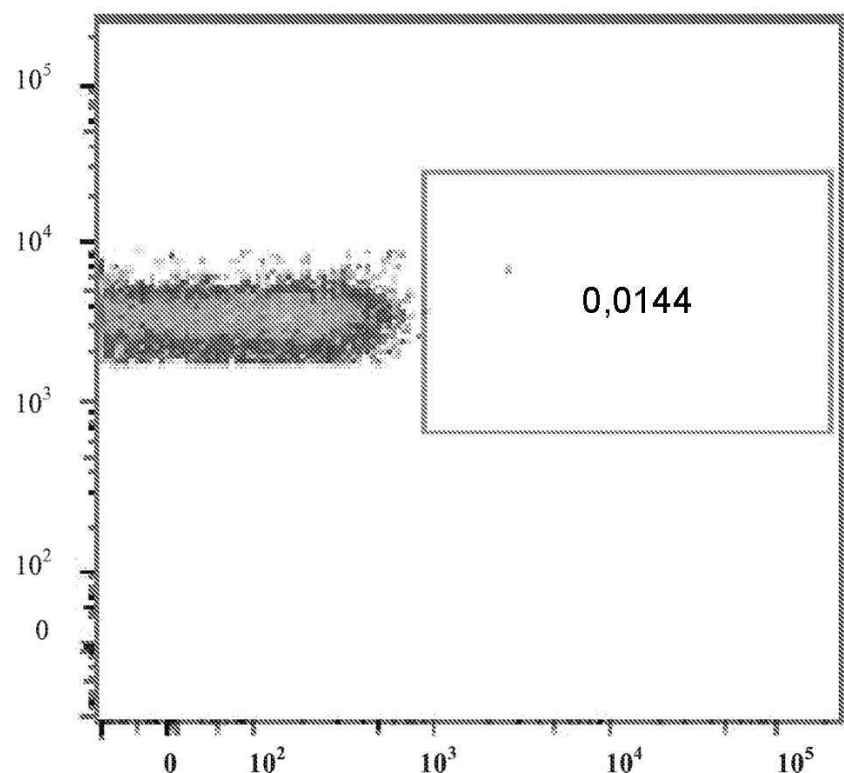


Фигура 22



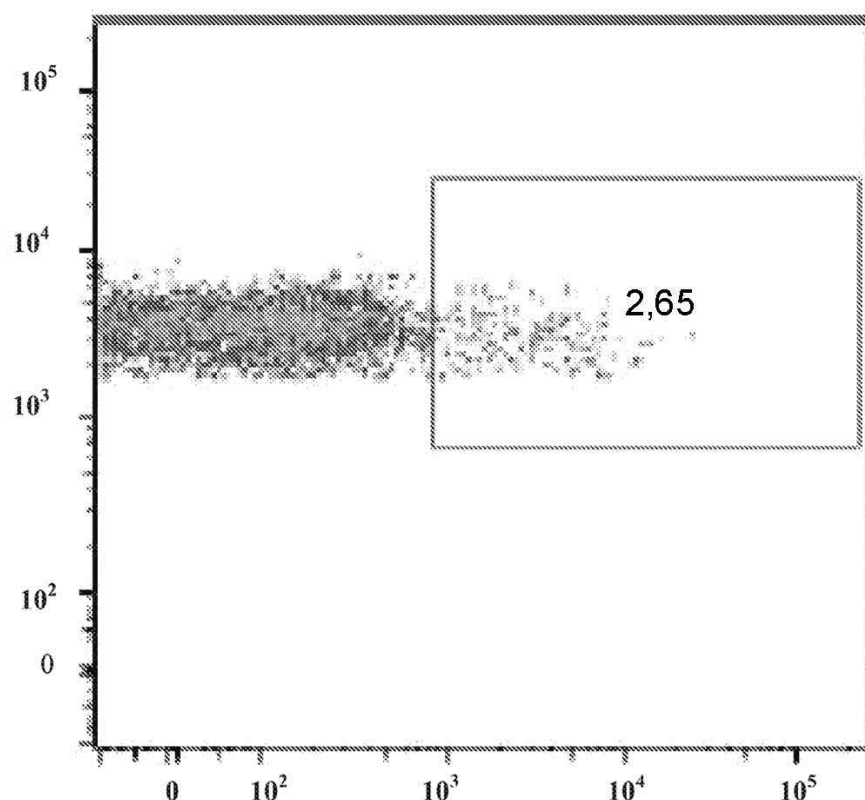
Фигура 23

pVAX



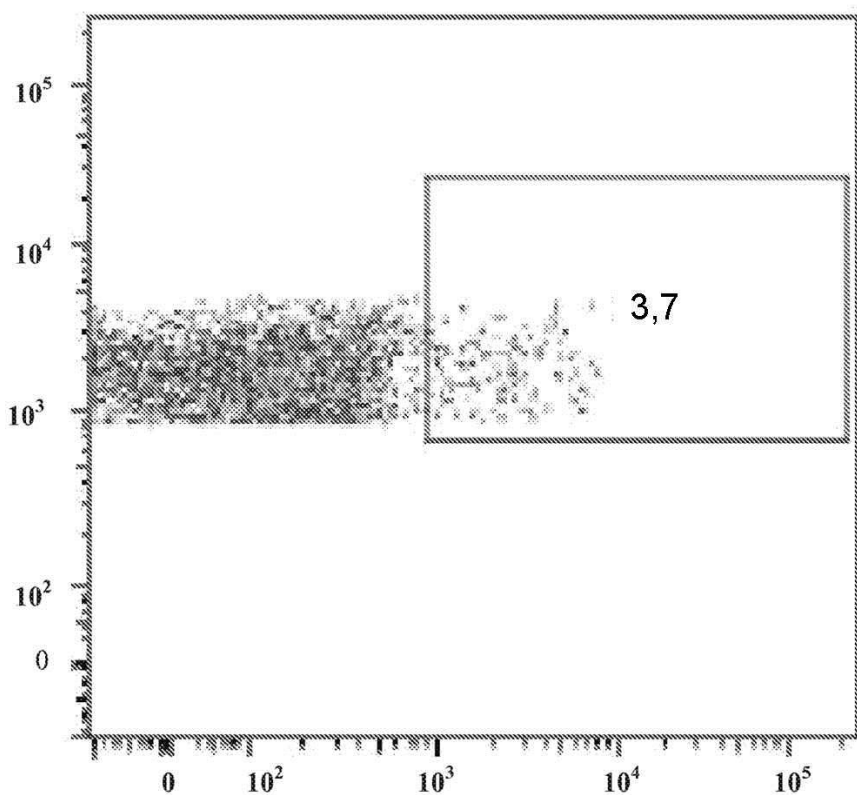
Фигура 24
(Страница 1 из 3)

pMCore

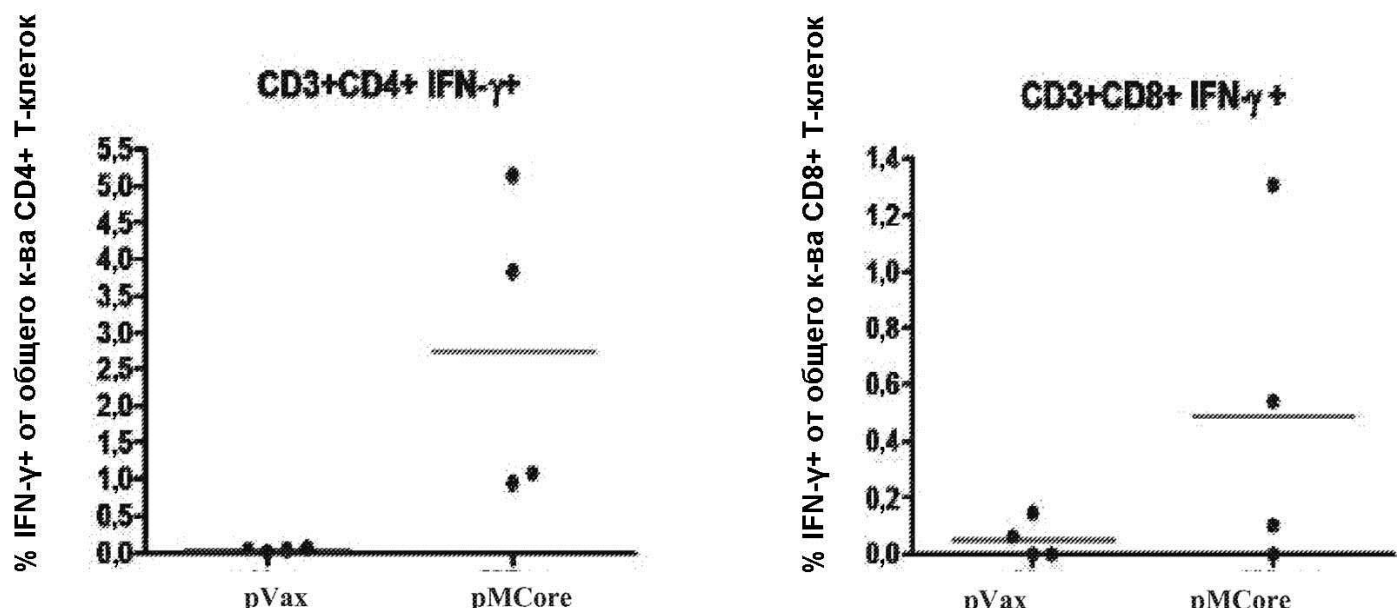


Фигура 24, продолжение
(Страница 2 из 3)

Рис. Контроль

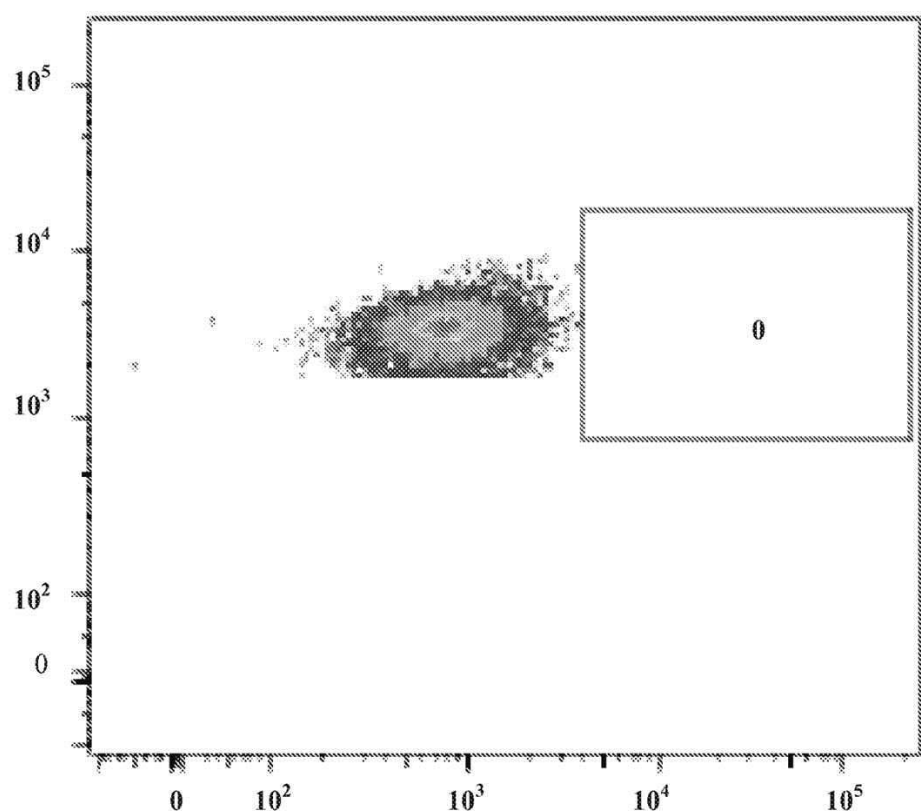


Фигура 24, продолжение
(Страница 3 из 3)



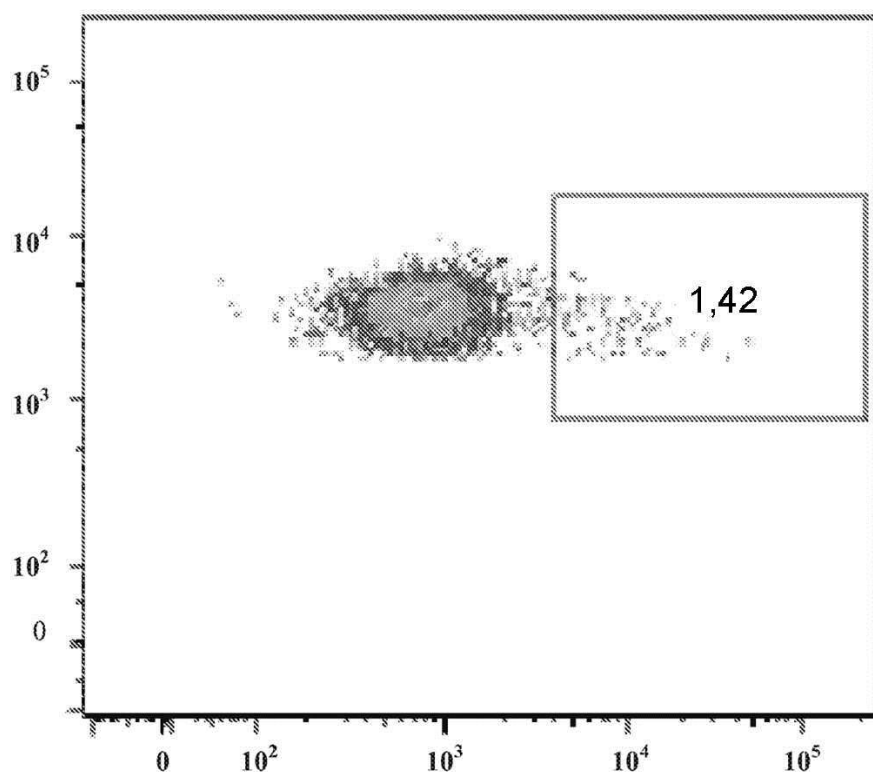
Фигура 25

pVAX



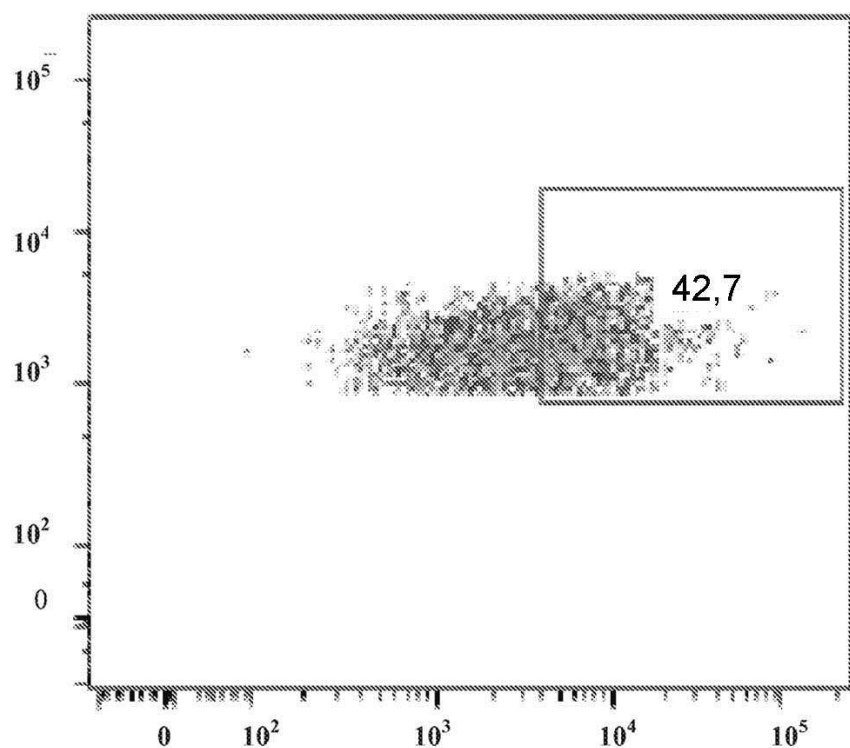
Фигура 26
(Страница 1 из 3)

pMCore



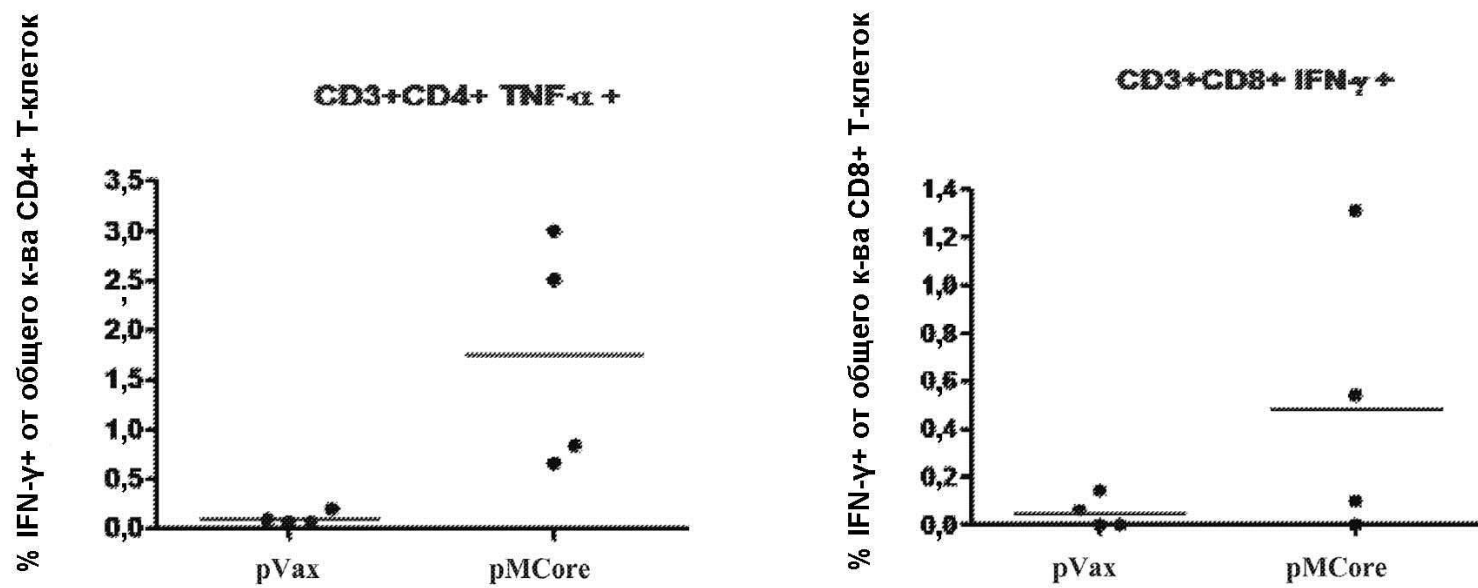
Фигура 26, продолжение
(Страница 2 из 3)

Pos. Контроль

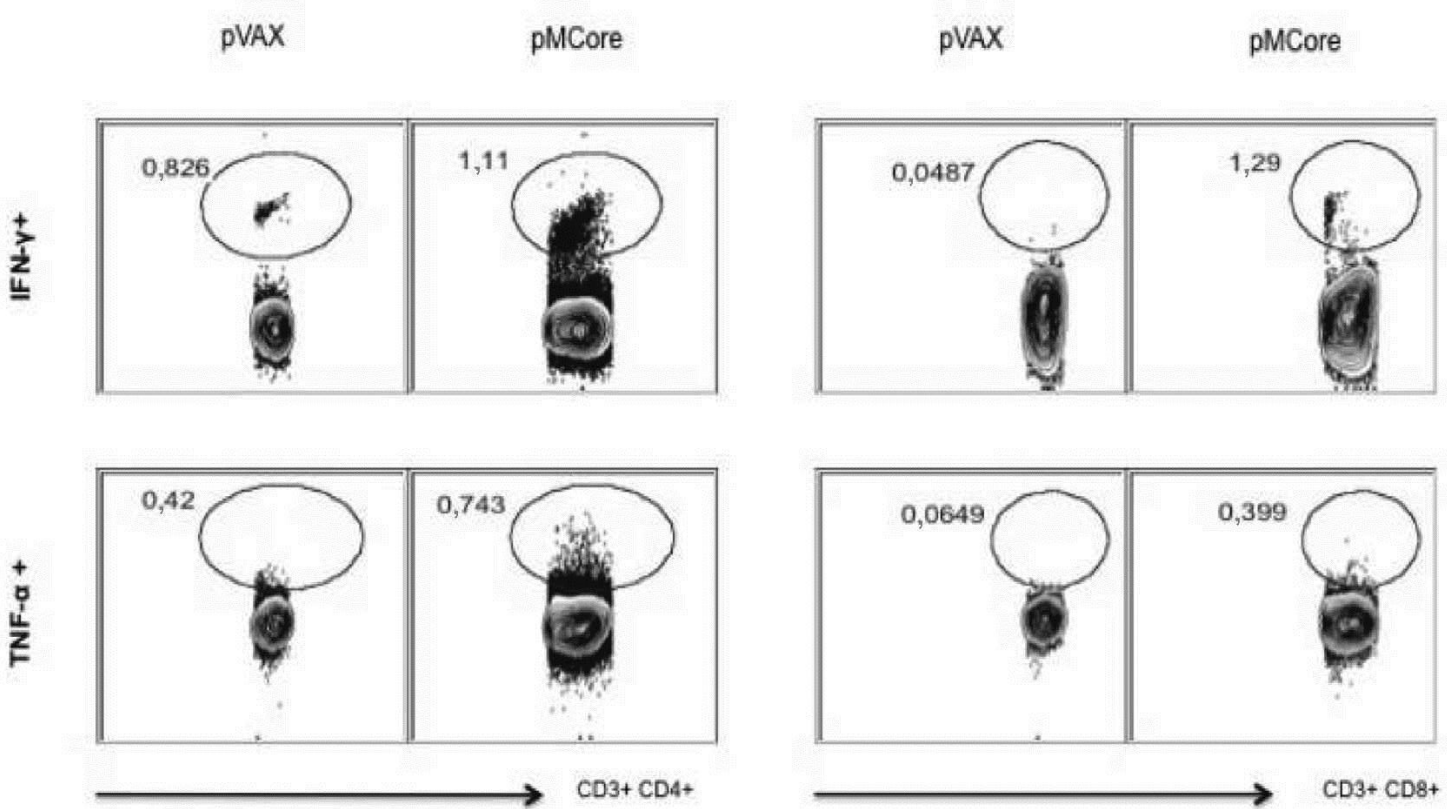


Фигура 26, продолжение

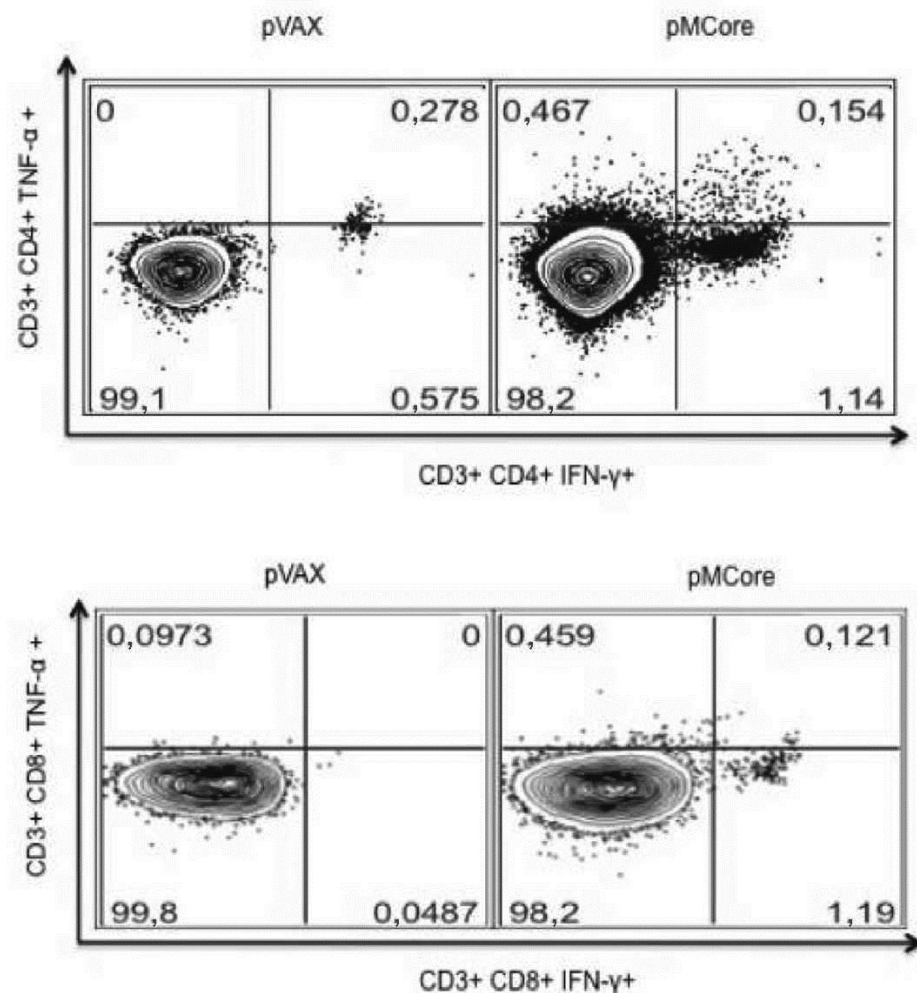
(Страница 3 из 3)



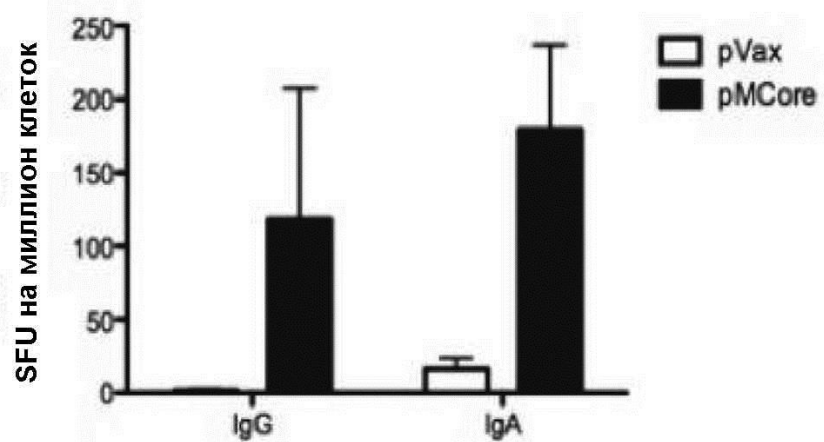
Фигура 27



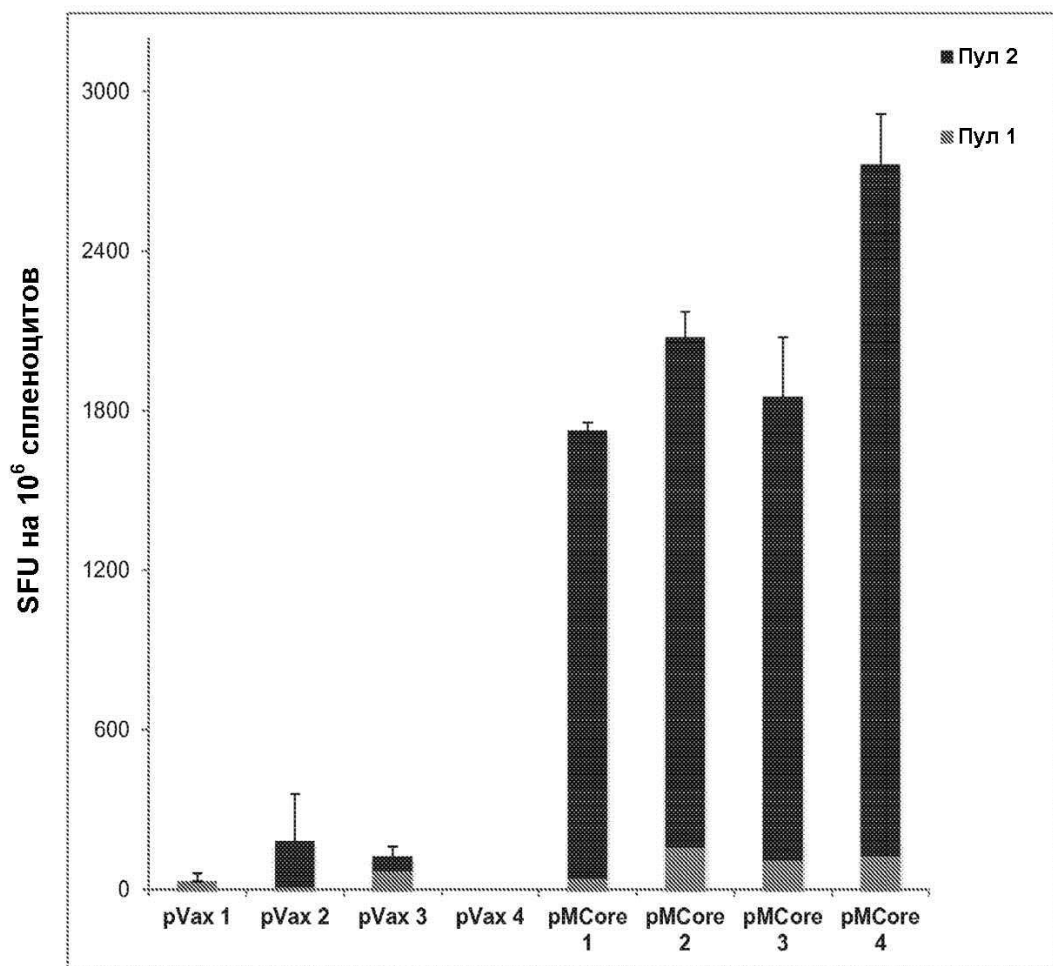
Фигура 28



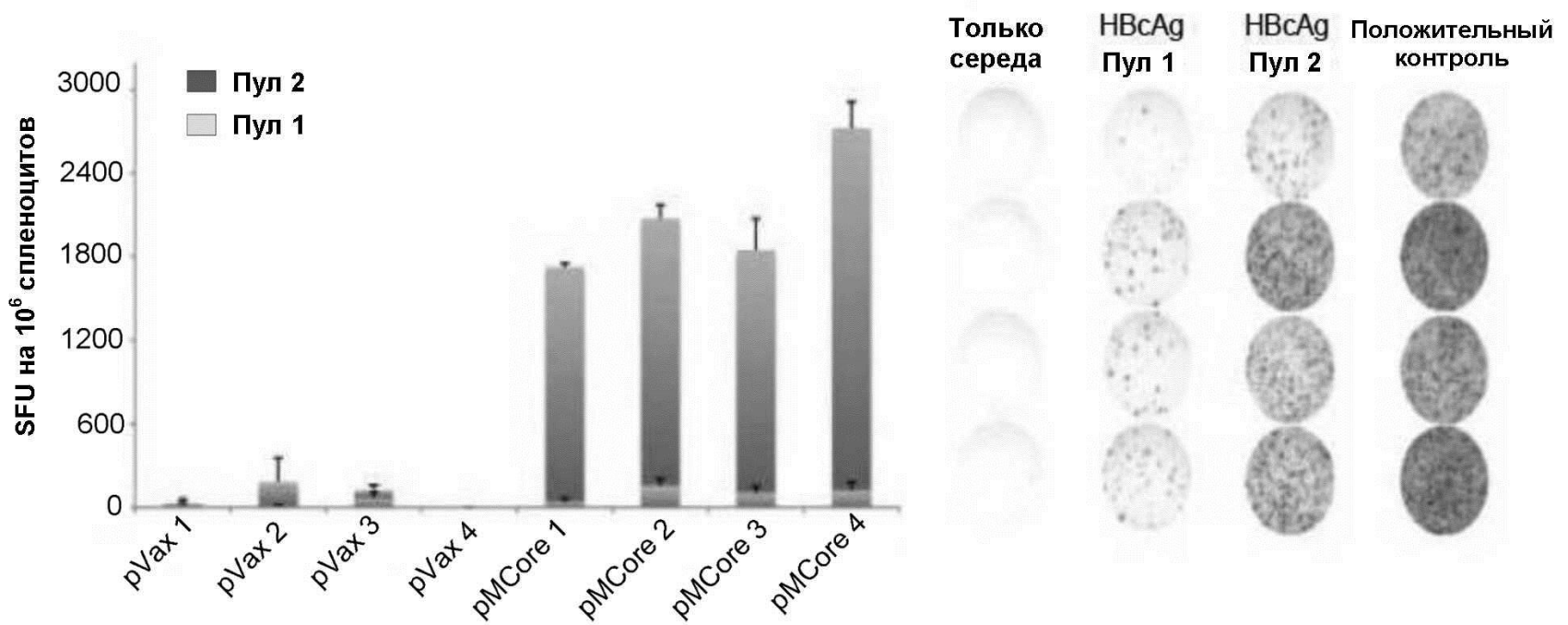
Фигура 29



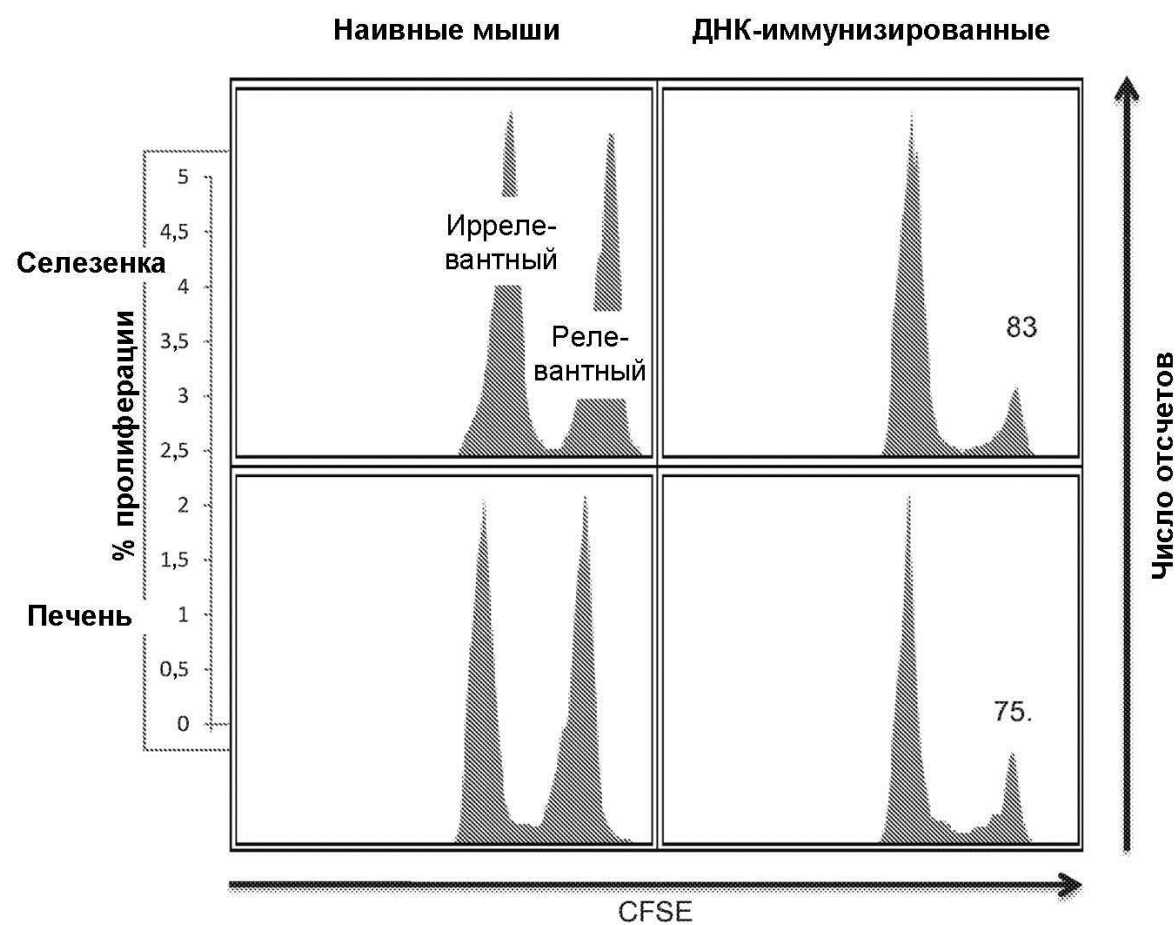
Фигура 30



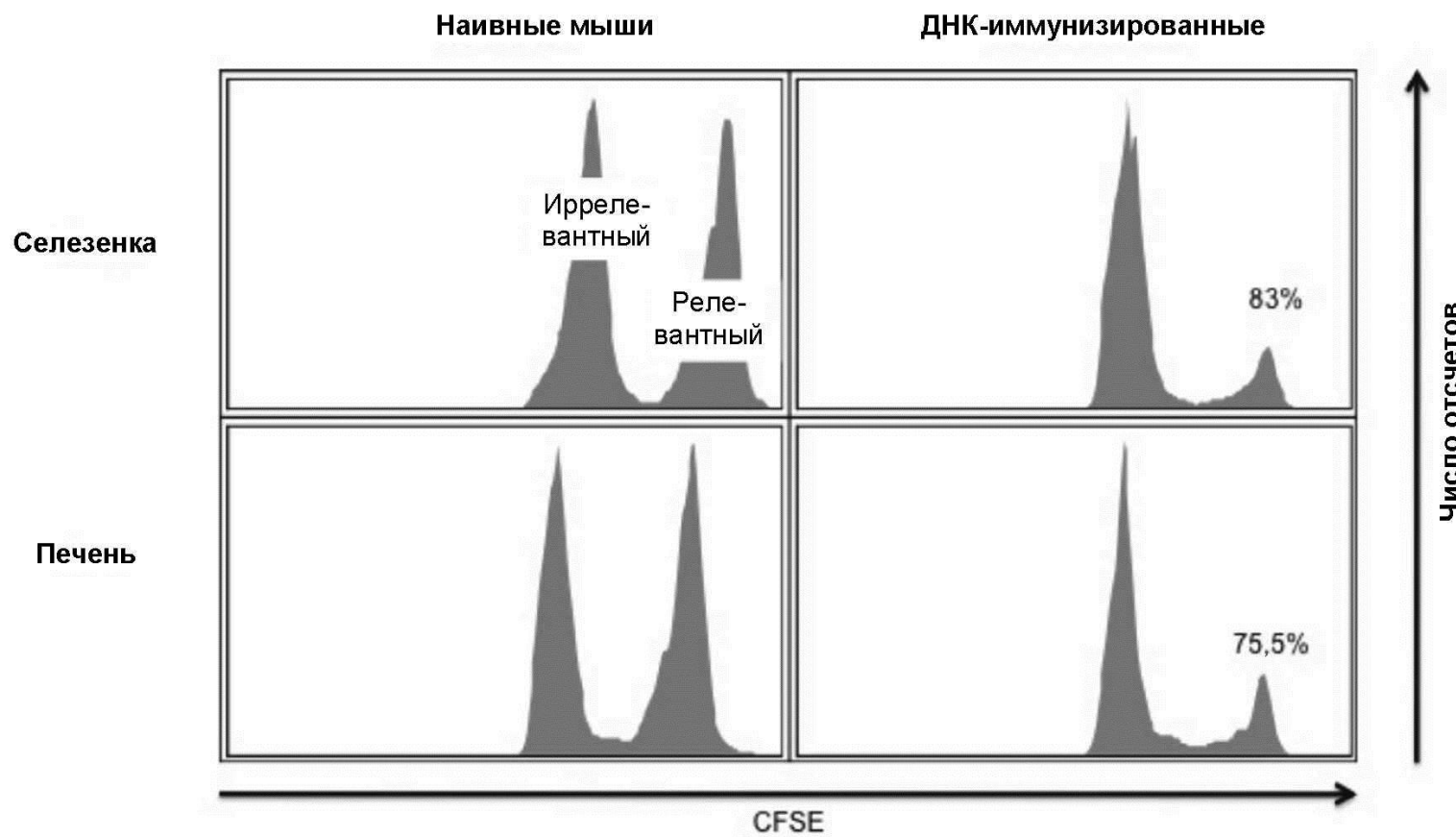
Фигура 31



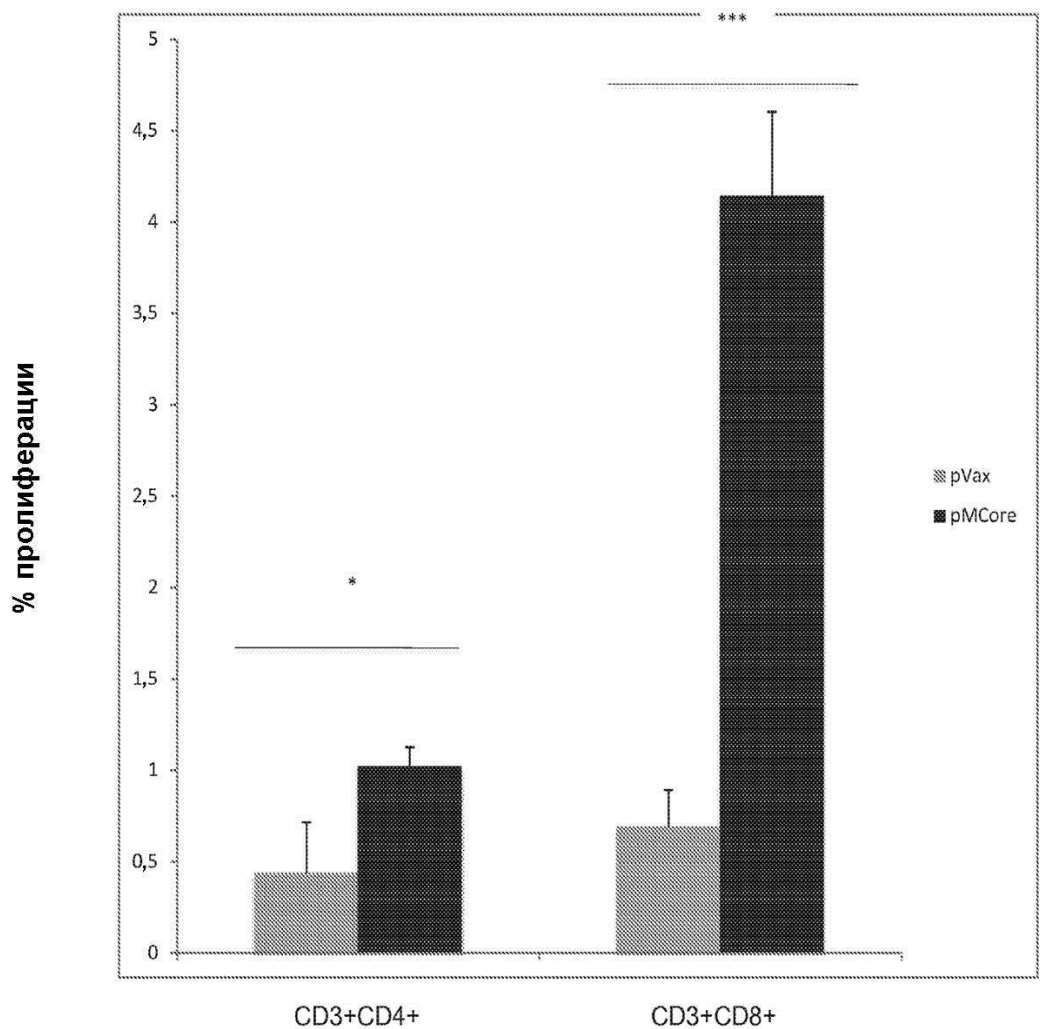
Фигура 32



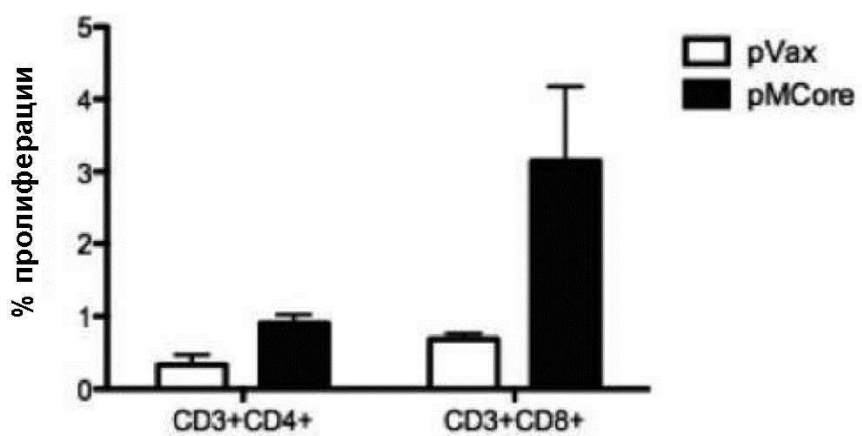
Фигура 33



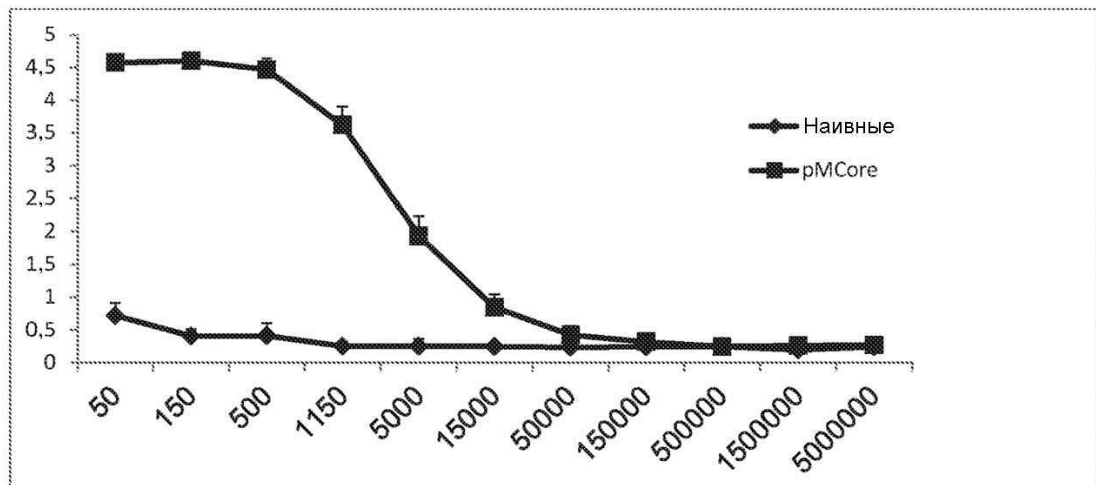
Фигура 34



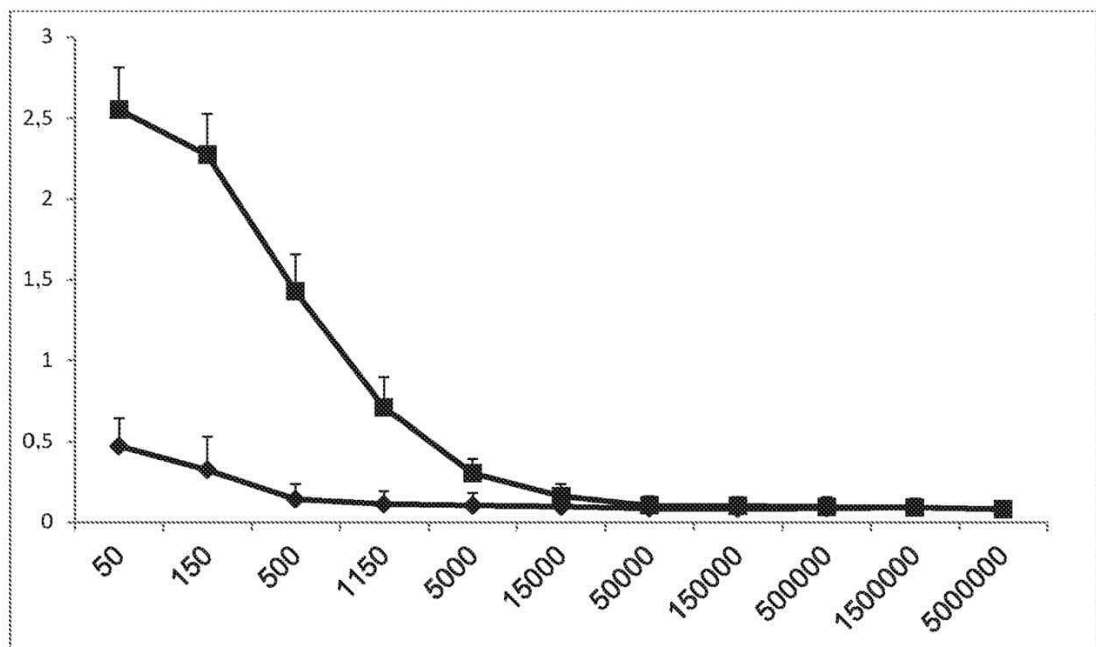
Фигура 35



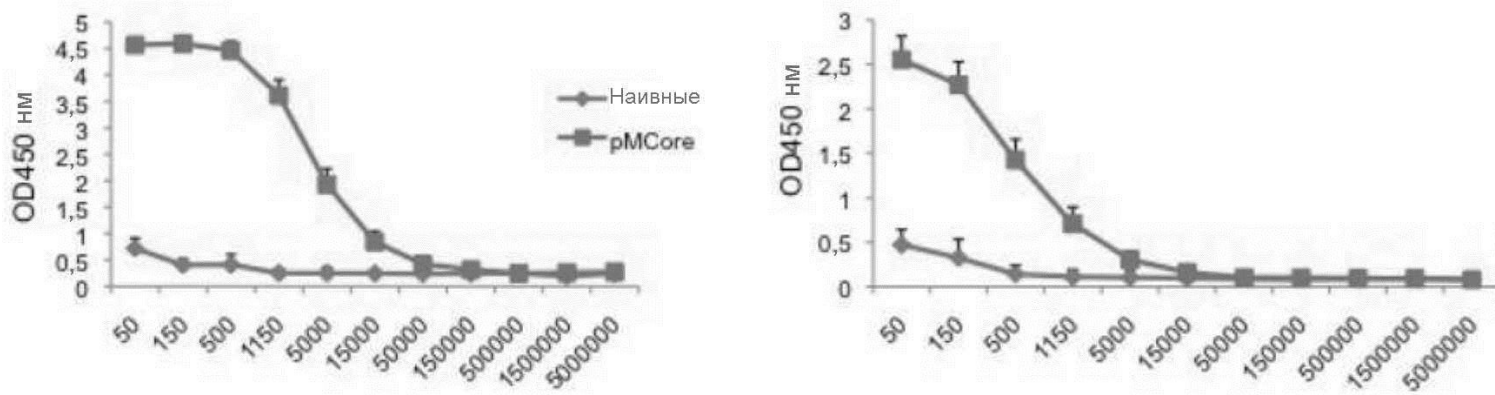
Фигура 36



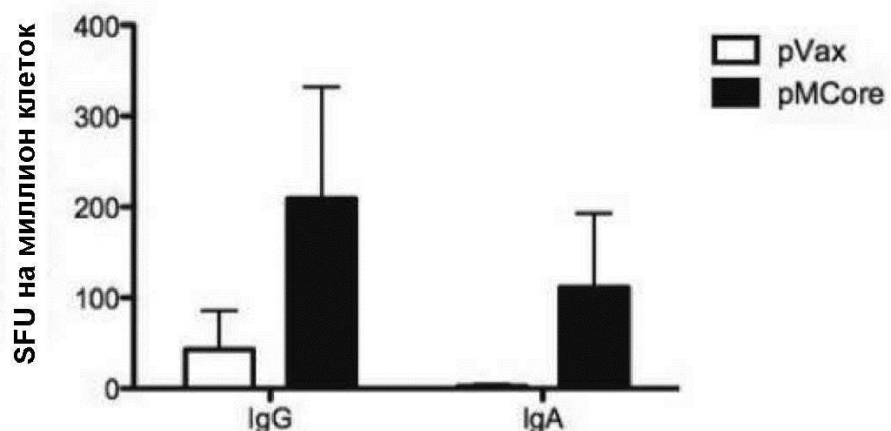
Фигура 37А



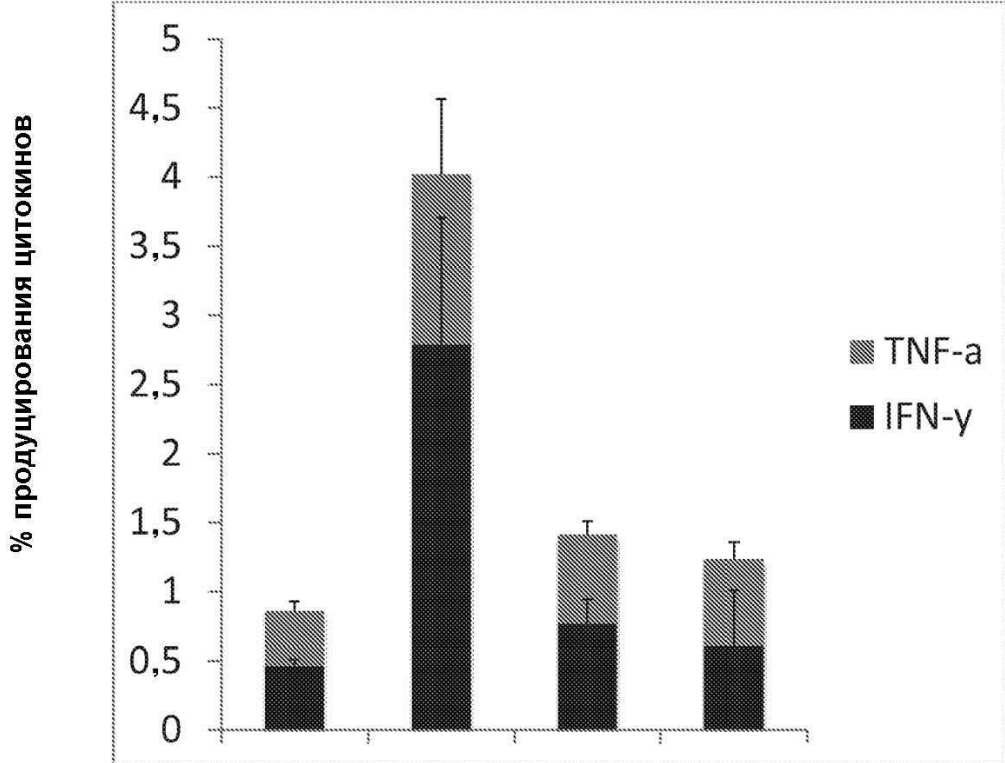
Фигура 37В



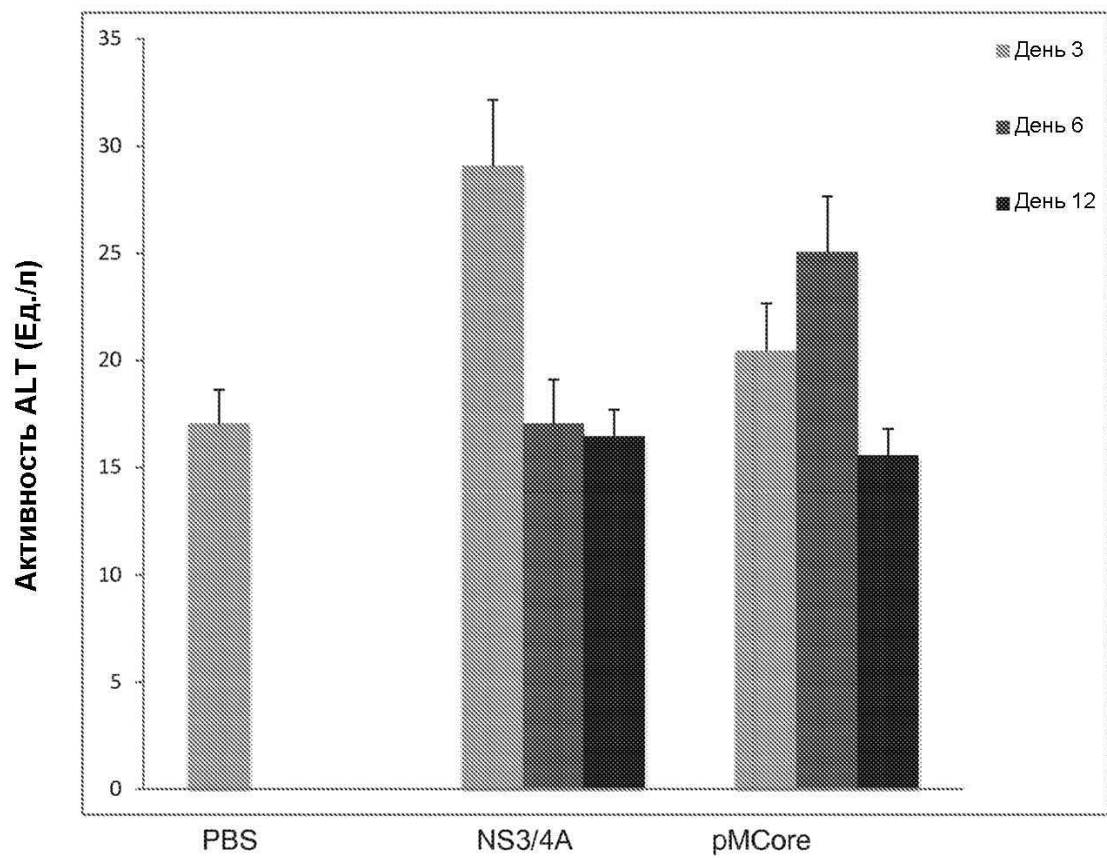
Фигура 38



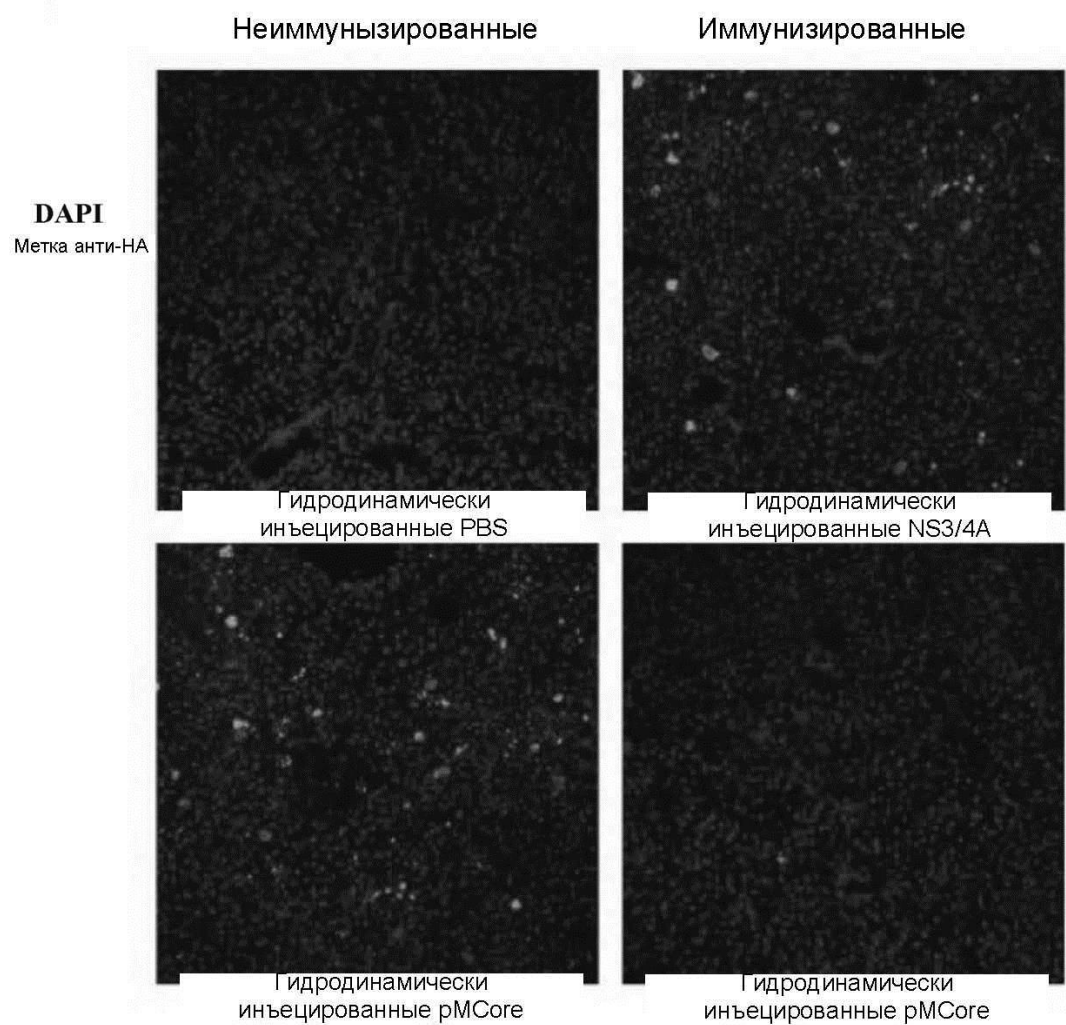
Фигура 39



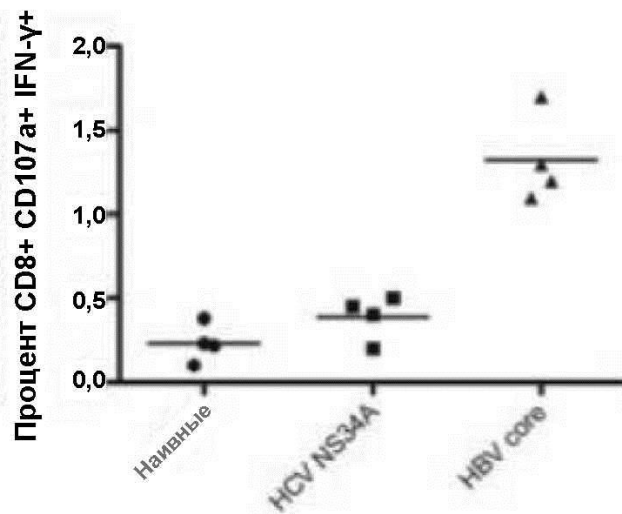
Фигура 40



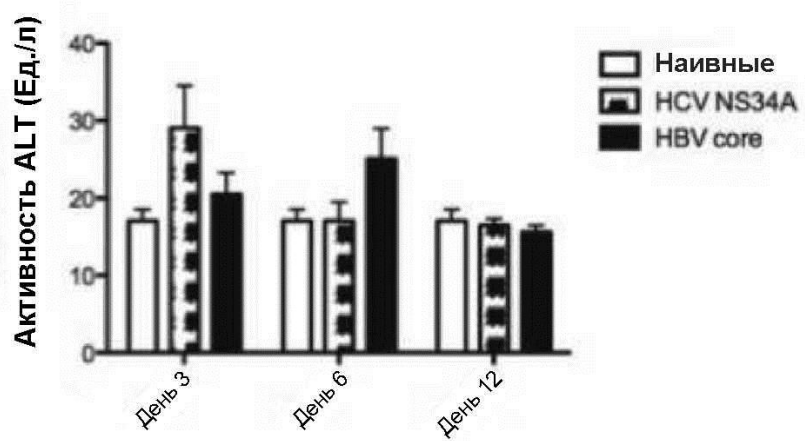
Фигура 41



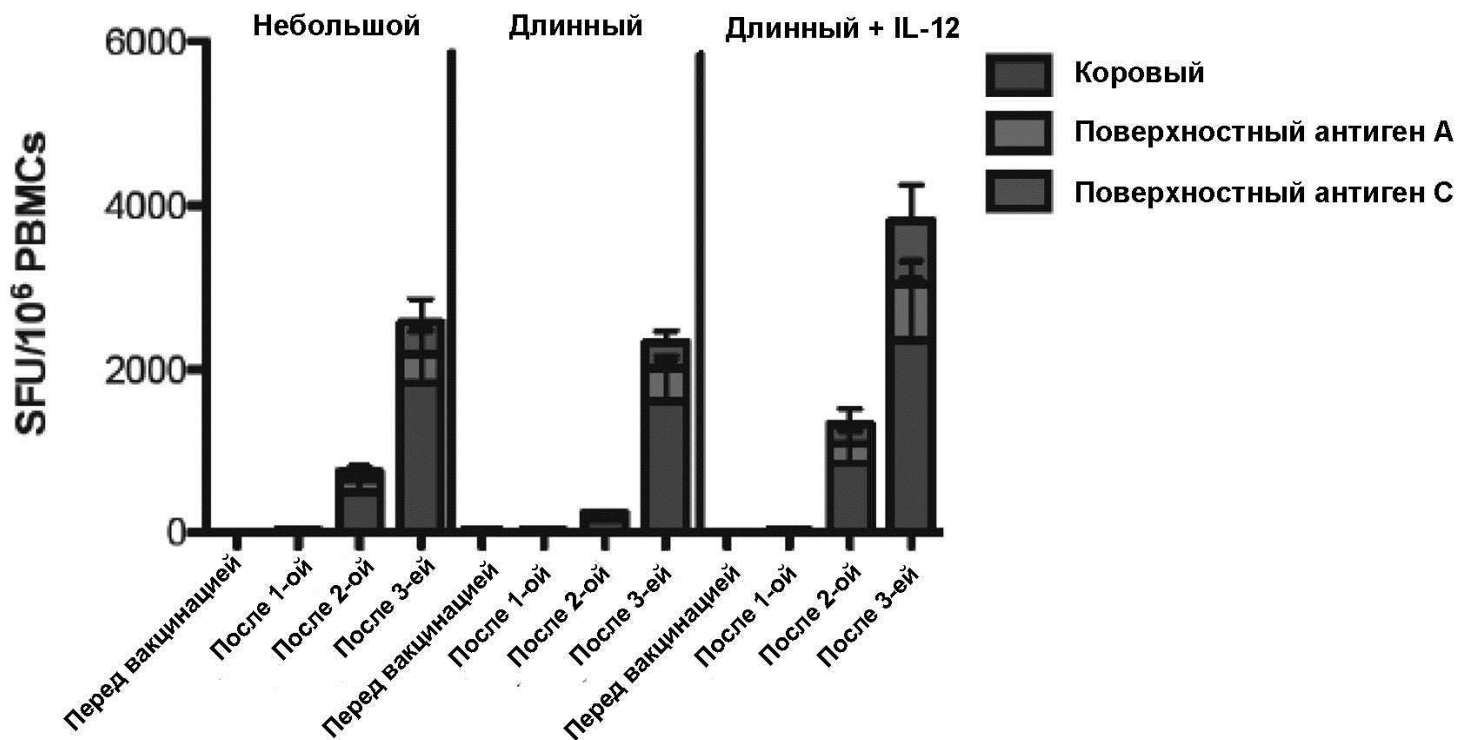
Фигура 42



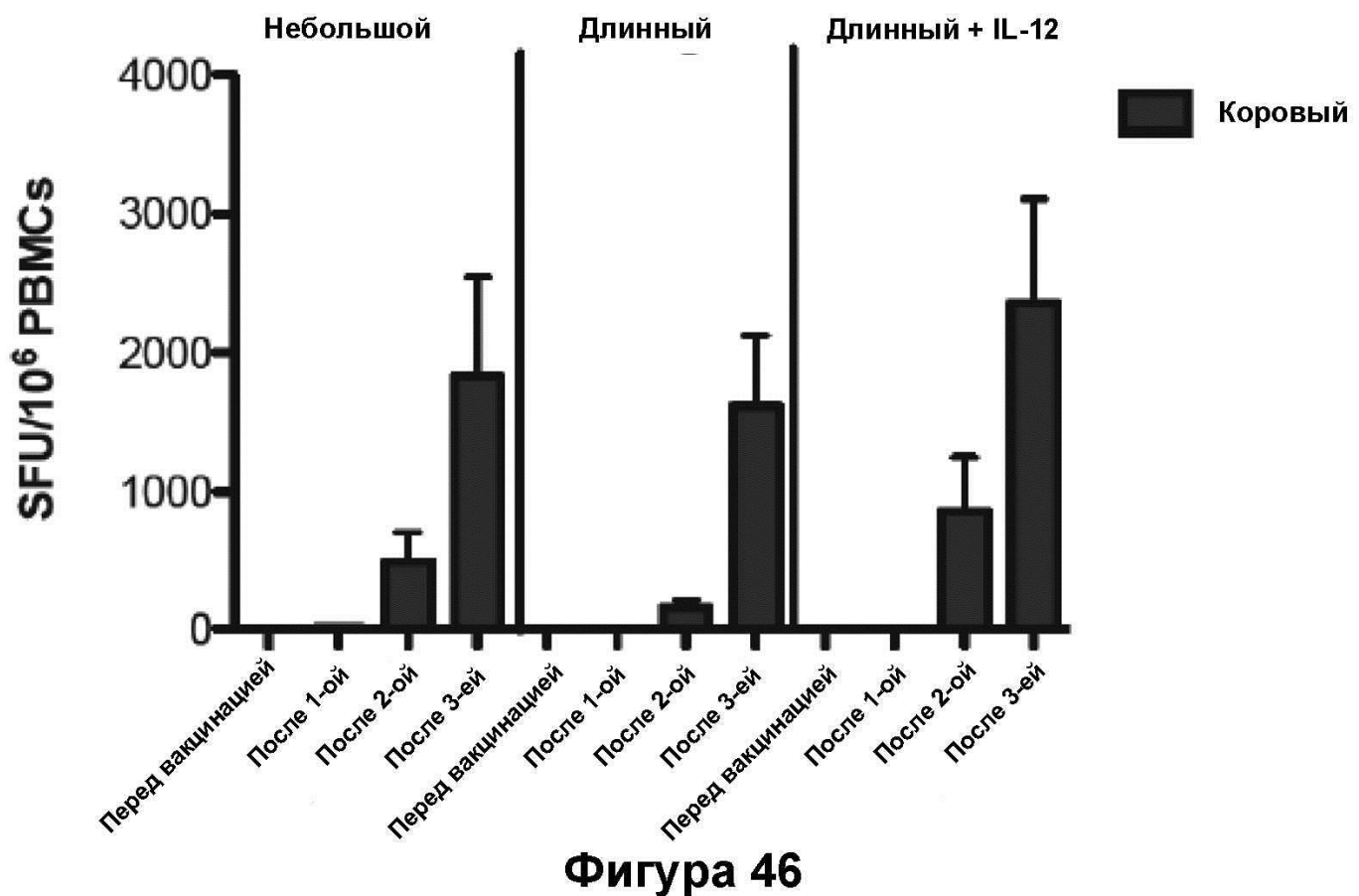
Фигура 43

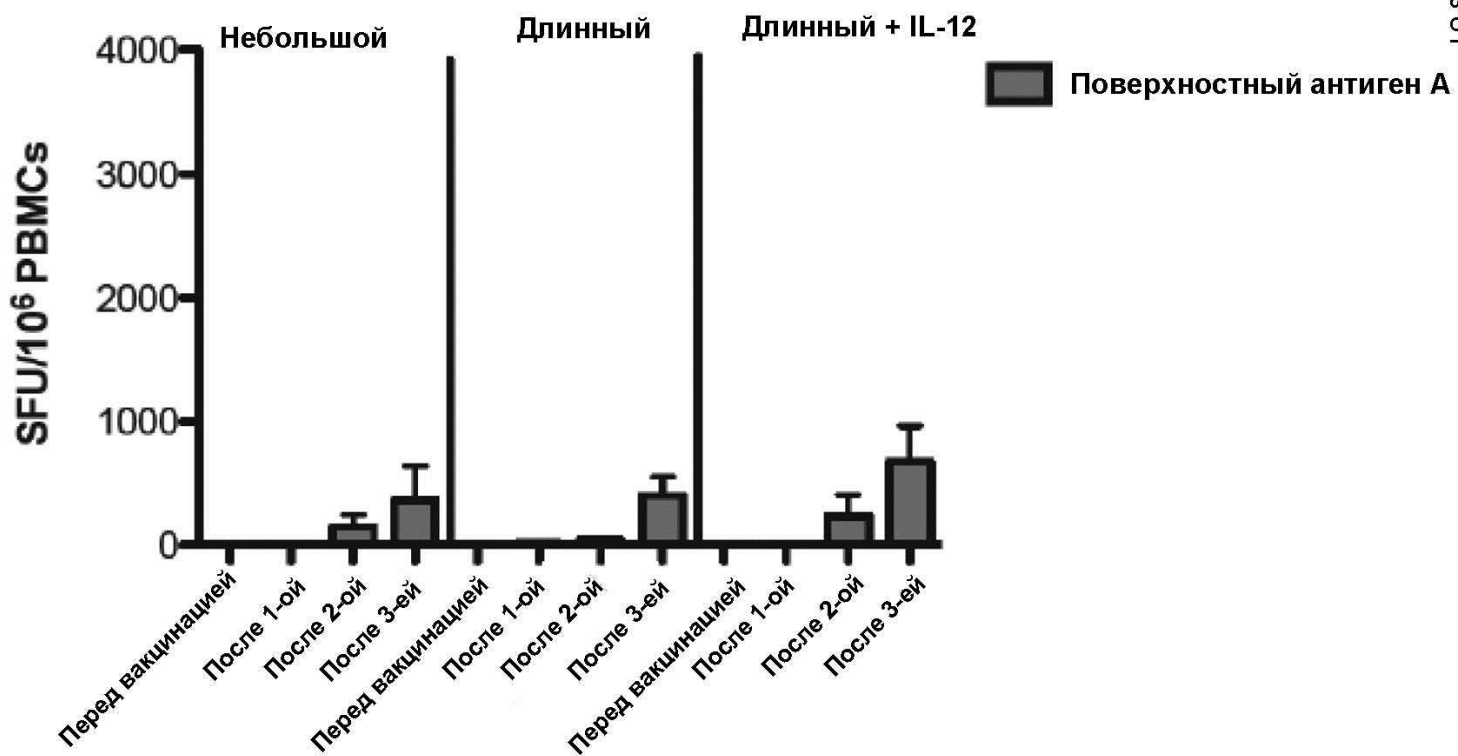


Фигура 44

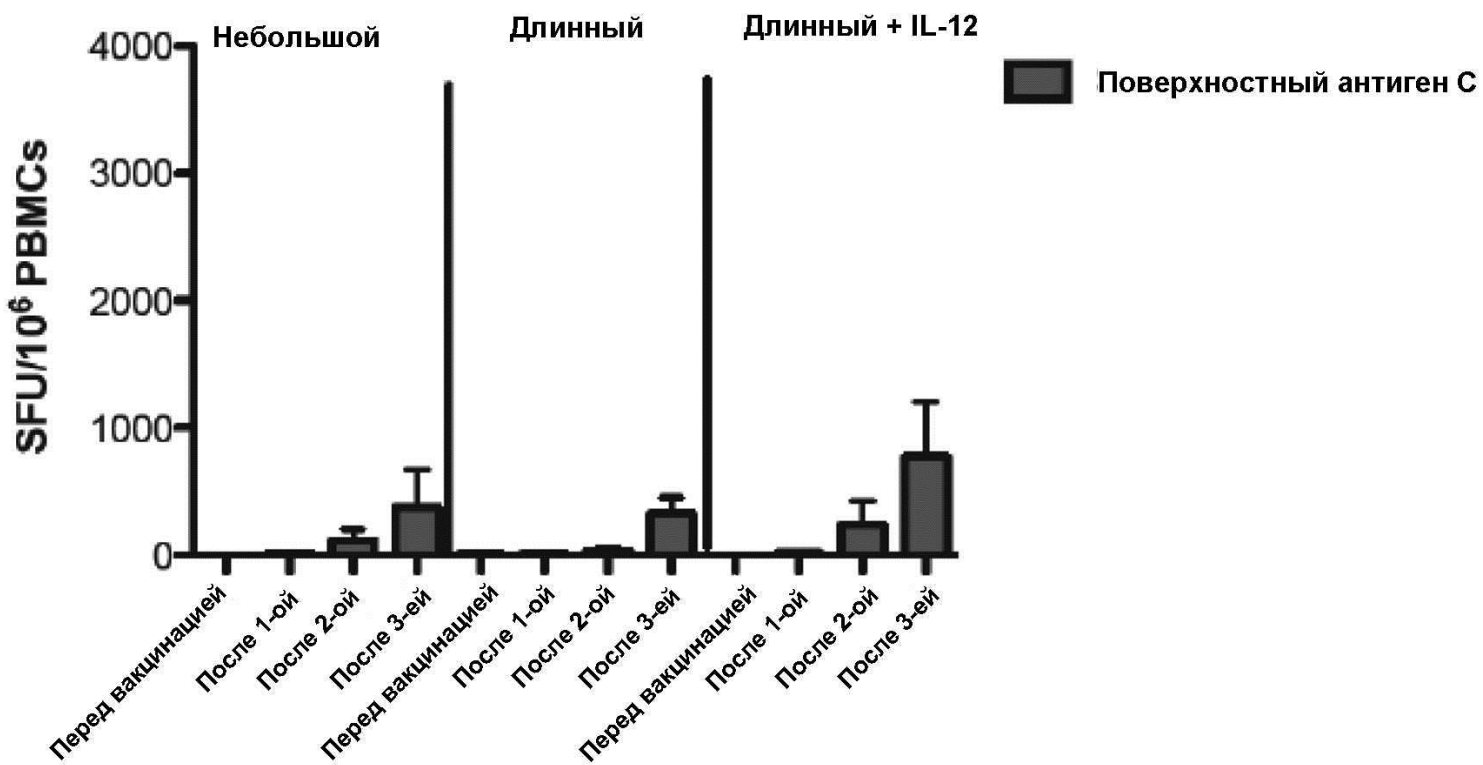


Фигура 45

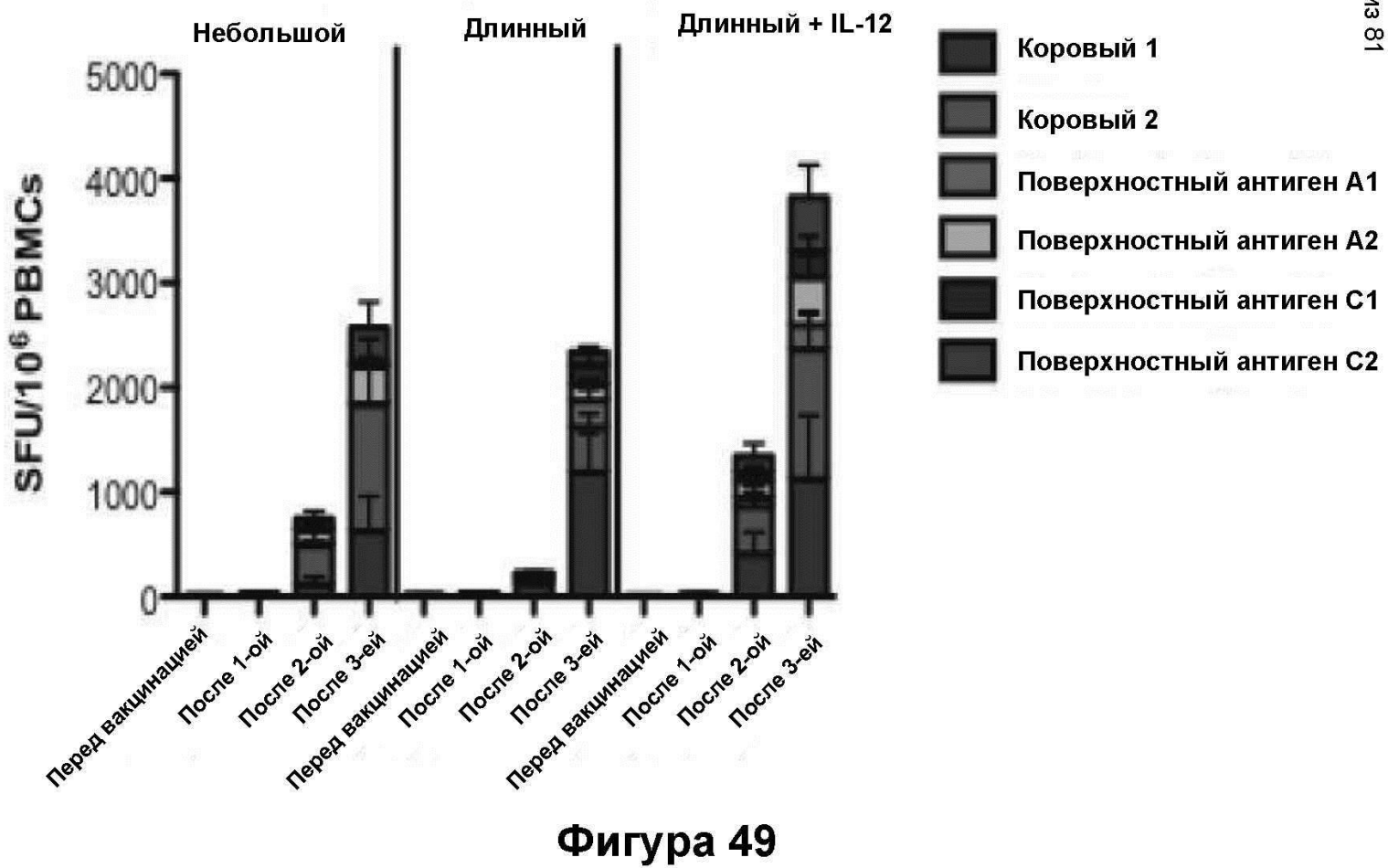


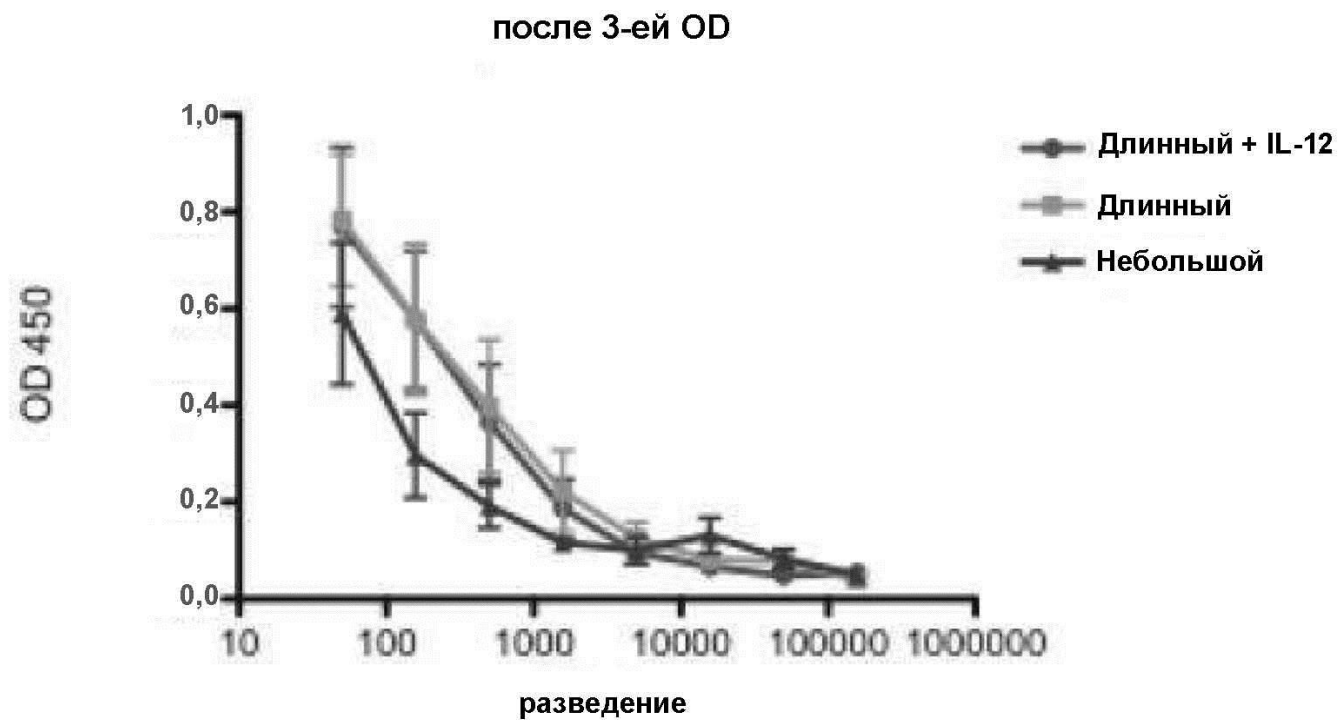


Фигура 47

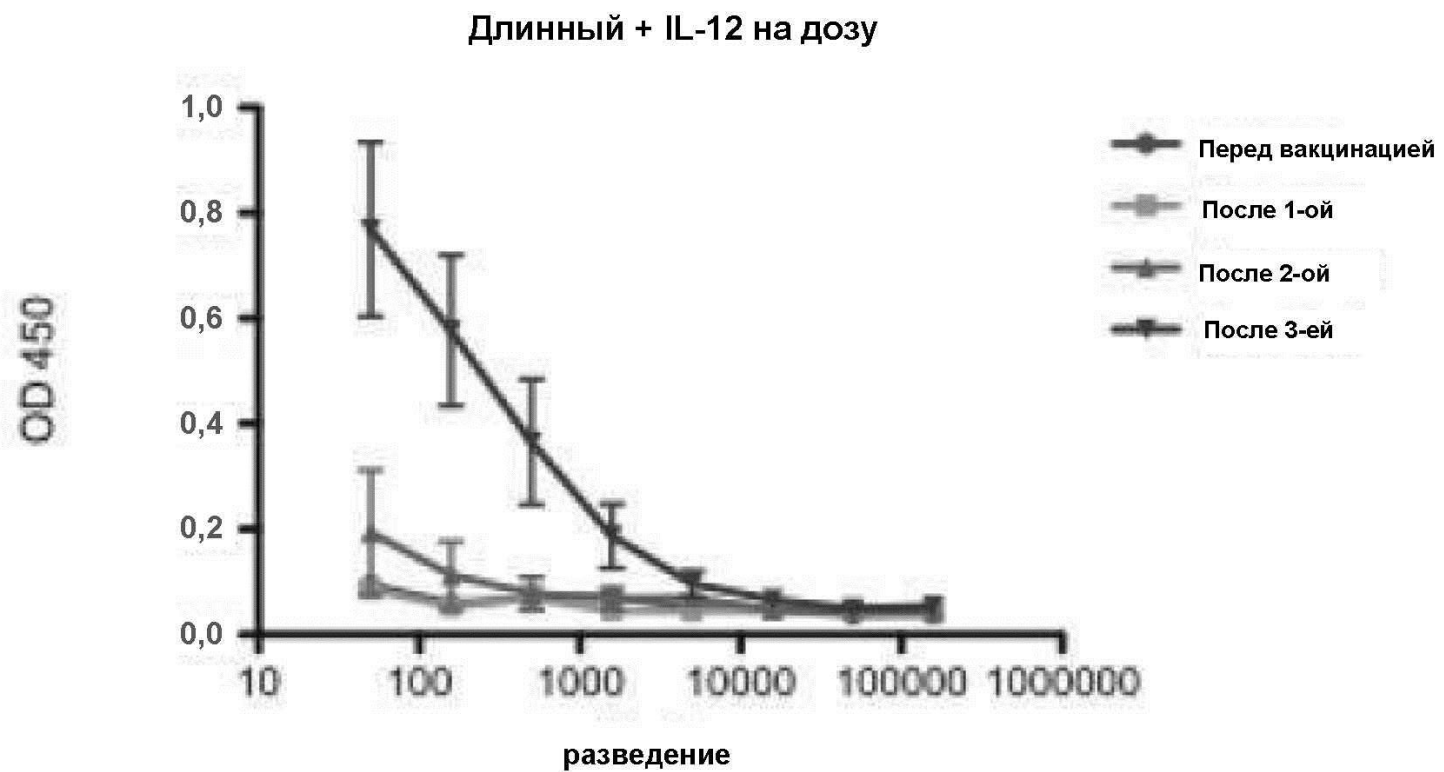


Фигура 48

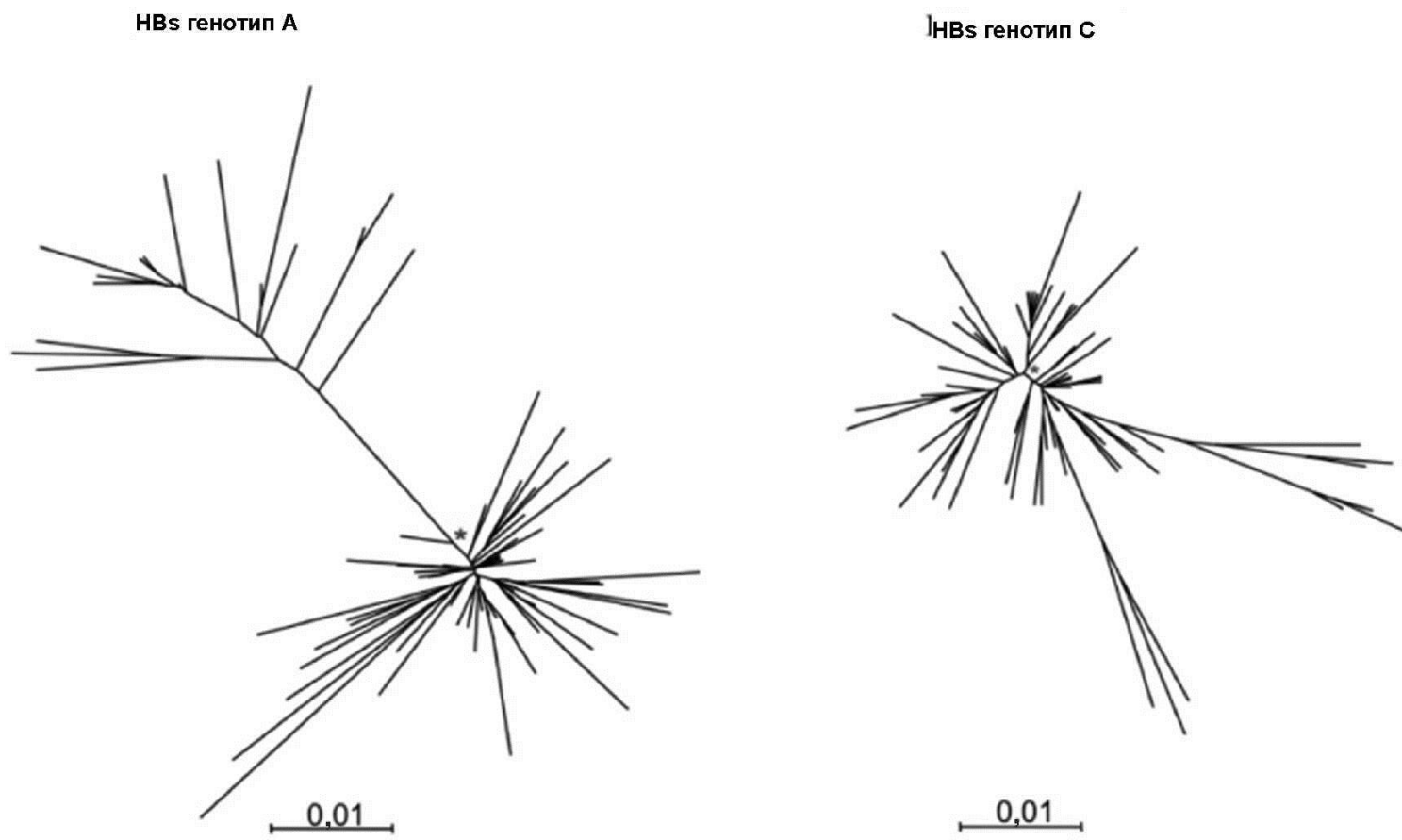




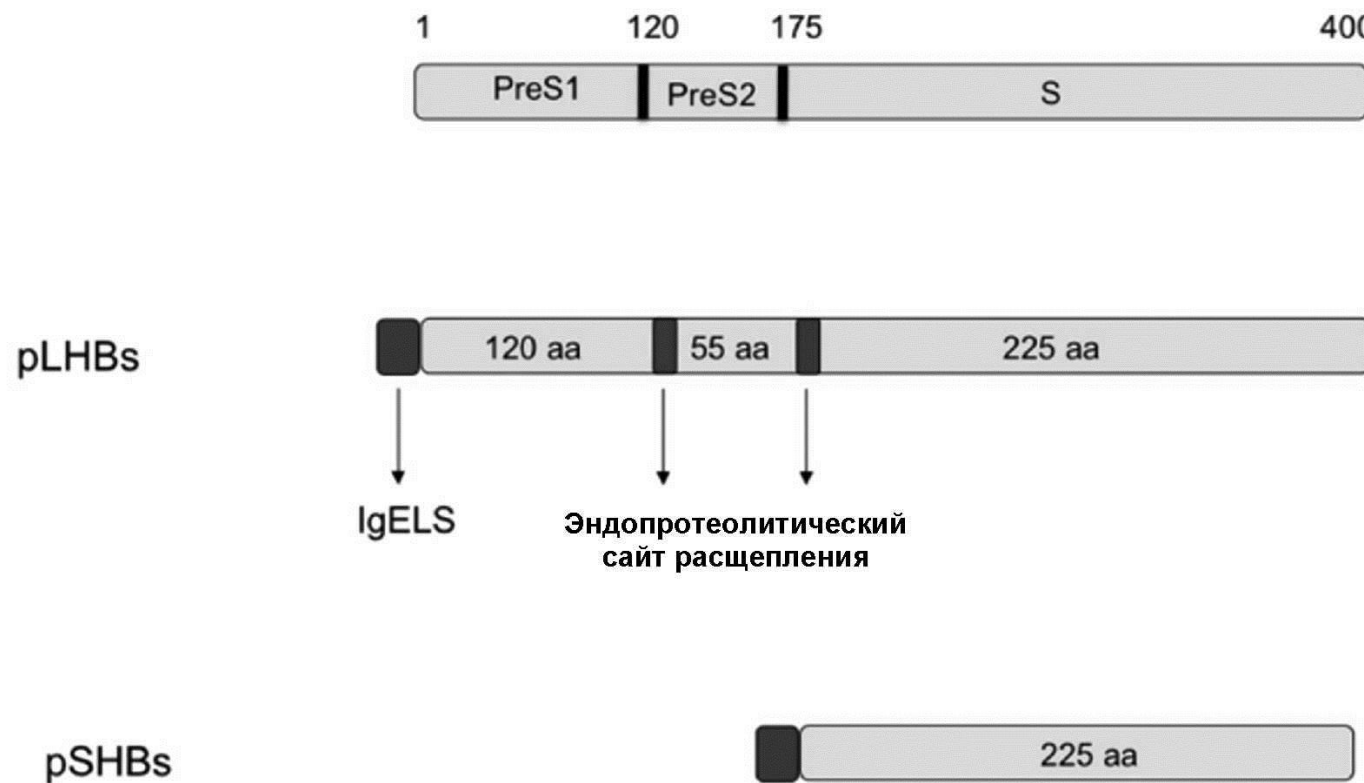
Фигура 50



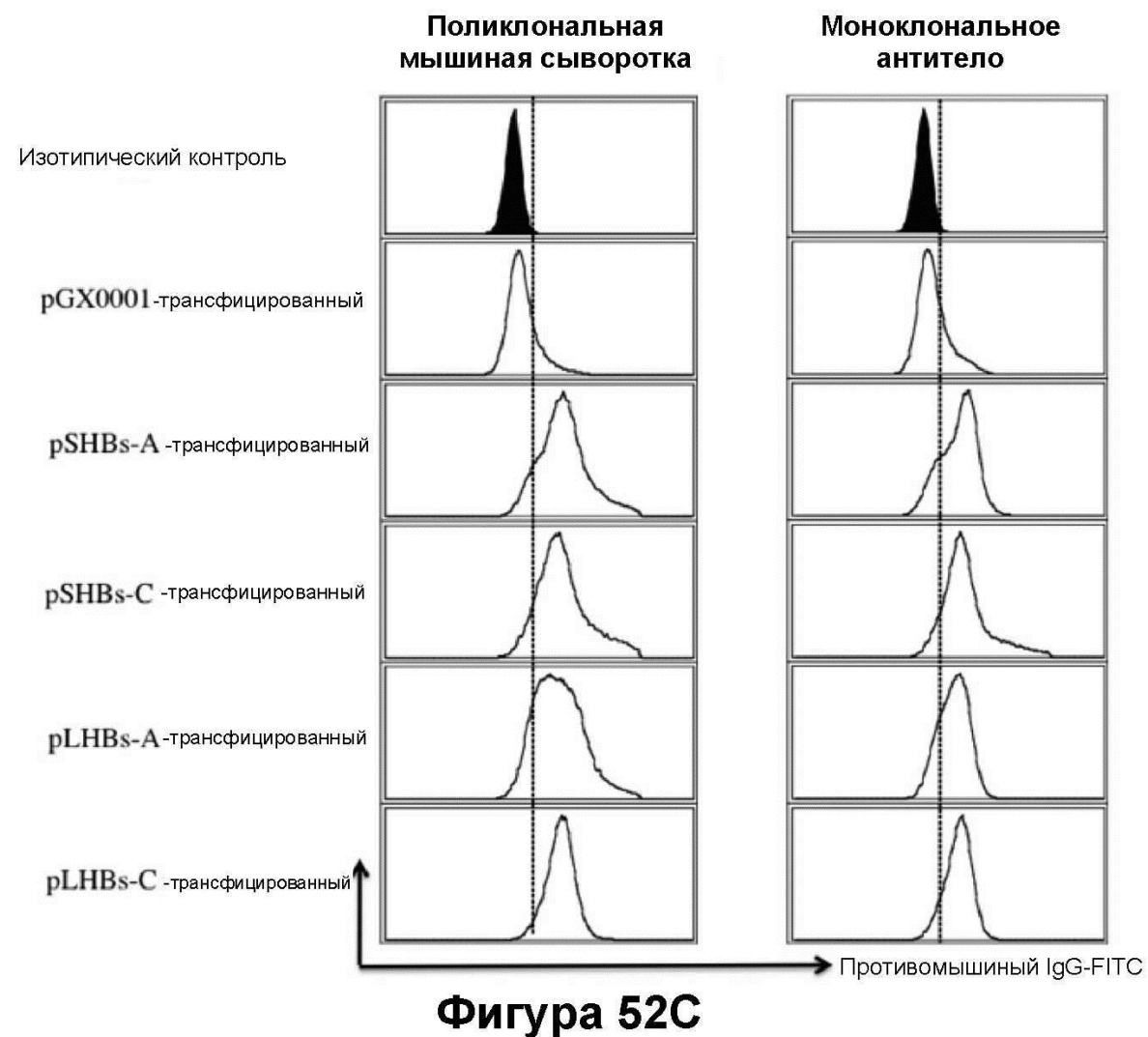
Фигура 51

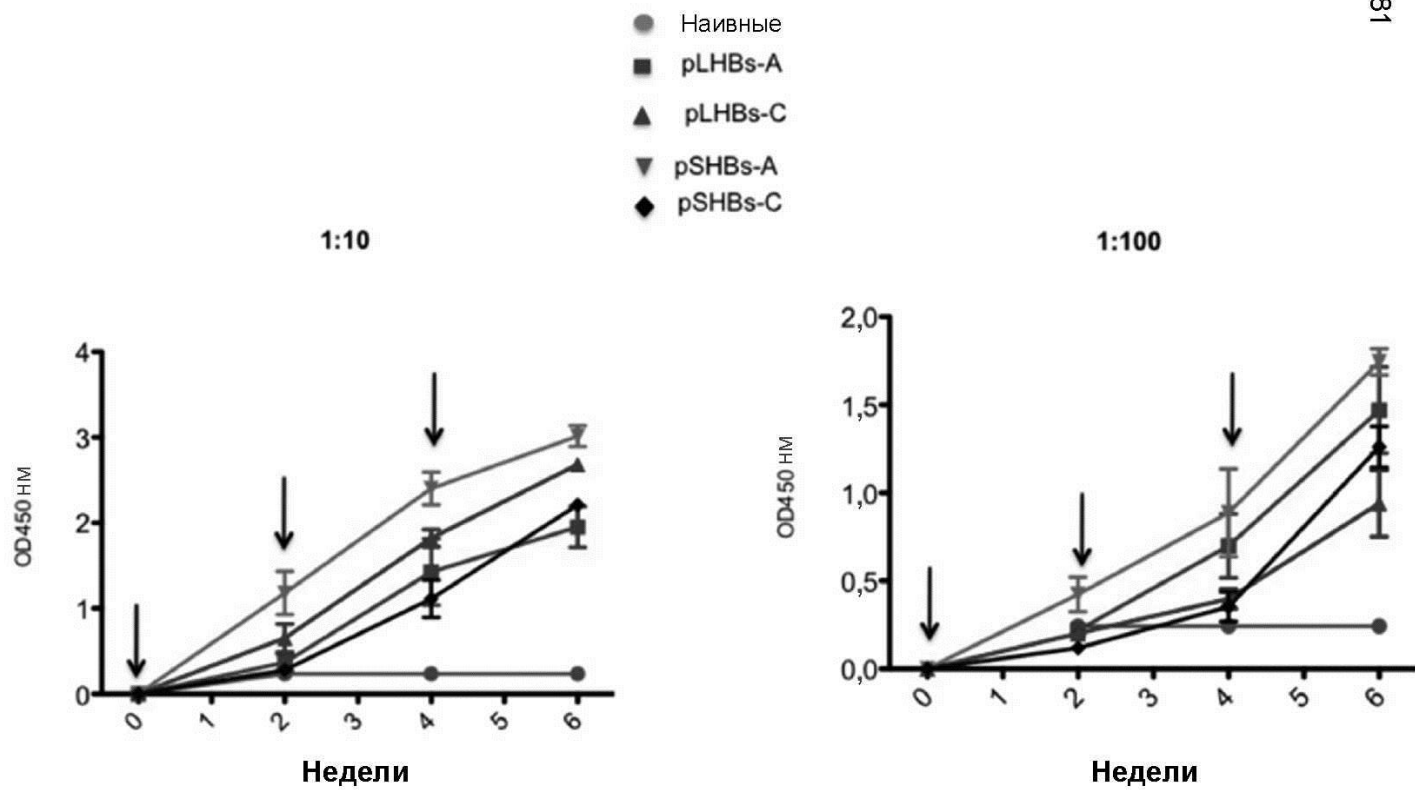


Фигура 52А



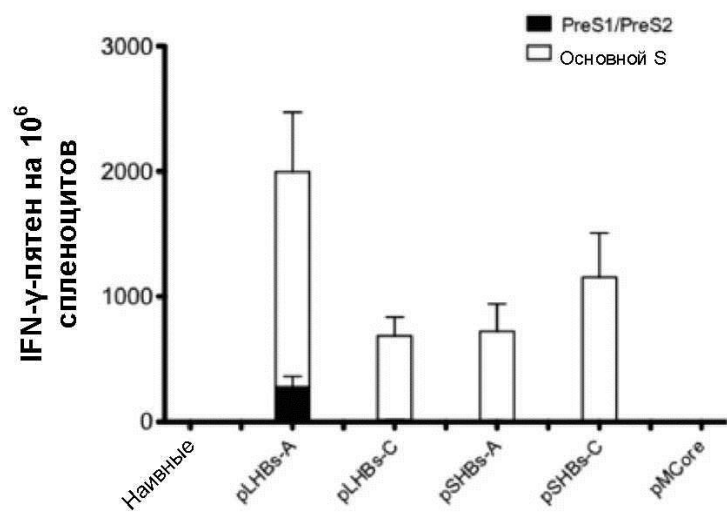
Фигура 52В



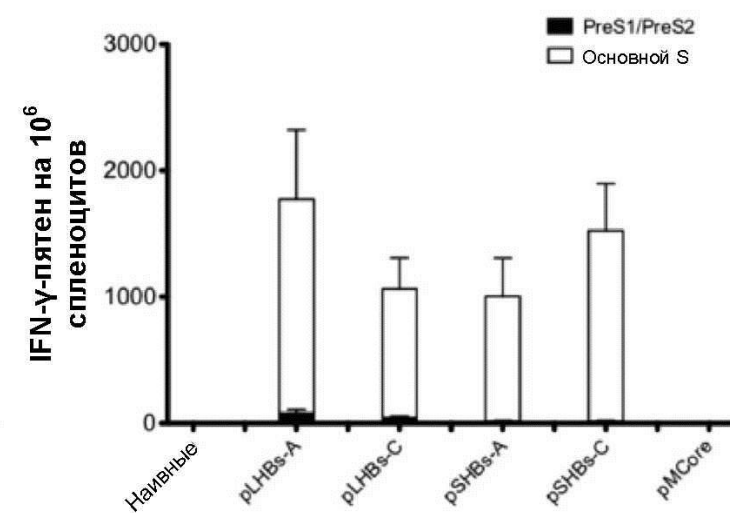


Фигура 53А

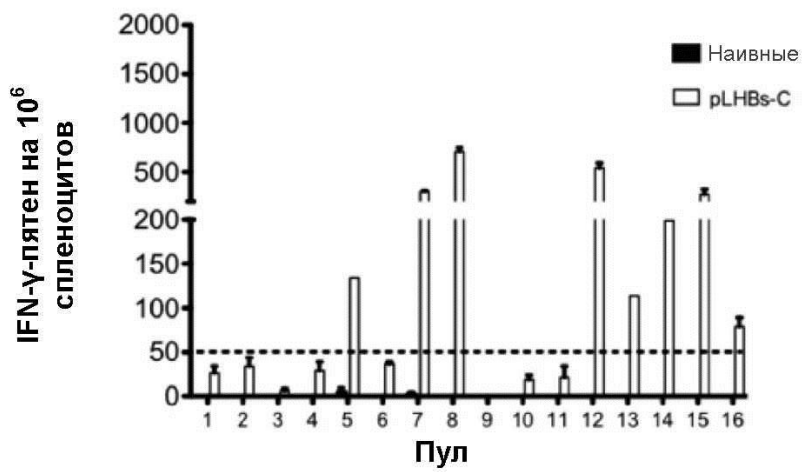
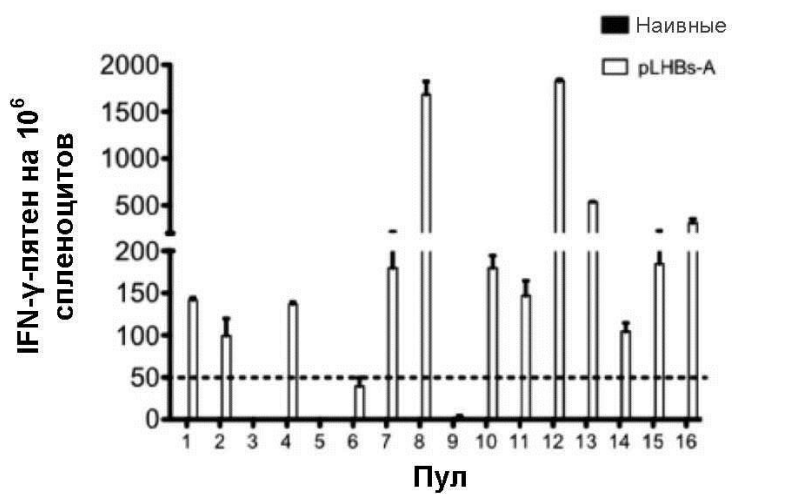
Пептиды генотипа А



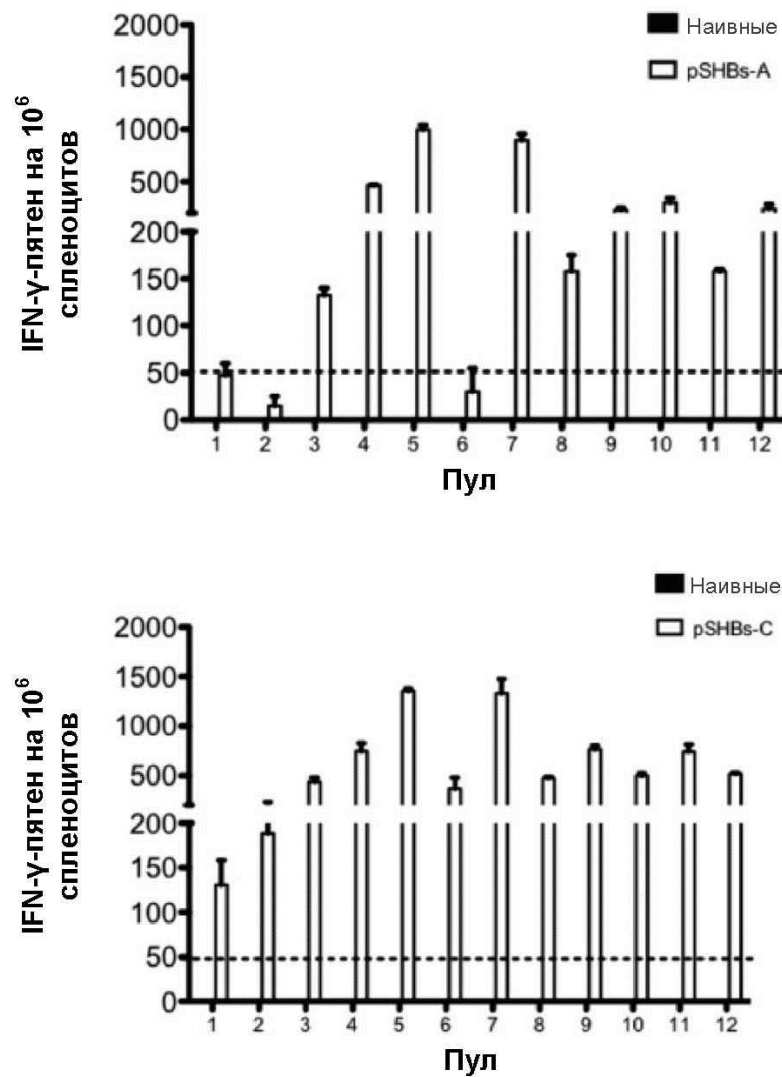
Пептиды генотипа С



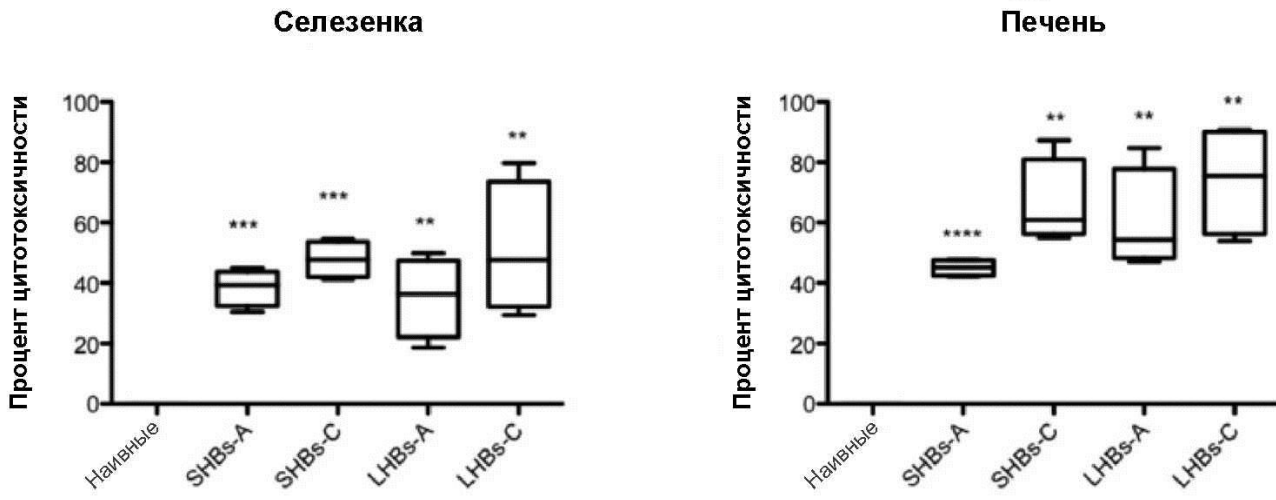
Фигура 53В



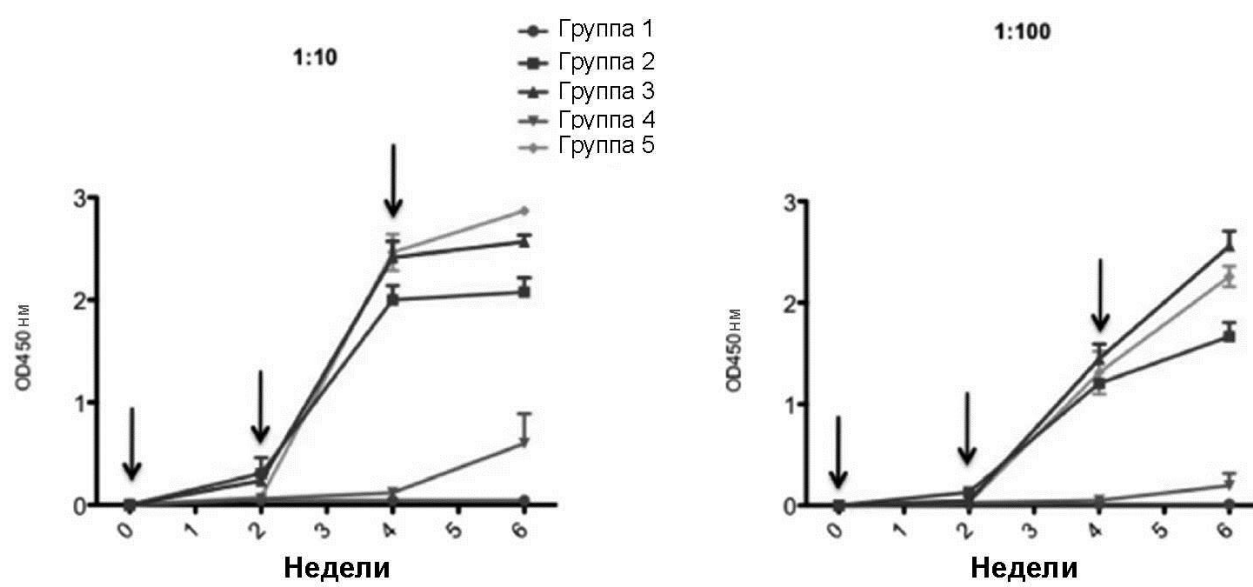
Фигура 53С



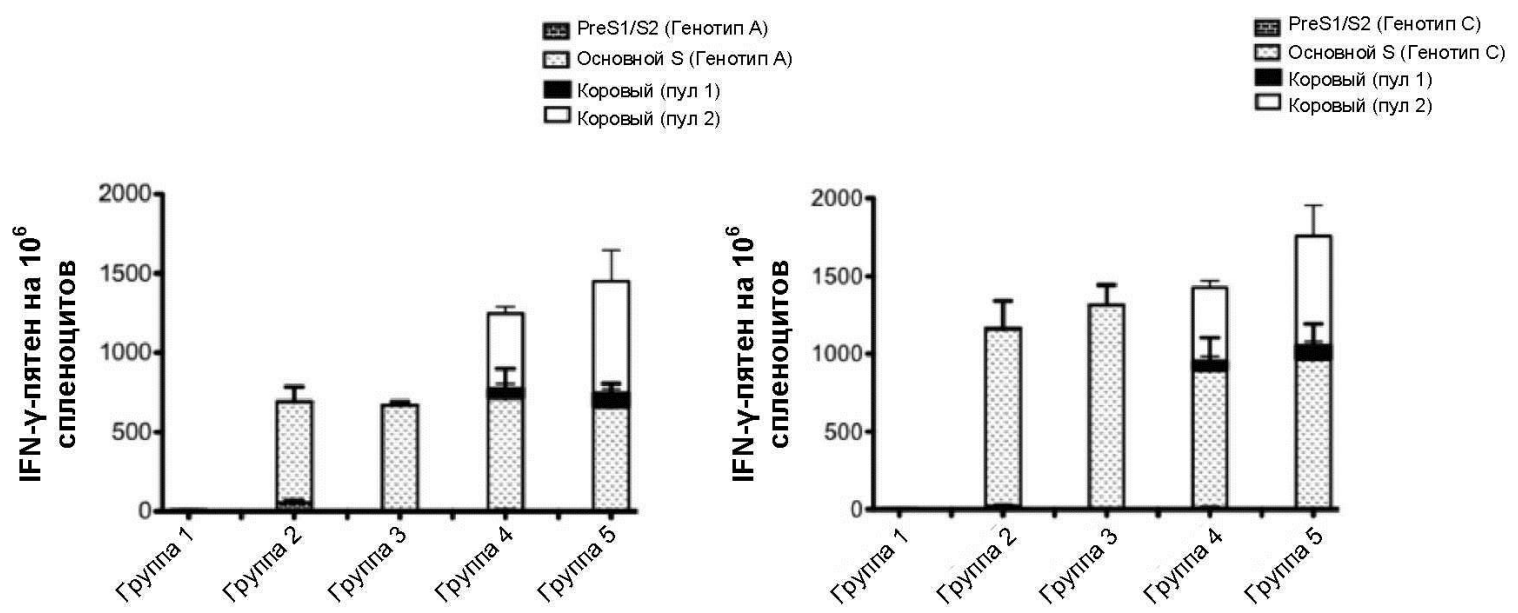
Фигура 53С (прод.)



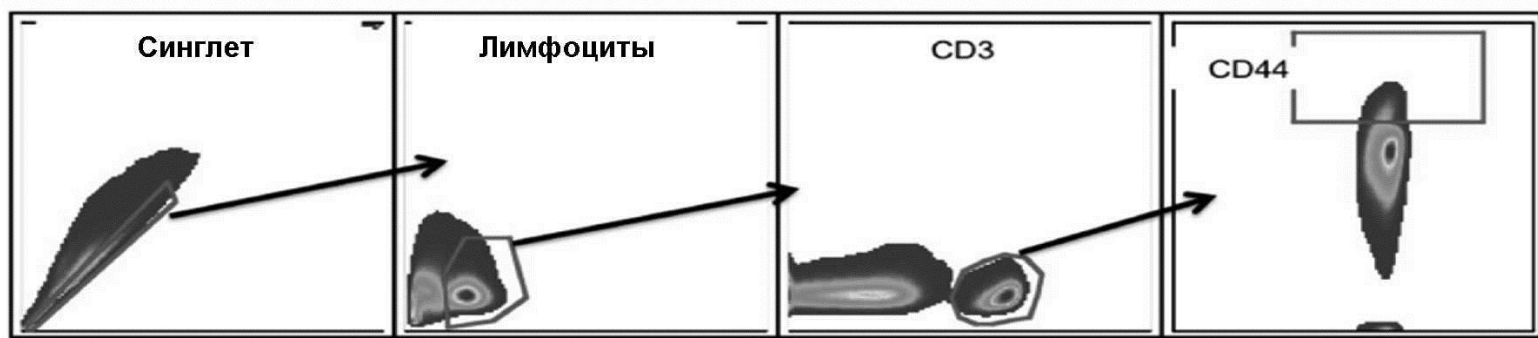
Фигура 54



Фигура 55А

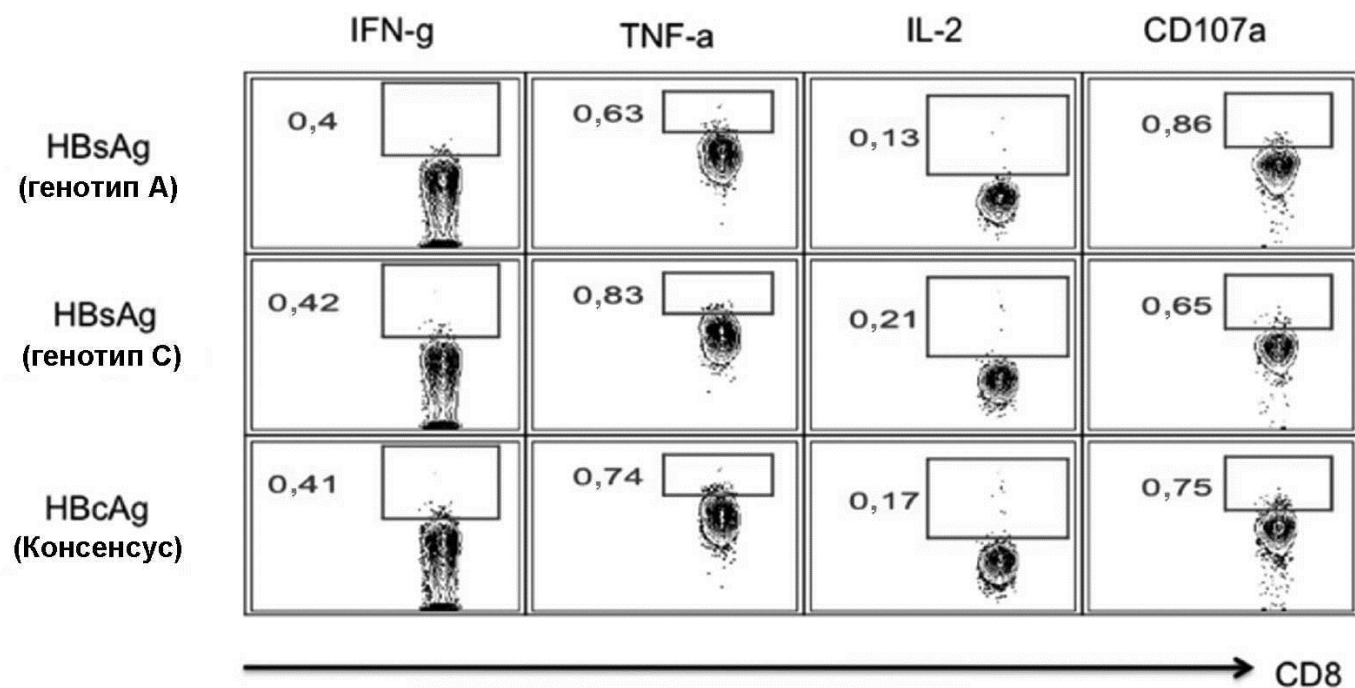


Фигура 55В

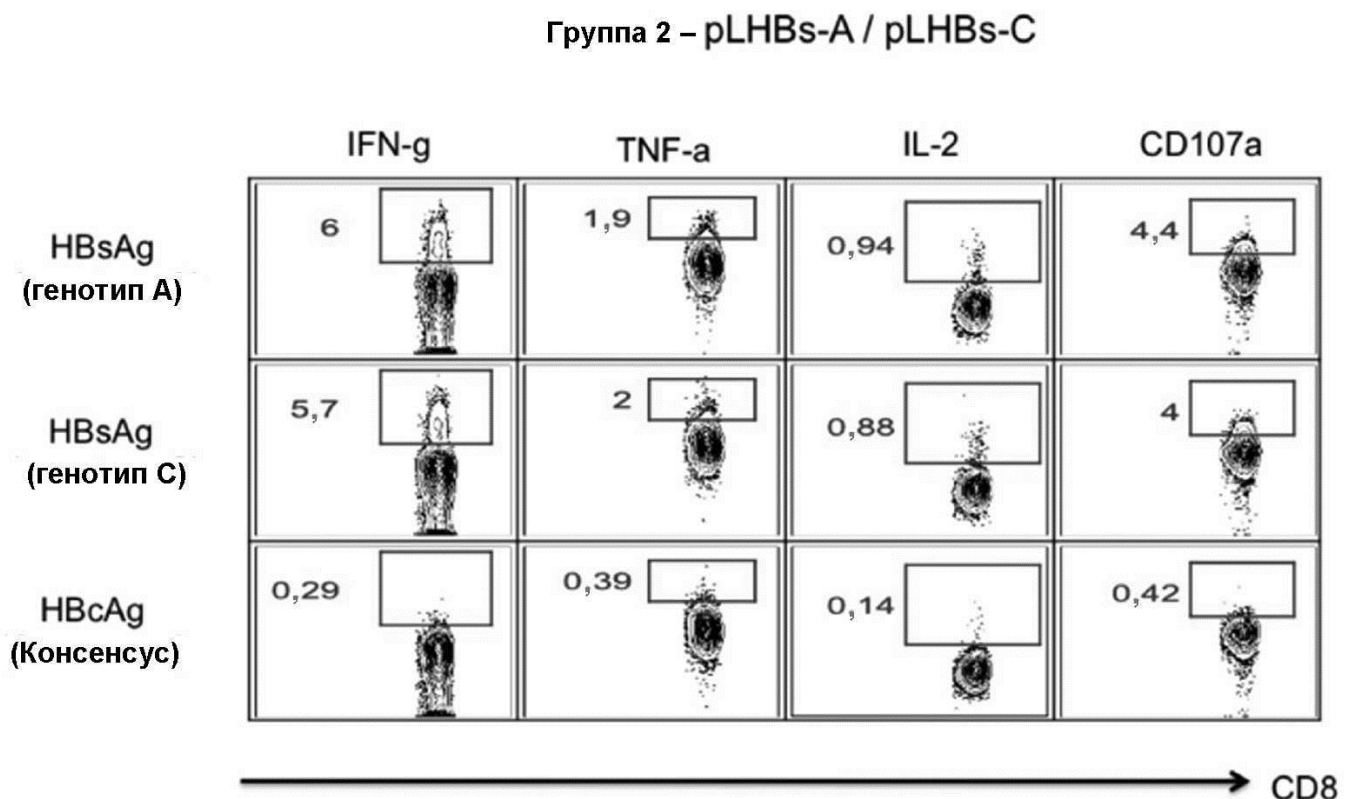


Фигура 56А

Группа 1 – только pGX0001

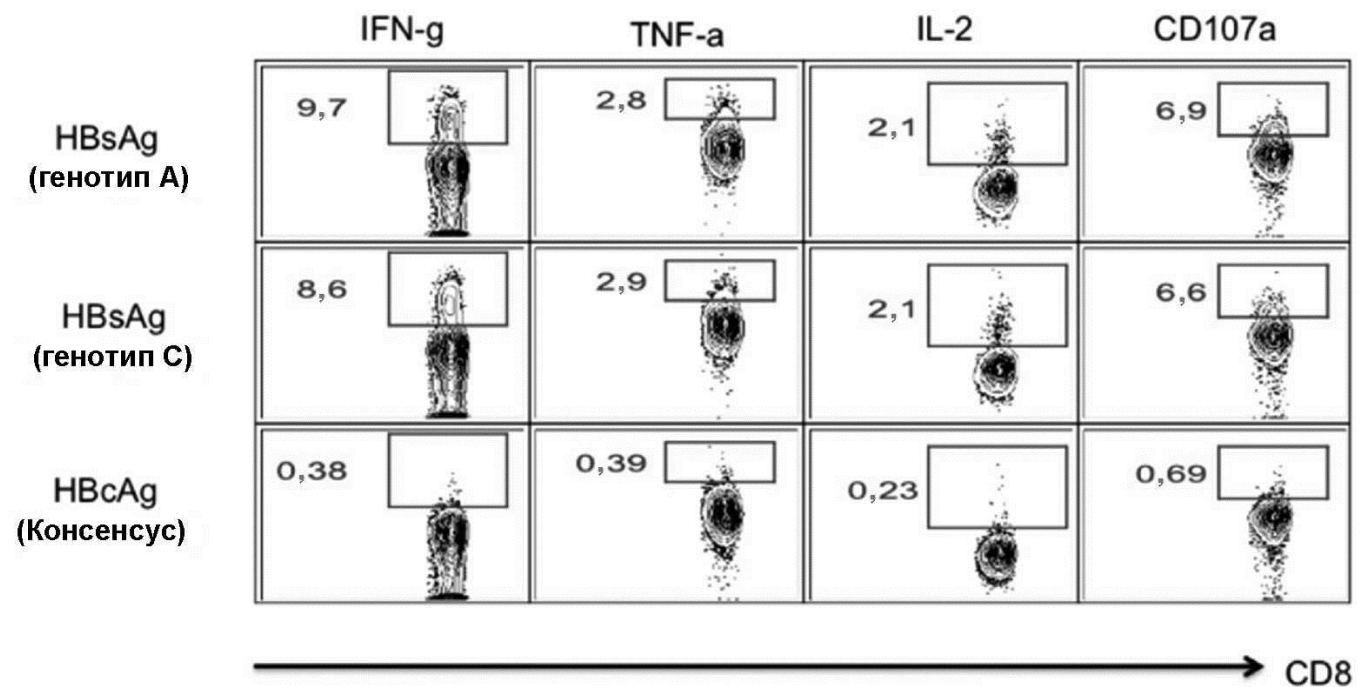


Фигура 56В



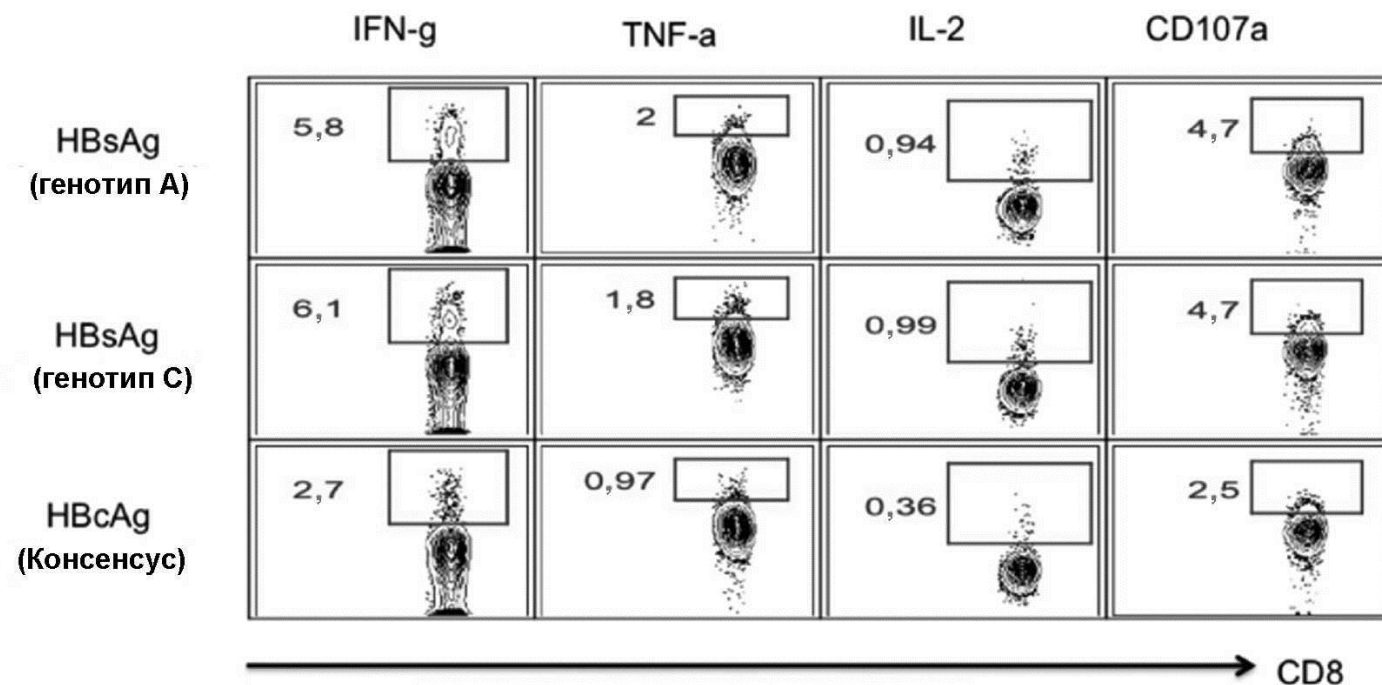
Фигура 56С

Группа 3 – pSHBs-A / pSHBs-C



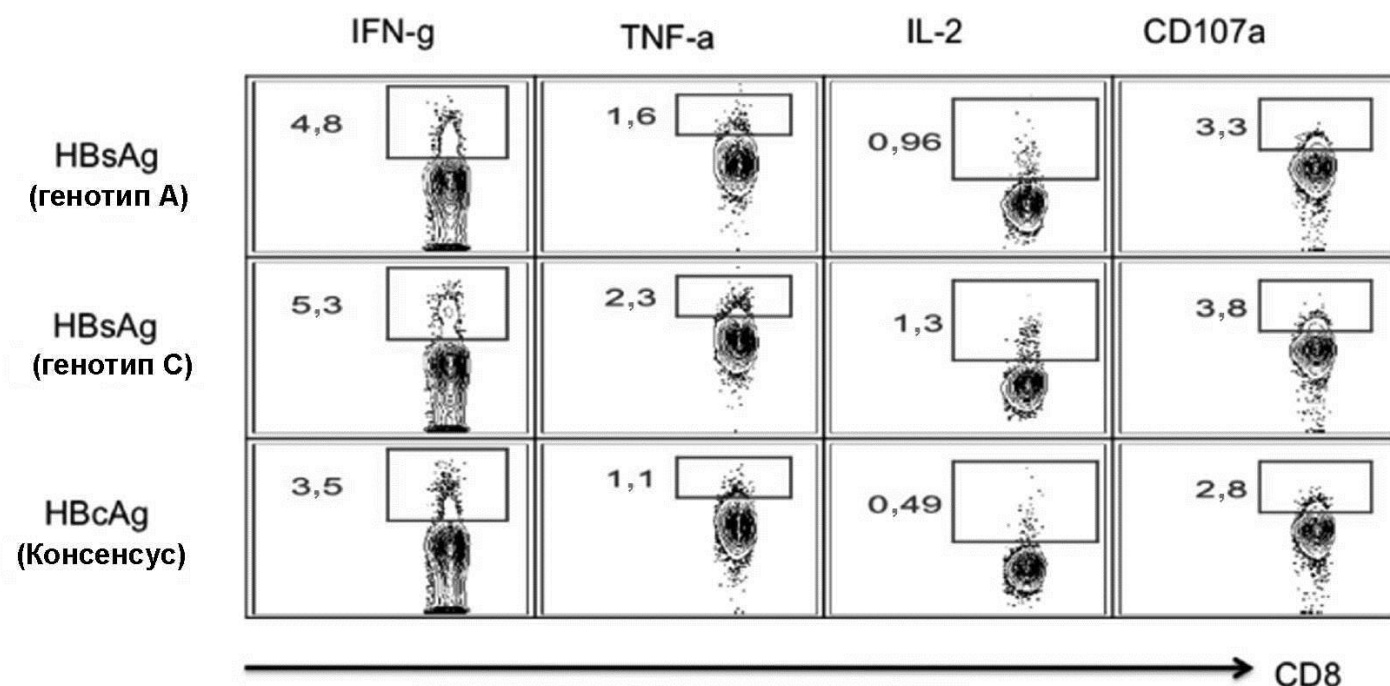
Фигура 56D

Группа 4 – pLHBs-A / pLHBs-C / pMCore

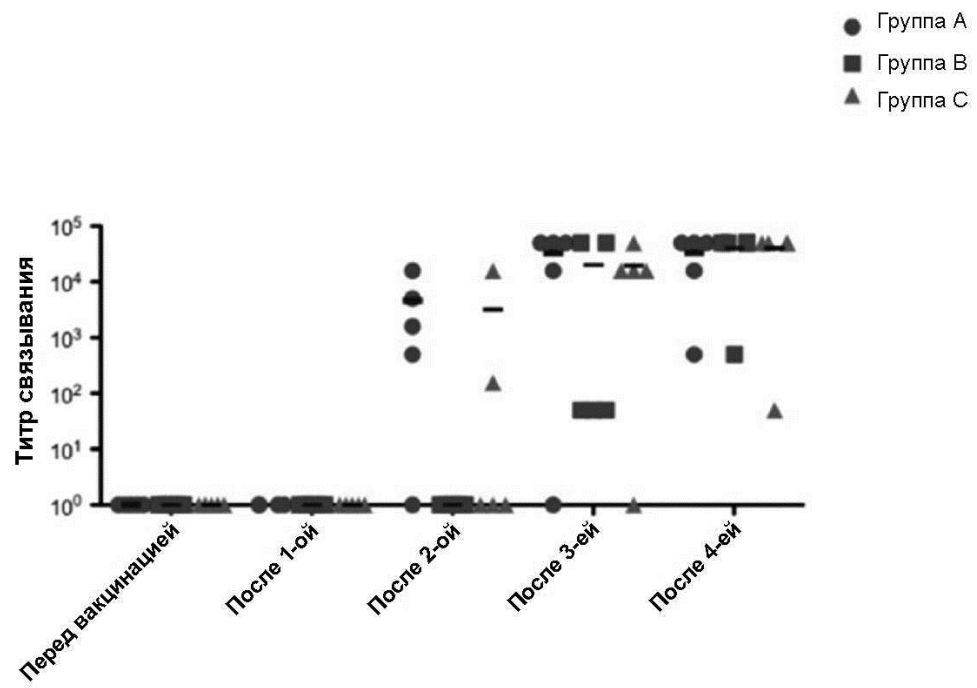


Фигура 56Е

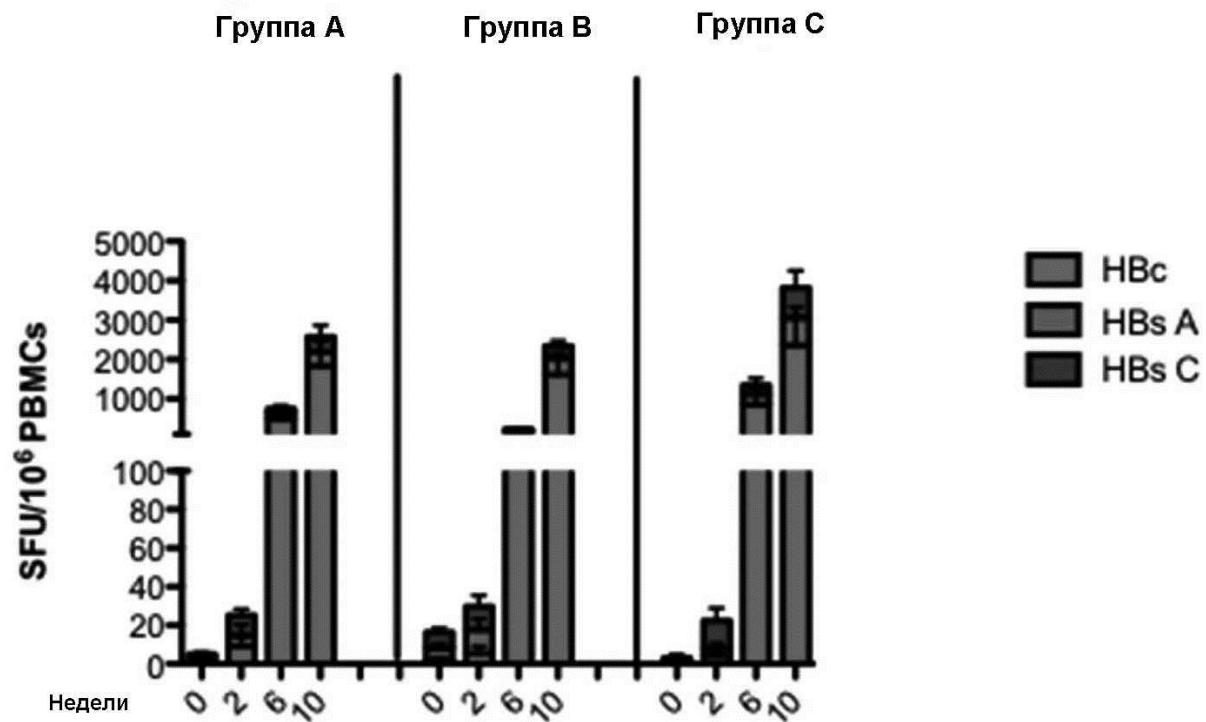
Группа 5 – pSHBs-A / pSHBs-C / pMCore



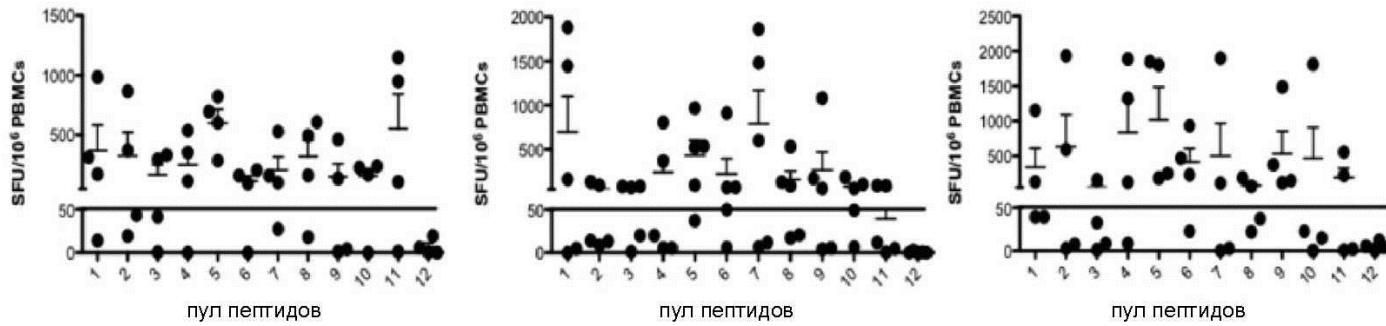
Фигура 56F



Фигура 57А

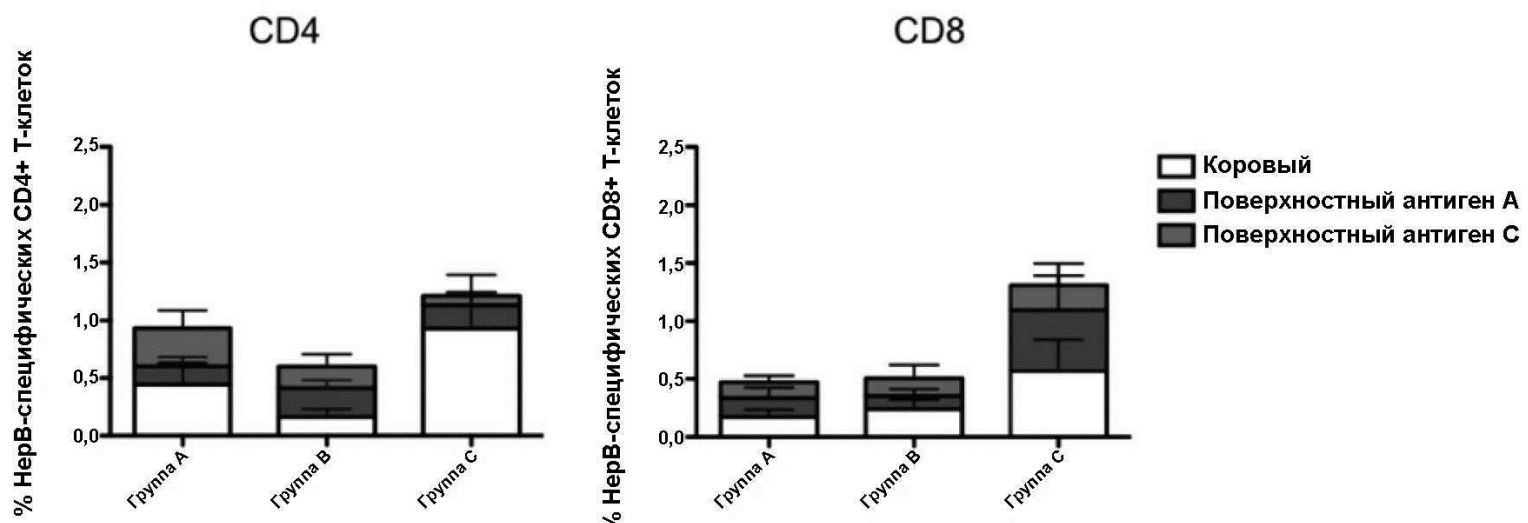


Фигура 57В

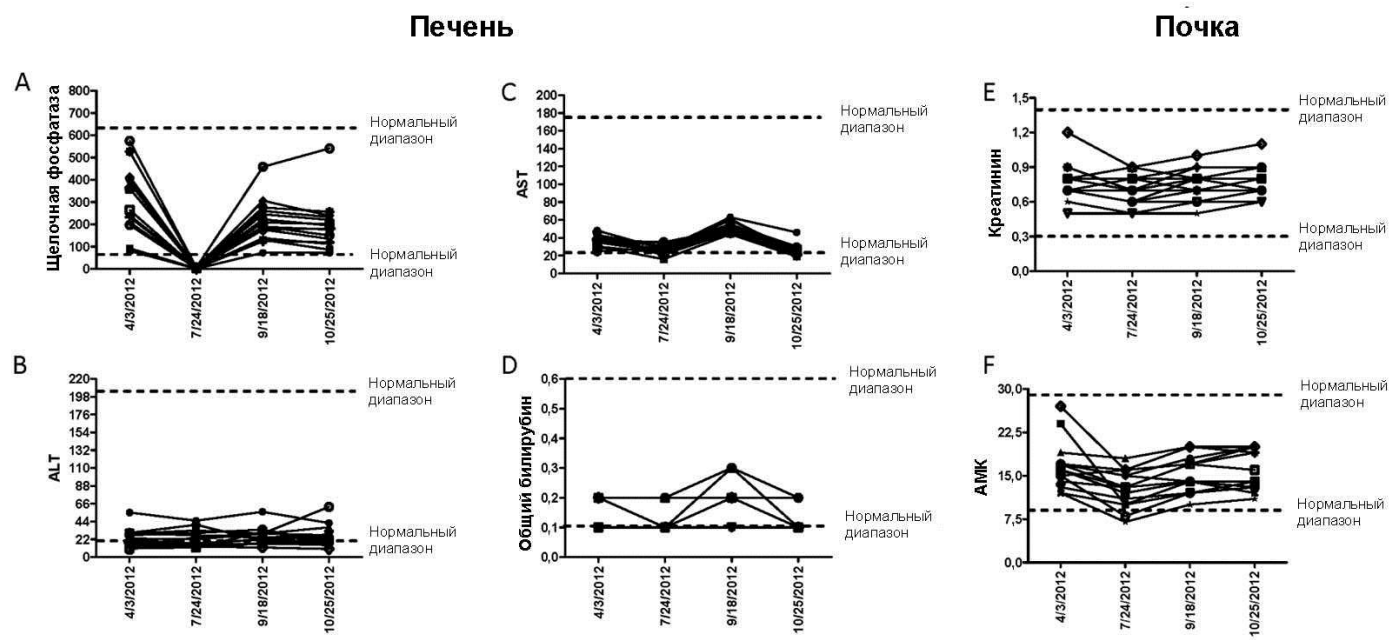


Группа	ID обезьяны	Положительные матричные пулы	Положительные пептидные эпитопы
Группа А	4634	1, 2, 3, 4, 5, 6, 7, 8, 9, 10, 11	30
	5022	3, 4, 5, 6, 7, 8, 9, 10	16
	4943	1, 2, 5, 6, 7, 8, 11	12
	4942	1, 2, 4, 5, 10, 11	10
	4954	2, 5, 10	2
Группа В	4628	1, 4, 5, 6, 7, 8, 9, 10, 11	20
	5018	1, 2, 3, 7, 10	6
	4941	5, 6, 8, 11	4
	4938	1, 2, 3, 4, 5, 6, 8, 11	12
	4939	5, 6, 9	2
Группа С	4639	1, 2, 3, 4, 8, 9, 10, 11	16
	4945	1, 2, 3, 4, 5, 6, 9, 10, 11	18
	4946	5, 6, 7, 8, 9	6
	5015	1, 2, 4, 5, 6, 7, 8, 9, 11	20
	5019	4, 5, 9	3

Фигура 57С



Фигура 57Д



Фигура 58

IgELS PreS1
1 MDWTWILFLV AAATRVHSGG WSSKPRKG~~MG~~ TNLSVPNPLG FFPDHQLDPA FGANSNNPDW

61 DFNPIKDHWP AANQVGVGAF GPGLTPPHGG ILGWSPQAQG ILTVSTIPP PASTNRQSGR

Сайт расщепления PreS2
121 QPTPISPPPLR DSHPQA**RGRK RRSMQWNSTA FHQALQDPRV RGLYFPAGGS SSGTVNPAPN**

Сайт расщепления S
181 IASHISSISA RTGDPVTN**RG RKRRSMENIT SGFLGPLLVL QAGFLLTRI LTIPQSLSW**

241 WTSLNFLGGS PVCLGQNSQS PTSNHSPTSC PPICPGYRWM CLRRFIIFLF ILLLCLIFLL

301 VLLDYQGMLP VCPLIPGSTT TSTGPCKTCT TPAQGNMFP SCCCTKPTDG NCTCIPSS

361 WAFAKYLWEW ASVRFSWLSL LVPFVQWFVG LSPTVWLSAI WMMWYWGPSLYSIVSPFIPL

421 LPIFFCLWVY I (SEQ ID NO: 10)

Фигура 59А

IgELS S →
1 MDWTWILFLVAAATRVHSEN ITSGFLGPLL VLQAGFFLLT RILTIPQSLD SWWTSLNFLG
61 GSPVCLGQNS QSPTSNHSPT SCPPICPGYR WMCLRRFIIF LFILLLCLIF LLVLLDYQGM
121 LPVCPLIPGS TTTSTGPCKT CTTPAQGNSM FPSCCCCTKPT DGNCTCIPIP SSWAFAKYLW
181 EWASVRFSWL SLLVPFVQWF VGLSPTVWLS AIWMMWYWGP SLYSIVSPFI PLLPIFFCLW
241 VYI (SEQ ID NO: 14)

Фигура 59В

IgELS PreS1 →
1 MDWWTWILFLVAAATRVHSGG WSSKPRQGMG TNLSVPNPLG FFPDHQLDPA FGANSNNPDW

61 DFNPNKDHWP EANQVGAGAF GPGFTPPHGG LLGWSPQAQG ILTTVPAAPP PASTNRQSGR
Сайт расщепления PreS2 →
121 QPTPISPPLR DSHPQ**ARGRK RRS**MQWNSTT FHQALLDPRV RGLYFPAGGS SSGTVNPVPT
Сайт расщепления S →
181 TASPISSIFS RTGDPAPN**RG RKKRS**MESTT SGFLGPLLVL QAGFFLLTRI LTIPQSLSW
241 WTSLNFLGGAPTCPGQNSQS PTSNHSPTSC PPICPGYRWM CLRRFIIFLF ILLLCLIFLL
301 VLLDYQGMLP VCPLLPGTST TSTGPCKTCTIPAQGTSMFP SCCCTKPSDG NCTCIPIPSS
361 WAFARFLWEW ASVRFSWLSL LVPFVQWFVG LSPTVWLSVI WMMWYWGPSL YNILSPFLPL
421 LPIFFCLWVY I (SEQ ID NO: 12)

Фигура 59С

IgELS S →
1 MDWTWILFLV AAATRVHSES TTSGFLGPLL VLQAGFFLLT RILTIPQSLD SWWTSLNFLG
61 GAPTCPGQNS QSPTSNHSPT SCPPICPGYR WMCLRRFIIF LFILLCLIF LLVLLDYQGM
121 LPVCPLLPGT STTSTGPCKT CTIPAQGTSM FPSCCCTKPS DGNCTCIPIP SSWAFARFLW
181 EWASVRFSWL SLLVPFVQWF VGLSPTVWLS VIWMMWYWGP SLYNILSPFL PLLPIFFCLW
241 VYI (SEQ ID NO: 16)

Фигура 59D